

**Бердақ атындағы Қарақалпақ мәмлекетлик
университети**

Улыўма физика кафедрасы

КРИСТАЛЛОФИЗИКА

пәни бойынша

**ОҚЫТЫҰ ТЕХНОЛОГИЯСЫ (ОҚЫҰ-МЕТОДИКАЛЫҚ
КОМПЛЕКС, 2011-2012 оқыў жылы ушын)**

**Физика қәнигелиги студентлери
ушын дүзилген, 4-курс, 8-семестр.**

Лекциялық сабақлар 32 (лекциялар саны 16), лабораториялық сабақлар 24 са-
ат, студентлердиң өз бетинше жумысларының көлеми 50.

“Тастыйықлайман”
Оқыў ислери бойынша проректор

М. Ибрагимов
2011-жыл 29-июнь

Физика-техника факультетиниң физика қәнигелигигиниң
(Тәлим бағдары: 544 – Физика) 4-курс студентлери ушын
“Кристаллофизика” пәни бойынша

САБАҚЛАРҒА МӨЛШЕРЛЕНГЕН ОҚЫҰ ПРОГРАММАСЫ

Дүзиўши улыўма физика кафедрасының баслығы, физика-математика илимлериниң кандидаты, профессор Б. Абдикамалов.

Пәнниң сабақларға мөлшерленген оқыў программасы Қарақалпақ мәмлекетлик университетиниң оқыў-методикалық кеңесиниң 2011-жыл 29-июнь күнги мәжлисинде қарап шығылды ҳәм мақулланды. Протокол номери 6.

Пәнниң сабақларға мөлшерленген оқыў программасы улыўма физика кафедрасының 2011-жыл 25-июндеги мәжлисинде талқыланды ҳәм мақулланды. Протокол саны 11.

Пәнниң сабақларға мөлшерленген оқыў программасы физика-техника факультетиниң илимий кеңесиниң 2011-жыл 25-июндеги мәжлисинде талқыланды ҳәм мақулланды. Протокол саны 11.

Сабақларға мөлшерленген оқыў программасы

	Темалар атлары	Лек- ция- лар	Лаб.	Өз бетин ше
1	Кирисиў. Кристаллографиядан тийкарғы мағлыўматлар. Кристаллардың қурылысы ҳәм кеңислик пәнжереси. Кристаллардыңәпиўайы шекли симметрия элементлери. Кристаллографиялық категориялар, системалар ҳәм сингониялар. Кристаллар симметриясының ноқатлық топарлары	2		2

	(класслары).			
2	Кристаллардың 32 симметрия классын (симметрияның 32 нокатлық топарын) келтирип шығарыу хәм тәриплеу. Симметрияның шеклик топарлары (Кюри топарлары). Кристаллар структурасының (қурылысының) симметриясы.	2		2
3	Кристаллар структурасы симметриясы элементлерин қосыу. Бравэ пәнжерелери. Симметрияның кеңісликтегі 230 топарлары. Кери пәнжере. Структуралық кристаллографияның тийкарғы формулалары.	2		2
4	Кристаллардың физикалық қасиетлерин тензорлық хәм симметриялық тәриплеу усыллары. Кристал тутас бир текли анизотроп орталық сыпатында. Тензорлар хәм олардың түрлендириулері. Векторлардың хәм 2-рангалы тензорлардың қураушыларын түрлендириу.	2		4
5	Хәр қыйлы рангалардағы тензорлар. Псевдотензорлар (аксиал тензорлар). Симметриялық хәм антисимметриялық тензорлар. Тензорларды геометриялық жақтан интерпретациялау.	2		4
6	Көрсеткіш бетлер. Скалярлардың, псевдоскалярлардың хәм векторлардың симметриясы. Физикалық қасиетлердің симметриясы. Кристаллофизикалық координаталар системасы.	2		2
7	Кристаллардың механикалық қасиетлері. Кристаллардың серпимлилик қасиетлері. Кристаллар үшін Гук нызамы.	2	4	4
8	Кристалдың симметриясының серпимлилик коэффициентлері тензорыдың түрине тәсири. Жылжыу менен болатуғын эластик деформация. Жылжыу элементтері.	2		4
9	Кристалдың сызықты жыллылық кеңейіуі.	2	4	4

	Жыллылық өткізгішлік.			
10	Фазалық өтіулер. Полиморфизм. Биринші хәм екинші әулад фазалық өтіулері. Атомлар тербеліслері хәм полиморфлық өтіулер. Дебай хал теңлемесі хәм Грюнайзен формуласы. Фазалықөтіулер хәм кристаллар симметриясы.	2	2	2
11	Кристаллардың оптикалық қасиетлері. Кристаллардың поляризациясы. Поляризацияның тийкаргы түрлері.	2	4	2
12	Электр өткізгішлік. Диэлектриклік жоғалтыулар. Пирозлектрлік кубылыслар. Пьезоэлектрлік эффект хәм электрострикция.	2	2	4
13	Ферроэлектриклердің электрлік қасиетлерінің өзгешеліклері хәм доменлік қурылысы. Кристаллардың оптикалыққасиетлері.	2		4
14	Кристаллардың структуралық анализі тийкарлары. Электрон тығызлығы функциясы. Фурье интегралы. Температуралық фактор. Кристаллардағы дифракция.	2	4	4
15	Лауэ шәртлері. Шашырау сферасы. Структуралық амплитуда. Шашыраулар интенсивлігі. Дифракциялық сүүреттің симметриясы хәм оның кристалл симметриясының ноқатлық топары менен байланысы.	2	4	4
16	Дифракциялық сүүретте кристаллдың кеңісликтегі симметриясының көриніуі. Өшіулер.	2		4
	Жәми	32	24	50

‘Кристаллофизика’ курсы бойынша жуўмақлаўшы қадағалаў сораўлары

1-вариант

1. Кристаллографиядан тийкаргы мағлыұматлар. Кристаллардың қурылысы хәм кеңіслик пәнжересі. Симметрия хәм симметрия элементлері. Симметриялық операциялар.
2. Кристалдың сызықлы жыллылық кеңейіуі. Жыллылық өткізгішлік.

3. Жылжыу менен болатуғын эластик деформация. Жылжыу элементлери.
4. Кристаллардың механикалық қасиетлери. Кристаллардың серпимлилик қасиетлери. Кристаллар үшін Гук нызамы.
5. Эпиұайы куб тәризли пәнжерениң [100] хәм [001] түйинлери арқалы өтетуғын туұры сызық бағытының кристаллографиялық индекслери жазылсын.

2-вариант

1. Кристаллардың эпиұайы шекли симметрия элементлери. Симметриялық операциялар.
2. Механикалық кернеу хәм деформация. Кернеу менен деформацияларды екінши рангалы тензорлар менен тәриплеу.
3. Кристаллардың жылылық, механикалық хәм электрлик қасиетлери арасындағы байланыс.
4. Пирозлектрлик хәм сегнетоэлектрлик кристаллар.
5. Кальций кристаллының пәнжере параметри хәм бир бирине ең жақын жайласқан атомлар арасындағы аралық анықлансын (пәнжерениң қабырғалары орайласқан куб болып табылады). Кальций кристаллының тығызлығы $\rho = 1,55 \cdot 10^3 \text{ кг} / \text{м}^3$.

3-вариант

1. Симметриялық хәм антисимметриялық тензорлар. Екінши рангалы тензорды симметриялы хәм антисимметрия тензорлардың қосындысы сыпатында көрсетиу.
2. Кристаллографиялық категориялар, системалар хәм сингониялар.
3. Кристаллардың жылылық сыйымлығы. Кристаллардағы биринши хәм екінши әулад фазалық өтиулері.
4. Кристаллардың структурасын рентгенографиялық жоллар менен изертлеудің тийкарлары. Вульф-Брэгг тенлемеси хәм оның физикалық мәніси.
5. Төмендеги геометриялық фигуралардың симметриясының формулаларын жазыңыз: а) квадрат, б) параллелограмм, в) куб г) тетраэдр, д) алты қапталлы призма е) алты қапталлы пирамида.

4-вариант

1. Кристаллардағы ашық хәм жабық симметрия элементлери. Кристаллар симметриясының ноқатлық топарлары. Кристаллографиялық класслар.
2. Кристаллардың серпимли берилгишлик тензоры менен серпимли қаттылық тензорлары.
3. Пирозлектрлик эффект хәм электрострикция.
4. Кристаллардың физикалық қасиетлериниң симметриясы. Кюри топарлары.
5. Төмендеги геометриялық фигуралардың симметрия формулаларын жазыңыз: а) тетраэдр, б) алты қапталлы призма, с) алты қапталлы пирамида.

5-вариант

1. Кристаллардың 32 симметрия классын (симметрияның 32 ноқатлық топарын) келтирип шығарыу хәм тәриплеу.
2. Кристаллардың жылылық кеңейиуі хәм жылылық өткізгишлик.
3. Парамагнетиклер, диамагнетиклер хәм ферромагнетиклер. Ферромагнитлик доменлер.
4. Оптикалық поляризация. Оптикалық актив кристаллар. Кристаллардағы жақтылық нурларының поляризациясын бақлау.

5. Төменде келтирилген симметриялық операциялардың ізбе-із тәсири жуымақтарын матрица формадасында жазыңыз: а) $2_x \bar{1}$, б) $6_z \cdot m_x$, в) $2_x 3_{111} m_z$.

6-вариант

1. Симметрияның шектік топтары (Кюри топтары). Кристаллар структурасының (құрылысының) симметриясы.
2. Кристаллар үшін Ом заңы. Салыстырмалы өткізгіштік және салыстырмалы қарсылық.
3. Кристаллардағы дифракциялық анализ тыйқарлары. Вульф-Брэгг теңлемесі.
4. Кристаллар тұтас анизотроп бір текті орталық сипатында. Орайға қарата симметриялы және орайға қарата симметриялы емес кристаллар.
5. Кристаллографиялық индекстері (210) және (110) болған беттер берілген. Усы беттердің кесілісінің сызығының (қырының) кристаллографиялық индекстері табылсын.

7-вариант

1. Бравэ пәндерлері. Бравэ пәндерлерін сайлап алуының үш шарты.
2. Нолинші, бірінші және екінші рангалы тензорлар. Тензорларды қосыу және көбейту.
3. Кристаллар үшін Гук заңы. Кристаллардың механикалық қасиеттері тензорлардың жәрдеминде тәріптелеуі.
4. Характеристикалық бет. Характеристикалық беттер теңлемелері.
5. Көлемде және қапталда орайластырылған куб тәрізді пәндерінің бір элементар қуышына сәйкес келетуінің түйіндер саны анықталсын.

8-вариант

1. Структуралық кристаллографияның тыйқарғы формулалары. Кристаллографиялық тегісліктер арасындағы қашықтықтар және мүйештер.
2. Кристаллардың механикалық қасиеттері. Серпимі және эластик деформациялар.
3. Кристаллардың электр өткізгіштігі және оның шамасының кристаллографиялық бағыттарға байланысты екенлігі.
4. Бірінші және екінші әулад фазалық өтуілері. Екінші әулад фазалық өтуілеріндегі кристаллардың симметриясының өзгеріулері.
5. $A(0, b/2, c/2)$ және $B(a/2, 0, c/2)$ нүктелері арқалы өтуінің бағыттың символы анықталсын.

9-вариант

1. Кристаллардың физикалық қасиеттерін тензорлық және симметриялық тәріптелеуі ұсыллары. Кристал тұтас бір текті анизотроп орталық сипатында.
2. Кристаллографиялық категориялар. Жоғары, орта, төменгі категорияларға кіріуші кристаллар және олардың физикалық қасиеттері.
3. Ферромагнетизм. Ферромагниттік домендер. Ферромагниттердегі гистерезис.
4. Кристаллардың структуралық анализінің тыйқарлары. Кристаллардағы рентген нурларының дифракциясы.
5. Кристаллографиялық индекстері (200) және (110) болған беттердің кесілісінің сызығының индекстері табылсын.

10-вариант

1. Тензорлар хәм олардың түрлендириўлери. Векторлардың хәм 2-рангалы тензорлардың кураўшыларын түрлендириў.
2. Кристаллардың курылысының ноқатлық симметриясы менен олардың физикалық қәсийетлериниң симметриясы арасындағы байланыс. Нейман принципи.
3. Кристаллардың структурасын рентгенографиялық жоллар менен изертлеўдин тийкарлары. Вульф-Брэгг тенлемеси хәм оның физикалық мәниси.
4. Кристаллардың оптикалық қәсийетлери. Сыныў көрсеткиши. Оптикалық актив кристаллар.
5. Операцияның избе-из тәсири жуўмақларын матрицалық формада жазыңыз:
а) $2_x m_z 3_{111}$, б) $3_z \cdot m_x$, в) $m_x 3_z$,

11-вариант

1. Хәр қыйлы рангалардағы тензорлар. Псевдотензорлар (аксиал тензорлар).
2. Кристаллофизикадағы Кюри хәм Нейман принциплери.
3. Кристаллар ушын Ом нызамы. $\mathbf{j} = \sigma \mathbf{E}$ нызамын түсиндириў. Салыстырмалы өткизгишлик σ шамасының екнши рангалы тензор екенлигин дәлиллеў.
4. Кристаллардағы рентген нурларының дифракциясы. Лауэ усылы. Поликроматикалық усыл.
5. Кристаллографиялық индекслери 111 хәм $[311]$ болған қабырғалар қандай кристаллографиялық тегисликте жатады?

12-вариант

1. Скалярлар, тензорлар хәм екнши рангалы тензорлар. Скаляр хәм тензорлық физикалық шамалар.
2. Тензорларды геометриялық жақтан интерпретациялаў. Характеристикалық бетлер (Көрсеткиш бетлер).
3. Жылжыў менен болатуғын эластик деформация. Жылжыў элементлери. Жылжыў элементлериниң кристаллографиялық бағытлары.
4. Скалярлардың, псевдоскалярлардың хәм векторлардың симметриясы. Физикалық қәсийетлердин симметриясы.
5. x , y , көшерлеринде сәйкес $2a$, хәм $3b$ шамаларына тең кесинделерди кесип өтетуғын z көшерлерине параллель тегисликтин кристаллографиялық символлары анықлансын.

13-вариант

1. Кристаллардағы фазалық өтиўлер. Полиморфизм. Биринши хәм екнши әўлад фазалық өтиўлери. Фазалық өтиўлердеги кристаллардың симметриясының өзгерислери.
2. Еки векторды бир бири менен байланыстыратуғын екнши рангалы тензорлар (салыстырмалы электр өткизгишлик, жыллылық өткизгишлик коэффициентлери, диэлектриклик сиңиргишлик, магнитлик сиңиргишлик хәм басқа лар).
3. Электр поляризациясы. Электр майданының кернеўилиги \mathbf{E} , поляризациясы \mathbf{P} хәм диэлектриклик индукциясы \mathbf{D} арасындағы байланыс.
4. Кристаллардың механикалық қәсийетлери. Кристаллардың серпимлилик қәсийетлери. Кристаллар ушын Гук нызамы.
5. Кублық кристаллдың бетине түсирилген нормал көшерлери менен $\alpha = 74^\circ$, $\beta = 57^\circ$, $\gamma = 36^\circ$ мүйеш жасайды, усы беттин кристаллографиятық индекслери анықлансын.

14-вариант

1. Кристаллардың оптикалық қасиеттері. Кристаллардың поляризациясы. Поляризацияның тийкары түрлері.
2. Екинши тәртіпті характеристикалық беттер. Бас көштер. $S_1x_1^2 + S_2x_2^2 + S_3x_3^2 = 0$ теңдемесі.
3. Кристаллардың парамагниттік хәм диамагниттік қабыллағышлығы. Олардың мәніслерінің кристаллографиялық бағытларға ғәрезлігі.
4. Кристалдың сызықты жыллылық кеңейіуі. Жыллылық өткізгіштік. Кристаллардың жыллылық өткізгіштік коэффициенті.
5. Кристаллографиялық индекслері (346) болған тегісдіктің сәйкес кристаллографиялық көштерлері бойынша кесіп өтетугын кесінділері табылсын.

15-вариант

1. Электр өткізгіштік. Диэлектриктік жоғалтыулар. Пироэлектрлік кубылыстар. Пьезоэлектрлік эффект хәм электрострикция.
2. Кристаллографиядан тийкары мағылұматлар. Кристаллардың қурылысы хәм кеңістік пәнжересі.
3. Кристаллардың эпидіуі шеклі симметрия элементтері. Симметриялық операциялар.
4. Ферроэлектриктердің электрлік қасиеттерінің өзгешеліктері хәм доменлік қурылысы. Кристаллардың оптикалық қасиеттері.
5. x , y хәм z көштерлері бойынша сәйкес $\frac{1}{2}a$, $\frac{1}{3}b$, $\frac{1}{4}c$ кесінділерін кесіп өтетугын кристаллографиялық тегісдіктер семействосы үшін Миллер индекслерін анықлаңыз.

16-вариант

1. Механикалық кернеу хәм деформация. Гук нызамы. Кернеу менен деформацияларды екинши рангалы тензорлар менен тәріптеу.
2. Кристаллардың жыллылық, механикалық хәм электрлік қасиеттері арасындағы байланыс.
3. Кристаллографиялық категориялар, системалар хәм сингониялар (сингониялар саны, олардың хәр қайсысы үшін кристал турақлылары $(a, b, c, \alpha, \beta, \gamma)$ лар) үшін қойылатуын шәрттер (мысалы кублық кристаллар үшін $a = b = c$ хәм $\alpha = \beta = \gamma = 90^\circ$).
4. Пироэлектрлік хәм сегнетоэлектрлік (ферроэлектрлік) кристаллар.
5. Кристаллографиялық тегісдіктер семействосында $[[200]]$, $[[010]]$ хәм $[[001]]$ түйіндегі жайласқан. Усы кристаллографиялық тегісдіктер үшін Миллер индекслері табылсын.

17-вариант

1. Симметриялық хәм антисимметриялық тензорлар. Екинши рангалы тензорды симметриялы хәм антисимметрия тензорлардың қосындысы сыпатында көрсетіу.
2. Кристаллар симметриясының нокатлық топарлары. 32 нокатлық топарларды келтіріп шығаруға мысаллар. Кристаллографиялық класслар.
3. Кристаллардың жыллылық сыйымлығы. Кристаллардағы бирінші хәм екинші әулад фазалық өтіділері.

4. Парамагнетиклер, диамагнетиклер хәм ферромагнетиклер. Ферромагнитлик доменлер.

5. Егер пәнжереси көлемде орайластырылған куб тәризли болса, онда неон кристалының тығызлығы табылсын. Пәнжере турақлысы $a = 0,452 \text{ нм} = 4,52 \text{ \AA}$.

18-вариант

1. Кристаллардың структурасын рентгенографиялық жоллар менен изертлеудің тийкарлары. Вульф-Брэгг теңлемеси хәм оның физикалық мәніси. Кристаллографиялық тегисликлер арасындағы қашықлық d , дифракциялық мүйеши θ хәм рентген толқынларының толқын узынлығы λ арасындағы байланыс.

2. Кристаллардың серпимли берилгишлик тензоры менен серпимли қаттылық тензорлары.

3. Пироэлектрлик эффект хәм электрострикция.

4. Оптикалық поляризация. Оптикалық актив кристаллар.

5. Куб тәризли пәнжеререде туұры сызықтың бағыты $[111]$ индекслери менен берилген. Усы туұры сызық пенен (111) тегислиги арасындағы мүйеш табылсын.

19-вариант

1. Кристаллардың физикалық қасиетлеринің симметриясы. Кюри топарлары. Кристаллофизикадағы Кюир принципи.

2. Кристаллардың 32 симметрия классын (симметрияның 32 нокатлық топарын) келтирип шығарыў хәм тәриплеў.

3. Кристаллардың жыллылық кеңейиўи хәм жыллылық өткизгишлик.

4. Характеристикалық бет. Характеристикалық бетлер теңлемелери.

5. Куб тәризли пәнжерередеги еки тегислик (010) хәм (011) Миллер индекслери менен берилген. Тегисликлер арасындағы мүйеш табылсын.

20-вариант

1. Структуралық кристаллографияның тийкарғы формулалары. Кристаллографиялық тегисликлер арасындағы қашықлықлар хәм мүйешлер.

2. Кристаллар ушын Гук нызамы. Кристаллардың механикалық қасиетлери тензорлардың жәрдеминде тәриплеў.

3. Ферромагнетизм. Ферромагнитлик доменлер. Парамагнетизи, диамагнетизм хәм ферромагнетизм қубылыслары арасындағы тийкарғы өзгешеликлер.

4. Биринши хәм екинши әўлад фазалық өтиўлери. Екинши әўлад фазалық өтиўлериндеги кристаллардың симметриясының өзгериўлери.

5. Төмендеги геометриялық фигуралардың симметрия формулаларын жазыңыз: а) тетраэдр, б) алты қапталлы призма, с) алты қапталлы пирамида.

21-вариант

1. Нолинши, биринши хәм екинши рангалы тензорлар. Тензорларды қосыў хәм көбейтиў.

2. Симметрияның шеклик топарлары (Кюри топарлары). Кристаллар структурасының (қурылысының) симметриясы.

3. Кристаллардың механикалық қасиетлери. Серпимли хәм эластик деформациялар. Юнг модули. Кристаллардың серпимлик шегин анықлаў усыллары.

4. Кристаллар ушын Ом нызамы. Салыстырмалы өткізгішлік хәм салыстырмалы қарсылық.

5. Әпиұайы куб тәризли пәнжерениң $[100]$ хәм $[001]$ түйинлери арқалы өтетуғын туұры сызық бағытының кристаллографиялық индекслери жазылсын.

22-вариант

1. Кристаллардың қурылысының ноқатлық симметриясы менен олардың физикалық қәсийетлериниң симметриясы арасындағы байланыс. Нейман принципи.

2. Кристаллардың электр өткізгішлиги хәм оның шамасының кристаллографиялық бағытларға байланыслы екенлиги.

3. Кристаллардың физикалық қәсийетлерин тензорлық хәм симметриялық тәриплеу ұсыллары. Кристал тутас бир текли анизотроп орталық сыпатында.

4. Кристаллардың атомлық-молекулалық қурылысын анықлаудың физикалық тийкарлары. Рентгеноструктуралық анализдиң тийкарғы теңлемеси – Вульф-Брэгг теңлемеси.

5. Төмендеги геометриялық фигуралардың симметриясының формулаларын жазыңыз:

а) квадрат, б) параллелограмм, в) куб, г) тетраэдр, д) алты қапталлы призма, е) алты қапталлы пирамида.

23-вариант

1. Бравэ пәнжерелери. Симметрияның кеңисликтеги 230 топарлары. Кери пәнжере.

2. Көлемде хәм қапталда орайластырылған куб тәризли пәнжерениң бир элементар қутышасына сәйкес келетуғын түйинлер саны анықлансын.

3. Парамагнетиклер, диамагнетиклер хәм ферромагнетиклер. Ферромагнитлик доменлер.

4. Оптикалық поляризация. Оптикалық актив кристаллар. Кристаллардағы жақтылық нурларының поляризациясын бақлау.

5. Кристаллографиялық индекслери (210) хәм (110) болған кристаллографиялық тегисликлер берилген. Усы кристаллографиялық тегисликлер кесилисиу сызығының (қырының) кристаллографиялық индекслери табылсын.

24-вариант

1. Кристаллографиялық категориялар. Жоқары, орта, төменги категорияларға кириуши кристаллар хәм олардың физикалық қәсийетлери.

2. Кристаллардың структуралық анализиниң тийкарлары. Кристаллардағы рентген нурларының дифракциясы.

3. Кристаллардағы дифракциялық анализ тийкарлары. Вульф-Брэгг теңлемеси.

4. Кристаллар бир текли, тутас анизотроп орталық сыпатында. Кристаллардың физикалық қәсийетлериниң анизотропиясының тийкарғы себеплери.

5. Кристаллографиялық индекслери (111) хәм (220) болған кристаллографиялық тегисликлер берилген. Усы кристаллографиялық тегисликлер кесилисиу сызығының (қырының) кристаллографиялық индекслери табылсын.

25-вариант

1. Тензорлар хәм олардың түрлендириулері. Векторлардың хәм 2-рангалы тензорлардың қураушыларын түрлендириу.

2. Кристаллардың структурасын рентгенографиялық жоллар менен изертлеудің тийкарлары. Вульф-Брэгг теңлемеси хәм оның физикалық мәніси.

3. Кристаллардың оптикалық қасиеттері. Сыныу көрсеткіші. Қос нур сындыру кубылысы.

4. Парамагнетиктер, диамагнетиктер және ферромагнетиктер. Ферромагнитлік домендер.

5. Төменде келтірілген симметриялық операциялардың ізбе-із әсері жуымақтарын матрица формасында жазыңыз: а) $2_x \bar{1}$, б) $6_z \cdot m_x$, в) $2_x 3_{111} m_z$.

26-вариант

1. Механикалық кернеу және деформация. Гук заңы. Кернеу менен деформацияларды екінші рангалы тензорлар менен тәріптеу.

2. Кристаллардың оптикалық қасиеттері. Кристаллардағы жақтылық нұрының шағылысуы, сынуы және жұтылуы. Қос нур сындыруы.

3. Кристаллардың жылылық сыйымдылығы. Кристаллардағы бірінші және екінші әулақ фазалық өтуілері.

4. Кристаллографиялық категориялар, системалар және сингониялар (сингониялар саны, олардың әр қайсысы үшін кристал тұрақтылары (a, b, c, α, β , және γ лар) үшін қойылатұғын шарттар (мысалы кублық кристаллар үшін $a = b = c$ және $\alpha = \beta = \gamma = 90^\circ$).

5. Кристаллографиялық индекстері (100) және (010) болған кристаллографиялық тегісліктердің кесілісу сызығына перпендикуляр болған кристаллографиялық бағыттың кристаллографиялық индекстері табылсын.

27-вариант

1. Симметриялық және антисимметриялық тензорлар. Екінші рангалы тензорды симметриялы және антисимметрия тензорлардың қосындысы сипатында көрсету.

2. Кристаллардың жылылық, механикалық және электрлік қасиеттері арасындағы байланыс.

3. Пирозлектрлік және сегнетоэлектрлік (ферроэлектрлік) кристаллар. Сегнетоэлектрліктердің электр майданындағы поляризациясы. Сегнетоэлектрлік гистерезис.

4. Кристаллар симметриясының нокатлық топтары. 32 нокатлық топтарды келтіріп шығаруға мысаллар. Кристаллографиялық класслар.

5. Кристаллографиялық тегісліктер семействосында $[[200]]$, $[[010]]$ және $[[001]]$ түйіндегі жайласқан. Усы кристаллографиялық тегісліктер үшін Миллер индекстері табылсын.

28-вариант

1. Кристаллардың электр өткізгішлігі. Электр өткізгішліктің кристаллографиялық бағыттардан өзгерісі.

2. Кристаллографиядан тийкары мағлыұматтар. Кристаллографиялық категориялар (төменгі, орта және жоқарғы категориялар). Сингониялар.

3. Симметриялық операциялар. Симметрияның нокатлық топары симметриялық операциялар топары сипатында.

4. Ферроэлектрліктердің электрлік қасиеттерінің өзгерісшіліктері және доменлік құрылысы.

5. x , y және z көштері бойынша сәйкес $\frac{1}{2}a$, $\frac{1}{3}b$, $\frac{1}{4}c$ кесінделерін кесіп өтетұғын кристаллографиялық тегісліктер семействосы үшін Миллер индекстерін анықтаңыз.

29-вариант

1. Кристаллографиядан тийкарғы мағлыұматлар. Кристаллардың қурылысы хәм кеңіслик пәнжереси. Кристаллографиялық бағытлар, кристаллық пәнжере.
2. Кристалдың сызықлы жыллылық кеңейіуі. Жыллылық өткізгішлік. Кристаллар ушын жыллылық өткізгішлік коэффиценти еки векторды байланыстырыушы екинши рангалы ьензор сыпатында.
3. Жылжыу менен болатуғын эластик деформация. Жылжыу элементлери.
4. Кристаллардың механикалық қасиетлери. Кристаллардың серпимлилик қасиетлери. Кристаллар ушын Гук нызамы.
5. Эпиұайы куб тәризли пәнжерениң [100] хәм [001] түйинлери арқалы өтетуғын туұры сызық бағытының кристаллографиялық индекслери жазылсын.

30-вариант

1. Кристаллардың эпиұайы шекли симметрия элементлери. Симметриялық операциялар. Симметрияның ноқатлық топарлары симметриялық операциялар топарлары сыпатында.
2. Механикалық кернеу хәм деформация. Кернеу менен деформацияларды екинши рангалы тензорлар менен тәриплеу. Гук нызамы хәм Юнг модули.
3. Кристаллардың жылылық, механикалық хәм электрлик қасиетлери арасындағы байланыс.
4. Симметриялық хәм антисимметриялық тензорлар. Екинши рангалы тензорды симметриялы хәм антисимметрия тензорлардың қосындысы сыпатында көрсетиу.
5. Кальций кристаллының пәнжере параметри хәм бир бирине ең жақын жайласқан атомлар арасындағы аралық анықлансын (пәнжерениң қабырғалары орайласқан куб болып табылады). Кальций кристалының тығызлығы $\rho = 1,55 \cdot 10^3 \text{ кг/м}^3$.

Тийкарғы әдебиат

- М. П. Шаскольская. Кристаллография. Москва. "Высшая школа". 1984. 376 с.
- Дж. Блейкмор. Физика твердого тела. Издательство "Мир". Москва. 1988. 608 с.
- Ю. И. Сиротин, М. П. Шаскольская. Основы кристаллофизики. Издательство "Наука". Москва. 1975. 680 с.
- Ч. Киттель. Введение в физику твердого тела. Издательство "Наука". Москва. 1978. 792 с.
- Н. Ашкрофт, Н. Мермин. Физика твердого тела. Том 1. Издательство "Мир". Москва. 1979. 400 с.
- Н. Ашкрофт, Н. Мермин. Физика твердого тела. Том 2. Издательство "Мир". Москва. 1979. 424 с.
- Н. В. Переломова, М. М. Тагиева. Задачник по кристаллофизике. Издательство "Наука". Москва. 1982. 288 с.
- Физика твердого тела. Спецпрактикум. Структура твердого тела и магнитные явления. Издательство Московского госуниверситета. Москва. 1982. 304 с.
- Б. Абдикамалов. Кристаллофизика пәни бойынша лекциялар текстлери. 2011-жыл.

Қосымша әдебиат

- Современная кристаллография. Том 1. Симметрия кристаллов. Методы структурной кристаллографии. Издательство "Наука". Москва. 1979. 384 с.
- Современная кристаллография. Том 2. Структура кристаллов. Издательство "Наука". Москва. 1979. 360 с.

Современная кристаллография. Том 3. Образование кристаллов. Издательство "Наука". Москва. 1980. 408 с.

Современная кристаллография. Том 4. Физические свойства кристаллов. Издательство "Наука". Москва. 1981. 496 с.

Р. Вейсс. Физика твердого тела. Атомиздат. Москва. 1968. 456 с.

Ч. Уэрт, Р. Томсон. Физика твердого тела. Издательство "Мир". Москва. 1966. 568 с.

Дж. Най. Физические свойства кристаллов. Издательство "Мир". Москва. 1967. 386 с.

А. Келли, Г. Гровс. Кристаллография и дефекты в кристаллах. Издательство "Мир" Москва. 1974.

Студентлердің билимин қадағалау баллары

Сабақтар түрлері	Саат көлемі (лек+әмел+лаб)	Өз бетінше	Ағымдағы бағалау	Шегаралық бағалау	Жууымақлаушы бағалау	Улыўма балл
Лекция	32	22	13	15	30	45
Лаборатория	24	12	14	15		35

Рейтинг қадағалау түрлерінде ажыратылған қадағалау түрлері балларын анықлау усыллары

Қадағалау түрі	Қадағалау усылы	Саны	Ұақты	Максимал балл
Ағымдағы қадағалау	Аудиторияда хәм өз бетінше мәселелер шешиў	3	Кесте тийкарында	13-14
Жәми				40
Шегаралық қадағалау	Контрол жумысы	2	Кесте тийкарында	15
	Тест сораўлары			
Жәми				30
Жууымақлаушы қадағалау	Жууымақлаушы жазба жумысы	1	Кесте тийкарында	30
Жәми		7		100

Лекциялар дизими

1-санлы лекция. Кирисиў. Кристаллографиядан тийкаргы мағлыўматлар. Кристаллардың қурылысы хәм кеңислик пәнжереси. Кристаллардыңәпиўайы шекли симметрия элементлери. Кристаллографиялық категориялар, системалар хәм сингониялар. Кристаллар симметриясының ноқатлық топарлары (класслары).

2-санлы лекция. Кристаллардың 32 симметрия классын (симметрияның 32 ноқатлық топарын) келтирип шығарыў хәм тәриплеў. Симметрияның шеклик топарлары (Кюри топарлары). Кристаллар структурасының (қурылысының) симметриясы.

3-санлы лекция. Кристаллар структурасы симметриясы элементлерін қосыу. Бравэ пәнжерелері. Симметрияның кеңістіктегі 230 топтары. Кери пәнжере. Структуралық кристаллографияның тейкарғы формулалары.

4-санлы лекция. Кристаллардың физикалық қасиетлерін тензорлық хәм симметриялық тәріплеу ұсыллары. Кристал тутас бир текли анизотроп орталық сыпатында. Тензорлар хәм олардың түрлендіріулері. Векторлардың хәм 2-рангалы тензорлардың қураушыларын түрлендіріу.

5-санлы лекция. Хәр қыйлы рангалардағы тензорлар. Псевдотензорлар (аксиал тензорлар). Симметриялық хәм антисимметриялық тензорлар. Тензорларды геометриялық жақтан интерпретациялау.

6-санлы лекция. Көрсеткіш бетлер. Скалярлардың, псевдоскалярлардың хәм векторлардың симметриясы. Физикалық қасиетлердің симметриясы. Кристаллофизикалық координаталар системасы.

7-санлы лекция. Кристаллардың механикалық қасиетлері. Кристаллардың серпимлилик қасиетлері. Кристаллар ұшын Гук нызамы.

8-санлы лекция. Кристалдың симметриясының серпимлилик коэффициентлері тензордың түріне тәсірі. Жылжыу менен болатуғын эластик деформация. Жылжыу элементлері.

9-санлы лекция. Кристалдың сызықты жыллылық кеңейіуі. Жыллылық өткізгішлік.

10-санлы лекция. Фазалық өтіулер. Полиморфизм. Биринші хәм екінші әулад фазалық өтіулері. Атомлар тербеліслері хәм полиморфлық өтіулер. Дебай хал теңлемесі хәм Грюнайзен формуласы. Фазалық өтіулер хәм кристаллар симметриясы.

11-санлы лекция. Кристаллардың оптикалық қасиетлері. Кристаллардың поляризациясы. Поляризацияның тейкарғы түрлері.

12-санлы лекция. Электр өткізгішлік. Диэлектриклік жоғалтыулар. Пироэлектрик қубылыстар. Пьезоэлектрик эффект хәм электрострикция.

13-санлы лекция. Ферроэлектриклердің электрлік қасиетлерінің өзгешеліклері хәм доменлік қурылысы. Кристаллардың оптикалық қасиетлері.

14-санлы лекция. Кристаллардың структуралық анализі тейкарлары. Электрон тығызлығы функциясы. Фурье интегралы. Температуралық фактор. Кристаллардағы дифракция.

15-санлы лекция. Лауэ шәртлері. Шашырау сферасы. Структуралық амплитуда. Шашыраулар интенсивлігі. Дифракциялық сүреттің симметриясы хәм оның кристалл симметриясының нокатлық топары менен байланысы.

16-санлы лекция. Дифракциялық сүретте кристаллдың кеңістіктегі симметриясының көрініуі. Өшіулер.

**1-санлы лекция. Кирисіу. Кристаллографиядан тийкарғы
мағлыұматлар. Кристаллардың қурылысы хәм кеңислик
пәнжереси. Кристаллардыңәпиұайы шекли симметрия
элементлери. Кристаллографиялық категориялар, системалар
хәм сингониялар. Кристаллар симметриясының ноқатлық
топарлары (класслары)**

Техниканың пайда еткен машқалалары, кристаллардағы рентген нурларының дифракциясының ашылыұы, рентгенструктуралық анализдің методларының исленип шығылыұы, соның менен бир қатарда қатты денелердің атомлық-кристаллық қурылысын изертлеудің басқа да дифракциялық методларының ашылыұы XX әсирдің басына шекем өзгермей келген кристаллография илиминің тез раұажланып кетиұине ұлкен түртки берди. Егер сол ўақытларға шекем кристаллография геологиялық-минералогиялық илимге жақын болып келген болса, енди ол физика, химия, техникалық илимлердің көп тараұлары менен тиккелей байланыса баслады хәм кейинирек сол илимлер арасындағы байланыстырыұшы орайлық орынды ийеледи. Кристаллография илиминің өзинің орайы менен мақсети кристаллофизика тәрепке көбирек аұысты. Усының менен бирге кристаллардың қәсийетлерин изертлеуде математиканың тутқан орны артты.

Кристаллардың физикалық қәсийетлери өлшенген шамалар арасындағы қатнаслар менен тәриппленеди. Мысалы тығызлық масса менен көлем арасындағы қатнастан анықланады. Масса менен көлем бағытларға байланыссыз болғанлықтан тығызлық бағыттан ғәрезсиз қәсийет болып шығады. Керисинше салыстырмалы электр өткизгишлик сыяқлы қәсийетлер хәр қайсысы бағытқа байланыслы болған физикалық шамалар арасындағы қатнастан келип шығады (бул жағдайда электр майданының кернеұилиги хәм тоқ тығызлығы). Экспериментлер хақыйқатында да кристаллардың көпшилик физикалық қәсийетлеринің усы физикалық қәсийет өлшенген бағытқа байланыслы екенлигин көрсетеди. Бундай жағдайларда кристалларды қарап атырылған қәсийетлерге қарата *анизотроп* деп қараймыз.

Демек кристаллардың физикалық қәсийетлерин қалай тәрипплеймиз деген тәбийий со-
раұ пайда болады. Усыған байланыслы лекциялар текстинде кристаллардың физикалық

қасиетлеринің тензорлық жазылыуларының тәртіптері берілген хәм усындай тензорлардың не екенлігі хәм қалай қолланылатуғынлығы түсіндірілген.

Биз дәслеп улыўма түрде кристаллардың жыллылық, электрлік хәм механикалық қасиеттері арасындағы байланысларды көрсетип өтемиз. Бундай байланыслар усы кири-сиў бөлиминде келтирилген A хәм B сүүретлеринде сәўлендирилген. Сыртқы үш мүйешликтің төбелеринде температура T , электр майданының кернеўилигі E_i , кернеўлер σ_{ij} қойылған. Бул шамаларды кристалларға түсирилген ‘күшлер’ деп қараўға болады. Ишки үш мүйешликтің сәйкес төбелеринде S - көлем бирлигиндегі энтропия, D_i - электр индукциясы хәм ε_{ij} деформациясы жайласқан. Бул шамалар сәйкес күшлердің тәсир етиўинің тиккелей нәтийжеси болып табылады. Сыртқы хәм ишки үш мүйешликлердің сәйкес төбелерин байланыстыратуғын жуўан сызықлар *бас эффектлер* деп аталатуғын үш бас эффектке сәйкес келеди.

1. Қайтымлы процессте температураның өсиўи бирлик көлемде энтропияның төмендегідей өзгерисин болдырады:

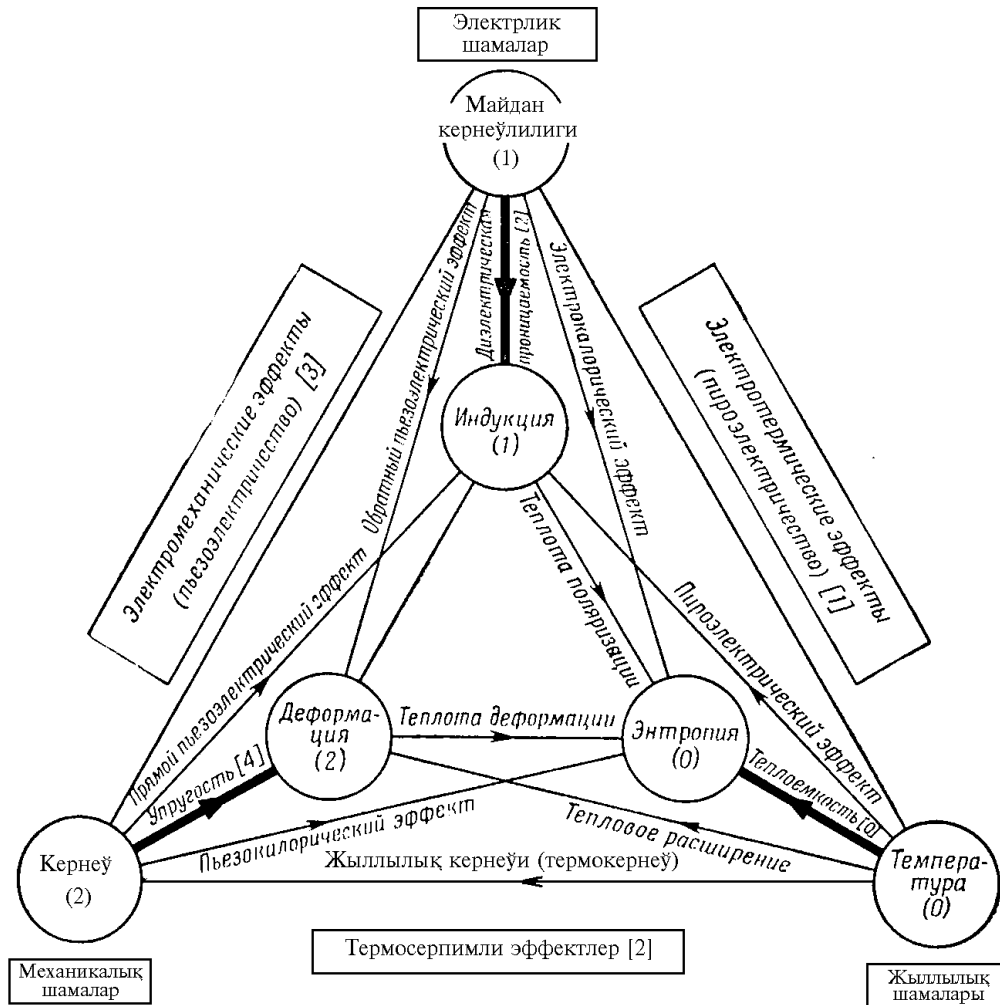
$$dS = (C/T)dT.$$

Бул аңлатпадағы скалярлар C бирлик көлем ушын жыллылық сыйымлылығы хәм T - абсолют температура болып табылады.

2. Электр майданының киши өзгериси dE_i электр индукциясының өзгериси dD_i ди пайда етеди:

$$dD_i = \chi_{ij}dE_j.$$

Бул жерде χ_{ij} диэлектриклик сиңиргишлик тензоры болып табылады.



А сүрөт. Кристаллдардың жылылық, электрлік хәм механикалық қасиетлері арасындағы қатнастар.

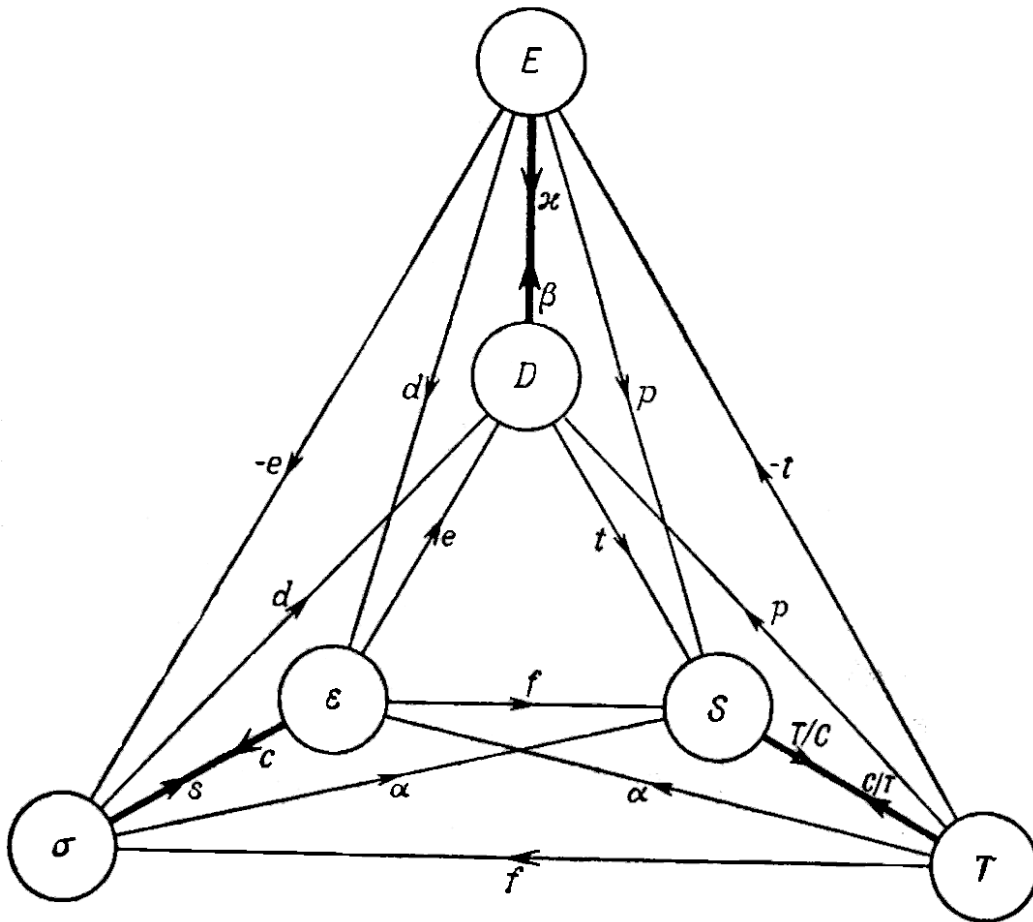
Ғәреcсиз өзгеріушілер үшін тензордың рангасы үшін дөңгелек қаўсырмалар, ал қасиетлер үшін квадрат қаўсырмалар қолланылған.

3. Кернеудің киши өзгерісi $d\sigma_{k1}$ төмендегi қатнас бойынша деформацияның өзгерісi $d\varepsilon_{ij}$ ты пайда етеди.

$$d\varepsilon_{ij} = s_{ijk1} d\sigma_{k1}.$$

Бул жерде s_{ijk1} серпимли берилгишлик тензоры деп аталады.

Сүрөтте келтирилген диаграмма **жуплық эффектлер** деп аталыушы эффектлерди де сәулендиреди. Бундай эффектлер сыртқы хәм ишки үш мүйешликлерди тутастырушы сызықлар арқалы көрсетилген. Мысал ретінде диаграмманың төменгi бөлиминдегi өзара параллел болған еки сызықты аламыз.



В сүүрет. Кристаллдардың жыллылық, электрлик хәм механикалық қәсийетлерин тәриплеўши шамалар арасындағы қатнастар.

Олардың бири жыллылық кеңейиўине (температураның өзгериўи менен жүретуғын деформация), ал екіншиси пьезокалориялық эффектке (механикалық кернеўдин тәсиринде жыллылықтың бөлинип шығыўы) сәйкес келеди. Диаграмманың төменги бөлиминдеги еки горизонт бағытындағы сызықлар деформация салдарынан бөлинип шығатуғын жыллылықты хәм кристаллдың температурасы өзгергенде пайда болатуғын жыллылық кернеўин (термокернеўди) береді. Бундай жуплық эффектлер скаляр менен екінши рангалы тензорлар арасындағы қатнастарды аңлатады хәм сонлықтан олардың өзлери екінши рангалы тензорлар болып табылады. Мысалы жыллылық кеңейиўи ушын

$$d\varepsilon_{ij} = \alpha_{ij}dT$$

аңлатпасын жаза аламыз.

Диаграмманың шеп тәрепи кристаллдардың пьезоэлектрлик қәсийетлери менен байланысly болған жуплық эффектлерди сәўлелендиреди. Туўры пьезоэлектрлик эффект дифференциал формада

$$dP_i = d_{ijk}d\sigma_{jk}$$

теңдемеси менен тәріпленеди.

$$D_i = \chi_0 E_i + P_i$$

болғанлықтан

$$dP_i = dD_i - \chi_0 dE_i.$$

Сонлықтан, егер кристалда электр майданы турақлы етип ушлап турылатуғын болса төмендегидей формуланы жаза аламыз:

$$dD_i = d_{ijk} d\sigma_{jk}.$$

Солай етип туўры хәм кери пьезоэффектлер диаграмманың шеп тәрәпиндеги диагоналар менен тәріпленеди.

Жоқарыда келтирилгендей жоллар менен диаграмманың басқа тәрәплеринде сәўленген байланысларды аңсат таба аламыз. В сүүретте болса физикалық шамалар қабыл етилген белгилеўлерде берилген.

Солай етип кристаллардың жыллылық, электрлик хәм механикалық қәсийетлериниң барлығын да биргеликте қараўымызға болады екен. Әлбетте сол қәсийетлер арасындағы байланысларды түсиниў ушын сәйкес процесслердиң термодинамикасын қарап шығыў керек. Бундай мәселелер ҳаққында лекциялар текстлеринде айқын процесслер қаралғанда толық айтылады.

Кристаллографиядан тийкарғы мағлыўматлар

Кристаллардың структурасы хәм кеңислик пәнжереси

Кристаллофизика ишки симметриясына хәм дискрет атомлық қурылысына байланыс-лы болған кристаллардың физикалық қубылыслардың ызыамларын үйренеди. Ал кристаллардың тийкарғы өзгешелиги олардың симметрияға ийе болыўы болып табылады.

Атомлар арасындағы кеңисликтеги өз-ара қатнаслар хәм олар арасындағы өз-ара тәсир етисиў күшлери кристаллардың ишки қурылысының симметриясын, ызыамлылықларын хәм дурыслығын тәріплейди. Кристалларды қурайтуғын бөлекшелер, яғный атомлар, ионлар, молекулалар, олардың комплекслери қатарлар, тегисликлер, пәнжере бойынша дурыс хәм симметриялы түрде жайласады. Ишки қурылысының симметриялы болғанлығы себепли кристаллардың физикалық қәсийетлери де, олардың сыртқы формалары да симметриялы болып келеди.

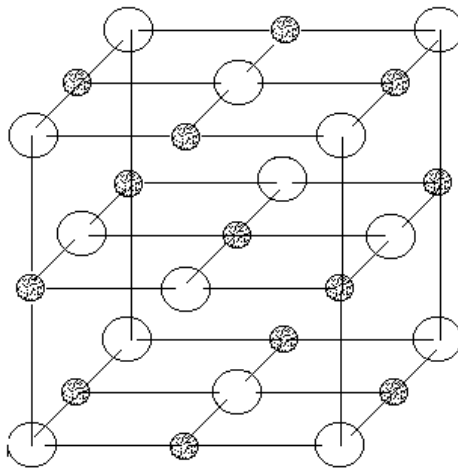
Кристалдың қәлиплескен структурасының симметриясы менен ызыамлылығы көплеген күшлер менен процесслердиң динамикалық тең салмақлылығының нәтийжеси болып табылады. Сыртқы тәсирлер (мысалы электр майданы, механикалық қысыў ямаса кристалға басқа түрли атомларды киргизиў) динамикалық тең салмақлықтың бузылыўына

алып келеди хәм соған сәйкес кристалдың физикалық қасиетлерин өзгертеди. Бул техникада кристаллардың физикалық қасиетлерин өзгертиўде кең түрде қолланылады.

Кристаллардың бир теклилиги, дискретлилик хәм анизотропиясы олардың қурылысының ызымлылығы менен симметриясының салдары болып табылады.

Кристаллар ишиндеги хәр бир нокат улыўма жағдайларда хәр қыйлы аўхалға ийе: бир нокатта бир сорттағы бөлекшелер (мысалы NaCl кристаллындағы Na ионының орайы), ал басқа нокатта басқа сорттағы бөлекшелер (мысалы Cl ядросы) жайласады. Ал үшінши нокатта болса ядролардың пүткиллей болмаўы мүмкин, бирақ бул нокат электр потенциалының белгили бир мәниси менен, төртинши нокат басқа бир мәниси менен тәриппленеди (1-сүўрет).

Бирақ тутасы менен алғанда кристал бир текли орталық болып табылады: оның қәлеген бир бөлими басқа бир бөлиминен артық та, кем де емес. Кристалдың бир теклилиги *бир теклилик радиусы* R диң болыўына байланыслы. Радиусы усындай болған шарды кристалдың қайсы бөлиmine жайғастырсақ та, қәлеген нокат пенен қатар усы нокат пенен бирдей болған нокат жайғасады (бул нокат берилген нокатқа қарата гомологиялық нокат деп аталады). Демек бир теклилик шарында кеминде еки Na хәм еки Cl ядросы жайғасады. Бир теклилик радиусы әдетте бир неше ангстремлерди қурайды. Соның менен бирге кристал дискрет - кристалдағы қәлеген нокатты қәлеген сандағы киши радиусқа ийе бир теклилилик шары менен қоршаў мүмкин. Бундай жағдайда бул шарлардың ишинде биринши шардың ишине қарата гомологиялық бир де нокат болмай шығады.



1-сүўрет. Тас дузының (ас дузының ямаса хлорлы натрийдың) қурылысы.

Бул жерде кристаллық затлардың структурасын тәрипплеўде еки түрдеги көз-карастың орын алатуғынлығын кеўил бөлемиз: кристалларды тутас (үзликсиз) деп те, дискрет (үзликли) деп те қараймыз. Ишки қурылыстың дискретлилиги кристал ишиндеги барлық нокатлардың бирдей физикалық қасиетке ийе болмайтуғынлығын көрсетеди. Бирақ кри-

сталлардың көплеген қасиетлерін тәріплегенде айырым атомлар менен молекулалардың көлемлеріне салыстырғанда үлкен, бірақ кристалдың өзінің көлеміне салыстырғанда киши болған көлемлерді қарау жеткиликли. Усындый жоллар менен кристалларды тутас хәм бир текли орталық деп қарай аламыз.

Анизотропия деп кристаллардың хәр қыйлы бағытларда қасиетлерінің хәр қыйлы екенлигин айтамыз. Кристалдың қурылысында хәр қыйлы бағытларда бөлекшелер арасындағы байланыс хәм қашықтықлар хәр қыйлы болғанлықтан кристалдың дерлик барлық хәр қыйлы бағытларындағы физикалық қасиетлер хәр қыйлы болады (бірақ бир бирине симметриялық бағытларда бирдей). Кристаллардың өсиу тезлиги де анизотропиялық болады. Сонлықтан кристаллар симметриялық дурыс көпмүйешликлер формасында өседі.

Берілген заттың барлық кристалларында бирдей шараятларда сәйкес тәрептері арасындағы мүйешлердің мәніслери бирдей болады. Бул **кристаллардың мүйешлерінің турақтылығы нызамы** деп аталады (Николай Стенон тәрепинен 1669-жылы ашылған). Өлбетте, кристаллардың мүйешлерінің турақтылығы нызамы ҳаққында айтылғанда заттың берілген модификациясын нәзерде туту керек.

Кристаллық көп мүйешликлердің қаптал бетлери материаллық бөлекшелер тәрепинен дүзилген тегисликлерге, қабырғалары - материаллық бөлекшелер қатарларына сәйкес келеді. Бөлекшелердің массалары орайлары қатарлар, тегис торлар, кристаллық пәнжерелерді пайда етеді.

Идеал кристаллар қурылысында барлық гомологиялық (бирдей болып жайласқан) нокатлар шексиз узын дурыс симметриялық қатарлар түрінде жайғасады (2-сүүрет). Кристаллық кеңіслик нокатлары анизотроп. Сонлықтан бул нокатлар әдетте симметриялы емес фигуралар жәрдесінде сәулендириледі. Шексиз узын қатардағы гомологиялық нокатлар арасындағы ең киши қашықтық **ең қысқа** ямаса тийкарғы **трансляция** деп аталады. Бул қашықтықты а хәрипи менен белгилеймиз хәм **трансляция дәуири, қатардың бирдейлик дәуири, қатар параметри** деп те атаймыз. Айтылып атырған қатарлар, торлар, кристаллық пәнжерелер ойымызда шексиз көп түрли болып алына бериуи мүмкин.



2-сүүрет. Симметриялы шексиз узын қатар.

Кеңисликте бағытын өзгертпей қайталанатуғын симметриялық түрлендириу (яғный параллел көшириу) *трансляция жәрдеминде түрлендириу* ямаса тек *трансляция* деп аталады. Трансляция жәрдеминде базы бир ноқатты қайталау арқалы бир биринен a , $2a$, $3a$, ..., na , ... (n пүтин сан) қашықлықларында турған гомологиялық ноқатлардың шексиз узын дәуирли қатарын аламыз. Бул қатардың тәриплемеси болып a трансляциясы хызмет етеди хәм оның жәрдеминдеги симметриялық түрлендириу жолы менен алынған бир бирине байланысқан гомологиялық ноқатлар *қатардың түйинлери* деп аталады. Қатар түйининиң, тап сол сыяқлы тегис тордың ямаса кеңисликтеги пәнжерениң түйининиң материаллық ноқат пенен байланыслы болыуы (яғный усы түйинде материаллық ноқаттын жайласыуы) шәрт емес.

Симметриялық қатардың ноқатларын дәслепки трансляцияға параллел болмаған басқа a_2 трансляциясының жәрдеминде қайталау арқалы *тегис тор* түриндеги гомологиялық ноқатлар системасын аламыз (3-сүүрет). Еки өлшемли тегис тор a_1 хәм a_2 трансляциялары жәрдеминде толығы менен анықланады. Төбелери түйинлер болған параллелограмлар тегис тордың *қутышалары* деп аталады. Қапталлары элементар трансляциялар болған қутышалар тегис тордың *элементар қутышасы* деп аталады, ал ишинде түйин болмаған элементар қутыша *эпиуайы* элементар қутыша деп аталады. Эпиуайы элементар қутышаның майданы бир түйин ийелейтуғын майданға тең болады.

Түйинди бир бирине салыстырғанда компланар емес үш трансляция жәрдеминде шексиз көп қайталау арқалы гомологиялық ноқатлардың үш өлшемли системасы болған *кеңисликтеги пәнжере* пайда етиледі. Бул жағдайда да тийкарғы үш a_1 , a_2 , a_3 трансляцияларын көп санлы усыллар менен сайлап алыу мүмкин. Бирақ тегис тордағы сыяқлы бул жағдайда да пәнжерениң симметриясын анық сәулендире алатуғындай ең киши трансляциялар сайлап алынады.

Қабырғалары үш элементар трансляция болатуғын параллелопипед *элементар қутыша* ямаса *элементар параллелопипед*, ал ишинде түйин болмайтұғын элементар параллелопипед эпиуайы элементар қутыша ямаса эпиуайы параллелопипед деп аталады.

Элементар трансляцияларды (элементар қутыша қабырғаларын) a , b хәм c ямаса a_1 , a_2 , a_3 хәриплери менен, ал олар арасындағы мүйешлерди α , β , γ грек хәриплери менен белгилеу қабыл етилген (4-сүүрет).

Элементар қутышаның трансляциялық топары (топарлар хәққында кейинирек кең түрде айтылады) пәнжерени толығы менен тәриплейтуғын хәм қутышаның үш қабырғасына сәйкес келетуғын a_1 , a_2 , a_3 үш элементар трансляцияларын өз ишине алады.

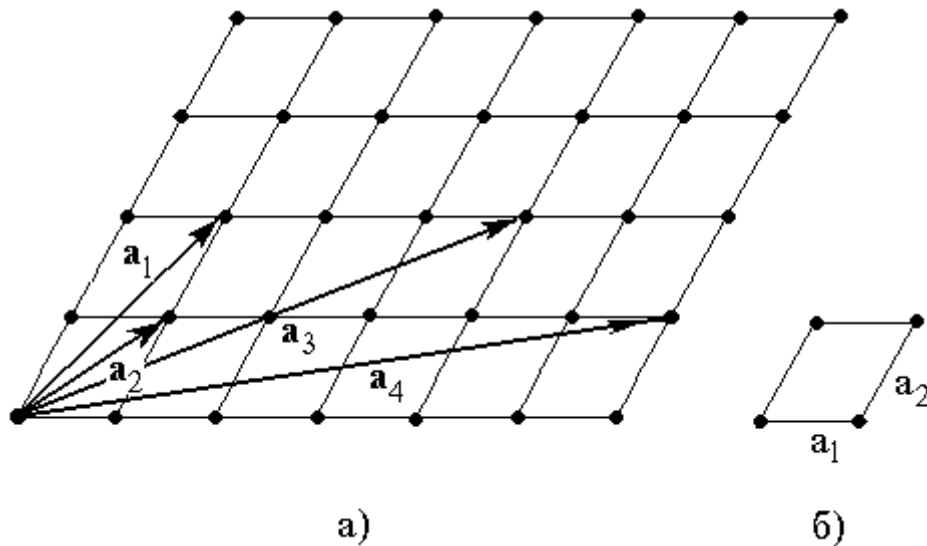
Егер a_1 , a_2 , a_3 тийкарғы үш трансляциялары белгили болса пәнжередеги қәлеген түйинниң жайласқан орны

$$\mathbf{R} = m\mathbf{a}_1 + n\mathbf{a}_2 + p\mathbf{a}_3$$

векторы менен анықланады. m , n , p лар пүтин санлар, \mathbf{a}_1 , \mathbf{a}_2 , \mathbf{a}_3 лер пәнжерениң **векторлық базисин** курайды.

Қос квадрат қаўсырмаға алынған $[[m,n,p]]$ санлары **түйиннің символы** деп аталады.

Кристаллографиялық бағыт деп кеминде еки түйин арқалы өтетугын туўры сызықтың бағытын айтамыз. Әдетте бул туўры бойында пәнжерениң шексиз көп түйинлери жатыўы керек. Усы түйинлердиң бирин $[[000]]$ деп белгилеп, координата басы ретинде қабыл етиў керек. Кристаллографиялық бағыт координата басына жақын жайласқан түйин тәрепинен толығы менен анықланады (яғный кристаллографиялық бағыттың индекси координата басына ең жақын жайласқан түйиннің координатасы менен анықланады).



3-сүрет. Симметриялы шексиз тегис тор фрагменти:

- а) элементар трансляциялар болған \mathbf{a}_1 , \mathbf{a}_2 , \mathbf{a}_3 хәм \mathbf{a}_4 лерди сайлап алыўдың хәр қыйлы усыллары; б) тордың симметриясына сәйкес келетуғын ең киши трансляцияларда дүзилген элементар кутыша.

Кристаллографиялық бағыттың символы $[mnp]$ түринде бир квадрат қаўсырмаға алынып жазамыз. m , n , p санлары берилген кристаллографиялық бағыттың хәм усы бағытқа параллел болған барлық бағытлардың **Миллер индекслери** деп аталады. Квадрат қаўсырмада жазылған үш сан **қатар ушын Миллер индекслери** деп аталады.

Кристаллографиялық координаталар көшерлери олар арасындағы мүйешлердиң мәнислерине ғәрезсиз $X [100]$, $Y [010]$, $Z [001]$ Миллер индекслерине ийе болады.

a , b , c , α , β , γ шамалары (кристал параметрлери ямаса кристал метрикасы деп те аталады) хәр бир кристаллық заттың материаллық константалары болып табылады. Улыўма

жағдайда $a \neq b \neq c$, $\alpha \neq \beta \neq \gamma$, яғный тийкаргы трансляциялар бир бирине тең емес хәм ортогонал емес (4-сүүрет).

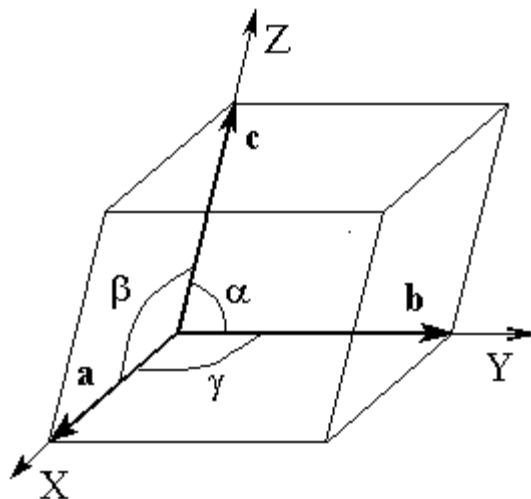
Кеңислик пәнжерелери кристаллографиялық координаталар системаларының бирден бир тийкары болып табылады. Координата басы ретінде қалеген бир түйин қабыл етиледі. Ал усы түйинде кесилисетуғын элементар трансляциялар координата басынан шығатуғын \mathbf{a}_1 , \mathbf{a}_2 , \mathbf{a}_3 векторлары сыпатында қабыл етиледі. Ковариант базислик векторлар деп аталатуғын бул векторлар компланар векторлар болып табылмайды. Себеби бул векторлар компланар болғанда элементар қутышаның көлеми нолге тең болған болар еді. \mathbf{a}_1 , \mathbf{a}_2 , \mathbf{a}_3 векторлары оң үшлик векторды пайда етеді. Сонлықтан XYZ кристаллографиялық координаталар системасы баркулла туўры сызықлы хәм оң.

Кеңислик пәнжереси кристаллық кеңисликтеги гомологиялық ноқатларды анықлаи-туғын геометриялық дүзиліс, басқа сөз бенен айтқанда кеңислик пәнжереси кристалдың қурылысындағы бөлекшелердің тарқалыуының үш өлшемлі дәуирлигининң схемасы болып табылады. Пәнжере түйиннің айқын атом менен сәйкес келиуі ямаса келмеуінен ғарезсиз кристал қурылысының симметриясын сәўлелендиреди.

Кристалдың қурылысы хаққында айтылғанда кеңисликтеги материаллық бөлекшелердің айқын жайласыуы нәзерде тутылады.

Биз жоқарыда кристаллық пәнжере түйинлерининң, кристаллографиялық бағытлардың символлары менен танысқан едик. Енди тегисликлерге (қаптал бетлерге) символлар қойыу (тегисликлерди ямаса қапталларды индекслеу) мәселеси менен шуғылланамыз.

Кеңисликтеги пәнжередеги тегис торлар хәм усы торларға параллел болған кристаллардың қаптал бетлери берилген координаталар системасына салыстырғанда белигили бир қыялықта жайласады. Кристалдың қалеген қаптал бети қандай да бир тегис торға параллел (яғный шексиз көп санлы тегис торларға параллел).



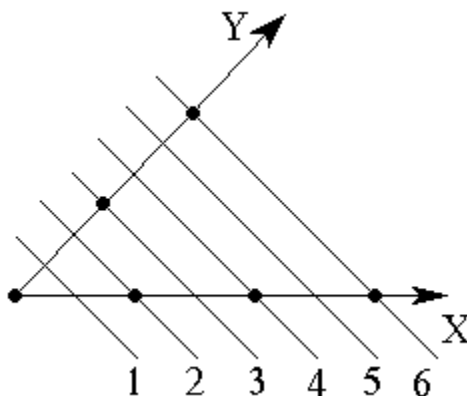
4-сүүрет. Элементар параллелопипед (стандарт белгилеулер қолланылған)

Мейли пәнжерениң базы бир тегислиги барлық координата көшерлерин ma , nb , pc кесиндилеринде кесип өтетуғын болсын. $m:n:p$ қатнасы тегисликтің координаталар көшерине қыялығын тәриплейди. Усы тегисликке параллел болған барлық тегисликлер семействосының да қыялығы усы қатнас пенен анықланады.

5-сүўретте көрсетилген тегисликлер семействосы ушын төмендеги кестени аламыз:

Тегисликтің қатар саны	Көшерлер бойынша кесиндилер			$m:n:p$
	X	6	Z	
1	$a/2$	$b/3$	∞	$1/2:1/3:\infty = 3:2:\infty$
2	a	$2b/3$	∞	$1:2/3:\infty = 3:2:\infty$
3	$3a/2$	b	∞	$3/2:1:\infty = 3:2:\infty$
4	$2a$	$4b/3$	∞	$2:4/3:\infty = 3:2:\infty$

Барлық өз ара параллел тегисликлер ушын рационал санлардың $m:n:p$ қатнасын пүтин әпиўайы $p:1:4$ санларының қатнасындай етип көрсетиў мүмкин екен. Бул санларды **Вейсс параметрлери** деп атаймыз. Келтирилген мысалда $1/2:1/3:\infty = 1:2/3:\infty = 3/2:1:\infty = 2:4/3:\infty = 3:2:\infty$.



5-сүўрет. Параллел болған тегисликлер семействосы ушын символларды анықлаў ушын сүўрет.

Кристаллографияда тегисликлерди (ямаса усы тегисликке түсірилген нормалларды) параметрлер менен емес, ал **Миллер индекслери** менен беріў қабыл етилген. Миллер индекслери пүтин санларға келтирилген Вейсс параметрлериниң кери шамалары болып табылады. Егер тегисликлердиң параметрлери p , 1 , 4 болса Миллер индекслери былайынша анықланады:

$$\frac{1}{p} : \frac{1}{q} : \frac{1}{r} = h : k : l.$$

Келтирилген мысалда $h:k:l = 2:3:0$.

h, k, l санлары тегисликтің **индексleri** деп аталады. Әпиұайы қаўсырмаға алып жазылған (hkl) санларын тегисликтің символы деп атаймыз.

Кристаллардың әпиұайы шекли симметрия элементleri. Кристаллық кеңисликтің (ямаса фигураның) **геометриялық симметриясы** деп базы бир симметриялық түрлендириўлердеги өзиниң дәслепки аўхалындай аўхал менен үйлесиў қәсийетине айтамыз. **Симметриялық түрлендириў** ямаса **симметриялық операция** кеңисликти (ямаса фигураны) өзи менен үйлесиўине алып келетуғын шашыратыў, бурыў (айландырыў), көшириўден турады.

Кристаллардың физикалық қәсийетleriниң симметриясы менен анизотропиясы кристаллардың сыртқы көп жақлы формаларында анық көринеди. Кристалдың көп жақлы формасы тек ғана өсиў тезлигиниң анизотропиясының нәтийжеси болып табылмай, сол кристалдың өсиўинде туўдырылған сыртқы шараятлардың да нәтийжеси болып табылады (температура градиенти, қоңысылас кристаллар ямаса ыдыс дийўалларын менен тийисиў, салмақ күшиниң тәсири, орталықтың бир тексизлигиниң ақыбети ҳ.т.б.). Биз кристалдың өсиўиниң реал шараятларына кеўил бөлмей ҳәзирше тек ғана идеал кристаллық көп жақлылардың симметриясын қараймыз.

Симметриялы фигура ямаса **симметриялы көп жақлы** деп симметриялық түрлендириўдиң нәтийжесинде өзиниң дәслепки аўхалындай аўхал менен үйлесетуғын фигураларды айтамыз.

Симметрия элементleri деп фигураның симметриясы табылатуғын жәрдемши образларды (ноқатлар, туўры сызықлыр, тегисликлер) айтамыз. Барлық симметриялық түрлениўлерде фигураның барлық ноқатлары арасындағы қашықлықлар өзгермей қалады (яғный қысылыў, буралыў, иймейиў ҳәм сол сыяқлы өзгерислер болмайды).

Симметриялық түрлениўлерди (түрлендириўлерди) еки типке айырыўға болады: 1) фигураның ең кеминде бир ноқаты өз орнында қозғалмай қалатуғын **шекли** ямаса **ноқатлық** ҳәм 2) фигураның ҳеш бир ноқаты өз орнында қалмайтуғын **шексиз** ямаса **кеңисликтеги** симметриялық түрлендириў. Шекли симметриялық түрлениўлер (ямаса түрлендириўлер) идеал кристаллық көп жақлылар симметриясына, ал шексиз симметриялық түрлениўлер структура (қурылыс) симметриясына сәйкес келеди.

Биз симметрия элементlerini тәриплегенимизде Герман ҳәм Могенлер тәрәпинен исленип шығылған халықаралық символлардан пайдаланамыз.

Эпиұайы шекли симметриялық операциялар. Шашырау хәм айланыу (бурау) эпиұайы симметрия элементлери болып табылады. Олар төмендегидей симметрия элементлери менен тәріпленеди:

	Халықаралық символ
Симметрия тегислиги	m
Симметрия көшери	n (n = 1, 2, 3, 4, 6)
Симметрия орайы	$\bar{1}$

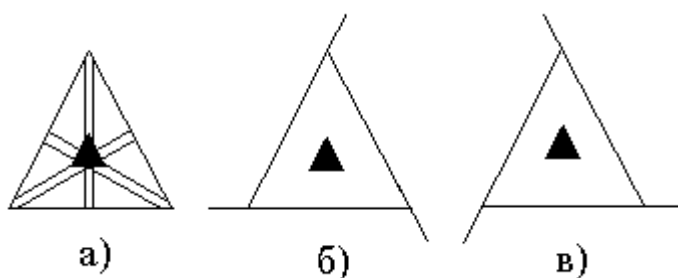
Бул кестедеги n көшердің тәртібин аңлатады (мәніси кейинирек анықланады).

Симметрия тегислиги (m) деп фигураны бир бирине салыстырғанда еки айналык бөлімге бөлетуғын тегисликке айтамыз.

Мысалы тең қапталлы үш мүйешликте усы үш мүйешлик тегислигине перпендикуляр болған үш симметрия тегислиги бар (6-сұурет).

Кубта 9 симметрия тегислигин көриуге болады. Олардың үшеуі кубтың қабырғаларына перпендикуляр, ал қалған алтауы диагоналық тегисликлер бойынша жайласады.

Симметрия көшери (n) деп дөгерегинде бурғанда фигура өз өзи менен бетлесетуғын туұры сызықты айтамыз. Бурьудың элементар мүйеши (яғный фигураны өзиниң дәслепкидей аұхалы менен бетлестиретуғын ең киши мүйештиң мәніси) 2π мүйеши ишинде пүтин сан еселенген муғдарда болады. **Көшердің тәртіби** деп аталыушы n саны фигураны толық бир рет бурғанда (яғный 360° қа бурғанымызда) өз өзи менен неше мәртебе бетлесетуғынлығын анықлайды.



6-сұурет. Үш мүйешликтің симметриясы: 3 көшери нейтраль хәм үш симметрия тегислиги (а), 3 көшери оң, симметрия тегислиги жоқ (б) хәм 3 көшери терис, симметрия тегислиги жоқ.

6-сүўретте үш тең қапталлы үш мүйешлик көрсетилген. Биринши үш мүйешликте үшінши тәртіпті симметрия көшеринен басқа сүўрет тегислигине перпендикуляр болған үш симметрия тегислиги де, ал б) хәм в) сүўретлерде көрсетилген үш мүйешликлерде тек үшінши тәртіпті симметрия көшери бар. Көшерлердің биреуі оң, екиншиси терис. Усы геометриялық фигураларды материаллық фигура сыпатында қарап, оларды оң хәм терис үш мүйешликлер сыпатында қарай аламыз.

Биринши тәртіпті симметрия көшери (1 көшери) қалеген фигурада (геометриялық хәм материаллық) болады. Қалеген бағыт этирапында 360^0 қа бурылған қалеген дене өз өзи менен бетлеседи.

Симметрия көшерлериниң жазылыў тәртібине кеўил бөлиў керек. Әдетте 1 ямаса 2 санлары 1- хәм 2- тәртіпті симметрия көшерлерин аңлатады. Ал “-” (“инши”) белгиси қойылыўы шәрт жағдайларда бул белги де қоланылады. Қалған барлық симметрия көшерлери ушын да усы қағыйда өз күшинде қалады.

Шар ең жоқары симметрияға ийе фигура болып табылады. Оның диаметрлериниң шексиз көплиги ∞ тәртіпті симметрия көшери болып табылады. Өз гезегинде хәр бир диаметр арқалы шексиз көп санлы симметрия тегисликлери өтеди.

Конуста бир дана ∞ тәртіпті симметрия көшери болады. Усы көшер дөгерегинде конусты қалеген мүйешке бурсақ та конустың аўхалының өзгермейтуғынлығын көремиз. Соның менен бирге бул көшер арқалы шексиз көп санлы симметрия тегисликлери де өтеди.

Тәбийий объектлерде 1 ден ∞ тәртіпті симметрия көшерине шекем қалеген тәртіптеги симметрия көшерлерин табыўға болады. Ал кристаллардың геометриялық формаларында тек 1, 2, 3, 4 хәм 6 - тәртіпті симметрия көшерлери болады. Әдетте кристалларда 5- хәм 6-тәртіпті симметрия көшеринен жоқары тәртіптеги симметрия көшерлери болмайды.

Демек симметрия көшериниң тәртіби деп

$$n = 360^0/\varphi$$

санына айтады екенбиз. Бул жерде φ арқалы фигураны өз өзи менен бетлестиретуғын ең киши мүйештиң шамасы.

Соңғы ўақытлары айырым биологиялық тири организмлерде 5-тәртіпті симметрия көшерлери табылды. Шамасы, бундай объектлерде кристаллық затлардағыдай симметрия көшерлериниң болмаўы тиришилиқ ушын гүрестиң нәтийжеси болса керек (егер кристаллардағыдай симметрия көшерлери болғанда тири организмлерде кристалланыў, демек өлиў қәўипи болған болар еди).

Симметрия орайы ($\bar{1}$, **инверсия орайы** ямаса **кери теңлік орайы**) деп фигураның ишіндегі айрықша нокатты түсінеміз. Усы нокат арқалы өткерілген туұры нокаттың екі тәрәпинде бірдей қашықтықтарда бірдей нокатларды ушыратады. Демек симметрия орайындағы симметриялық түрлендіріу дегеніміз нокаттағы шашыратыу болып табылады екен. Симметрия орайы үшін мысаллар 7-сүұретте келтирилген.

Симметрия орайы бар кристалларда поляр туұрылардың болыуы мүмкін емес. Хәр қыйлы бағытлар бойынша қәсийетлер хәр қыйлы болатуғын туұрылар **поляр туұрылар** деп аталады.

m , 2, 3, 4, 6, $\bar{1}$ лердің жыйнағы менен кристаллардағы әпиұайы симметрия элементлери питеди.

Фигураның хәр бир симметрия элементи жәрдеминде сәйкес симметрия операциялары оранланады: 3 көшери фигураны 120^0 хәм 240^0 қа; 4 көшери фигураны 90^0 , 180^0 , 270^0 ; ал 6 көшери 60^0 , 120^0 , 180^0 , 240^0 , 300^0 мүйешлерге бурады. Симметрия көшери тәрәпинен орынланатуғын барлық бурыұларды бир элементар бурыұды қайталаұдың нәтийжеси деп қараұға болады: 2 көшери үшін 180^0 , 3 көшери үшін 120^0 , 4 үшін 90^0 , 6 үшін 60^0 . Туұры цифрлар менен белгиленген симметрия көшерлеринен элементар бурыұларды айырыу үшін курсив цифрлардан пайдаланамыз хәм бул цифрларға қайсы көшер дөгерегинде бурылғанлығын айқынластырыушы индекс қойылады. Мысалы 2_x хәм 2_y лер (ямаса $2_{[100]}$ хәм $2_{[010]}$) сәйкес x хәм y көшерлери дөгерегиндегі 120^0 қа бурыұларды билдиреди. Бир неше элементар бурыұларды қайталау элементар бурыұдың сәйкес дәрежеси деп қаралады. Мысалы, егер 60^0 қа бурыу 6_z деп белгиленген болса, онда усы көшер дөгерегиндегі 120^0 , 180^0 , 240^0 , 300^0 қа бурыұлар 6_z^2 , 6_z^3 , 6_z^4 , 6_z^5 деп белгиленеди. Демек

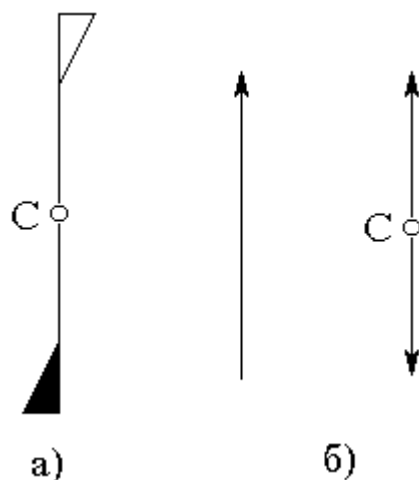
$$6_z^2 = 3_z, 6_z^3 = 2_z, 4_z^2 = 2_z$$

теңдіклериниң дурыс екенлиги анық көринип тур.

m тегислигиндегі шашырау операциясы индекс қойылған симметрия тегислигиниң символы менен белгиленеди. Бағыт келтирилген индекс симметрия тегислигиниң сол бағытқа перпендикуляр екенлигин аңлатады. Мысалы m_x ямаса $m_{(100)}$ белгилеулері m ниң x қа ямаса перпендикуляр екенлигин ямаса (100) тегислигине параллел екенлигин билдиреди. Инверсия операциясы, яғный симметрия орайы $\bar{1}$ деги шашырау сол $\bar{1}$ символы менен белгиленеди.

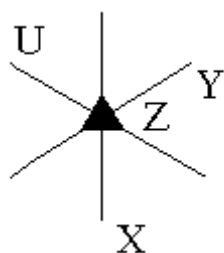
Жоқарыда айтылғанлар менен бирге симметрия операциялары қатарына **бирлік операция** (ямаса **теңдестіріу операциясы**) да киреди. Бул операцияны 1 арқалы белгилеймиз (яғный 1-тәртіпли симметрия көшериниң белгиси).

Егер фигура бир неше симметрия элементлерине ийе болатуғын болса, онда олар бир-геликте пайда ететуғын симметрия операциялары курамаласады.



7-сүүрет. Симметрия орай жәрдеминдеги симметриялық түрлендириўлер (а),
симметрия орайы жоқ поляр стрелка хәм орайға қарата симметриялы
поляр емес стрелка (б)

Мысаллар келтиремиз. Мейли фигура 3 көшерин хәм оған перпендикуляр болған 2 ге ийе болсын (бул кварц кристалының симметриясы). 3 көшери 3 хәм 3^2 бурыўларын пайда етеди, ал 2 болса 2_x ти туўғызады (пайда етеди). Хәр бир симметрия операциясы фигураны өзи менен бетлестиретуғын болғанлықтан, бир биринен кейин орынланатуғын симметрия операциялары бул **операциялардың көбеймеси** деп аталады. Нәтийже де фигура өзиниң дәслепки аўхалы менен бетлеседи хәм сонлықтан операциялардың көбеймеси де симметрия операциясы болып табылады. Бир биринен кейин исленген еки симметрия операциясының нәтийжесин көрейик: дәслеп 3_z , кейин 2_x операцияларын әмелге асырамыз. Бул еки операция 2_7 операциясына тең болып шығады (8-сүўретте көрсетилген). Демек биз бул жерде кварц қурылысында 3_z хәм 2_x симметрия элементеринен басқа 2_7 көшериниң де бар екенлиги көремиз. Тап усындай жоллар менен 2_y тиң бар екенлигине көз жеткерийге болады.



8-сүрөт. Еки симметрия операциясын избе-изликте орынлаудың нәтийжеси:

$$3_z 2_x = 2_7.$$

Кварцтың қурылысында ислениўи мүмкин болған симметрия операцияларының жуплары төмендеги кестеде берилген:

Көбейтиўши		Оң					
		1	3_z	3_z^2	2_x	2_y	2_6
Терис	1	1	3_z	3_z^2	2_x	2_y	2_6
	3_z	3_z	3_z^2	1	2_y	2_y	2_x
	3_z^2	3_z^2	1	3_z	2_7	2_x	2_y
	2_x	2_x	2_7	2_y	1	3_z^2	3_z
	2_y	2_y	2_x	2_7	3_z	1	3_z^2
	2_7	2_7	2_y	2_x	3_z^2	3_z	1

Жоқарыда келтирилген дара мысалдан төмендегидей теорема келип шығады:

Теорема 1. Егер n -тәртіпті көшерге перпендикуляр бағытта 2 көшери өтетугын болса, онда усы n ге перпендикуляр болған n дана 2 орын алады.

Симметрия операцияларын көбейтиў бойынша және де бир неше теоремаларды келтиремиз:

Теорема 2. Еки симметрия тегислигиниң кесилисиў сызығы усы еки тегислик арасындағы мүйештен еки есе үлкен мүйешке буратуғын симметрия көшери болып табылады.

Теорема 2а (2-теоремаға қарама-қарсы). Симметрия көшери дөгерегиндеги бурыўды симметрия тегисликлериндеги еки шашыраў менен алмастырыў мүмкин.

Теорема 3. Жуп тәртіпті симметрия көшери менен усы көшерге перпендикуляр болған симметрия көшериниң кесилисиў ноқаты симметрия орайы болып табылады.

n симметрия көшери менен оған перпендикуляр болған симметрия тегислигиниң қосындысы n/m деп белгиленеди. (усы қарап атырған жағдайымызда $2/m$).

Теорема 3а. Егер жуп тәртіпті симметрия көшери бойында симметрия орайы жайласқан болса, усы ноқат арқалы көшерге перпендикуляр симметрия тегислиги өтеди.

Теорема 3б. Егер симметрия орайы арқалы симметрия тегислиги өтетугын болса, усы ноқат арқалы тегисликке перпендикуляр болған симметрия көшери өтеди.

Теорема 4. Егер n -тәртіпті симметрия көшери бойынша симметрия тегислиги өтеуі болса, усындай симметрия тегисліклерінің саны n ге тең болады. Симметрия элементтерінің бундай қосындысы nm түрінде белгиленеді.

Симметрия операцияларын бір бирине көбейтіу арқалы бизге жоқарыда белгили болған хәм және де бір симметрия операциясын аламыз: элементар буралыу n менен инверсия $\bar{1}$ диң көбеймеси. Көбейтіудің қалеген избе-излигинде **элементар инверсиялық** бурыу деп аталатуғын симметрия операциясы болады хәм \bar{n} арқалы белгиленеди., яғный $\bar{1} \cdot n = n \cdot \bar{1} = \bar{n}$.

Өтирапында инверсиялық бурыулар әмелге асырылатуғын көшерлер **симметрияның инверсиялық көшерлери** деп аталады. Симметриялық бурыу мүйешлери сыяқлы кристалларда 1-, 2-, 3-, 4- хәм 6- тәртіпті инверсиялық симметрия көшерлери болады.

Инверсиялық бурыулар ишинде жоқарыда айтылған еки симметрия операциясы бар: инверсиялық 1 көшерінің тәсири инверсия орайының тәсириндей болады, ал 2 көшерінің дөгерегиндеги инверсиялық бурыу симметрия тегислигинің тәсири менен бирдей, яғный $\bar{2} \equiv m$. Басқа инверсиялық бурыулар жаңа симметрия операциялары болып табылады (яғный еле таныс емес жаңа симметрия элементтерінің тәсири болып табылады).

Элементар инверсиялық бурыуларды қайталау төмендегидей нәтижелерге алып келеди:

$$\bar{3}_z^2 = 3_z; \quad \bar{3}_z^3 = \bar{1}; \quad \bar{3}_z^4 = 3_z;$$

$$\bar{4}_z; \quad \bar{4}_z^2 = 2_z; \quad \bar{4}_z^4 = 1.$$

Солай етип **кристаллық көп жақтылардың симметриясы** $m, 1, 2, 3, 4, 6, \bar{3}, \bar{4}, \bar{6}$ симметрия элементтерінің жыйнағы менен толық тәрипленеди.

Кристаллографиялық категориялар, системалар хәм сингониялар. Геометриялық симметриясы, өсиу формалары хәм физикалық қасиеттерінің симметриясына байланыслы кристаллар категорияларға, системаларға хәм сингонияларға (сингония сөзи уқсас мүйешлер деген мәніни аңартады) бөлинеди.

Категориялар менен таныспастан бурын кристаллардағы айрықша (ямаса бирлик) бағытлар хаққындағы түсиник киргиземиз. Кристалда қайталанбайтуғын бағыт **айрықша** ямаса **бирлик** бағыт деп аталады. Мысалы ултаны квадрат болған пирамидадағы 4 көшері бағыты, алты мүйешли қалемдеги 6 көшерінің бағытын бирлик бағыт (ямаса айрықша бағыт) болып табылады.

Кубта 4 көшери бірден бір көшер емес. Тап сол сыяқлы кубта қайталанбайтуғын симметрия көшерін таба алмаймыз. Сонлықтан кубта бірлік бағыт болмайды. Кристалларда симметрия элементелері жәрдемінде қайталанатуғын бағыттар **симметриясы бойынша эквивалент бағытлар** деп аталады.

Бірлік бағытлары хәм симметрия көшерлерине байланысқан кристаллар үш категорияға бөлінеді:

жоқары категория - бірлік бағыт жоқ, тәртіби 2 ден жоқары болған бір неше симметрия көшерлері бар;

орта категория - жалғыз 3, 4 ямаса 6 көшери (яғный 2 ден жоқары көшер) бағытында бір бірлік бағыты бар кристаллар (мысал ретінде үш, төрт, алты мүйешли призманы көрсетіуге болады);

төменгі категория - бірнеше бірлік бағытлар, тәртіби 2 ден жоқары бір де симметрия көшери жоқ (мысалы үш 2 көшерге ийе ромба тәрізлі призма).

Жоқары категорияға жатыўшы кристалда 2 ден тәртіби жоқары болған бір неше симметрия көшерлері бар, соның менен бирге шәртлі түрде 3 дана 3, олардан басқа 3 дана 4 ямаса $\bar{4}$ болыўы керек. Бул ең жоқары симметрияға ийе кублық кристаллар болып табылады. Бундай кристалларда бірлік бағыт жоқ. Жоқары категорияға кириўшы кристалларда алынған қәлеген бағыт ушын симметриялық жақтан эквивалент басқа да бағытты табыўға болады. Симметриялық жақтан эквивалент бағытларда физикалық қәсийетлер бирдей. Сонлықтан бундай кристалларда физикалық қәсийетлер анизотропиясы хәлсиз бақланады. Ал екінші рангалы тензорлар менен тәріпленетуғын физикалық қәсийетлер болса (электр өткізгішлік, жыллылық өткізгішлік, диэлектриклик сиңиргішлік х.т.б.) пүткиллей изотроп.

Орта категорияға бір бірлік бағыты, атап айтқанда 3, 4 ямаса 6 болған жалғыз симметрия көшери (эпиўайы ямаса инверсиялық) бар кристаллар киреди. Бундай кристаллардың физикалық қәсийетлериниң анизотропиясы жоқары категория кристалларына салыстырғанда кескин түрде көринеди.

Төменгі категорияға тәртіби 2 ден жоқары болған көшерлері болмайтуғын, бірнеше бірлік бағытлары бар кристаллар киреди. Бул симметриясы ең төмен, ал физикалық қәсийетлериниң анизотропиясы ең жақсы бақланатуғын кристаллар болып табылады.

Төменгі категория үш системаға бөлінеді:

триклин (үш рет қыяланған) система - бундай кристалларда симметрия көшерлері де, тегисликлері де болмайды;

моноклин (бир бағытта қыяланған) система - тек бір дана екінші тәртіпті симметрия көшери ямаса бір дана симметрия тегислігі ямаса бір дана 2 және бір m болады;

ромбалық система - кристалда бірден аслам 2 ямаса бірден аслам m болады.

Орта категория да үш системаға бөлінеді:

тригональ - бір тийкарғы симметрия көшери 3 ямаса $\bar{3}$ болады;

тетрагональ - бір тийкарғы симметрия көшери 4 ямаса $\bar{4}$ болады;

гексагональ - бір тийкарғы симметрия көшери 6 ямаса $\bar{6}$ болады.

Жокары категория кублық болған тек бір системадан турады. Бул система төрт дана үшінші тәртіпті симметрия көшерінің болыуы менен тәріпленеді.

Жети системаға бөліудің орнына категорияларды алты сингонияға бөліуге болады.

Сингония түсинігі гексагональ және тригональ системалардан басқа системалардың барлығында да система түсинігі менен бірдей. Сингонияға бөліуді координаталардың кристаллографиялық системасының сайлап алынуы анықлайды.

Кристаллографиялық координата көшерлері баркулла симметрия көшерлері бағытында ямаса симметрия тегисліклеріне нормал бағытларда сайлап алынады. Егер сәйкес симметрия элементтері болмаса (мысалы моноклин ямаса триклин кристалларда), онда кристаллографиялық координата көшерлері кристаллографиялық көп жақтылықлар қабырғалары бағытында ямаса кристаллық пәнжере қатарлары бағыттарында сайлап алынады.

Кристалларды категорияларға, сингонияларға және системаларға бөліу 1-кестеде келтірілген.

1-кесте

Кристалларды категорияларға, сингонияларға және системаларға бөліу

Категория	Сингония	Система	Координаталар көшерлері
Төменгі	Триклин	Триклин	$a \neq b \neq c,$ $\alpha \neq \beta \neq \gamma \neq 90^\circ$
	Моноклин	Моноклин	$a \neq b \neq c,$ $\alpha = \gamma = 90^\circ \neq \beta.$
	Ромбалық	Ромбалық	$a \neq b \neq c,$ $\alpha = \beta = \gamma = 90^\circ.$
Орта	Гексагональ	Гексагональ Тригональ ⁹⁾	$a = b \neq c,$ $\alpha = \beta = 90^\circ, \gamma = 120^\circ.$

	Тетрагонал	Тетрагонал	$a = b \neq c$. $\alpha = \beta = \gamma = 90^\circ$.
Жоқары	Кублық	Кублық	$a = b = c$, $\alpha = \beta = \gamma = 90^\circ$.

Көшерлерди ромбоэдрлік сайлап алыұда $a = b = c$, $\alpha = \beta = \gamma \neq 90^\circ$.

Кристаллар симметриясының ноқатлық топарлары (класслары). Идеал кристаллық көп жақлылардағы симметриялық операциялардың жыйнағы ***симметрия классын*** (түрин) ямаса ***симметрияның ноқатлық топарын*** пайда етеди. Топарға кириұши хәр қыйлы симметриялық операциялар саны ***топардың тәртиби*** деп аталады.

Усындай топарлардың ең әпиұайы қәсийетлери көрип өтемиз.

Егер базы бир операция салдарынан фигура өз өзи менен бетлесетуұғын болса, онда қайтадан әмелге асырылатуұғын усандай операциялардың нәтийжесинде де фигураның өз өзи менен бетлесетуұғыны анық. Избе из өткерилген операциялардың нәтийжеси усы операцияның дәрежеси түринде көрсетилетуұғын болғанлықтан, топарға операцияның өзи менен бир катар да мүмкин болған дәрежелери де киреди. Буннан усандай дәрежелердин саны шексиз үлкен деген жуұмақ келип шықпайды: кристаллографиялық симметрия операциясын қайталаұ ең кейнинде кристалды өзиниң дәслепки халына қайтарып алып келеди, яғный

$$\bar{1}^2 = 1, m^2 = 1, 2^2 = 1, 3^3 = 1,$$

$$4^4 = 1, 6^6 = 1, \bar{3}^6 = 1, \bar{4}^4 = 1, \bar{6}^6 = 1.$$

Бир симметрия элементи жәрдеминде пайда етилетуұғын топарлар (бундай топарлар тек дәрежели бир операциядан турады) ***цикллық*** топарлар деп аталады. Кристаллографиялық цикллық топарлар усы топарларды пайда етиұши символлар менен белгиленеди.

Бундай топарлар биринши тәртипли (1), екинши тәртипли ($\bar{1}$, m, 2), үшінши тәртипли (3), төртинши тәртипли (4, $\bar{4}$), алтыншы тәртипли (6, $\bar{3}^6$, $\bar{6}^6$) болыұы мүмкин.

Егер базы бир операция көп жақлыны өз өзи менен бетлестиретуұғын болса, онда көп жақлыны дәслепки орнына қайтарып алып баратуұғын операция да симметрия операциясы болып табылады. Бул операция дәслепки операцияға қарата ***кери*** операция болып табылады. Кери операция дәслепки операцияның -1 дәрежеси түринде белгиленеди.

Бир бирине кері болған операциялардың көбеймеси теңлестіріуі (демек бұл жерде теңлестіріуі түсиниги пайда болды) 1 болып табылады. Демек көбеймеси 1 ге тең болған қалеген еки симметрия операциясы бир бирине кері деген сөз. Бир бирине салыстырғанда кері болатуғын операциялар

$$\bar{1} \cdot \bar{1} = 1, m \cdot m = 1, 2 \cdot 2 = 1, 3^2 \cdot 3 = 1, 4^3 \cdot 4 = 1,$$

$$6^5 \cdot 6 = 1, \bar{3} \cdot \bar{3}^5 = 1, \bar{4} \cdot \bar{4}^3 = 1, \bar{6} \cdot \bar{6}^5 = 1.$$

Бұл жерде $\bar{1}$, m хәм 2 ниң өз өзине кері екенлиги көринип тур.

Егер берілген еки операция кристаллық көп жақлыны өз өзи менен бетлестіретуғын болса, онда бұл еки операцияны орынлау да көп жақлыны өзине түрлендиреди. Демек сөз етилген еки операция менен бирге топарға усы еки операцияның көбеймеси де киреди.

Мысал ретінде базы бир кристаллық көп жақлының симметрия операцияларына 2_y пенен m_y лер киретуғын жағдайды қарайық. Жоқарыда келтирилген теорема 1 ден $\bar{1}$ де симметрия операциясы болатуғынлығын көремиз. Теңлестіріуі 1 менен бирге бұл операциялар топарды пайда етеди. Себеби 2_y , m_y хәм 1 лерди өз ара көбейтиулер жаңа операцияның пайда болыуына алып келмейди.

Төменде $2/m$, 222 хәм $mm2$ топарлары ушын көбейтиу кестелери келтирилген.

$2/m$	1	2_y	m_y	$\bar{1}$
1	1	2_y	m_y	$\bar{1}$
2_y	2_y	1	$\bar{1}$	m_y
m_y	m_y	$\bar{1}$	1	2_y
$\bar{1}$	$\bar{1}$	m_y	2_y	1

222	1	2_x	2_y	2_z
2_x	1	2_x	2_y	2_z
2_x	2_x	1	2_z	2_y
2_y	2_y	2_z	1	2_x
2_z	2_z	2_y	2_x	1

$mm2$	1	m_x	m_y	2_z
1	1	m_x	m_y	2_z
m_x	m_x	1	2_z	m_y
m_y	m_y	2_z	1	m_x
2_z	2_z	m_y	m_x	1

$2/m$ топарына кириуши барлық көбейтиулер коммутативли, яғный көбейтиушилердин орынларын өзгертиуден ғәрезсиз. Сонлықтан жоқарыда келтирилген көбейтиу кестеси бас

диагоналға қарата симметриялы. Демек $2/m$ коммутативли топар болып табылады. Барлық цикллық топарлар коммутативли болып табылатуғынлығын аңсат аңғарыуға болады. Бірақ барлық коммутативли топарлар цикллық емес.

Барлық көбейтіулері коммутативли болып табылмайтуғын топарлар коммутатив емес топарлар деп аталады. Кварц кристаллының симметриясы топары 32 коммутативлик емес. Себеби бул жерде $3_z \cdot 2_x \neq 2_x \cdot 3_z$. Бул топардың көбейтіу кестеси бас диагоналына қарата симметриялы емес.

32 топары еки симметрия операциясы жәрдеминде туұдырылатуғын (пайда етилетуғын) топардың мысалы болып табылады. Усындай топарларға дурыс үш қапталлы хәм төрт қапталлы пирамидалардың топарлары $3m$ хәм $4m$ лер де киреди. Базы бир кристаллографиялық топарлар (симметрияның ноқатлық топарлары) үш операция менен пайда етиледі. Усындай топарлар қатарына дурыс төрт қапталлы призманың симметрия топары $4/mmm$ киреди. Топарды пайда етиўши (туұдырыўшы) операциялар гейпара жағдайларда **топардың генераторлары** деп аталады.

Топарға кириўши операциялардың бир бөлегиниң өзлериниң топар пайда етиў жағдайлары да болады. Әлбетте бул топарлардың тәртиби дәслепки топардың тәртибинен төмен болады. Бул киши топарды дәслепки топардың **киши топары** деп атаймыз. Демек киши топарды өз ишине алатуғын үлкенирек топарды киши топарға салыстырғандағы **үстінде тұрыўшы топар** деп атаймыз.

Солай етип $2/m$ топары үш киши топарға ийе болады: $2 \{1, 2_y\}$, $m \{1, m_y\}$ хәм $\bar{1} \{1, \bar{1}\}$, ал 32 топарында төрт киши топар бар: $3 \{1, 3_z, 3_z^2\}$, $2 \{1, 2_x\}$, $2 \{1, 2_y\}$, $2 \{1, 2_z\}$. $2/m$ топарының киши топары болған $\bar{1} \subset 2/m$ деп белгиленеди. Жалғыз операция болған 1 ден туратуғын 1 топары қалеген топардың киши топары болып табылады. Сонлықтан киши топарларды санап шыққанды бул топар есапқа алынбайды.

Топардың тәртибиниң киши топарының тәртибине қатнасы **киши топардың индекси** деп аталады. Мысалы, 32 топарына қатнасы бойынша 3 топары 2 индексине ийе киши топар болып табылады.

Бир ўақытта еки топарға кириўши операциялар жыйнағы усы топарлардың **кесилисиўи** деп аталады. Еки топардың кесилисиўиниң өзиниң де топар болып табылатуғынлығын дәлиллеў қыйын емес. Сонлықтан еки топардың кесилисиўи бул топарлардың ең улыўмалық киши топары болып табылады. Еки ноқатлық топардың кесилисиўин изертлегенде симметрия элементлериниң өз ара жайласыўларына кеўил бөлиў керек. Егер бурын қаралған 32 хәм $2/m$ топарлары бир координаталар системаларында болса, онда бул топарлардың кесилисиўи $2 \{1, 2_y\}$ болып табылады. Бул жағдай былайынша жазылады: 32

$\cap 2/m = 2$ ямаса (егер симметрия элеменлериниң бағытларын көрсетиў керек болса) $3_22_y \cap 2_y/m_y = 2_y$.

Кристаллардың симметриясының ноқатлық топарлары математикалық топарлардың бир көриниси болып табылады. Математикада топар деп a, b, c, \dots элементлериниң төмендегидей аксиомаларды қанаатландыратуғын G көплигине айтады (a элементиниң G көплигине тийисли екенлигин $a \in G$ деп жазамыз):

1) топардың хәр бир $a \in G$ хәм $b \in G$ еки элементи ушын усы элементлердиң көбеймеси деп аталатуғын бирден бир $c \in G$ элементи бар болады хәм $c = a \cdot b$;

2) топардың барлық элементлери ушын ассоциативлик нызам орын алады: $a \cdot (b \cdot c) = (a \cdot b) \cdot c$;

3) топарда элементти оң тәрәптен де, шеп тәрәптен де көбейткенде бир нәтийже $a \cdot 1 = 1 \cdot a = a$ алынатуғын бирлик элемент $1 \in G$ болады;

4) топардың хәр бир $a \in G$ элементи ушын $a \cdot a^{-1} = a^{-1} \cdot a = 1$ шәртин қанаатландырыўшы $a^{-1} \in G$ кери элементи орын алады.

Егер топар жоқарыда келтирилген 4 аксеомадағыдай қәсийетлерге ийе болса **абстракт топар** деп аталады. Абстракт топар өзиниң көбейтиў кестесиниң жәрдемінде толығы менен анықланады.

Ноқатлық топарлар аксеомада келтирилген қәсийетлерден басқа көплеген қәсийетлерге ийе болады: олар орайға қарата симметриялы ямаса симметриялы емес, голоэдрлик хәм мероздрлик болыўы мүмкин. Соның менен бирге топарлардың хәр бири анаў ямаса мынаў катерогияға, системаға, сингонияға киреди.

Кристаллографиялық жақтан хәр қыйлы ноқатлық топарлар абстракт жақтан бирдей болыўы мүмкин (яғный бирдей көбейтиў кестесине ийе болады). Бундай ноқатлық топарлар **изоморф** топарлар деп аталады. Кристаллографиялық жақтан хәр қыйлы болған, бирақ өз ара изоморфлы ноқатлық топарларға бир абстракт топар сәйкес келеди. $2/m$, 222 хәм $mm2$ коммутативли топарлары усындай топарлар болып табылады.

Симметрияның кристаллографиялық классларын (ноқатлық топарларды) белгилеў ушын симметрия элементлерин көбейтиў хаққындағы теоремаларға тийкарланған символлар қолланылады.

Халықаралық символларды жазыўда төмендегидей белгилеўлер қабыл етилген: n - тәртипли симметрия көшери n арқалы ($n = 2, 3, 4, 6$), n -тәртипли инверсиялық көшер \bar{n} , m - симметрия тегислиги, nm - n -тәртипли симметрия көшери хәм усы көшер арқалы өтеуғын симметрия тегислиги, n/m (ямаса $\frac{n}{m}$) - n -тәртипли симметрия көшери хәм оған

перпендикуляр симметрия тегислиги, $\frac{n}{m}$ ямаса n/mmm - n -тәртіпті симметрия көшери менен оған параллел хәм перпендикуляр симметрия тегисликлери.

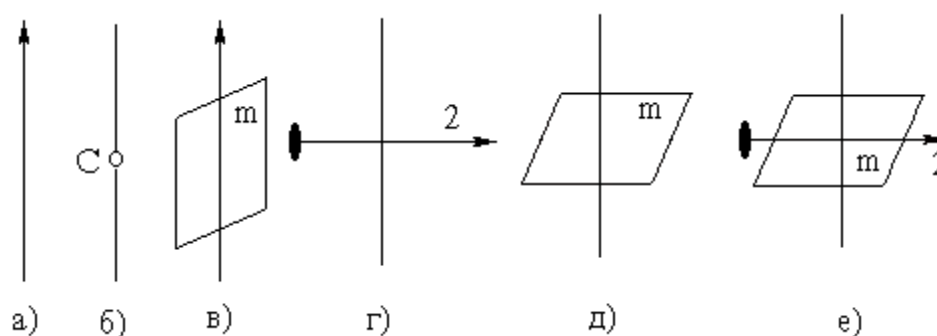
Симметрия классының халықаралық символларында тек туўғызыўшы симметрия элементлери болған тегисликлер менен көшерлер жазылады. Усының менен бирге символдағы ҳәрип симметрия тегислигине түсирилген нормалды аңғартады. Симметрия элементлерин қосыў ҳаққындағы теоремаларды биле отырып берилген класс ушын барлық симметрия элементлериниң жыйнағын билиў мүмкин. Символларды жазыўдың избеизлиги үлкен әҳмийетке ийе хәм бул тәртип 1.2-кестеде берилген.

Халықаралық белгилеўде симметрияның “координаталық” хәм “диагонал” элементлерин бири биринен айырады: координаталық тегисликлер ямаса көшерлер координаталық тегисликлер бойынша өтеди, ал диагоналлық симметрия элементлери олар арасындағы мүйешлердиң биссектрисалары бойынша жүргизиледи.

2-санлы лекция. Кристаллардың 32 симметрия классын (симметрияның 32 ноқатлық топарын) келтирип шығарыў хәм тәриплеў. Симметрияның шеклик топарлары (Кюри топарлары). Кристаллар структурасының (қурылысының) симметриясы

Симметрияның 32 классын келтирип шығарыў ушын бир ноқатта кесилисетуғын симметрияның мүмкин болған барлық кристаллографиялық элементлериниң жыйнағын қараўымыз керек. Усындай мақсетте қандай да бир туўғызыўшы симметрия элементин сайлап аламыз хәм усы элементке туўғызыўшы элемент сыпатында басқа барлық симметрия элементлерин қосамыз. Жоқарыда келтирилген теоремалар тийкарында еки туўғызыўшы симметрия элементиниң қосылыўы салдарынан жаңа симметрия элементлери пайда болатуғынлығын есапқа аламыз.

Төменги хәм орта категорияға кириўши кристаллардан баслаймыз. Жоқарыда айтылғандай бундай кристалларда айрықша бағыт (бирлик бағыт) болады. Туўдырыўшы симметрия элементи сыпатында сол бирлик бағытта өтиўши симметрия көшерин аламыз хәм 9-сүўретте көрсетилгендей етип басқа да симметрия элементлерин қосамыз.



9-сүрет. Төменгі хәм орта категориялар симметриясы классларын келтирип шығарыўды түсиндиретуғын сүўрет.

Эпиўайы симметрия классларында тек ғана бир симметрия элементи, атап айтқанда бирлик бағытта n -тәртіпті бурыў көшери болады (9-а сүўрет).

Симметрия көшерине симметрия орайын қосыў арқалы орайлық классларды аламыз (9-б сүўрет):

Туўдырыўшы көшер	1	2	3	4	6
Туўылған элемент	-	m	-	m	m
Симметрия классы	1	$2/m$	$\bar{3}$	$4/m$	$6/m$

3 көшерине симметрия орайын қосқанда инверсиялық $\bar{3}$ көшери аламыз. Усы классты айырым жағдайларда орайлық классқа емес, ал инверсиялық-эпиўайы классқа жатқызады.

Туўдырыўшы симметрия көшерине бул көшер арқалы өтиўши симметрия тегислигин қосып $m \cdot n = nm$ схемасы бойынша планал классларды аламыз (9-в сүўрет):

Туўдырыўшы көшер	1	2	3	4	6
Симметрия классы	m	$mm2$	$3m$	$4mm$	$6mm$

$4mm$ хәм $6mm$ символларының мәніси жоқарыда түсиндирилди: екинши орында симметрияның координаталық, ал үшінши орында симметрияның диагоналық элементлери жазылған. $mm3$ классы ромбалық сингонияға жатады. Бул жерде 2 көшери 2_z болыўы керек хәм сонлықтан оны үшінши орынға қойылады.

Туўдырыўшы көшерге перпендикуляр бағытта 2 ни қосып теорема 1 бойынша **аксиаллық классларды** аламыз:

Туўдырыўшы көшер	1	2	3	4	6
Симметрия классы	2	222	32	422	622

Жоқарыда келтирилгенлигине байланысly бул кестедеги 2 рамкаға алынған. 422 хәм 622 де екінши орында координата бағытындағы 2 көшери тур, ал үшінши орында диагоналық бағытлардағы 2 лер келтирилген.

2-кесте.

Ноқатлық топарлардың белгилениўлеріндеги позициялар избе-излиги

Сингония	Белгилеўлердеги позициялар		
	8	II	II8
Триклин	Кристалдағы қәлеген бағытқа сәйкес келиўши бир символ.		
Моноклин	2 көшери ямаса X_2 бағытындағы m ге нормал (белгилеўдин биринши түри) ямаса X_3 бағытындағы m ге нормал (белгилеўдин екінши түри)		
Ромбалық	2 көшери ямаса m ге X_1 көшери X_2 көшери X_3 көшери бағытында түсірилген нормал		
Гексагонал Тетрагонал	Бас симметрия көшери	2 көшери ямаса m ге координата диагонал бағынларында бағытларда түсірилген нормал	
Кублық	Симметрияның координаталық элементлери	3	Диагоналық симметрия элементлери

Туўдырыўшы көшерге перпендикуляр бағытта симметрия тегислигин қосыў арқалы (9-д сүўрет) жоқарыда айтылып өтилген (бул жерде рамкаға алынбаған) классларды аламыз:

Туўдырыўшы көшер	1	2	3	4	6
Симметрия классы	m	2/m	$\bar{6}$	4/m	6/m

Егер туўдырыўшы көшерге симметрия орайын, 2 көшерин хәм бойлық тегислик қосыў арқалы теорема 3 хәм 4 тийкарында планаксиаллық классларды аламыз (9-е сүўрет):

Туўдырыўшы көшер	1	2	3	4	6
Симметрия классы	2/m	mmm	$\bar{3}m$	4/mmm	6/mmm

Туўдырыўшы элемент симметрия көшери боған жағдайда алынатуғын симметрия классларының дизими усының менен тамам болады.

Енди инверсиялық симметрия көшерлерин қараў керек болады. Усындай жоллар менен **инверсиялық-эпиўайы** $\bar{3}$, $\bar{4}$, $\bar{6}$, **инверсиялық-планаллық** $\bar{4}2m$ хәм $\bar{6}m2$ классларын алыў мүмкин. Солай етип егер $\bar{1}$, 3, 4 хәм 6 классларын қоссақ төменги хәм орта категорияға жатыўшы кристаллар ушын 27 симметрия классларын аламыз.

Жоқары категорияға жатыўшы кристалларды қараў арқалы және де

$$23, m\bar{3}, 432, \bar{4}3m \text{ хәм } m\bar{3}m$$

классларын аламыз.

32 классты системалар хәм сингонияға бөлиў менен қатар симметриясының төмендегидей өзгешеликлерине байланысly үлкенирек бөлимлерге бөлиўге болады:

1. Симметрия орайының болыўы ямаса болмаўы. Орайлық хәм планаксиал классларда поляр бағытлардың, соған сәйкес поляр симметрия менен тәриппленетуғын қәсийетлердің болыўы мүмкин емес. Бундай класслардың саны 11.

2. Энантиоморфизм. Тек ғана симметрияның бурыў көшерлери бар, ал инверсиялық көшерлери, кесе тегисликлери, симметрия орайы жоқ кристаллар әдетте оң хәм терис болып екиге бөлинеди. Бундай кристалларда оң хәм терис формалар болады хәм поляризация тегислигин бурыў қәсийетине ийе. Эпиўайы хәм аксиал класслар энантиоморфлы болып табылады.

3. Симметрияның Лауэ класслары ямаса киши системалары. Фридел нызамы бойынша (ямаса басқа сөз бенен айтқанда дифракциялық эффекттің орайға қарата симметриялылығы нызамы) кристалдың дифракциялық симметриясы оның ноқатлық симметриясынан жоқары болады. Лауэ классы симметриясы кристалдың ноқатлық топарының симметриясы менен усы симметрияға симметрия орайын қосқанда алынатуғын симметрия элементеринен турады.

Симметрияның шеклик топарлары (Кюри топарлары). Биз жоқарыда кристаллардың хәм олардың физикалық қасиетлерин үйрениўде еки түрли көз-қарас пенен қарай алатуғынлығымызды көрдик. Кристаллардың қурылысын үйренгенде дискрет орталық деп, ал олардың физикалық қасиетлерин таллағанда (оптикалық, жыллылық, электрлик, серпимли х.т.б.) кристаллар бир текли үзликсиз орталық деп қаралады. Кристалдың симметриясының топарларына 2-, 3-, 4-хәм 6-тәртипли симметрия көшерлері, ал физикалық қасиетлеринин топарларына шексиз тәртипли симметрия көшерлері киреди. Жоқарыда бундай көшерлерди ∞ белгиси менен белгиледик. Соның менен бирге ∞ көшери кристалдағы физикалық майданлардың (электр, магнит, механикалық кернеўлер майданы) симметриясының топарларына киреди.

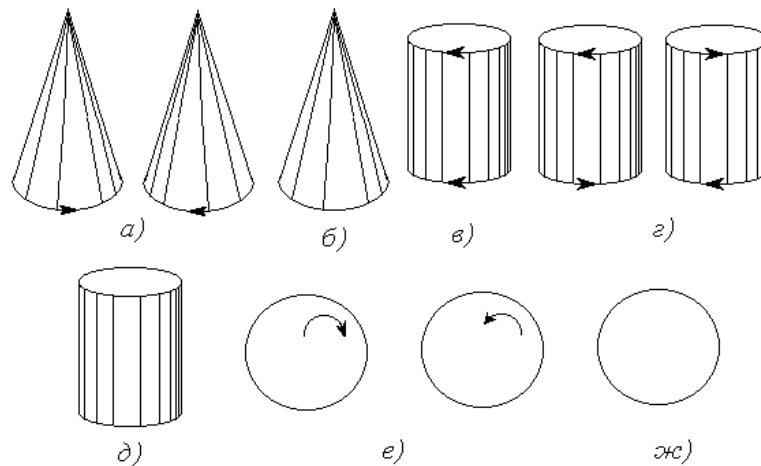
Симметрияның шексиз көшерлері киретуғын ноқатлық топарлар **симметрияның шеклик топарлары** ямаса **Кюри топарлары** деп аталады. Бундай ноқатлық топарлар саны 7 хәм кристаллардың 32 ноқатлық топарларының кеминде биреўи усы жети топардың бириниң киши топары болып табылады. Мысалы 6, 4, 3, 2, 1 топарлары тек бир симметрия көшери ∞ болған топарға киреди. Өз көшери дөгерегинде айланыўшы конус ∞ ноқатлық топарына сәйкес келиўши геометриялық фигура. Бул фигура көшер дөгерегинде қалеген мәнистеги киши мүйешке бурылса да өз өзи менен бетлеседи. Соның менен бирге бул фигурада басқа симметрия элементлері жоқ.

Тап усындай, бирақ өз көшери дөгерегинде айланбайтуғын конус ∞m ноқатлық топары менен тәриплениди. Бундай топарда ∞ көшери менен бирге усы көшер арқалы өтиўши шексиз көп симметрия тегисликлері де бар. Конустағы симметрия көшери поляр. Усындай симметрияға бир текли электр майданы ийе болады, симметрия көшери электр күш майданларының бағыты менен сәйкес келеди.

Бир текли магнит майданының симметриясы ∞/m шеклик топары менен тәриплениди (яғный ∞ көшери хәм оған перпендикуляр болған симметрия тегислиги). ∞/m топары ушын өз көшери дөгерегинде айланыўшы цилиндр характерли болып табылады. ∞/m топарына $6/m$, $4/m$, $2/m$, m , $\bar{1}$, $\bar{3}$, $\bar{4}$, $\bar{6}$ топарлары бағынады. ∞ топарына бағынатуғын ноқатлық топарлар бул топардың киши топарлары болып табылады.

Симметрияның шеклік топарларына сәйкес келіуші фигуралар 10-сұйретте келтирилген.

Тыныш турған цилиндр, соның менен бирге қысылған ямаса созылған цилиндр ∞/m симметриясы менен тәріпленеди. Бул жерде ∞ поляр емес көшер, усы көшер бойлап жайласқан шексиз көп симметрия тегисликлері m , көшерге перпендикуляр болған m , ∞ ге перпендикуляр болған шексиз көп 2 симметрия көшерлері хәм ∞ көшері менен оған перпендикуляр m кесилискен ноқатта симметрия орайы бар. Өз көшері дөгерегинде буралған цилиндр $\infty 2$ симметриясына ийе, яғный бул жағдайда поляр емес ∞ көшерине хәм оған перпендикуляр болған шексиз көп 2 лерге ийе боламыз. Әдеттеги шар $\infty\infty m$ топары менен тәріпленеди (яғный шексиз көп ∞ көшерлері менен шексиз көп m). Бул топар **ортogonalлық топар** деп аталады.



10-сұйрет. Симметрияның шеклік топарларын сәулендиретуғын геометриялық фигуралар: ∞ , оң хәм терис (а); ∞m (б); ∞/m (в); $\infty 2$, оң хәм терис (г); ∞/m (д); $\infty\infty$, оң хәм терис (е); $\infty\infty m$ (жс).

Параграфтың кейнинде кристаллофизикада кеңнен қолланылатуғын Кюри хәм Нейман принциптері менен танысамыз.

Кюри принципі бойынша егер (хәр қыйлы) еки қубылыс бир бири менен қосылатуғын болса ямаса қубылыс пенен оны қоршап турған орталық қосылса (ямаса бир бири менен бетлестирілсе) хәм соның салдарынан бирден бир система пайда болса бул системада сол еки қубылыс ямаса қубылыс пенен оны қоршап турғын орталық ушын улыұмалық болған симметрия элементтері сақланып қалады. Бул жағдай ушын әпиұайы мысал 11-сұйретте сәуленген.

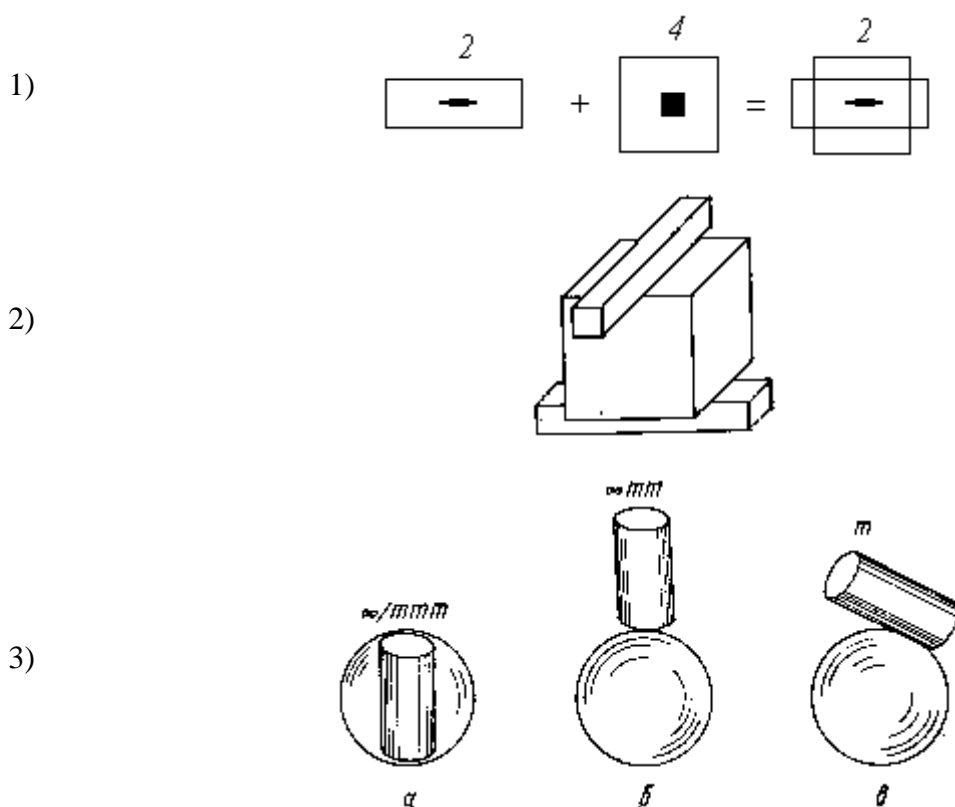
П.Кюридің өзі хәzirги ўақытлары оның аты менен аталатуғын принципти былайынша жазды:

Егер анық бир себеплер сәйкес нәтийжелерди пайда ететугын болса, усы себеплердиң симметрия элементлериниң нәтийжелерде де көриниўи керек. Егер қандай да бир қубылыста анық бир диссимметрия (яғный симметрия болмаса) бар болатугын болса, усы диссимметрия пайда болған қубылыста да қәлиплеседи.

Кюри принципин қолланыўда төмендегидей еки жағдайға айрықша кеўил бөлиў керек:

1. Қосылыўшы қубылыслар (фигуралар) симметриясы бойынша хәр қыйлы болыўы шәрт. Ал симметриясы бирдей болған фигураларды қосыў арқалы жоқары симметрияға ийе фигураларды алыў мүмкин.

2. Қубылысларды қосқанда симметрия элементлериниң бир бирине салыстырғандағы бағытларына айрықша итибар бериў керек. Принципте бир бири менен бағытлас болған симметрия элементлери нәзерде тutyлады (1-9а сўўретте анық көрсетилген).



11-сўўрет.

1). Туўры мўйешлик пенен квадраттың қосылыўындағы симметрияның қосылыўын сәўлелендиретуғын сўўрет. 2-тәртипли симметрия көшерине ийе фигура менен 4-тәртипли

симметрия көшеріне ийе фигура қосылғанда 2-тәртіпті симметрия көшеріне ийе фигура пайда болады.

2). Эпиұайы фигураларды қосыу мысалы. Бул жағдайда 2 хәм 4 ке ийе фигуралар қосылғанда тек 2 көшери бар фигура алынады.

3). Симметрияның шеклик топарлары ушын мысаллар.

Нейман принципі әдетте кристаллофизиканың тийкарғы нызамы деп те аталады. Бул принцип бойынша

кристаллардың физикалық қәсийети кристалдың өзинің симметриясына салыстырғанда жоқары симметрияға ийе бола алады, бирақ усы физикалық қәсийеттің симметриясы кристалдың симметриясының ноқатлық топарын өз ишине алыуы керек.

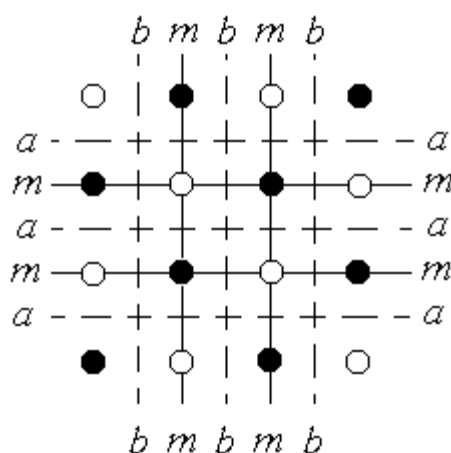
Басқа сөз бенен айтқанда кристалдың физикалық қәсийетлеринің симметриясы ноқатлық топары оның симметриясының ноқатлық топарының ең жоқарғы топары болып табылады (яғный кристал симметриясының ноқатлық топары физикалық қәсийетинің симметриясының ноқатлық топарына киреди).

Кристаллар структурасының (қурылысының) симметриясы. Кристаллардың қурылысында жоқарыда гәп етилген шекли симметриялық түрлендириулерге шексиз симметриялық түрлендириулер деп аталатуғын түрлендириулер қосылады.

Тийкарғы шексиз симметриялық түрлендириу **трансляция**, яғный бир тууры бойынша көшириу дәуири (трансляция дәуири) деп аталатуғын бирдей болған қашықлықларға көшириу болып табылады.

Трансляцияны симметрия тегислигинде шашыратыуға көбейтиу қурамалы болған симметрия операциясын - жылжып шашыратыушы тегислик жәрдеминде түрлендириуди пайда етеди. **Жылжып шашыратыушы тегислик** - бул симметрия тегислиги менен усы тегисликке параллел хәм усы бағыттағы трансляцияның ярымына тең қашықлыққа көшириуди бир уақытта әмелге асыратуғын симметрия элементи болып табылады. Бундай симметрия тегислигинің тәсирин тас дузы қурылысында көрсетиуге болады (12-сүүрет). NaCl кристаллары жағдайында Na хәм Cl ионлары координата тегисликлеринде шахматлық тәртіпте қайталаңады. Ионның өзине ең жақын жайласқан тап сондай ион менен бетлесиуи ушын а ямаса b тегисликлериндеги шашырау $a/2$ хәм $b/2$ қашықлықларына тең трансляциялар менен бирге әмелге асырылыуы керек. Усындай көшириулердің

нәтижесінде шексиз үлкен майданды ийелеп турған сүўрет толығы менен көшеди:
 $5_{a/2} \cdot m_a = a$; $5_{b/2} \cdot m = b$.



12-сүўрет. NaCl кристалы қурылысындағы жылжып шашыратыўшы a , b хәм айналық шашыратыўшы m симметрия тегисликлери (қурылыс шексиз үлкен деп есапланыўы керек).

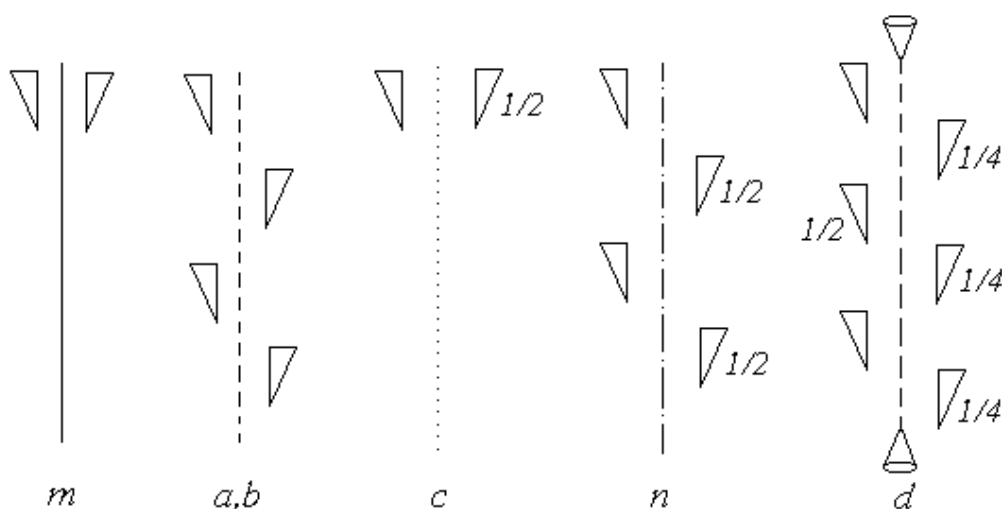
Ионлардың орайлары арқалы әпиўайы симметрия тегисликлери m өтеди. Ал олардың орталарында жылжып шашыратыўшы симметрия тегисликлери жайласады. Еки түрли симметрия тегисликлериниң санлары да шексиз көп. Егер жылжыў a , b , c көшерлери бағынында (XYZ көшерлери бағытында $a/2$, $b/2$, $c/2$ қашықлықларына) болатуғын болса жылжып шашыратыўшы симметрия тегисликлери сәйкес a , b , c хәртиплери менен белгиленеди.

Жылжыў элементар трансляциялар a , b , c ларда дүзилген параллелограмлардың диагонали бағытында да болыўы мүмкин. Бундай жағдайда жылжыўдың шамасы $(a+b)/2$ ге тең болады хәм сәйкес жылжып шашыратыўшы симметрия тегислиги n хәрипи, ал жылжыўдың шамасы $(a+b)/4$ ке тең болса d хәрипи менен белгиленеди. d тегислигин “алмаз” тегислиги те деп аталады. Сызылмаларда жылжып шашыратыўшы симметрия тегисликлерин хәр қыйлы пунктирлер жәрдемінде сәўлелендиреди (1-11 сүўрет).

Симметрия күшери дөгерегиндеги бурыў менен трансляцияны қосыў винтлик бурыўды пайда етеди. Винтлик симметрия көшери деп симметрия көшери менен биргеликте хәрекет етеуғын усы көшер бойынша (көшерге параллел бағытта) көшириўге айтамыз.

Оң хәм сол винтлик көшерлерин бир биринен айырыў керек. Мысалы 3_1 винтлик көшери фигураны 120° қа бурыў менен усы көшер бағытында трансляцияның $1/3$ шамасына көширеди. Ал 3_2 көшери болса фигураны 120° қа бурыў менен бирге $2/3$ шамасына көширеди. Әпиўайы геометриялық таллаў жәрдемінде 3_1 көшериниң оң, ал 3_2 көшериниң

сол (3_1 ге салыстырғанда) екенлигине көз жеткеріу мүмкін. Тап сол сыяқлы 4_1 хәм 4_3 көшерлері де бир биринен тек оң хәм соллығы менен парқланады.



13-сүүрет. Айналық шашыратыушы (m) хәм жылжып шашыратыушы симметрия тегисликлери (a, b, c, n, d).

3-кестеде кристаллар қурылысының сызылма тегислигине перпендикуляр болған симметрия көшерлериниң шәртли түрдеги белгилениулері көрсетилген.

3-кесте.

Кристаллар қурылысының симметрия элементлериниң шәртли түрдеги белгилениулері

Көшерлер			Тегисликлер		
тик	горизонталь	қыя	тик	горизонталь	қыя

3-санлы лекция. Кристаллар структурасы симметриясы элементлерін қосыу. Бравэ пәнжерелері. Симметрияның кеңісліктегі 230 топарлары. Кери пәнжере. Структуралық кристаллографияның тийкарғы формулалары

Шексиз көп санлы қайталау кристаллық структуралардағы тийкарғы симметриялық түрлендириу болып табылады. Бундай түрлендириулер трансляциялар жәрдемінде әмелге асырылады. Нәтийжеде хеш бир ноқат өз орнында қалмайды, олардың барлығы да трансляциялар жәрдемінде түрленеди. Кристаллық структура симметрияның хәр қыйлы түрлендириулері менен байланысқан бөлекшелерден ямаса бөлекшелер топарынан турады. Трансляция симметрия элементлеринің хәр бири менен тәсир етисип кеңіслікте шексиз көп қайталанатуғын симметрияның жаңа элементлерін пайда етеди (генерациялайды).

Хәр бир кристаллық структура ушын оның элементар трансляцияларының жыйнағы ямаса **трансляциялық топар** тән. Усы трансляциялық топар **кеңіслик пәнжересин** пайда етеди.

а, b, c лардың шамасы, бир бирине салыстырғандағы бағытларына байланыссы хәр қыйлы симметрияға ийе болған пәнжерелер алынады. Симметрия болса мүмкин болған пәнжерелерге шек қояды. Барлық кристаллық қурылыстар 14 трансляциялық топар жәрдемінде тәриппленеди. Усы трансляциялық топарлар Бравэнің 14 типтегі пәнжересине сәйкес келеди. **Бравэ пәнжереси** деп бир ноқатты трансляциялық қайталаудың салдарынан алынатуғын шексиз сандағы ноқатлар системасына айтамыз.

Бравэнің 14 пәнжереси элементар қутышаларының формасы хәм симметриясы бойынша бир биринен айрылады хәм 6 сингонияға бөлинеди. Кристалларды сингонияға бөлиу XIX әсирдің басында минераллардың сыртқы формасын үйрениу тийкарында әмелге асырыла баслады. Кеңісліктегі сфералық бөлекшелердің (материаллық бөлекшелердің) симметриялы жайласыу мәселесин шешиу барысында 1848-жылы О.Бравэ алты сингонияға тап усындай етип бөлиудің кереклиги хәкқындағы жуумаққа келди.

Кристаллық кеңісликтің симметриясы мүмкин болған пәнжерелердің санына шек қояды. Пәнжере берілген кристаллық кеңіслікте мүмкин болған барлық симметриялық түрлендириулерге қарата инвариант болыуы керек.

Бравэ пәнжерелері түйини элементар қутышалардың төбелері менен қатар қаптал бетлерінде, орайында да болыуы мүмкин. Усыған байланыссы қутышалардың (пәнжеренің) орайласыуына қарай пәнжерелер былайынша төртке бөлинеди:

а. Түйін тек ғана элементар бөлекшениң төбелерінде жайласады. Бундай жағдайда пәнжерени эпийайы пәнжере деп атаймыз хәм Р хәрипи менен белгилеймиз.

б. Түйін элементар қутышаның төбелерінде хәм Х, У ямаса Z көшерлерине перпендикуляр болған қапталлары орайланыда да жайласады. Бундай жағдайда базада орайласқан пәнжереге ийе боламыз. Мысалы Х көшерине перпендикуляр қаптал орайласқан болса А пәнжере, У көшерине перпендикуляр бет орайласса В пәнжере хәм Z көшерине перпендикуляр бет орайласқан жағдайда С пәнжереге ийе боламыз.

с. Түйін элементар қутышаның төбелерінде хәм орайында жайласады. Бундай пәнжере көлемде орайласқан пәнжере деп аталады хәм 8 хәрипи менен белгиленеди.

д. Түйінлер элементар қутышалардың төбелерінде хәм қаптал бетлери орайларында жайласады. Бундай жағдайда “ хәрипи менен белгиленетуғын қапталдан орайласқан пәнжереге ийе боламыз.

Бравэ қутышасын сайлап алыў ушын төмендегидей үш шәрт қойылады:

1) элементар қутышаның симметриясы кристалдың симметриясына сәйкес келиўи, ал элементар қутышаның қабырғалары пәнжерениң трансляциялары болыўи керек;

2) элементар қутыша максимал мүмкин болған туўры мүйешлерге, бир бирине тең болған мүйешлерге хәм қабырғаларға ийе болыўи керек;

3) элементар қутыша минималлық көлемге ийе болыўи керек.


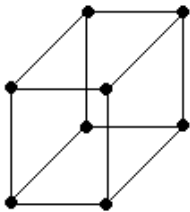
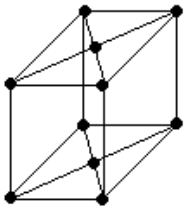
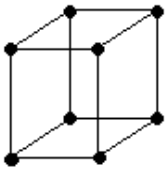
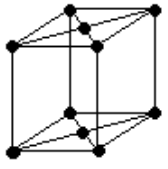
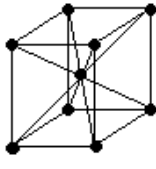
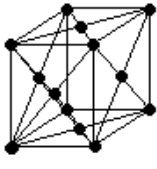
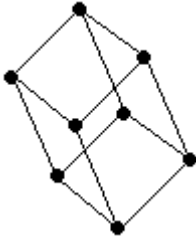
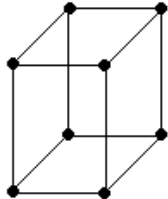
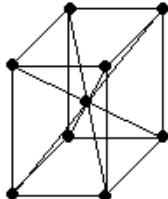
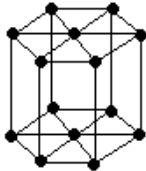
Усындай шәртлер тийкарында 6 түрли сингонияға (сингония сөзи уқсас мүйешлер деген мәнини аңартады) ийе элементар қутышалар хәм 14 типтеги Бравэ пәнжерелери қурылады.

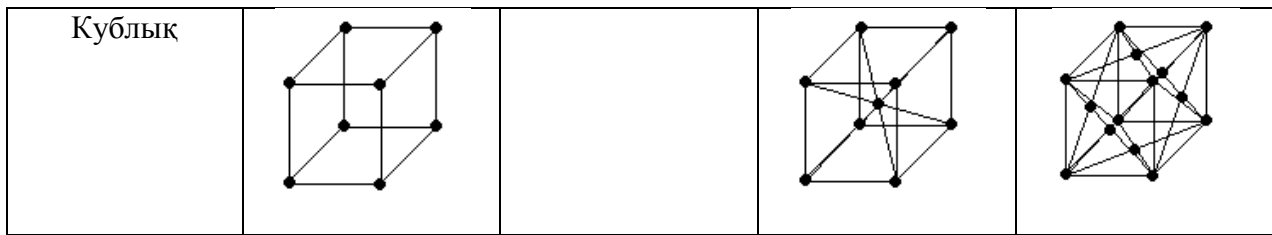
Бравэ пәнжерелери төмендегидей типте болыўи мүмкин: Р - эпийайы, I - көлемде орайласқан, F - қапталда орайласқан, А, В, С - базада орайласқан, R - ромбоэдрлик (4-кестеде келтирилген).

Бравэнің эпийайы пәнжерелери тийкарында кристаллографиялық сингониялар айрылады.

Гексагонал қурылысқа сәйкес келиўши элементар қутыша үш эпийайы қутышадан туратуғын алты мүйешли призма болып табылады. Бул элементар қутыша тригонал хәм гексагонал кристаллардың симметриясын анық көрсетеди.

14 типтеги Бравэ пәнжерелери ҳаққында мағлыўмат

Сингония	Пәнжере типи			
	Эпиўайы	Базада орай- ласқан	Көлемде орай- ласқан	Қапталда орай- ласқан
Триклинлик				
Моноклинлик				
Ромбалық				
Тригонааллық (ромбоэдрлик)				
Тетрагонааллық				
Гексагонааллық				



Эпиұайы пәнжерелерде түйинлер қутышалардың тек төбелерінде жайласады. Ал курамалы пәнжерелерде басқа да түйинлер болады: көлемде орайласқан 8 қутышада - қутышаның орайында бір түйин; “ қутышада - хәр бир қапталдың орайында бір түйиннен х.т.б. Қутышаның төбесіндегі түйин бір ұақытта сегіз қутышаға сәйкес келеді. Сонлықтан хәр бир қутышаға төмендегідей сандағы түйинлер сәйкес келеді: I қутышағы 1, 8 қутышаға 2, “ қутышағы 4, C қутышаға 2 түйин сәйкес келеді.

Симметрияның кеңісліктегі 230 топарлары. *Симметрияның кеңісліктегі топарлары* деп кристаллық қурылыстың барлық симметриялық түрлендіріулеринің жыйнағына айтамыз. Симметрияның кеңісліктегі топарлары симметрияның ноқатлық топарлары сыяқлы кристал қурылысының симметриясын, кристалдың сыртқы формасының симметриясын хәм оның макроскопиялық қасиетлеринің симметриясын тәріплейді.

Хәр бир ноқатлық топарға бир неше кеңісліктегі топарлар сәйкес келеді. Симметрияның кеңісліктегі топарынан ноқатлық топарды алыу үшін барлық тарнсляцияларды жоқ қылыу керек, яғный барлық жылжып шашыратыушы симметрия тегісліклерин эпиұайы симметрия тегісліклерине, винтлік көшерлерди эпиұайы бурыу көшерлерине айландырыу, ал қалған барлық симметрия элементлерин бир ноқатқа жыйнау керек.

Ноқатлық топардан усы топарға сәйкес келиуши барлық кеңісліктегі топарларды келтирип шығарыу әдеуір курамалы мәселе болып табылады. Бул жерде барлық мүмкин болған симметрия элементлерин хәм Бравэ пәнжерелерин алып көриу керек. Мысалы егер ноқатлық топарға 3 хәм 2 көшерлери киретуғын болса кеңісліктегі топарды келтирип шығарыу үшін 3, 3₁, 3₂, 2, 2₁ көшерлеринің мүмкин болған қосындыларын алып көриледі.

Усындай жоллар менен барлық 230 симметрияның кеңісліктегі топарлары келтирилип шығылады. Усы топарлардың хәр бири математикалық топарлар аксеомаларын қанатландырады.

230 топар 1890-1894 жыллары бир ұақытта хәм бир биринен ғәрезсиз Е.С.Федоров хәм А.Шенфлислер тәрепинен келтирилип шығылды.

Симметрияның кеңісліктегі топарларын белгілеу үшін көбінесе халықаралық символлар, ал айырым жағдайларда Е.С.Федоров символлары және А.Шенфлис символлары (екеуі екі түрлі) қолданылады.

Халық аралық символларды жазу тәртібі 5-кестеде келтірілген.

Ноқатлардың дұрыс системасы деп кеңісліктегі топардың симметриялық түрлендіріулері менен байланысқан симметриялық жақтан эквивалент болған ноқатлардың жыйнағын айтамыз. Бұндай система бір ноқатқа берілген кеңісліктегі топар үшін сәйкес келіуші барлық симметрия операцияларын қайталаудың жәрдеминде алынады.

5-кесте.

Симметрияның кеңісліктегі топарларын жазу тәртібі

Сингония	Позициялар			
	I	II	III	IV
Триклин	Бравэ пәнжереси типи	Бар симметрия элементи		
Моноклин		Бар симметрия элементи		
		2 ямаса 2_1 (және 2 ге нормал те- гислик, егер бар болса)		
Ромбалық		Нормал бағытланған тегислик ямаса төмендегі көшерге па- раллел көшер		
		X көшерине	У көшерине	Z көшерине
Тетрагонал Гексагонал		Жоқарғы тәртіпті көшер (ямаса оған перпендикуляр болған тегислик)	Координаталық тегислик ямаса көшер	Диагонал тегислик ямаса көшер
Кублық		Координаталық тегисликтер ямаса көштерлер	3	Диагонал тегисли- ктер ямаса көштер- лер

Ноқатлық топар үшін әлсізайы форма қандай әхмийетке ие болса, симметрияның кеңісліктегі топары үшін ноқатлардың дұрыс системасы түсиниги сондай әхмийетке

ийе болады. Ноқатлардың дурыс системасы кристалдағы қурылыс бірліклеринің (атомлардың, молекулалардың ямаса олардың системаларының) кеңіслікте жайласуыларының геометриялық нызамын тәріптейди.

Дурыс системаны билиу бір элементар қутышада жайластыруу мүмкін болған хәр қыйлы типтеги атомлар санын анықлау үшін зәрүр. Дурыс системаның барлық ноқатлары кеңісліктеги топардың симметрия түрлендириулері жәрдемінде бир бири менен бетлестірілетуғын болғанлықтан, хәр қыйлы сорттағы атомлардың бир системаға кириуиниң мүмкін емес екенлиги аңсат көриуге болады.

Эпиуайы формалар сыяқлы, ноқатлардың дурыс системасы үшін да улыұмалық хәм дара системалар түсиниги орын алады. Егер дәслепки ноқат симметрия элементлериниң бирінде ямаса бирдей симметрия элементлеринен бирдей қашықлықларда туратуғын болса ноқатлардың дурыс системасы **ноқатлардың дара дурыс системасы** деп аталады. Дәслепки ноқат симметрия элементлериниң хеш бирине тиймейтуғын болса ямаса бирдей симметрия элементлеринен бирдей қашықлықларда туратуғын болмаса алынатуғын ноқатлардың дурыс системасы **ноқатлардың улыұмалық дурыс системасы** деп аталады.

Ноқатлардың дурыс системасының **ретлилиги** деп элементар қутышадағы бир бирине симметриялық жақтан эквивалент болған ноқатлардың жыйнағына айтамыз. Ретлилик эпиуайы формадағы қаптал бетлердің саны сыяқлы анықланады.

Төмендегидей салыстырыу келтиремиз:

Шекли фигуралар (көп жақлылар)	Шексиз фигуралар (қурылыс)
Берілген ноқатлар (қаптал бетлер)	Берілген ноқатлар (структуралық бірліклердің массалар орайлары)
Эпиуайы форма	Ноқатлардың дурыс системасы
Эпиуайы формалар (дара хәм улыұмалық)	Ноқатлардың дурыс системалары (дара хәм улыұмалық)
Қаптал бетлердің саны (симметриялық жақтан эк- вивалент тегисліклер са- ны)	Ноқатлардың ретлилиги (элементар қутыша көлеміндеги симметриялық жақтан эквивалент болған ноқатлар саны)

International tables for X-ray Crystallography, V 1. 8, II, Berlin, 1935, V 1. I, II, II8, Birmingham, 1952, 1959, 1962, 1969 (Структуралық кристаллография бойынша халық ара-

лық кестелер) кітабында симметрияның кеңістіктегі топтарының хәр бири үшін нокатлардың дурыс системасы сұйретленген хәм усы эквивалент нокатлардың координаталары берілген. Бул хәкқында кристаллардың атомлық-кристаллық қурылысын дифракциялық изертлеу мәселелери қаралғанда және бир рет гәп етиледі.

Енди бир неше әпиұайы мысалда симметрияның кеңістіктегі топтары менен танысамыз.

Триклин сингонияда тек ғана Бравэнің әпиұайы қутышаларының болыуы мүмкін. 1 белгиси менен белгиленетуғын класста хеш қандай макроскопиялық симметрия элементи жоқ, әпиұайы формалар тек моноэдрлер болыуы мүмкін. 1 кластағы кристаллар қурылысында бөлекшелер тек трансляция жәрдеминде симметрия болып қайталанады. Бул класстың бирден бир кеңістіктегі топарының белгиси $P1$ хәм ол 13-сұйретте көрсетілген.

Бул сұйретте нокатлардың дурыс системасы көрсетілген. Қутышада ықтыярлы түрде x, y, z нокатын орналастырамыз. Трансляция бул нокатты басқа қутышаларға өткереди, ал усы қутышаның ишинде нокат қайталанбайды. Демек системаның ретлиги 1 ге тең.

Усы мысалда нокатлардың дурыс системасын сфералық нокатлар ямаса “шар” лардың жәрдеминде көрсетиудің мүмкін емеслиги көринип тур. Егер симметриялы нокатлар қолланылған болғанда 13-б сұйретте көринип турғанындай сызылма тегислигинде жатыушы қосымша 2 көшерлери пайда болған болар еди. Басқа сөз бенен айтқанда усындай 2-тәртіпті симметрия көшерлери бул сызылмада жоқ деп дәлиллеуге болмайды. Егер дурыс системаның нокатларын асимметриялық фигуралар жәрдеминде белгиленсе (13-в сұйрет) $P1$ топарында симметрия көшерлеринің жоқлығы хәм тек трансляциялардың бар екенлиги анық көринеди.

13-г сұйретте $P1$ топарының нокатларының дурыс системасы “Халықаралық кестелер” тийкарында стандарт белгилеулерде берілген.

Енди триклин системасының $\bar{1}$ класына өтеміз. Әпиұайы P қутышалардан туратуғын тордың хәр бир түйининде туұдырыушы симметрия орайы жайласқан болады. Алынған кеңістіктегі топардың символы $P\bar{1}$. Бундай топарда нокатлардың еки дурыс системасы болады: *улыұмалық* хәм *дара*. x, y, z координатасына ийе қәлеген нокат симметрия орайының тәсиринде координаталары $\bar{x}, \bar{y}, \bar{z}$ болған нокатқа айландырылады. Сонлықтан элементар қутышаға еки нокат сәйкес келеді, демек *улыұмалық* системаның ретлиги екиге тең.

Қәлеген симметрия орайының үстинде жатқан нокат қутышада қайталанбайды хәм соған сәйкес *дара* системаның ретлиги 1 ге тең.

“Халықаралық кестелерге” муўапық ноқатлардың ҳәр бир дурыс системасы киши латын ҳәриплери менен белгиленеди ҳәм $P\bar{1}$ топарының ноқатларының дурыс системасы былай жазылады:

$$1: (a) 000, (b) (00\frac{1}{2}), (c) 0\frac{1}{2}0, (d) \frac{1}{2}00, (e) \frac{1}{2}\frac{1}{2}0,$$

$$(f) \frac{1}{2}0\frac{1}{2}, (h) \frac{1}{2}\frac{1}{2}0, (g) 0\frac{1}{2}\frac{1}{2}.$$

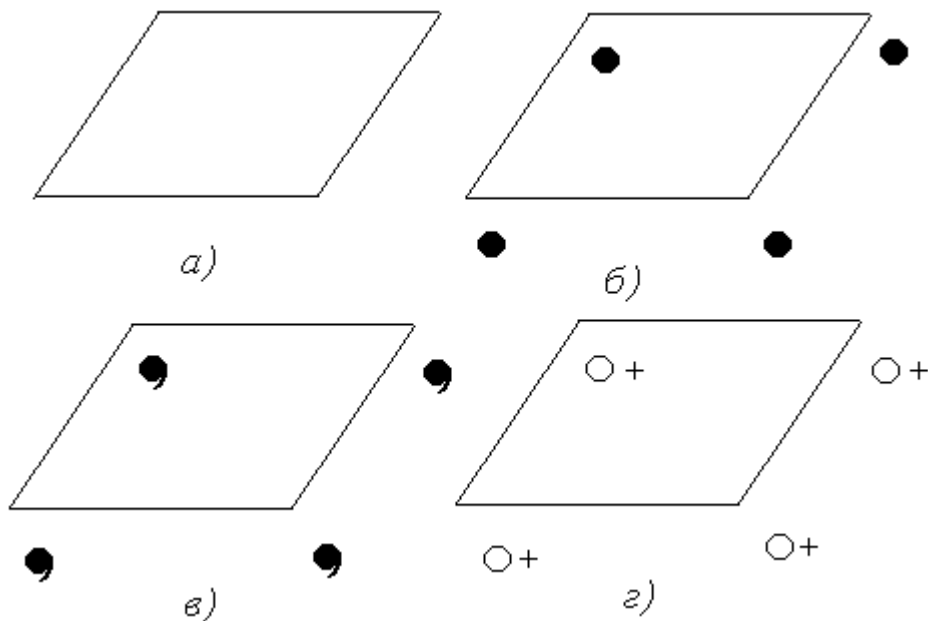
$$2: (8) xyz, \bar{x} \bar{y} \bar{z}.$$

Туўры пәнжерениң тегисликлери зонасына кери пәнжерениң ноқатларынан (түйинлерден) туратуғын торы сәйкес келеди. Соның менен бирге бул зона көшери кери пәнжере торы тегислигине нормал бағытланған. $\{hk1\}$ тегисликлерине ийе кеңисликтеги туўры пәнжереге $[[hk1]]$ ноқатларынан (түйинлеринен) туратуғын үш өлшемли кери пәнжере сәйкес келеди.

Кери пәнжерениң тийкарғы векторлары $\mathbf{a}^*, \mathbf{b}^*, \mathbf{c}^*$ лар (8-1) жәрдеминде ямаса төмендегидей скаляр көбеймелер бойынша анықланады:

$$(\mathbf{a}^* \cdot \mathbf{a}) = (\mathbf{b}^* \cdot \mathbf{b}) = (\mathbf{c}^* \cdot \mathbf{c}) = 1,$$

$$(\mathbf{a}^* \cdot \mathbf{b}) = (\mathbf{a}^* \cdot \mathbf{c}) = (\mathbf{a} \cdot \mathbf{a}^*) = (\mathbf{b}^* \cdot \mathbf{c}) = (\mathbf{b} \cdot \mathbf{a}^*) = (\mathbf{c}^* \cdot \mathbf{a}) = (\mathbf{c} \cdot \mathbf{b}^*) = 0. \quad (8-2)$$



13-сүўрет. $P\bar{1}$ кеңисликтеги топары.

Элементар кутыша (а) ҳәм сфералық симметриялық ноқатлар (б), асимметриялық (симметриялық емес) фигуралар (в), стандарт белгилеўлердеги (г) ноқатлардың дурыс системасы.

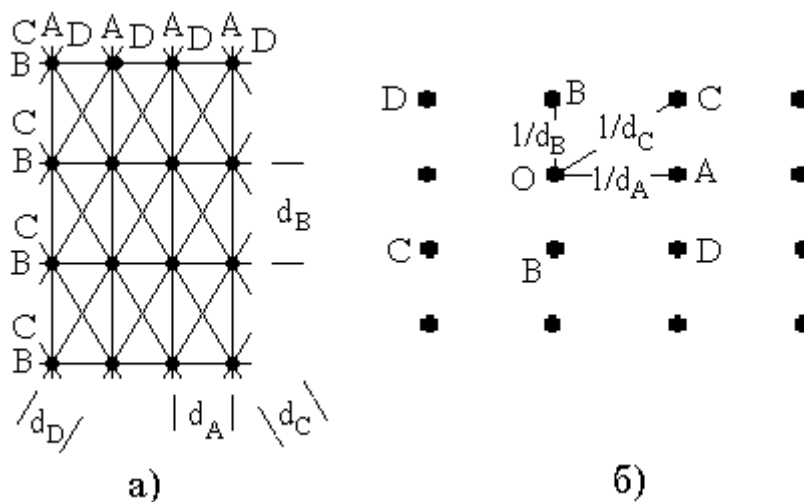
Кери пәнжере. Қатты денелер физикасында, атомлық-кристаллық қурылысты дифракциялық усылар менен изертлегенде *кери пәнжер*ден пайдаланыу үлкен жеңилікті пайда етеді. Бундай пәнжере былайынша қурылады:

1) егер туұры пәнжере \mathbf{a} , \mathbf{b} , \mathbf{c} трансляция векторларында қурылған болса кери пәнжере көшерлері \mathbf{a}^* , \mathbf{b}^* , \mathbf{c}^* векторларында қурылып, олар төмендегидей векторлық көбейме түрінде анықланады:

$$\mathbf{a}^* = [\mathbf{b} \times \mathbf{c}], \quad \mathbf{b}^* = [\mathbf{c} \times \mathbf{a}], \quad \mathbf{c}^* = [\mathbf{a} \times \mathbf{b}]. \quad (8-1)$$

2) кери пәнжеренің көшерлік параметрлері \mathbf{a}^* , \mathbf{b}^* , \mathbf{c}^* кери пәнжердегі усы көшерлерге нормал бағытланған туұры пәнжере торлары арасындағы тегисликлер арасындағы қашықтықтың кери шамаларына тең.

Туұры пәнжердегі хәр бир (hkl) тегислигине кери пәнжерде $[[hk1]]$ түйини сәйкес келеді. Туұры пәнжере аймағындағы өз ара параллел болған $\{hk1\}$ тегисликлер семействосына кери пәнжерде усы тегисликке перпендикуляр болған туұрының бойынша жатқан шексиз көп $[[hk1]]$ нокатлары сәйкес келеді. Координата басы деп қабыл етилген нокаттан бул нокатлардың қашықтығы сәйкес $1/d$, $2/d$, $3/d$,... шамаларына тең болады. Бул жерде $d = d_{(hk1)}$ туұры пәнжердегі $\{hk1\}$ тегисликлері арасындағы қашықтық (14-сүүрет).



14-сүүрет. Туұры (а) хәм кери (б) пәнжерелер.

(8-2) аңлатпасынан \mathbf{a}^* векторының \mathbf{b} хәм \mathbf{c} векторлары жатқан тегисликке перпендикуляр екенлиги көринип тур. \mathbf{a}^* , \mathbf{b}^* хәм \mathbf{c}^* векторлары \mathbf{a} , \mathbf{b} , хәм \mathbf{c} векторлары сыяқлы оң үшлик векторлар сыпатында сайлап алынады.

\mathbf{a}^* , \mathbf{b}^* хэм \mathbf{c}^* векторлары туўры пәнжере тегисликтери координаталарындағы элементар параллелограммлардың майданларын береді, ал абсолют шамалары бойынша олар туўры пәнжерениң тегисликтери арасындағы қашықтықларға кері пропорционал:

$$\begin{aligned} |\mathbf{a}^*| &= [\mathbf{b} \times \mathbf{c}] / (\mathbf{a}^* [\mathbf{b} \times \mathbf{c}]), \quad |\mathbf{b}^*| = [\mathbf{c} \times \mathbf{a}] / (\mathbf{b}^* [\mathbf{c} \times \mathbf{a}]), \\ |\mathbf{c}^*| &= [\mathbf{a} \times \mathbf{b}] / (\mathbf{c}^* [\mathbf{a} \times \mathbf{b}]). \end{aligned} \quad (8-3)$$

Туўры хэм кері пәнжерелер өз-ара түйінлес, яғный \mathbf{a} , \mathbf{b} , \mathbf{c} көшерлерінде дүзілген пәнжере \mathbf{a}^* , \mathbf{b}^* , \mathbf{c}^* көшерлерінде дүзілген пәнжереге қарата кері, ал \mathbf{a}^* , \mathbf{b}^* , \mathbf{c}^* көшерлерінде дүзілген пәнжере \mathbf{a} , \mathbf{b} , \mathbf{c} көшерлерінде дүзілген пәнжереге қарата кері болып табылады.

Кері пәнжере төмендегідей қасиетлерге ийе болады:

1. Кері пәнжере векторы $\mathbf{g}_{(hk1)} = h\mathbf{a}^* + k\mathbf{b}^* + l\mathbf{c}^*$ туўры пәнжерениң $(hk1)$ тегислигине перпендикуляр хэм шамасы жағынан туўры пәнжерениң $\{hk1\}$ тегисликтери арасындағы қашықтық d_{hk1} диң кері шамасына тең, яғный

$$|\mathbf{g}_{(hk1)}| = |h\mathbf{a}^* + k\mathbf{b}^* + l\mathbf{c}^*| = 1/d_{hk1}. \quad (8-4)$$

2. Кері пәнжерениң элементар қутышасының көлеми V^* туўры пәнжерениң элементар қутышасының көлеми V ның кері шамасына тең (хэм керісінше):

$$\begin{aligned} V^* &= (\mathbf{a}^* \cdot [\mathbf{b}^* \times \mathbf{c}^*]) = 1/V, \\ V &= (\mathbf{a} \cdot [\mathbf{b} \times \mathbf{c}]) = 1/V^*. \end{aligned} \quad (8-5)$$

(8-1), (8-2) хэм (8-4) формулалардан пайдаланып туўры хэм кері пәнжерелер параметрлери \mathbf{a} , \mathbf{b} , \mathbf{c} , \mathbf{a}^* , \mathbf{b}^* , \mathbf{c}^* лар арасындағы байланысларды аңсат келтирип шығарыў мүмкин:

$$\begin{aligned} \mathbf{a}^* &= \frac{1}{V} [\mathbf{b} \times \mathbf{c}] = [\mathbf{b} \times \mathbf{c}] / (\mathbf{a} \cdot [\mathbf{b} \times \mathbf{c}]); \\ \mathbf{b}^* &= \frac{1}{V} [\mathbf{c} \times \mathbf{a}] = [\mathbf{c} \times \mathbf{a}] / (\mathbf{b} \cdot [\mathbf{c} \times \mathbf{a}]); \\ \mathbf{c}^* &= \frac{1}{V} [\mathbf{a} \times \mathbf{b}] = [\mathbf{a} \times \mathbf{b}] / (\mathbf{c} \cdot [\mathbf{a} \times \mathbf{b}]). \end{aligned}$$

Буннан

$$\begin{aligned} |\mathbf{a}^*| &= \frac{1}{V} bc \sin \alpha, \\ |\mathbf{b}^*| &= \frac{1}{V} ca \sin \beta, \\ |\mathbf{c}^*| &= \frac{1}{V} ab \sin \gamma. \end{aligned}$$

Соның менен бирге

$$\cos \alpha^* = (\cos \beta^* \cos \gamma - \cos \alpha) / (\sin \beta^* \sin \gamma),$$

$$\cos \beta^* = (\cos \alpha^* \cos \gamma - \cos \beta) / (\sin \alpha^* \sin \gamma),$$

$$\cos \gamma^* = (\cos \alpha^* \cos \beta - \cos \gamma) / (\sin \alpha^* \sin \beta).$$

Кери пәнжере хаққындағы түсиник тийкарынан қысқа толқынлы нурлар (толқын узынлықтары a , b , c параметрлери менен барабар болған жағдайлар, яғный 0.05-0.1 ангстремнен 50-100 ангстремлерге шекемги рентген, электрон хәм нейтрон толқынлары) түскендеги кристаллардың шашыратыў (толқынлардың дифракциясын) қәсийетинин дәўирлилин тәриплеў ушын пайдаланылады. Усындай нурлардың кристаллардағы кристаллографиялық тегисликлердеги дифракциясы Вульф-Брэгг теңлемеси $2d_{(hkl)} \sin \theta = n\lambda$ менен тәрипенеди. Бул жерде λ - түсийши нурдың толқын узынлығы, θ - дифракциялық мүйеш, n - пүтин сан.

Структуралық кристаллографияның тийкаргы формулалары. Кери пәнжере жәрдеминде структуралық кристаллографияның көплеген мәселелери шешиледі. Мысаллар келтиремиз:

(hkl) кристаллографиялық тегисликлери семействосы ушын тегисликлер арасындағы қашықлықлар былай есапланады:

$$d_{(hkl)} = 1 / |\mathbf{h}\mathbf{a}^* + \mathbf{k}\mathbf{b}^* + \mathbf{l}\mathbf{c}^*| = 1 / |\mathbf{g}_{(hkl)}|.$$

$\mathbf{g}_{(hkl)}$ векторының узынлығы былай есапланады:

$$\begin{aligned} |\mathbf{h}\mathbf{a}^* + \mathbf{k}\mathbf{b}^* + \mathbf{l}\mathbf{c}^*|^2 &= (\mathbf{h}\mathbf{a}^* + \mathbf{k}\mathbf{b}^* + \mathbf{l}\mathbf{c}^*) \cdot (\mathbf{h}\mathbf{a}^* + \mathbf{k}\mathbf{b}^* + \mathbf{l}\mathbf{c}^*) = \\ &= h^2 \mathbf{a}^{*2} + k^2 \mathbf{b}^{*2} + l^2 \mathbf{c}^{*2} + 2kl \mathbf{b}^* \cdot \mathbf{c}^* + 2lh \mathbf{c}^* \cdot \mathbf{a}^* + 2hk \mathbf{a}^* \cdot \mathbf{b}^* = \\ &= h^2 \mathbf{a}^{*2} + k^2 \mathbf{b}^{*2} + l^2 \mathbf{c}^{*2} + 2kl b^* c^* \cos \alpha^* + 2lh c^* a^* \cos \beta^* + 2hk a^* b^* \cos \gamma^*. \end{aligned}$$

Бирақ бундай курамалы хәм узын-шубай формула жәрдеминде тек триклинли кристаллар ушын есаплаўлар жүргизиў мүмкин. Ал басқа кристаллар ушын ($a = b = c$ сыяқлы қатнастардың бар екенлигине байланысly) формулалар әдеўир әпиўайыласады:

миноклини сингония ушын

$$d_{(hkl)}^2 = (h^2 a^{*2} + k^2 b^{*2} + l^2 c^{*2} + 2lh c^* a^* \cos \beta^*)^{-1},$$

бул жерде $\beta^* = 180^\circ - \beta$; $a^* = (a \sin \beta)^{-1}$; $b^* = b^{-1}$; $c^* = (\cos \beta)^{-1}$;

ромбалық сингонияда

$$d_{(hkl)}^2 = (h^2 a^{*2} + k^2 b^{*2} + l^2 c^{*2})^{-1},$$

бул жерде $a^* = a^{-1}$, $b^* = b^{-1}$, $c^* = c^{-1}$;

гексагоналлық сингонияда

$$d_{(hkl)}^2 = [(h^2 + k^2 + hk)a^{*2} + l^2 c^{*2}]^{-1},$$

бул жерде $a^* = 2/a \sqrt{3}$;

тригонал сингонияда

$$d_{(hkl)}^2 = \{[(h^2 + k^2 + l^2 + 2(hk + lh + hl) \cos \alpha^*)] a^{*2}\}^{-1},$$

бул жерде $\cos(\alpha^*/2) = 1/2 \cos(\alpha/2)$, $a^* = 1/(a \sin \alpha^* \sin \alpha^*)$;

тетрагонал сингонияда

$$d_{(hkl)}^2 = \{[(h^2 + k^2) a^{*2} + l^2 c^{*2}]\}^{-1},$$

бул жерде $a^* = a^{-1}$, $c^* = c^{-1}$;

кублық сингонияда

$$d_{(hkl)}^2 = [(h^2 + k^2 + l^2) a^{*2}]^{-1},$$

бул жерде $a^* = a^{-1}$.

Элементар қутышаның көлеми (10-5) формула бойынша анықланады:

$$V = (\mathbf{a}^* [\mathbf{b} \times \mathbf{c}]) = 1/V^*.$$

Қаўсырманы ашамыз

$$V^2 = (abc)^2 - a^2 (\mathbf{b}^* \mathbf{c})^2 - b^2 (\mathbf{c}^* \mathbf{a})^2 - c^2 (\mathbf{a}^* \mathbf{b})^2 + 2(\mathbf{b}^* \mathbf{c}) (\mathbf{c}^* \mathbf{a}) (\mathbf{a}^* \mathbf{b}),$$

яғный $V = abc (1 - \cos^2 \alpha - \cos^2 \beta - \cos^2 \gamma + 2 \cos \alpha \cos \beta \cos \gamma)^{1/2}$.

Усы формуланың жәрдеминде триклин пәнжерениң көлеми есапланады. Ал қалған сингониядағы кристаллар үшін аңлатпалар әдеуір әпиұайыласады:

моноклин сингонияда $V = abc \sin \beta$;

ромбалық сингонияда $V = abc$;

гексагонал сингонияда $V = \sqrt{3} a^2 c$;

тригонал сингонияда $V = a \sqrt{1 - 3 \cos^2 \alpha + 2 \cos^2 \alpha}$;

тетрагонал сингонияда $V = a^2 c$;

кублық сингонияда $V = a^3$.

$(h_1 k_1 l_1)$ хәм $(h_2 k_2 l_2)$ тегисликлери арасындағы ф мүйешин

$$\mathbf{g}_1 = h_1 \mathbf{a}^* + k_1 \mathbf{b}^* + l_1 \mathbf{c}^*$$

$$\mathbf{g}_2 = h_2 \mathbf{a}^* + k_2 \mathbf{b}^* + l_2 \mathbf{c}^*$$

векторлары арасындағы мүйеш сыпатында табамыз. Усы векторлардың скаляр көбеймесин $(\mathbf{g}_1 \mathbf{g}_2) = |\mathbf{g}_1| |\mathbf{g}_2| \cos \varphi$ сыпатында жазып төмендегидей аңлатпаны аламыз:

$$\cos \varphi = d_{h_1 k_1 l_1} d_{h_2 k_2 l_2} \{h_1 h_2 a^{*2} + k_1 k_2 b^{*2} + l_1 l_2 c^{*2} + (k_2 l_1 + k_1 l_2) b^* c^* \cos \alpha^* + (h_2 l_1 + h_1 l_2) a^* c^* \cos \beta^* + (h_2 k_1 + h_1 k_2) a^* b^* \cos \gamma^*\}.$$

Бул аңлатпадағы $d_{h_1 k_1 l_1}$ хәм $d_{h_2 k_2 l_2}$ сәйкес $(h_1 k_1 l_1)$ хәм $(h_2 k_2 l_2)$ тегисликлер семействолары үшін тегисликлер арасындағы қашықтықтар.

Егер \mathbf{g}_1 , \mathbf{g}_2 хәм \mathbf{g}_3 векторлары компланар болса сәйкес $(h_1 k_1 l_1)$, $(h_2 k_2 l_2)$ хәм $(h_3 k_3 l_3)$ тегисликлери бир зонаға киреди хәм кери пәнжерениң усы векторларында дүзилген параллелопипедтің көлеми нолге тең болады, яғный

$$(\mathbf{g}_1^* [\mathbf{g}_2 \times \mathbf{g}_3]) = 0,$$

ямаса

$$\begin{vmatrix} h_1 & k_1 & l_1 \\ h_2 & k_2 & l_2 \\ h_3 & k_3 & l_3 \end{vmatrix} = 0.$$

4-санлы лекция. Кристаллардың физикалық қасиетлерін тензорлық хәм симметриялық тәриплеу ұсыллары. Кристал тутас бир текли анизотроп орталық сыпатында. Тензорлар хәм олардың түрлендириулері. Векторлардың хәм 2-рангалы тензорлардың қураушыларын түрлендириу

Кристаллардың макроскопиялық физикалық қасиетлерін қарағанымызда оның дискрет атомлық қурылысына итибар бермеуіге болады. Бундай жағдайда кристалл тутас бир текли анизотроп орталық сыпатында қаралады.

Кристаллардың макроскопиялық физикалық қасиетлерін қарағанымызда биз атомлар арасындағы қашықтықтардан әдеуір үлкен болған аралықтар, элементар қуыша көлемінен салыстырмалы дәрежеде үлкен көлемдер менен ис алып барамыз. Сонлықтан кристалды тутас (үзлексіз) орталық деп қарай аламыз.

Кристалдың хәр бир нокатындағы қасиетлерін бирдей деп есеплей аламыз. Басқа сөз бенен айтқанда изертленип атырылған кристалдың элементар көлемін кристалдың қалған бөлімінен алуға болады. Демек кристалды тек **тутас орталық** деп қарап қоймай **бир текли** орталық деп те қарай аламыз. Бундай жағдайда кристаллардың дискрет қурылысын итибардан шетте қалдыру менен бирге реал кристалларда орын алатуғын хәр қыйлы қосымталар менен қурылыс бузықтарының бар екенлігін есепке алмаймыз. Сонлықтан кристалларды тутас бир текли орталық деп белгилі бир дәллікте хәм ұсындай жағдайға сәйкес келуші мәселелерді қарағанымызда айта аламыз.

Ең кейнінде жоқарыда айтылған қасиеттер менен бир қатарда кристалдың базы бир физикалық қасиеттері анизотроп, басқа сөз бенен айтқанда ұсындай қасиеттерді тәриплегенде координаталар системасының бағытына ғәрезілігі есепке алынады. Сонлықтан кристаллық орталық анизотроп қасиеттерге ие болады.

Енді ұсы айтылғанларға қосымша мәселені былайынша түсіндіреміз:

Элементар көлем түсиниги тутас орталықлар теориясының тийкаргы түсиниклеринин бири болып табылады. Бул элементар көлемнің өлшемлери еки шэртти қанаатландырыўы керек: 1) бул көлемди жеткиликли дәлликте бир текли деп қарай алыў ушын усы көлем ишинде көп сандағы структуралық бирликлердин (кристал жағдайында элементар қутышалар, шийшепластик жағдайында шийше сабақлар х.т.б.), 2) усы көлем шеклеринде физикалық майданлардың өзгерисин есапқа алмаслықтай дәрежеде элементар көлем киши болыўы керек, бир элементар көлем шеклеринде физикалық майданлар (электр, магнит, механикалық кернеўлер майданлары) бир текли деп қаралады. Пәнжере турақлысын a , элементар көлемнің характерли өлшемин $\sqrt[3]{v}$, ал майдан градиенти $\hbar E/\hbar x$ деп белгиленсе жоқарыда келтирилген еки талапты былайынша жаза аламыз:

$$a \ll \sqrt[3]{v} \ll E/(\hbar E/\hbar x)$$

Егер майдан кеңисликте дәўирли түрде өзгертетуғын хэм λ толқын узынлығы менен характерленетуғын болса жоқарыдағы теңсизликлер былай жазылады

$$a \ll \sqrt[3]{v} \ll \lambda.$$

Қэлеген физикалық қэсийеттиң симметриясының топары $T_{\tau_1\tau_2\tau_3}$ шамасын кристаллографиялық ямаса шеклик болған базы бир симметрияның анық ноқатлық топары G_0^3 ға көбейткенге тең. $T_{\tau_1\tau_2\tau_3}$ шамасы макроскопиялық жақтан тэриплегенде басым көпшилик кристаллар ушын бирдей болғанлықтан айқын қэсийеттиң симметриясын қарағанда G_0^3 топарын қараў менен шекленеди. Бул белгилеўлердин мәниси кейинирек анықланады.

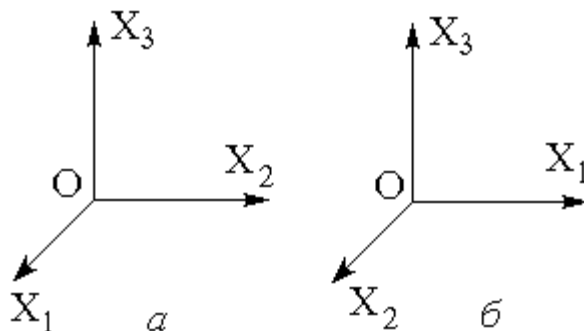
Кристаллардың физикалық қэсийетлерин X_1, X_2, X_3 (ямаса X, Y, Z) **декарт координаталар системасында** қараў қабыл етилген. Әдетте көпшилик жағдайларда оң система қолланылады (15-сүўрет). Оң координаталар системасында X_1 көшеринен X_2 көшерине қарай ең қысқа бурыў саат стрелкасының жүриў бағытына қарама-қарсы бағытта әмелге асады. Усындай қозғалғанда оң бурғы X_3 көшериниң бағытында жылжыйды. Тек ғана айырым жағдайларды қарағанда оң емес, ал сол координаталар системасы қолланылады.

Кристаллардың физикалық қэсийетлерин бир мәнисте тэриплеў ушын кристаллографиялық көшерлерге салыстырғанда анық бир бағытқа ийе **кристаллофизикалық координаталар системасы** деп аталатуғын Декарт координаталар системасы қолланылады. Бирақ бир қатар мәселелер шешилгенде кристаллофизикалық емес, ал арнаўлы түрде сайлап алынған Декарт координаталар системасы қолланылады.

Координата басмы бир ноқатта жайласқан X_1, X_2, X_3 координаталар системасынан X_1', X_2', X_3' координаталар системасына өтиў жазылыўы төменде көрсетилгендей теңлемелер системасы жәрдемінде әмелге асырылады:

$$e_i' = \alpha_{ij} e_j. \quad (\text{II-1})$$

Бул аңлатпадағы e_i' хәм e_j сәйкес жаңа хәм бурынғы координаталар системасындағы бирлик векторлар, α_{ij} болса жаңа X_i' көшерлері менен бурынғы X_i көшерлері арасындағы бағытлаўшы косинуслар. Бул косинуслардың мәнислерин ортогонал түрлендириў матрицасы жәрдеминде жаза аламыз:



15-сүўрет. Оң (а) хәм терис (б) ортогонал координаталар системасы

$$\|\alpha_{ij}\| = \begin{vmatrix} \alpha_{11} & \alpha_{12} & \alpha_{13} \\ \alpha_{21} & \alpha_{22} & \alpha_{23} \\ \alpha_{31} & \alpha_{32} & \alpha_{33} \end{vmatrix}. \quad (\text{II-2})$$

Тоғыз α_{ij} косинуслары арасында барлық ўақытта алты қатнас орын алады (бул қатнастар ортогоналлық қатнастары деп аталады хәм үш косинустың бир биринен ғәрезсизлиги менен байланыслы):

$$\alpha_{ik} \alpha_{jk} = \begin{cases} 1 (i = j) \\ 0 (i \neq j) \end{cases}. \quad (\text{II-3})$$

Демек бир координаталар системасынан екіншисине өтиў барлық ўақытта үш ғәрезсиз параметрдің жәрдеминде берилиўи мүмкин екен (мысалы Эйлер мүйешлериниң жәрдеминде).

Жаңа X_i' координаталар системасынан бурынғы X_j координаталар системасына өтиў

$$e_j = \alpha_{ij}' e_i' \quad (\text{II-4})$$

теңдемелер системасы жәрдеминде әмелге асырылады. Ал бул ортогоналлық түрлендириў матрицасы $\|\alpha_{ij}'\|$ матрицасына қарата транспонласқан болады:

$$\|\alpha_{ij}'\| = \|\alpha_{ji}\| = \begin{vmatrix} \alpha_{11} & \alpha_{21} & \alpha_{31} \\ \alpha_{12} & \alpha_{22} & \alpha_{32} \\ \alpha_{13} & \alpha_{23} & \alpha_{33} \end{vmatrix}. \quad (\text{II-5})$$

Қалеген ортогоналлық түрлендириу матрицасының анықлаушысы ± 1 ге тең болады, яғный

$$|\alpha_{ij}| = \pm 1,$$

қала берсе **биринши әулад** түрлендириулері үшін (меншикли айланыу яғный әпиуайы айланыулар)

$$|\alpha_{ij}| = 1,$$

ал екінши әулад түрлендириулері үшін (меншикли емес айланыу, тегисликтеги шашырау, инверсия, айналық ямаса инверсиялық бурыу)

$$|\alpha_{ij}| = -1.$$

Демек биринши әулад түрлендириулерінде оң система оң болып, сол система сол болып, ал екінши әулад түрлендириулерінде оң система сол системаға, сол система оң системаға айланады.

Бул параграфтың ақырында 6-параграфта қысқаша гәп етилген **кристаллофизикадағы симметрия принципине** қайта ораламыз.

Кристаллофизикалық көз-қарас бойынша 39 дана симметрияның кристаллографиялық (32 дана) хәм шеклик (7 дана) топарлары тутас орталықтың анизотропиясы хәм симметриясы арасындағы өз-ара тәсирлесиудің мүмкин болған 39 типі болып табылады (басқа сөз бенен усы еки фактор арасындағы гүрестің 39 типі деп те айтамыз). Олардың бири - 1 классы усы гүрестеги анизотропияның толық жеңиси менен тәриппленеди. Бундай классқа кириуши кристалларда анизотропия толық көринеди. Еки шеклик класс - ∞m хәм ∞ болса анизотропияның толық жеңилиуі менен тәриппленеди. Усындай симметрияға ийе орталықларда барлық бағытлар эквивалент, ал бул жағдай усындай классларға кириуши кристалларда анизотропия пүткіллей болмайды. Қалған 36 класстың хәр бири анау ямаса мынау физикалық қәсийеттің анизотропиясына белгили болған анық шеклердің қойылуы менен характерленеди. Қойылатуғын бул шеклер кристалдың симметриясының логикалық нәтижеси болып табылады.

Симметрияның барлық физикалық қубылыстарға тәсирин анықлаушы улыұмалық принцип 1893-1895 жыллары Пьер Кюри тәрeпинен анықланған еди (Кюри принципи) хәм бул принцип былайынша жазылды: ‘Айқын себеп айқын болған нәтижелерге алып келетуғын болса, себептің симметрия элементлери нәтижелерде де көриниуі керек.

Қандай да бир қубылыстарда белгили бир диссимметрия табылған жағдайда, усы диссимметрия бул қубылыстарды туұдырған қубылыстарда да көриниуі керек.

Бұл жағдайға кері болған жағдайлар ең кемінде практикалық жақтан дұрыс емес, басқа сөз бенен айтқанда нәтижениң симметриясы себептің симметриясынан жоқары болады’.

Кристаллардың барлық қасиеттері олардың құрылысы тәрепинен анықланады. Сонлықтан кристаллардың қасиеттерине қолланылатуғын болса Кюри принципі кристалдың барлық симметрия элементтері оның (усы кристалдың) қалеген физикалық қасиетиниң де симметрия элементі болып табылады деп тастыйықлайды. Соның менен бир қатарда кристалдың қандай да бир қасиетиниң диссимметриясы оның құрылысының диссимметриясы ҳаққында дерек береді.

Кристалдың физикалық қасиеті ҳаққында гәп еткенимизде оның бир текли екенлигин нәзерде тутамыз ҳәм сонлықтан макроскопиялық физикалық қасиетти түсинемиз. Сонлықтан ҳәр бир кристалдың физикалық қасиетиниң (макроскопиялық) симметриясы кристалдың құрылысының симметриясының кеңисликтеги топары арқалы емес, ал симметрияның ноқатлық топары арқалы анықланады. Бундай деп жуўмақлаў Нейманның (1 П5) белгили болған принципине сәйкес келеді. Бұл принцип (6-параграфты қараў керек) ҳәзирги тилде былай айтылады: Кристалдың қалеген физикалық қасиетиниң симметрия элементтері өз ишине кристалдың симметриясының ноқатлық топарының симметрия элементтерин де алыўы керек. Солай етип Нейман принципін Кюри принципиниң нәтижеси сыпатында қараўға болады.

Нейман принципиниң Кюри принципинен бурын ашылғанлығын ҳәм бұл принциптиң кристаллофизиканың раўажланыўына үлкен тәсир жасағанлығын айтып өтемиз.

Тензорлар ҳәм олардың түрлениўлері. Егер қандай да бир физикалық шама бағыт пенен байланыссыз ҳәм координаталарды түрлендиргенде өзгермей қалатуғын болып, тек сан шамасы менен анықланатуғын болса, бундай шаманы *скаляр* деп атаймыз. Масса, температура, жыллылық сыйымлылығы энтропия скаляр шамалар болып табылады.

Координаталарды түрлендиргенде өзиниң шамасы сақлап қалатуғын, бирақ екінши әўлад түрлендириўлеринде белгисин өзгертетуғын физикалық шамалар бар. Бундай шамаларды *псевдоскалярлар* деп атаймыз. Бундай псевдоскалярға салыстырмалы оптикалық айланыў мысал бола алады. Демек скаляр ямаса псевдоскалярдың модули координаталарды қалеген түрдеги түрлендириўлерге қарата инвариант болып табылады.

Векторлар менен тензорлар болса анизотроплық қасиетлерге ийе болып, координаталарды түрлендиргенде олар өзлериниң санлық шамаларын өзгертеді. Вектор ең әпиўайы анизотропиялық шама болып табылады. **а** векторы узынлығы ҳәм бағыты ямаса *құраўшылары* берилген болса толығы менен анықланған болып саналады. $\mathbf{a} = [a_1, a_2, a_3]$, ал усы вектордың узынлығы

$$|\mathbf{a}| = \sqrt{a_1^2 + a_2^2 + a_3^2}. \quad (\text{II-6})$$

Бир векторлық шама екінші векторлық шаманың функциясы болыуы мүмкін, яғни $\mathbf{b} = f(\mathbf{a})$. Бундай жағдайда бір вектор екіншісі тәрәпинен индукцияланған деп аталады. Әпиуайы жағдайларда екі вектор арасындағы байланыс скалярдың жәрдемінде әмелге асырылады, яғни $\mathbf{b} = s\mathbf{a}$.

Ұлыұмалық жағдайларда (усындай жағдайлар кристаллар хәм басқа да анизотроплық орталықлар ушын орынланады) \mathbf{b} хәм \mathbf{a} векторлары арасындағы байланыс бағытларға ғәрезли болады. Егер \mathbf{b} векторының хәр бир қураушысы \mathbf{a} векторының хәр бир қураушысының сызықлы функциясы болса төмендегидей теңлемелер орынлы болады:

$$\begin{aligned} b_1 &= T_{11} a_1 + T_{12} a_2 + T_{13} a_3, \\ b_2 &= T_{21} a_1 + T_{22} a_2 + T_{23} a_3, \\ b_3 &= T_{31} a_1 + T_{32} a_2 + T_{33} a_3. \end{aligned} \quad (\text{II-7})$$

(II-7)-теңлемелер системасы жәрдемінде $\mathbf{b} = [b_1, b_2, b_3]$ векторы менен $\mathbf{a} = [a_1, a_2, a_3]$ векторларын байланыстыратуғын шама төмендеги кесте түрінде жазылады:

$$\begin{vmatrix} T_{11} & T_{12} & T_{13} \\ T_{21} & T_{22} & T_{23} \\ T_{31} & T_{32} & T_{33} \end{vmatrix} = T_{ij} \quad (\text{II-8})$$

хәм **2-рангалы тензор** деп аталады. Бул тензордың тоғыз коэффициенттин хәр бири болған $T_{11}, T_{12}, T_{13}, T_{21}, \dots$ лар тензордың қураушылары деп аталады хәм олардың хәр бири физикалық хәм геометриялық мәниске ийе. T_{11}, T_{22}, T_{33} қураушылары \mathbf{b} векторының \mathbf{a} векторы X_1 көшерине параллел болған жағдайдағы сәйкес X_1, X_2, X_3 координата көшерлері бағытындағы қураушылары болып табылады. \mathbf{b} менен \mathbf{a} векторларының өз ара параллел қураушыларын байланыстыратуғын болғанлықтан тензордың бас диагоналында тұрған T_{11}, T_{22}, T_{33} қураушылары тензордың **бойлық қураушылары** деп аталады. Тензордың басқа қураушылары көлденең қураушылар деп аталады, себеби олар \mathbf{b} менен \mathbf{a} ның өз ара перпендикуляр болған қураушыларын байланыстырады.

Қосыу индекслерин пайдаланыу арқалы (II-7) ни былай жазамыз:

$$b_i = T_{ij} a_j. \quad (\text{II-9})$$

Векторлар хәм 2-рангалы тензорлар менен тәріпленетуғын физикалық шамалар менен кристаллар қәсийетері бойынша мысаллар келтиремиз:

Берілген вектор	Индукцияланған вектор	Тензорлық қасиет
Электр майданының кернеуілігі (E)	Диэлектриклик поляризация (P)	Диэлектриклик қабыллағышлық.
Электр майданының кернеуілігі (E)	Электр индукциясы (D)	Диэлектриклик сиңиргишлик
Электр майданының кернеуілігі (E)	Электр тоғының тығызлығы (j)	Салыстырмалы электр өткізгішлік
Температура градиенти (grad T)	Жыллылық ағысы тығызлығы (1)	Жыллылық өткізгішлік коэффициентлери
Магнит майданының кернеуілігі	Магнит индукциясы	Магнитлик сиңиргишлик
Магнит майданының кернеуілігі	Магнитленгенлик	Магнитлик қабыллағышлық

(II-7)-теңлемелерди ықшамлы түрде былай жаза аламыз:

$$b_1 = \sum_{j=1}^3 T_{1j} a_j,$$

$$b_2 = \sum_{j=1}^3 T_{2j} a_j, \quad (\text{II-10})$$

$$b_3 = \sum_{j=1}^3 T_{3j} a_j, \quad (\text{II-11})$$

Бұл жазыуды еле де ықшамластырыу мүмкин:

$$b_8 = \sum_{j=1}^3 T_{ij} a_j \quad (8 = 1, 2, 3) \quad (\text{II-12})$$

Қосыу белгисин алып таслап

$$b_8 = T_{ij} a_j \quad (8, j = 1, 2, 3) \quad (\text{II-13})$$

қосыудың және де бир қағыйдасын әмелге ендиремиз (А.Эйнштейн бойынша): *егер бир ағзада индекс еки рет қайталанса усы индекс бойынша қосынды алыу керек.*

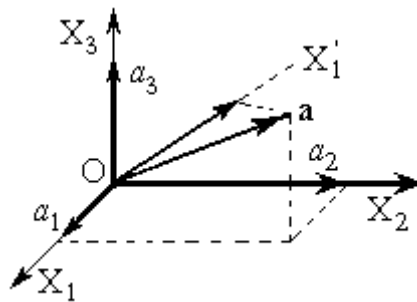
(II-13) теги j қосыу индекси деп аталады. Ал 8 *еркин* индекс деп аталады.

Векторлардың хәм 2-рангалы тензорлардың құраушыларын түрлендириу. Егер **a** векторы ески X_1, X_2, X_3 координаталарда a_1, a_2, a_3 құраушыларға, ал жаңа X'_1, X'_2, X'_3 ко-

ординаталарында (II-1)-теңдемелер менен анықланған a'_1, a'_2, a'_3 қураушыларына ийе болса, жаңа қураушы a'_1 ески векторлардың барлық қураушыларының X'_1 көшерине түсірілген проекциялары менен анықланады (16-сұйрет):

$$a'_1 = a_1 \cos X'_1 \hat{X}_1 + a_2 \cos X'_1 \hat{X}_2 + a_3 \cos X'_1 \hat{X}_3 = \alpha_{11} a_1 + \alpha_{12} a_2 + \alpha_{13} a_3. \quad (\text{II-14})$$

Бул аңлатпада $X'_1 \hat{X}_1$ арқалы X'_1 хәм X_1 көшерлери арасындағы мүйеш.



16-сұйрет. **a** векторының қураушыларын түрлендирий.

Тап усындай жоллар менен табамыз:

$$a'_2 = \alpha_{21} a_1 + \alpha_{22} a_2 + \alpha_{23} a_3,$$

$$a'_3 = \alpha_{31} a_1 + \alpha_{32} a_2 + \alpha_{33} a_3. \quad (\text{II-14a})$$

Қысқартылған белгилеулерди қолланыу менен төмендегидей аңлатпаны аламыз:

$$a'_i = \alpha_{ij} a_j. \quad (\text{II-15})$$

Усындай етип пикирлеу арқалы жаңа координаталардан ески координаталарға түрлендирий формулаларын аламыз:

$$a_i = \alpha_{ji} a'_j. \quad (\text{II-6})$$

Кери түрлендирийдің α_{ji} матрицасы тууры түрлендирий матрицалары α_{ji} дың транспонирленген матрицасы болып табылады. Соның менен бирге (II-15) пенен (II-16) дағы индекслердің жазылу тәртібине дыққат қойу керек: тууры түрлендирийде косуу индексleri қатар турады, ал кери түрлендирийде индекслер бир биринен айрылған.

(II-15)-аңлатпадан

$$a_j \cdot a_j = a_i \cdot a_i$$

екенлигин аңсат көрсетиуге болады. Демек вектордың узынлығын анықлаушы қураушыларының квадратларының қосындысы ортогонал түрлендирийлерге қарата инвариант екен.

Мейли, X_8 координаталар системасында еки **b** хәм **a** векторлары

$$b_k = T_{k1} a_1 \quad (\text{II-17})$$

аңлатпасы арқалы байланысқан болсын. Сонлықтан T_{k1} 2-рангалы тензор болып табылады.

Жаңа X_i' координаталар системасына өткенде (П-15) хәм (П-16) дан

$$b_k' = \alpha_{ik} b_k, a_l = \alpha_{j1} a_j' \quad (\text{П-18})$$

аңлатпаларын аламыз. (П-17) менен (П-18) ден

$$b_i' = \alpha_{ik} b_k = \alpha_{ik} T_{k1} a_l = \alpha_{ik} T_{k1} \alpha_{j1} a_j' = T_{ij}' a_j'. \quad (\text{П-19})$$

Бул аңлатпадағы

$$T_{ij}' = \alpha_{ik} \alpha_{j1} T_{k1}. \quad (\text{П-20})$$

(П-19)-теңлеме (П-17)-теңлеме сыяқлы **b** менен **a** векторларының жаңа кураўшыларын бир бири менен байланыстырады. Сонлықтан T_{ij}' тың тоғыз коэффициенті T_{k1} 2-рангалы тензорының жаңа координаталар системасындағы кураўшылары болып табылады. (П-20)-теңлеме 2-рангалы **тензордың түрлендириу нызамы** болып табылады. (П-16)-теңлеме тоғыз теңлемениң жазылыуының қысқаша түрі болып табылады. Усы тоғыз теңлемениң хәр қайсысы оң тәрәпинде тоғыз қосылыушыдан турады.

Ески кураўшыларды жаңа кураўшылар арқалы аңлататуғын кері түрлендириудің

$$T_{k1} = \alpha_{8k} \alpha_{j1} T_{ij}' \quad (\text{П-21})$$

түрінде болатуғынлығын аңсат көрсетіуге болады.

Тензорды түрлендиргенде усы тензор тәріплейтуғын физикалық шама өзгермейди. Физикалық шаманың мәніси сайлап алынған айқын координаталар системасынан ғәрезсиз. Түрлендириулерде усы физикалық шаманы бериудің усылы ғана өзгереді.

5-санлы лекция. Хәр қыйлы рангалардағы тензорлар.

Псевдотензорлар (аксиал тензорлар). Симметриялық хәм антисимметриялық тензорлар. Тензорларды геометриялық жақтан интерпретациялау

2-рангалы тензорлар менен қандай әмел қылған болсақ

$$T'_{n9p} = \alpha_{n8} \alpha_{9j} \alpha_{pk} T_{ijk}, \quad (\text{П-22})$$

$$T'_{n9p1} = \alpha_{n8} \alpha_{9j} \alpha_{pk} \alpha_{l1} T_{ijk1}, \quad (\text{П-23})$$

$$T'_{n9p14} = \alpha_{n8} \alpha_{9j} \alpha_{pk} \alpha_{l1} \alpha_{4m} T_{ijk1m}, \quad (\text{П-24})$$

.

аңлатпалары ушын түрлендириу теңлемелерін жазып бул аңлатпаларды анықлама түрінде пайдалана аламыз. (П-22)-теңлеме 3-рангалы, (П-23)-теңлеме 4-рангалы, (П-25)-

теңдеме 5-рангалы тензорларды анықлайды. Усындай жоллар менен 1-рангалы хәи **но-линии рангалы** тензорды да анықлай аламыз.

Демек N-рангалы тензор үш өлшемлі кеңіслікте 1 ден 3 ке шекемгі мәністи қабыл ете алатуғын N дана индекске ийе болады. Сонлықтан N-рангалы тензор 3N қураушыға ийе болады.

Тензорларды түрлендириу ызыамлары

Аты	Тензор ранги	Түрлендириу ызыамы	
		Жаңа қураушылар ескилери арқалы	Ески қураушылар жаңа қураушылар арқалы
Скаляр	0	$\varphi' = \varphi$	$\varphi = \varphi'$
Вектор	1	$a_s' = \alpha_{ij} p_j$	$a_s = \alpha_{ji} a_j'$
-	2	$T_{ij}' = \alpha_{ik} \alpha_{j1} T_{k1}$	$T_{ij} = \alpha_{k8} \alpha_{1j} T_{k1}'$
-	3	$T_{ijk}' = \alpha_{i1} \alpha_{jm} \alpha_{kn} T_{1mn}$	$T_{ijk} = \alpha_{1i} \alpha_{mj} \alpha_{nk} T_{1mn}'$
-	4	$T_{ijk1}' = \alpha_{im} \alpha_{jn} \alpha_{ko} \alpha_{1p} T_{mnop}$	$T_{ijk1} = \alpha_{mi} \alpha_{nj} \alpha_{ok} \alpha_{1p} T_{mnop}'$

2-рангалы тензор еки векторды байланыстыратуғын болғанлықтан, 3-рангалы тензор вектор менен 2-рангалы тензорды байланыстырады, яғный

$$a_s = T_{ijk} 1_{jk}. \quad (\text{II-25})$$

4-рангалы тензор (мысалы серпимлилик коэффициенті) еки 2-рангалы тензорды

$$4_{ij} = T_{ijk1} 1_{k1} \quad (\text{II-26})$$

ямаса вектор менен 3-рангалы тензорды байланыстырады:

$$a_s = T_{ijk1} 4_{jk1}. \quad (\text{II-27})$$

Улыуа алғанда егер N-рангалы тензор 1 хәм M рангалы тензорларды байланыстыратуғын болса $1 + M = N$.

Тензорларды тензорлардан тензорлар бойынша алынған тууынды сыпатында қарау мүмкин. Мысалы вектордан вектор бойынша алынған тууынды ямаса скалярдан векторлық аргумент бойынша алынған екинши тәртіпли тууынды 2-рангалы тензор болып табылады. Сонлықтан

$$T_{ij} = \frac{\partial a_i}{\partial b_j} \text{ ямаса } 4_{ij} = \frac{\partial a}{\partial b_i \partial b_j}. \quad (\text{II-28})$$

Бул шамаларды (II-20) формула жәрдеминде түрлендириўге болатуғынлығын аңсат көрсетиўге болады. Сонлықтан 2-рангалы тензордың кураўшылары болып табылады.

Улыўма алғанда К рангалы тензордан 1 хәм М рангалы тензорлар бойынша алынған дара туўынды

$$N = K + 1 + M$$

рангалы тензордың кураўшылары болып табылады.

Псевдотензорлар (аксиал тензорлар). Биз жоқарыда псевдоскаляр түсинигин киргизген едик. Тап сол сыяқлы псевдотензор түсинигин киргиземиз. Псевдотензор тензордан тек ғана оның кураўшыларын түрлендиргенде түрлендириў детерминанты $|\alpha_{ij}|$ ға көбейтилиўи менен паркланады. Демек N-рангалы тензор ушын оның анықламасы ретинде төмендеги түрдеги түрлендириў нызамы қолланылады:

$$P_{ijk1} = |\alpha_{ij}| \alpha_{ip} \alpha_{il} \alpha_{k4} \alpha_{ls} \dots P_{p14s\dots} \quad (\text{II-29})$$

Биринши әўлад түрлендириўлеринде псевдотензор әдеттегидей тензордай болады ($|\alpha_{ij}| = +1$). Ал екинши әўлад түрлендириўлеринде ($|\alpha_{ij}| = -1$) псевдотензордың кураўшылары әдеттеги тензордың кураўшыларына салыстырғанда белгилерин өзгертеди.

Псевдотензорлардың (гейпара жағдайларда псевдотензорларды **аксиал тензорлар** деп те атайды) паркын басқалардан анығырақ атап өтиў ушын әдеттеги тензорларды **поляр тензорлар** деп те атайды. Бирақ биз ҳәр қандай түсинбеўшиликлерди ямаса гүман пайда етпеў ушын әдеттеги тензорларды (яғный поляр тензорларды) тензорлар деп атай беремиз.

Мысаллар келтиремиз. **Нолинии рангалы** (псевдоскаляр) псевдотензор сыпатында биз жоқарыда салыстырмалы оптикалық бурылыўды көрсеттик. 1-рангалы псевдотензордың (**аксиал вектордың**) мысалына магнит майданының кернеўилиги магнитленгенлик, магнит индукциясы х.т.б. киреди. 2-рангалы псевдотензорға кристаллардың оптикалық қәсийетлерин тәриплеўши гирация тензоры киреди.

Егер **а** хәм **1** поляр хәм аксиал векторлары арасында байланыс болатуғын болса усы байланыс 2-рангалы псевдотензор жәрдеминде белгиленеди. Еки аксиал векторлар арасындағы байланыс 2-рангалы поляр тензор арқалы анықланады. Ал поляр вектор (аксиал вектор) хәм 2-рангалы псевдотензор арасындағы байланыс 3-рангалы псевдотензор менен анықланады. Улыўма алғанда поляр тензордың псевдотензорға көбеймеси псевдотензор, ал еки псевдотензордың көбеймеси поляр тензор болып табылады.

Жоқарыда кристаллардың барлық анизотроп физикалық қәсийетлери тензорлар менен тәрипенетуғынлығы (поляр ямаса аксиал тензорлар нәзерде тутылып атыр) айтылған еди. Ал квадрат түбир астындағы $\sqrt{T_{ij}}$ шамасының тензор емес екенлигин аңсат көрсетиўге бо-

лады. Себеби бул шама (II-20)-формулада көрсетилген нызам бойынша түрленбейди. Демек, мысалы, сындырыў көрсеткишлери $n_8 = \sqrt{\varepsilon_i}$ анизотроп қасиетти тәриплейтуғын болса да, кристалдың тензорлық қасиетин тәриплемейди.

Симметриялық хәм антисимметриялық тензорлар. Поляр тензорлар сыяқлы аксиал тензорлар да өзлериниң индекслерине қарата симметрияға ийе болыўы мүмкин. Егер тензор қураўшыларының еки ямаса екиден аслам индекслериниң орынларын алмастырғанда мәнислери өзгермесе усы индекслерге қарата тензор симметриялы деп аталады.

Демек 2-рангалы симметриялы тензорды былай жазамыз:

$$T_{ij} = T_{ji}. \quad (\text{II-30})$$

$$T_{ijk} = T_{ikj} \quad (\text{II-31})$$

болған жағдайда тензорды кейинги еки индекске қарата симметриялы деп атаймыз.

$$T_{ijk1} = T_{k1ij} \quad (\text{II-32})$$

болған жағдайда тензорды биринши хәм екинши жуп индекслердиң орынларын алмастырыўға қарата симметриялы деймиз.

Симметрияның болыўына байланыслы (II-30)-(II-32) лердеги бир биринен ғәрезсиз болған қураўшылардың санлары кемейеди. Мысалы 2-рангалы симметриялық тензордың 9 қураўшысының тек алтаўы бир биринен ғәрезсиз.

$$\begin{vmatrix} T_{11} & T_{12} & T_{13} \\ T_{21} & T_{22} & T_{23} \\ T_{31} & T_{32} & T_{33} \end{vmatrix} = \begin{vmatrix} T_{11} & T_{12} & T_{13} \\ T_{12} & T_{22} & T_{23} \\ T_{13} & T_{23} & T_{33} \end{vmatrix}.$$

3-рангалы еки индекске қарата симметриялы тензорда $3^3 = 27$ қураўшыдан бир бирине 18 қураўшы ғәрезсиз. Улыўма алғанда N-рангалы тензордың жуп индекслер бойынша симметриялылығы оның қураўшылары арасында 3^{N-1} қатнас пайда етеди хәм ғәрезсизлер санын (бир биринен ғәрезсиз қураўшылар санын)

$$3^N - 3^{N-1} = 2 \cdot 3^{N-1} \quad (\text{II-33})$$

ге шекем кемейтеди.

Соның менен бирге N-рангалы индекслер жупларына (жоқарыда жуп индекслер ҳаққында гәп болғанлығын умытпаў керек) қарата симметриялылығы олар арасындағы 593^{N-2} қатнасты пайда етеди хәм ғәрезсиз қураўшылар санын

$$3^N - 593^{N-2} = 493^{N-2} \quad (\text{II-34})$$

ге шекем кемейтеди.

Егер индекслерди жуп рет орынларын алмастығанда тензордың кураушылары өзгермей қалатуғын, ал индекслерди тақ рет орын алмастырғанда кураушылар белгисин өзгертетуғын болса тензор антисимметриялық (ямаса **қыя симметриялы**) деп аталады.

Егер

$$T_{ij} = -T_{ji} \quad (\text{II-35})$$

болса T_{ij} тензорын антисимметриялық тензор деп атаймыз. Ал

$$T_{ijk} = -T_{ikj} \quad (\text{II-36})$$

болған жағдайда T_{ijk} тензорын 2- хәм 3-индекслерге қарата антисимметриялы деп атаймыз.

(II-35)-(II-36) теңлемелерден антисимметриялық тензорлардың ғәрезсиз кураушылары өз ара тең болып ғана қоймай, айырым кураушылары нолге айланып кетеди. 2-рангалы тензор ушын

$$T_{ii} = -T_{ii}$$

болуы керек. Бул теңлик тек ғана $T_{ii} = -T_{ii} = 0$ болған жағдайда ғана орынланады хәм тензор төмендегидей түрге

$$\begin{vmatrix} 0 & -T_{12} & T_{13} \\ T_{12} & 0 & -T_{23} \\ -T_{13} & T_{23} & 0 \end{vmatrix}$$

хәм үш ғәрезсиз кураушысына ийе болады.

Тензор бир координаталар системасынан екіншисине өткенде өзиниң симметриялылығын ямаса антисимметриялылығын сақлайды, яғный тензордың симметриялылығы (индекслердиң орынларын алмастыруыға қарата симметриялылығы) ортогонал түрлендіруілерге қарата инвариант болады деген жуўмаққа келемиз. Тензордың бул қәсийети тензорлардың **ишки симметриясын** тәріплейди.

2-рангалы қәлеген тензорды симметриялы хәм антисимметриялы тензорлардың қосындысынан туратуғынлығын аңсат көрсетиўге болады. Хәқыйқатында да ықтыярлы түрде алынған 2-рангалы тензорды былай жаза аламыз:

$$b_{ij} = \beta_{ij} + \omega_{ij}. \quad (\text{II-37})$$

Бул жерде

$$\beta_{ij} = 1/2 (b_{ij} + b_{ji}), \quad \omega_{ij} = 1/2 (b_{ij} - b_{ji}). \quad (\text{II-38})$$

Усындай жоллар менен алынған β_{ij} тензорының симметриялық, ал ω_{ij} тензорының атнисимметриялық (себеби $\omega_{ij} = -\omega_{ji}$) екенлигин аңсат дәлиллейге болады. Бирақ айқын

физикалық қасиетті тәріптейтуғын тензордың симметриялық екенлигин дәлиллей ушын әдетте термодинамикалық жақтан қарап шығыу зәрүрлиги талап етиледі.

Тензорлардың ишки симметриясын тәріплей ушын әдетте төмендегидей символлар (нышанлар) қолланылады:

Егер N -рангалы поляр тензор 1 индекслер бойынша симметриялық болса, онда оның ишки симметриясы $[V^1]V^{N-1}$ ямаса $V^{N-1}[V^1]$ түрінде белгиленеді.

(П-35)-аңлатпа бойынша тәріпленетуғын тензордың ишки симметриясы $[V^2]$, ал (П-36)-аңлатпаға сәйкес келиуши тензордың ишки симметриясы $V[V^2]$ түрінде белгиленеді. Барлық жағдайда да V ның дәрежелериниң қосындысы тензордың рангасы N ге тең. Солай етип егер рангасы жуп N де тензор барлық индекслер бойынша да симметриялы болатуғын болса, оның ишки симметриясы $[V^2]^{N/2}$ түрінде белгиленеді. Егер усындай тензор барлық индекслер жупларына қарата симметриялы болса, оның симметриясы $[[V^2]^{N/2}]$ түрінде аңлатылады. Соның менен бирге жуп рангалы тензор тек ғана жуп индекслериниң орын алмастырыуына қарата симметриялы болса, оның ишки симметриясы $[[V^2]^{N/2}]$ түрінде жазылады. (П-37)-аңлатпа түрінде жазылатуғын тензордың ишки симметриясы $[[V^2]^2]$ деп белгиленеді.

Жоқарыда гәп етилгендей символлар антисимметриялық тензорларды тәріплей ушын да қолланылады. Бул жағдайда $[,]$ түріндеги қаўсырмалар фигуралық $\{, \}$ түріндеги қаўсырмалар менен алмастырылады.

Псевдотензорлардың ишки симметриясын тәріплей ушын жоқарыда гәп етилгендей символлар қолланылып, усы символлардың алдына қосымша ϵ белгиси қойылады (ϵ псевдоскалалярдың ишки симметриясын аңғартады).

Жоқарыда 2 -рангалы антисимметриялық поляр тензор тек үш ғәрезсиз қураўшыға ийе болатуғынлығы айтылған еди. Соның менен бирге екінши әўлад түрлендириулерде тензордың қураўшылары белгисин өзгертетуғынлығын аңсат аңғарыуға болады. Усы жағдайдың 2 -рангалы поляр тензордың аксиал векторға дуал екенлигин (яғный екеуин де бир геометриялық (физикалық) объектти тәріплей ушын қалланыуға болатуғынлығы) сәўлелендиретуғынлығын аңсат дәлиллейге болады. Соның менен бирге 2 -рангалы антисимметриялық тензор поляр векторға дуал.

6-санлы лекция. Тензорларды геометриялық жақтан интерпретациялау. Көрсеткиш бетлер. Скалярлардың, псевдоскалалярлардың хәм векторлардың симметриясы.

Физикалық қасиетлердің симметриясы.

Кристаллофизикалық координаталар системасы

2-рангалы симметриялы поляр тензор кристаллдардың физикалық қасиетлерін тәріптеуде ең көп қолланылатуғын тензор болып табылады. Сондықтан бұндай тензорларды толығырақ үйренеміз және оларды геометриялық жақтан интерпретациялау мәселесін көреміз.

Аналитикалық геометриядан орайы координата басында орналасқан екінші тәртіпті орайлық беттің улыма түрдегі теңлемесін былай жазуға болады:

$$T_{ij} x_i x_j = 1. \quad (\text{II-39})$$

Бұл жерде $T_{ij} = T_{ji}$. Бұл теңлемесін жаңа координаталар системасы үшін түрлендіреміз. Беттің берілген нокатының координаталарының радиус-вектордың қураушылары екенлігін есепке аламыз. Сондықтан түрлендіріу (II-15)-нызам бойынша әмелге асырылады:

$$x_i = \alpha_{ik} x_k, \quad x_j = \alpha_{1j} x_1'. \quad (\text{II-40})$$

(II-40) ты (II-39) ға қоямыз

$$T_{ij} \alpha_{ik} \alpha_{1j} x_k x_1' = 1 \text{ ямаса } T_{k1}' x_k x_1' = 1.$$

Бұл жерде

$$T_{k1}' = \alpha_{ik} \alpha_{1j} T_{ij}. \quad (\text{II-41})$$

(II-41) менен (II-20) ны салыстырып, олардың бірдей екенлігін көреміз.

Демек екінші тәртіпті бет теңлемесін түрлендіріу нызамы 2-рангалы симметриялы тензорды түрлендіріу нызамы менен сәйкес келеді. Сондықтан симметриялы 2-рангалы тензордың қалайынша түрленетуғынлығын табыу үшін орайы координата басында, коэффициенттері тензордың қураушыларына тең болған екінші тәртіпті орайлық беттің теңлемесінің түрленіуін қарап шығу жеткілікті. Сондықтан усындай бет **2-рангалы симметриялы тензор үшін характеристикалық бет** деп аталады және усындай тензор менен берілген кристаллдардың қалеген қасиетін тәріптеу үшін қолланылады.

Қалеген екінші тәртіпті орайлық бет үш өз ара перпендикуляр бағытқа - **бас көшерлеріне** ийе. Усы үш бағытта координата көшерлері бағыты сыпатында қабыл етсек бет теңлемесі (II-39) әпіуайыласқан түрге енеді:

$$T_1 x_1^2 + T_2 x_2^2 + T_3 x_3^2 = 1. \quad (\text{II-42})$$

Тап усы сыяқлы 2-рангалы симметриялық тензор да бас көшерлерге алып келиніуі мүмкін. Бундай жағдайда

$$T_{ij} = \begin{vmatrix} T_{11} & T_{12} & T_{13} \\ T_{21} & T_{22} & T_{23} \\ T_{31} & T_{32} & T_{33} \end{vmatrix}$$

тензоры

$$\begin{vmatrix} T_1 & 0 & 0 \\ 0 & T_2 & 0 \\ 0 & 0 & T_3 \end{vmatrix} \quad (\text{II-43})$$

түріне енеді. Бул жағдайда T_1, T_2, T_3 лер T_{ij} тензорының (ямаса усы тензор тәріплейтуғын қасиеттің) **құраушыларының бас мәніслери** деп аталады хәм (II-42) деги коэффициентлерге тең келеді. Тензордың бас көшерлерине параллел болған координаталар системасы **тензордың бас координата системасы** деп аталады. Демек бас көшерлер характеристикалық беттің симметрия элементлери (көшерлери) менен бетлеседі деп жуўмақ шығарамыз.

Бас көшерге келтирилген тензорда (гейпара жағдайларда **диагонал түрге** келтирилген тензорда деп айтады) ғәрезсиз құраушылар саны үшке шекем кемейеді. Бирақ белгиленип алынған координаталардың бас көшерлериниң бағытларын (тензордың бас көшерлерин) анықлаў ушын және де үш санның зәрүрлигине байланысly “еркинлик дәрежеси” алтығы тең болып қала береді.

Егер еки векторды байланыстыратуғын тензор

$$a_i = T_{ij} b_j$$

симметриялы болса ықтыярлы координаталар системасынан тензордың бас көшерлерине өткенде бул теңдеме әпиўайыласады хәм төмендегидей түрлерге ийе болады:

$$a_i = T_{ii} b_i = T_i b_i, \text{ яғный } a_1 = T_1 b_1, a_2 = T_2 b_2, a_3 = T_3 b_3. \quad (\text{II-44})$$

b векторы тензордың қәлеген бас көшери менен бағытлас болса (II-44) тен **a** векторының да оған параллел екенлиги көринип тур. Бирақ векторлар арасындағы пропорционаллық коэффициентлери үш көшер ушын хәр қыйлы мәніслерге ийе. Бул тензорлық байланыстың (ал скалярлық байланыстың емес) нәтийжеси болып табылады. Егер **b** векторы T_{ij} тензорының хеш бир бас көшери менен коллиниар болмаса, хәр қыйлы құраушылары арасындағы пропорционаллық коэффициентлериниң хәр қандай болыуына байланысly **a** хәм **b** векторлары өз ара параллел емес деп жуўмақ шығарамыз.

Скалярлардың, псевдоскалярлардың хәм векторлардың симметриясы. Скаляр менен псевдоскалярдың симметриясы топарлары сәйкес ∞/∞ хәм ∞/∞ симметрияның шеклик топарлары болып табылады. Себеби скаляр шама ∞/∞ толық ортогонал топары менен түрлендірілгенде өз өзи менен бетлеседи, ал псевдоскаляр қалеген бурыўларда (яғный биринши әўлад түрлендіріўлеринде) өз өзи менен бетлеседи, яғный ∞/∞ топары менен бетлеседи. Қалеген екінши әўлад түрлендіріўлеринде псевдоскаляр радиустарды бурыўда “белгисин” өзгертеди (энантиоморф формасына өтеди).

Енди **a** поляр векторының симметрия элементлерин табамыз. Координата көшерлерин усы көшерлердің биреўи (мысалы X_3) **a** векторына параллел етип аламыз (**a** = [0,0, a_3]). Бундай жағдайда

$$\begin{vmatrix} \alpha_{11} & -\alpha_{12} & 0 \\ \alpha_{12} & \alpha_{11} & 0 \\ 0 & 0 & 1 \end{vmatrix}$$

матрицасы менен берилетуғын X_3 көшериниң этирапындағы қалеген бурыўда $a_8' = a_3 = a_8$ екенлигин аламыз. Демек поляр вектор ∞ симметрия көшерине ийе болады деген сөз. Усы көшер бойында жатқан, мысалы, X_1X_3 симметрия тегислигиндеги шашыратыў да $a_8' = a_3 = a_8$ теңликлерине алып келеди. Бирақ көлденең болған X_1X_2 тегислигинде шашыратыў $a_8' = -a_3 = -a_8$ нәтижесине алып келеди. Демек көлденең X_1X_2 тегислиги **a** векторы ушын симметрия тегислиги емес деген сөз (соның менен бирге симметрия орайы да жоқ деген сөз). Ал бойлық X_1X_3 тегислиги усы вектор ушын симметрия тегислиги болып табылады хәм бундай тегисликлердің саны шексиз көп.

Демек поляр вектордың симметриясы ∞ деген жуўмақ шығарамыз. Поляр вектордың геометриялық образы ретинде стрелканы қабыл етемиз.

Аксиал вектордың симметриясын табамыз. Бизге бул вектордың симметрия орайына ийе екенлиги белгили. Соның менен бирге биринши әўлад түрлендіріўлеринде аксиал вектор поляр вектор қасиетине ийе. Биринши әўлад симметрия элементи болған ∞ көшері аксиал вектор болып табылады хәм ол поляр вектор сыяқлы ∞ көшерине ийе. Айналық шашыратыў екінши әўлад түрлендіріўи болып табылады. Бул жағдай шашыратыўды аксиал вектордың қураўшыларының поляр вектордың қураўшыларындай болып белгилерин өзгертетуғынлығын билдиреди. Демек поляр вектор ушын жүргизилген таллаўдан аксиал вектордағы бойлық симметрия тегислигиниң жоқ, соның менен бирге көлденең симметрия тегислигиниң бар екенлиги келип шығады.

Демек аксиал вектордың симметриясының ∞/m екенлігіне ийе боламыз. Аксиал вектордың симметриясын тәріптеуіші геометриялық образ ретінде стрелка менен қаршап

алынған кесинди  қолланылады.

Поляр векторындағыдай аксиал векторда екі ушын бір биринен ажырата аламыз (түслик хәм арқа полюслар). Бирақ поляр векторда ушлар өз ара тең емес (айналық тең емес). Ал аксиал векторда болса ушлары өз ара айналық теңлик орынланатуғын болса да, өз ара тең емес. Усындай айырма электр хәм магнит векторлары арасындағы айырмаға сәйкес келеди.

Енди 2-рангалы симметриялық тензордың симметриясын қарауға өтеміз. Оның симметриясын аналитикалық жақтан ізлеудің орнына оның характеристикалық бетинің симметриясын қараймыз. Себеби биз жоқарыда характеристикалық беттің 2-рангалы симметриялық тензордың геометриялық образы екенлігін, хәм олардың бірдей симметрияға ийе екенлігін айтып өткен едик.

Диагоналық түрге келтирилген 2-рангалы симметриялық T_{ij} тензорының характеристикалық бети (II-42) теңleme түрінде бериледи. Анықлық ушын (II-45) теги беттің барлық бас коэффициентлери $T_i > 0$ (T_{ij} тензорының бас қураушылары) деп есаплаймыз хәм T_{ij} тензорының орайға қарата симметриялылығын есапқа алып T_i лердің хәр қыйлы қатнастарындағы (II-45) бетинің симметриясының қандай болатуғынлығын қараймыз.

$T_1 = T_2 = T_3$ болған жағдайда характеристикалық бет сфераға айланады хәм бул жағдайда тензордың симметриясы $\infty/\infty mm$, яғный T_{ij} тензоры бул жағдайда скалярға айланады.

$T_1 = T_2 \neq T_3$ болған жағдайда (II-45) бети X_3 көшеринің бағытында ∞ көшерине ийе айланыу эллипсоидына айланады хәм оның симметриясы ∞/mmm .

$T_1 \neq T_2 \neq T_3$ болған жағдайда (II-45) бети симметриясы mmm болған үш өлшемлі эллипсоидқа айланады. Тап усындай симметрияға T_{ij} тензоры да ийе болады. Усының менен бирге 2-тәртіпті симметрия көшерлери хәм симметрия тегисликлерине түсірілген нормаллар характеристикалық беттің хәм T_{ij} тензорының бас көшерлери менен бағытлас болады.

Солай етип 2-рангалы симметриялық тензор өзинің бас қураушылары арасындағы қатнастарға байланыслы mmm , ∞/mmm ямаса $\infty/\infty mm$ меншикли симметриясына ийе болады екен.

Антиисимметриялық поляр тензор аксиал вектор сыяқлы ∞/m симметриясына ийе болады.

Енди симметриялы емес 2-рангалы тензордың симметриясын табамыз. Бундай тензорды барлық уақытта да симметриялы хәм антисимметриялы еки тензордың қосындысы сыпатында қарауға болатуғынлығын есапқа аламыз. Соның менен бирге усындай еки тензорда бас көшерлердің бағыттары хәр қыйлы болыуы, ал тензордың симметриялы бөлегінде бас кураушылары арасында хәр қыйлы қатнастардың орын алыуы мүмкін. Сонлықтан 2-рангалы симметриялық емес поляр тензордың симметриясы Кюри принципіне сәйкес симметриялы хәм симметриялы емес бөлімлерінің улыұмалық симметрия элементтерінің бар ямаса жоқлығына қарай анықланады. Егер симметриялы бөлімінің симметрия топары ∞ болса хәм усы бағыт симметриялы емес бөлімінің ∞ көшерінің бағытына сәйкес келсе 2-рангалы симметриялы емес поляр тензордың симметриясы ∞/m . Ал усы айтылған көшерлер өз ара перпендикуляр болса $2/m$ ге ийе боламыз. Бундай жағдай симметриялы бөлімі mmm симметриясына ийе хәм симметрия көшерлері менен тегисликлері өз ара бағытлас болғанда да орын алады. Ең ақырында тензордың еки бөлімінің өз ара жайласуы ықтырлы болғанды тек симметрия орайы $\bar{1}$ сақланып қалады.

Скалярлардың, псевдоскалярлардың, векторлардың хәм 2-рангалы
тензорлардың меншикли симметриясы

Тензорлық шама	Симметрия топары
Скаляр (нолинши рангалы поляр тензор)	$\infty/\infty mm$
Псевдоскаляр (нолинши рангалы псевдоскаляр)	∞/∞
Поляр вектор (1-рангалы поляр тензор)	∞mm
Аксиал вектор (1-рангалы псевдотензор)	∞/m
2-рангалы псевдотензор	
симметриялық	$\infty/\infty mm, \infty/mm, mmm$
симметриялық емес	$\infty/m, 2/m, \bar{1}$
антисимметриялық	∞/m
2-рангалы аксиал тензор	
симметриялық	$\infty/\infty, \infty 22, 222, \bar{4} 2m$
симметриялық емес	$\infty, 2, 1, mm2, m$
антисимметриялық	∞mm

Скалярлардың, псевдоскалярлардың, векторлардың хәм 2-рангалы тензорлардың меншикли симметриясы кестеде берілген.

Физикалық қасиетлердің симметриясы. Усы ўақытқа шекем тензорлардың улыўмалық қасиетлерин хәм меншикли симметриясын қарағанымызда олардың айқын физикалық мазмунына итибар берілген жоқ. Бирақ енди тензорлардың объектлерге қатнасын айқынласытырыўымыз керек. Ҳақыйқатында да берілген физикалық объектке қатнасына байланыслы тензорларды екиге бөлемиз: кристалдың физикалық қасиетин (яғный өлшенген физикалық шамалар арасындағы қатнастарды белгилеўши) тәриплеўши тензорларды *материаллық тензорлар*, ал сыртқы күшлердің тәсирин хәм усы тәсирлерге кристаллардың реакциясын тәриплейтуғын тензорларды *майданлық тензорлар* деп атаймыз.

Нейман принципине сәйкес материаллық тензорлардың симметриясы менен кристалдың симметриясы арасында байланыс болыўы керек. Усы тензорлардың, хараекристикалық бетлердің симметрия элементлери кристалдың симметрия элементлери менен бетлеси.

Майданлық тензорларда басқа жағдайды көремиз. Бул тензорлардың симметриясы кристалдың симметриясы менен байланыслы емес хәм кристалдың симметрия элементлеринің бағытларына салыстырғанда қәлеген ориентацияны ийелеўи мүмкин. Мысалы қәлеген бағыттағы кристалға қәлеген бағытта электр майданын (поляризация вектор) ямаса механикалық тәсир (қысыў, созыў, 2-рангалы симметриялы тензор) түсириў мүмкин. Усындай жоллар менен қәлеген симметрияға ийе кристалларда қәлеген бағыттағы поляризацияны ямаса деформацияның қәлеген кураўшысын бериўге болады. Бирақ усының менен бирге ықтыярлы түрде механикалық кернеў түсириў менен симметриясына ғәрезли болған деформация түриндеги кристалдың реакциясын аламыз. Өз гезегинде симметрияның өзинің кристалдың серпимилик қасиетлерине байланыслы екенлигин умытпаўымыз керек.

Бир тензордың өзи айырым жағдайларда материаллық хәм майданлық болыўы мүмкин. Мысалы поляризация векторы \mathbf{P} әдетте майданлық тензор болып табылады. Бирақ пирозлектриклерде (соның менен бирге сегнетоэлектриклерде де) \mathbf{P}_s спонтан поляризацияны, соған сәйкес қасиетти тәриплейди хәм ол кристалдың симметриясына байланыслы болыўы шәрт. Әдетте майданлық тензор болып табылатуғын деформация тензоры сегнетоэластиклерде (ферроэластиклерде) материаллық тензор болып табылады. Сонлықтан ферроэластиклердеги деформациялар қаралғанда деформация тензоры материаллық тензор сыпатында қаралады.

Майданлық тензорлар қаралғанда изотроп хәм анизотроп орталықлар арасындағы айырма болмайды. Изотроплық хәм анизотроплық тек ғана физикалық қасиетлерди тәріплегіші материаллық тензорларды қарағанда нәзерде татылады.

Кристаллардың физикалық қасиетлерин тәріплегіші тензорлар кестеде келтирилген.

Кристаллардың физикалық қасиетлерин тәріплегіші тензорлар

Нолинши рангалы тензор	Биринши рангалы тензор (вектор)
Тығызлық	Пироэлектрлік қасиет
Қысылғышлық	Поляризация жыллылығы
Жыллылық сыйымлылығы	Электрокалориялық коэффициент
	Гидростатикалық қысыудағы электр поляризациясы

Еки векторды байланыстыратуғын екінши рангалы тензор	
Диэлектрлік сиңиргишлік	Салыстырмалы электр өткізгіншілік
Диэлектрлік сиңирмегишлік	Салыстырмалы қарсылық
Диэлектрлік қабылдағышлық	Жыллылық өткізгіншілік коэффициенті
Магнитлік сиңиргишлік	Жыллылық қарсылығы
Магнитлік қабылдағышлық	Термоэлектрлік коэффициентлер

Скаляр менен 2-рангалы тензорды байланыстыратуғын 2-рангалы тензор	
Гидростатикалық басымдағы деформация	Жыллылық кернеуі
Жыллылық кеңейіуі	Пельтьең термоэлектрлік коэффициентлери

Вектор менен 2-рангалы тензорды байланыстыратуғын 3-рангалы тензор	
Тууры пьезоэлектрлік эффект модули	Сызықты электроптикалық эффект коэффициенті
Кери пьезоэлектрлік эффект модули	Хол коэффициенті

2-рангалы еки тензорды байланыстыратуғын 4-рангалы тензор	
Магнитострикция коэффициенті	Квадратлық электроптикалық эффект
Пьезооптикалық коэффициент	Электрострикция

Пьезорезисторлық коэффициент	Коттон-Мутон эффекти
Серпимлилік коэффициенті	

Кристаллардың физикалық қасиетлерінің симметриясы

Қасиетті тәріптейтуғын тензорлық шама	Қасиеттің симметрия топары
Скаляр (нолинши рангалы поляр тензор)	$\infty/\infty mm$
Псевдоскаляр (нолинши рангалы псевдотензор)	∞/∞
Поляр вектор (1-рангалы поляр тензор)	$1, m, \infty mm$
Аксиал вектор (1-рангалы псевдотензор)	$\bar{1}, \infty m$
2-рангалы поляр вектор	
симметриялық	$\bar{1}, 2/m, mmm, \infty/mmm, \infty/\infty mm$
симметриялы емес	$\bar{1}, 2/m \infty/m$
антисимметриялы	$\bar{1}, \infty/m$
2-рангалы псевдотензор	
симметриялық	$1, 2, 222, \infty 22, \infty/\infty, m, \bar{4}, \bar{4} 2m$
симметриялы емес	$1, 2, \infty, m, mm2$
антисимметриялы	$1, m, \infty mm$
3-рангалы еки индекси бойынша симметриялы тензор	
поляр	$1, 2, 222, 3, 32, \infty, \infty 22, m, mm2, 3m, \infty mm, \bar{4}, \bar{4} 2m, \bar{6}, \bar{6} m2, \bar{4} 3m$
аксиал	$\bar{1}, 2/m, mmm, \infty/m, \infty/mmm, \bar{3}, \bar{3} m, m3m$
4-рангалы поляр тензор	
еки жуп индекслери бойынша олардың орынларын алмастырғанда	$\bar{1}, 2/m, mmm, 4/m, 4mmm, \bar{3}, \bar{3} m, \infty/mmm, m3m$
еки жуп индекслери бойынша симметриялы	$\bar{1}, 2/m, mmm, 4/m, 4mmm, \bar{3}, \bar{3} m, \infty/m, \infty/mmm, m3, m3m$

Кристаллофизикалық координаталар системасы. Кристаллдардың физикалық қасиеттерін тәріптеу үшін оң туұры мүйешлім координаталар системасынан пайдаланады. Усындай координаталар системасын кристаллофизикалық координаталар системасы деп атаймыз. Бундай координаталарды әдетте X_1 , X_2 , X_3 деп белгілейді. Кублық, тетрагонал және ромбалық сингониялар үшін кристаллофизикалық координаталар системасы кристаллографиялық координаталар системасы менен бірдей болады. Ал басқа сингониядағы кристаллдар үшін кристаллофизикалық координаталар системасын сайлап алыу төмендегі кестеде келтірілген тәртіптерде әмелге асырылады:

Сингония	X_1 көшери	X_2 көшери	X_3 көшери
Триклиник	[001] бағытына перпендикуляр тегіслікте		[001]
Моноклин	(100) тегіс- лигинде	[010]	[001]
Ромбалық	[100]	[010]	[001]
Тетрагонал	[100]	[010]	[001]
Гексагонал және тригонал	$[2\bar{1}\bar{1}0]$	$[01\bar{1}0]$	[0001]
Кублық	[100]	[010]	[001]

Енді кристаллофизикалық координаталар системасында симметриялық түрлендіріулерді матрицалар жәрдеминде көрсетіуді қарап өтеміз.

Түрлендіріудің нәтижесінде координаталары x, y, z болған нокат координаталары x', y', z' болған нокатқа айналады. Усы екі координаталар арасындағы байланыс былай жазылады:

$$x' = c_{11}x + c_{12}y + c_{13}z,$$

$$y' = c_{21}x + c_{22}y + c_{23}z,$$

$$z' = c_{31}x + c_{32}y + c_{33}z.$$

Бұл теңдемелердегі c_{ij} ески және жаңа координаталар көшерлері арасындағы мүйешлердің косинустары.

Қалеген симметриялық түрлендіріуге түрлендіріу анықлаушысы C_{ij} ты жазыуға болады.

$M(x, y, z)$ нокатының координатасының OX көшеріне перпендикуляр (100) симметрия тегісliği тәсир еткенде қалай өзгеретуғынлығын анықлаймыз. Шашырағаннан кейін

$M(x,y,z)$ нокаты $M'(x',y',z')$ нокатына көшеди. Хәзирги жағдайда тек X көшери бойынша координата белгисин өзгертеди, ал y пенен z өзгермей қалады, яғный

$$x' = -x, y' = y, z' = z.$$

Ендигиден былай қолайлылық ушын x тың алдында - (минус) белгисиниң бар екенлигин \bar{x} түрінде белгилеймиз. Сонлықтан жоқарыдағы теңликлердиң орнына былай жаза аламыз:

$$x' = \bar{x}, y' = y, z' = z.$$

(100) симметрия тегислигиндеги шашырауға сәйкес келиўши бағытлаушы косинуслар матрицасын былай жазамыз:

$$\Delta_{m(100)} = \begin{pmatrix} \bar{1} & 0 & 0 \\ 0 & 1 & 0 \\ 0 & 0 & 1 \end{pmatrix}, C_{ij} = -1.$$

Жоқарыда айтылғанындай C_{ij} түрлендириў анықлаушысы.

Тап усы сыяқлы (010) симметрия тегислиги ушын, яғный $m \perp O_6$ болған жағдайда жаңа координаталар былай жазылады:

$$x' = x, y' = \bar{y}, z' = z,$$

ал түрлендириў матрицасы

$$\Delta_{m(010)} = \begin{pmatrix} 1 & 0 & 0 \\ 0 & \bar{1} & 0 \\ 0 & 0 & 1 \end{pmatrix}, C_{ij} = -1.$$

(001) болған симметрия тегислиги ушын сәйкес

$$\Delta_{m(001)} = \begin{pmatrix} 1 & 0 & 0 \\ 0 & 1 & 0 \\ 0 & 0 & \bar{1} \end{pmatrix}, C_{ij} = -1.$$

O_6 көшерине бағытлас болған көшер дөгерегинде φ мүйешине бұрғанда

$$\Delta_2|_6 = \begin{pmatrix} \cos \varphi & 0 & \sin \varphi \\ 0 & 1 & 0 \\ -\sin \varphi & 0 & \cos \varphi \end{pmatrix} = \begin{pmatrix} -1 & 0 & 0 \\ 0 & -1 & 0 \\ 0 & 0 & -1 \end{pmatrix}.$$

Басқа көшерлер дөгерегинде бұрыулардың нәтижелерин арнаулы кестеде бериледи.

Графикалық жоллар менен жүргизилген симметрия элементлери қосыў матрицалық усыл менен де әмелге асырылыўы мүмкин. Симметрия элементлерин қосыў сәйкес матри-

цаларды өз ара көбейтiу менен әмелге асырылады. Ал еки матрицаны көбейтiу былайынша әмелге асырылады:

$$\begin{pmatrix} a_{11} & a_{12} & a_{13} \\ a_{21} & a_{22} & a_{23} \\ a_{31} & a_{32} & a_{33} \end{pmatrix} \begin{pmatrix} b_{11} & b_{12} & b_{13} \\ b_{21} & b_{22} & b_{23} \\ b_{31} & b_{32} & b_{33} \end{pmatrix} = \begin{pmatrix} d_{11} & d_{12} & d_{13} \\ d_{21} & d_{22} & d_{23} \\ d_{31} & d_{32} & d_{33} \end{pmatrix},$$

бул жерде $d_{ki} = \sum_{i=1}^3 a_{ik} b_{ki}$.

Енди жуп тәртіпті симметрия көшеріне оған перпендикуляр симметрия тегислігін қосқанда симметрия орайының пайда болатуғынлығы хакқындағы теореманы дәлиллейміз. Об көшери менен бағытлас 2-тәртіпті симметрия көшери

$$2_{[010]} = \begin{pmatrix} \bar{1} & 0 & 0 \\ 0 & 1 & 0 \\ 0 & 0 & \bar{1} \end{pmatrix}$$

менен усы көшерге нормал бағытланған симметрия тегислігі $m_{(010)}$

$$m_{[010]} = \begin{pmatrix} 1 & 0 & 0 \\ 0 & \bar{1} & 0 \\ 0 & 0 & 1 \end{pmatrix}$$

бир бирине көбейтсек симметрия орайының матрицасын аламыз:

$$\bar{1} = \begin{pmatrix} \bar{1} & 0 & 0 \\ 0 & \bar{1} & 0 \\ 0 & 0 & \bar{1} \end{pmatrix}$$

Тап усы сыяқлы $2/m$ ди де есаплауымыз мүмкін:

$$2/m = \begin{pmatrix} \bar{1} & 0 & 0 \\ 0 & 1 & 0 \\ 0 & 0 & \bar{1} \end{pmatrix} \begin{pmatrix} 1 & 0 & 0 \\ 0 & \bar{1} & 0 \\ 0 & 0 & 1 \end{pmatrix} = \begin{pmatrix} \bar{1} & 0 & 0 \\ 0 & \bar{1} & 0 \\ 0 & 0 & \bar{1} \end{pmatrix} = \bar{1}.$$

Симметриялық түрлендіріулер кестеси

Симметрия элементи	X_1	X_2	X_3
--------------------	-------	-------	-------

Көшерге параллел 2 көшери	$\begin{matrix} 1 & 0 & 0 \\ 0 & -1 & 0 \\ 0 & 0 & -1 \end{matrix}$	$\begin{matrix} -1 & 0 & 0 \\ 0 & 1 & 0 \\ 0 & 0 & -1 \end{matrix}$	$\begin{matrix} -1 & 0 & 0 \\ 0 & -1 & 0 \\ 0 & 0 & 1 \end{matrix}$
Көшерге параллел 3 көшери	$\begin{matrix} 1 & 0 & 0 \\ 0 & -1/2 & -\sqrt{3}/2 \\ 0 & \sqrt{3}/2 & -1/2 \end{matrix}$	$\begin{matrix} -1/2 & 0 & \sqrt{3}/2 \\ 0 & 1 & 0 \\ \sqrt{3}/2 & 0 & -1/2 \end{matrix}$	$\begin{matrix} 1/2 & -\sqrt{3}/2 & 0 \\ \sqrt{3}/2 & -1/2 & 0 \\ 0 & 0 & 1 \end{matrix}$
Көшерге параллел 4 көшери	$\begin{matrix} 1 & 0 & 0 \\ 0 & 0 & -1 \\ 0 & 1 & 0 \end{matrix}$	$\begin{matrix} 0 & 0 & 1 \\ 0 & 1 & 0 \\ -1 & 0 & 0 \end{matrix}$	$\begin{matrix} 0 & -1 & 0 \\ 1 & 0 & 1 \\ 0 & 0 & 0 \end{matrix}$
Көшерге параллел 6 көшери	$\begin{matrix} 0 & 0 & 1 \\ 0 & 1/2 & -3/2 \\ 0 & 3/2 & -1/2 \end{matrix}$	$\begin{matrix} 1/2 & 0 & 3/2 \\ 0 & 1 & 0 \\ -3/2 & 0 & 1/2 \end{matrix}$	$\begin{matrix} 1/2 & -3/2 & 1 \\ 3/2 & 1/2 & 0 \\ 0 & 0 & 1 \end{matrix}$
Көшери бойындағы m	$\begin{matrix} -1 & 0 & 0 \\ 0 & 1 & 0 \\ 0 & 0 & 1 \end{matrix}$	$\begin{matrix} 1 & 0 & 0 \\ 0 & -1 & 0 \\ 0 & 0 & 1 \end{matrix}$	$\begin{matrix} 1 & 0 & 0 \\ 0 & 1 & 0 \\ 0 & 0 & -1 \end{matrix}$
Көшерге параллел инверсиялық көшер $\bar{1}$ (инверсия орайы)	$\begin{matrix} -1 & 0 & 0 \\ 0 & -1 & 0 \\ 0 & 0 & -1 \end{matrix}$	$\begin{matrix} -1 & 0 & 0 \\ 0 & -1 & 0 \\ 0 & 0 & -1 \end{matrix}$	$\begin{matrix} -1 & 0 & 0 \\ 0 & -1 & 0 \\ 0 & 0 & -1 \end{matrix}$

7-санлы лекция. Кристаллардың механикалық қасиеттері.

Кристаллардың серпимлилик қасиеттері. Кристаллар үшін Гук нызамы

Қатты денелердің механикалық қасиеттері олардың сырттан түсірілген механикалық жүкке болған реакциясынан анықланады. Бул қасиеттерді тәриплеу үшін үш тийкарғы характеристикалырды қолланады:

Бириншиси *серпимлилик*. Бул характеристика сырттан түсірілген механикалық тәсир алып кетилгеннен кейин қатты денелердің дәслепки формаларына қайтып келиуін сыпатлайды. Бундай қасиет деформацияның дәслепки басқышларында орын алады. Деформацияның бундай дәслепки басқышларын серпимли (қайтымлы) басқыш деп атаймыз.

Екиншиси *эластиклик*. Эластиклик сырттан узақ уақыт дауамында түсірілген механикалық тәсир астанда қатты денелердің формаларының қандай дәрежеде тезлик пенен өзгеретуғынлығын ямаса фарманың өзгерисиниң белгили бир тезликте жүриуі үшін

тәсир етиуіші күштің шамасының қандай болатуғынлығын тәріптейді. Эластиклик деформацияның кейинги басқышларындағы денелердің қасиетлерін тәріптейді. Деформацияның бундай басқышларын *эластик деформация* ямаса *қайтымсыз деформация* басқышлары деп атаймыз.

Үшінши механикалық характеристика сыпатында *беккемликте*, яғный қыйрауға қарсылықты көрсетеміз. Қыйрау деформацияның ең кейинги стадиясында жүзеге келеді.

Усы келтирилген үш характеристика хәр кристал ушын хәр қыйлы болады. Мысалы Юнг модули менен өлшенетуғын серпимлилик хәр қыйлы кристалларда 10^{10} нан 10^{12} дин/см² қа шекем өзгереді. Эластиклик пенен беккемлик те 10^5 тен 10^{12} дин/см² қа шекемги мәнислерди қабыл етеді.

Кристаллар жағдайында серпимли қасиетлер кристалларды кураушы бөлекшелерден (атомлар, ионлар, молекулалар), эластиклик қасиетлер усындай бөлекшелерден туатуғын дизбеклерден (дислокациялардан), ал беккемлик болса сол бөлекшелерден туатуғын бетлерден ғәрезли.

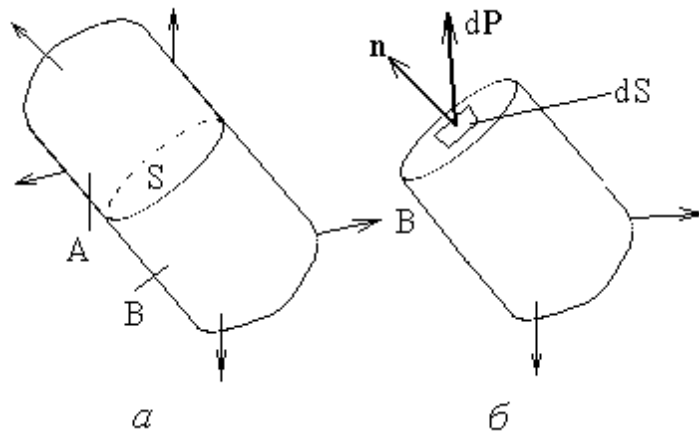
Кристаллардың серпимлилик қасиетлери. Кернеу. Кристаллардың механикалық қасиетлери оларды кураушы көп бөлекшелер (атомлар, ионлар хәм молекулалар) арасындағы өз ара тәсир етисиу менен анықланады. Қәлеген типтеги кристалларда бөлекшелер арасындағы өз ара тәсирлесиу күшлери қашықлыққа байланысly, соның ишинде ийтерисиу күшлери тартысыу күшлерине қарағанда тез кемейеді. Бөлекшелер арасындағы тең салмақлыққа сәйкес келиуші қашықлық ийтерисиу хәм тартысыу күшлериниң теңлигине сәйкес келеді. Егер кристал механикалық тәсирге ушыраса усы күшлер арасындағы баланс бузылады, бөлекшелер жылысады, пәнжере параметри өзгереді. Усындай жағдайда пайда болатуғын күшлер денени дәслепки тең салмақлық халға қайтып алып келиуге умтылады. Пәнжерениң параметриниң макроскопиялық өзгериси серпимли деформация түринде, ал бөлекшелер арасындағы өз ара тәсирлесиудиң өзгериси кернеу түринде көринеді.

Сырттан тәсир болмағанда бөлекшелер арасындағы тәсирлесиулер өз ара тең болатуғын қатты денени қарайық (17-сүүретте көрсетилген). Сырттан жүк түсирилгенде ишки күшлер арасындағы тәсирлесиу күшлериниң қосындысы нолге тең болмай қалады (сүүретте стрелкалар жәрдемінде көрсетилген). Денени ойымызда сыртқы күшлер S бетине түсетуғын A хәм B бөлиминерине бөлеміз. A бөлиминиң B бөлиминеге тәсири хәкқында айтқанымызда S бетине түсетуғын күшти нәзерде тутамыз. Бул күшлер ишки күшлер болып табылады. Усы ишки күшлер бет бойынша тең өлшеули тарқалған деп есаплайық. Егер dS элементар майданына dP күши тәсир ететуғын болса (17-б сүүрет) $P_n = dP/dS$ век-

торы dS майданындағы **кернеу векторы** деп аталады. Бул аңлатпадағы n индекси сыртқы нормалдың \mathbf{n} векторы бағытында екенлигин билдиреди.

Егер бетке түсетуғын күшлердің шамасы усы беттің бағытынан хәм усы беттің денениң қай жеринде алынғанынан ғәрезсиз болса кернеуді **бир текли** кернеу деп атаймыз.

Егер бир текли кернеу бар денениң ишинде X_1 , X_2 хәм X_3 көшерлерине перпендикуляр қаптал бетлерине ийе бирлик куб бөлип алсақ (18-а сүүрет), усы кубтың ишки бөлиmine оның қаптал бетлери арқалы кубты қоршап тұрған орталық тәрепинен кернеу түсириледи. Хәр бир қаптал бетке тәсир етиўши кернеуді үш қураўшыға жиклеймиз.

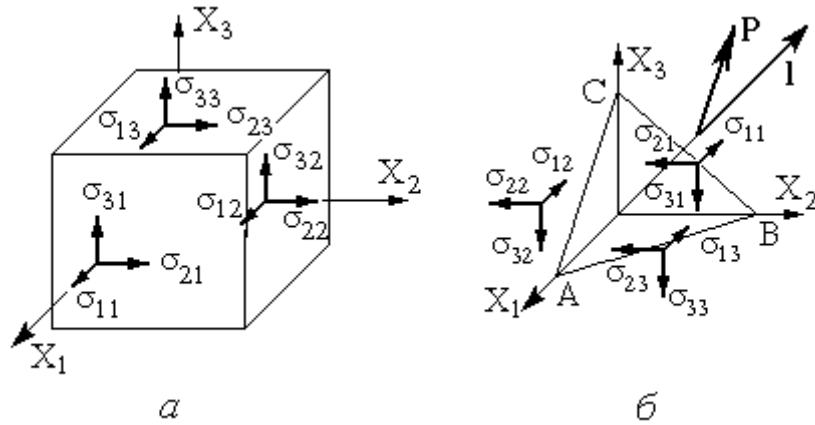


17-сүүрет. Қатты денедеги теңлескен (а) хәм теңлеспеген (б) өз ара тәсир етиў күшлери

X_j көшерине перпендикуляр X_i көшери бағытында түсиўши кернеудің қураўшыларын σ_{ij} арқалы белгилеймиз. σ_{ij} кернеўиниң қураўшылары

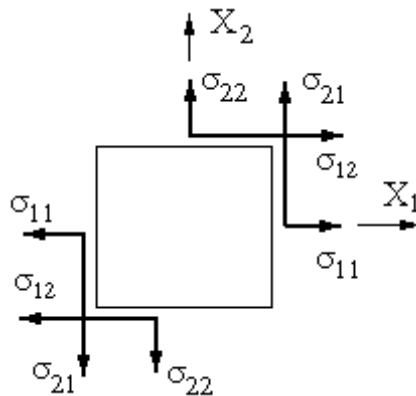
$$\begin{array}{ccc} \sigma_{11} & \sigma_{21} & \sigma_{31} \\ \sigma_{12} & \sigma_{22} & \sigma_{32} \\ \sigma_{13} & \sigma_{23} & \sigma_{33} \end{array} \quad (\text{П8-1})$$

екинши рангалы поляр тензорды пайда етеди.



18-сүрөт. Бир текли кернеүгө ийе денедеги кубтың (а) хэм үш координата тегисликтери менен пайда етилген хэне ABC қапталына ийе тетраэдрдің қаптал бетлерине тәсир етиўши күшлер.

Усы жағдайда дәлиллеў ушын сыртқы материал менен тең салмақтықта турған тетраэдр формасындағы көлем элементин қараймыз (18-б сүрөт). Мейли **1** векторына перпендикуляр болған тетраэдрдің ABC бети $P(P_1, P_2, P_3)$ кернеўлериниң тәсирниде болсын. ABC арқалы берилетуғын күштиң шамасы **P** векторын усы ABC майданына көбейткенге тең. ABC бетине тәсир ететуғын күштиң X_1 көшери бағытындағы қураўшысын былайынша жазамыз:



19-сүрөт. Бир текли кернеўгө ийе денедеги X_1 хэм X_2 көшерлерине перпендикуляр бирлик кубтың қапталларына тәсир етиўши күшлер (X_3 көшери сүрөт тегислигине перпендикуляр) .

$$P_1 S_{ABC} = \sigma_{11} S_{BOC} + \sigma_{12} S_{AOC} + \sigma_{13} S_{AOB},$$

бул аңлатпадағы S_{ABC} , S_{BOC} , S_{AOC} хэм S_{AOB} лар тетраэдр қатпалларының бетлери. Теңликтің еки тәрәпин де ABC үш мүйешлигиниң майданына бөлсек

$$P_1 = \sigma_{11} l_1 + \sigma_{12} l_2 + \sigma_{13} l_3$$

аңлатпасын аламыз. Тап усындай жоллар менен

$$P_2 = \sigma_{21} l_1 + \sigma_{22} l_2 + \sigma_{23} l_3, P_3 = \sigma_{31} l_1 + \sigma_{32} l_2 + \sigma_{33} l_3$$

теңдіктерін аламыз. Бул аңлатпалардағы l_1, l_2 және l_3 лер **1** векторының үш координата көшөрлері бағытындағы қураушылары. Ең ақырында былай жазамыз:

$$P_i = \sigma_{ij} l_j. \quad (\text{П8-2})$$

Жоқарыда көрсетилгеніндей, поляр векторлардың қураушыларын байланыстыратуғын коэффициентлер 2-рангалы поляр тензорды пайда етеді. Демек кернеудің σ_{ij} қураушылары 2-рангалы поляр тензорды пайда етеді.

$\sigma_{11}, \sigma_{22}, \sigma_{33}$ қураушылары нормал кернеулер деп аталады, себеби бул кернеулер сәйкес майданларға перпендикуляр бағытта тәсір етеді. Қалған қураушылар майданлар бойынша тәсір еткенліктен урынба кернеулер деп аталады. 19-сұйретте көрсетилгеніндей урынба кернеулер барлық уақытта бир бирине қарама-қарсы бағытланған қос күшлерди пайда етеді. Тең салмақтың услап турылыуы ушын бул қос көшлер ушын

$$\sigma_{ij} = \sigma_{ji} \quad (\text{П8-3})$$

шәртинің орынланыуы керек. Сонлықтан (П8-1) тензоры симметриялық тензор болып табылады және оны бас көшөрлерге келтириу мүмкін. Бундай жағдайда жылжытыу (урынба) қураушылары жоғалады және (П8-1) былайынша жазылады:

$$\begin{vmatrix} \sigma_1 & 0 & 0 \\ 0 & \sigma_2 & 0 \\ 0 & 0 & \sigma_3 \end{vmatrix}. \quad (\text{П8-4})$$

Бул аңлатпадағы $\sigma_1, \sigma_2, \sigma_3$ лерди созыудың ямаса қысыудың **бас кернеулері** деп аталады. Тензордың усы түрі әдетте көлемлик кернеулик аўхалға сәйкес келеді (үш көшөрли қысыу ямаса созыу). Бир көшөрли кернеуде тензор

$$\begin{vmatrix} \sigma & 0 & 0 \\ 0 & 0 & 0 \\ 0 & 0 & 0 \end{vmatrix},$$

ал еки көшөрли кернеуде

$$\begin{vmatrix} \sigma_1 & 0 & 0 \\ 0 & \sigma_2 & 0 \\ 0 & 0 & 0 \end{vmatrix}$$

түрине ийе болады.

Қәлеген 2-рангалы симметриялық тензор сыяқлы σ_{ij} тензорын да орайы координата басында жайласқан ($x_1 = x_2 = x_3 = 0$) екінши тәртіпли характеристикалық бет түрінде геометриялық жақтан интерпретациялау мүмкін. Улыўма жағдайда бул бет

$$\sigma_{ij}x_i x_j = 1 \quad (\text{П8-5})$$

түріндегі теңleme жәрдемінде тәріпленеди.

Бас көшерлерге өткенде кернеу бати теңлемеси былайынша жазылады:

$$\sigma_1 x_1^2 + \sigma_2 x_2^2 + \sigma_3 x_3^2 = 1. \quad (\text{П8-6})$$

Үш көшерли созыу жағдайында бас кернеулер оң мәніске ийе болады хәм көшерлері $1/\sqrt{\sigma_1}$, $1/\sqrt{\sigma_2}$ хәм $1/\sqrt{\sigma_3}$ ке тең үш көшерли эллипсоид характеристикалық бет болып табылады. Үш көшерли қысыуға (барлық σ_8 лер терең мәніске ийе болған жағдай) характеристикалық бетке жормал эллипсоид сәйкес келеди.

Егер еки бас кернеу оң, үшіншиси терис мәніске ийе болса (П8-6)-теңleme бир жолақлы гиперболоидты, ал екеуи терис мәніске ийе болған жағдайда еки жолақлы гиперболоидты тәріплейди. Егер бас кернеулердің бири нолге тең болса характеристикалық бет цилиндр болып табылады (бас кернеулердің белгилерине байланысly эллиптикалық ямаса гиперболоалық болыуы мүмкин). Егер еки бас кернеулердің мәніслери нолге тең болса характеристикалық бет жалғыз бас кернеуге перпендикуляр болған өз ара параллел еки тегисликке айланады.

Деформация. Бойлық (созылыу ямаса қысқарыу) хәм жылжыу деформациялары деформациялардың тийкарғы түри болып табылады. *Созылыу* (ямаса *қысқарыу*) денениң узынлығының өзгерисиниң оның дәслепки узынлығына қатнасы түрінде анықланады:

$$(P'1' - P1)/P1 = \Delta 7_1/\Delta x_1 = e_{11}. \quad (\text{П8-7})$$

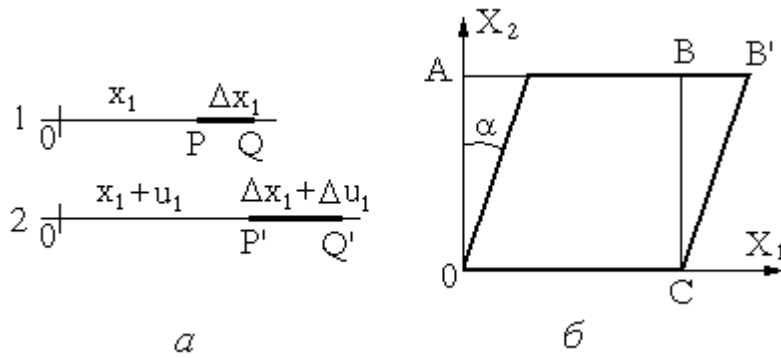
Жылжыу деформациясы деп денениң бир бөлиминиң екинши бөлиmine салыстырғандағы базы бир тегислик бойынша салыстырмалы жылжыуына айтамыз. 2-4 сүүретке мууапық жылжыу деформациясы

$$e_{12} = \Delta 7_1/\Delta x_2 = 5g \alpha.$$

Солай етип жылжыуды деформацияланыушы денеде ықтыярлы түрде алынған еки тууры арасындағы мүйештиң өзгериуиниң өлшеми сыпатында алыуға болады екен.

Ноқаттағы деформация

$$e = \lim_{\Delta x \rightarrow 0} (\Delta 7/\Delta x) = d7/dx \quad (\text{П8-8})$$

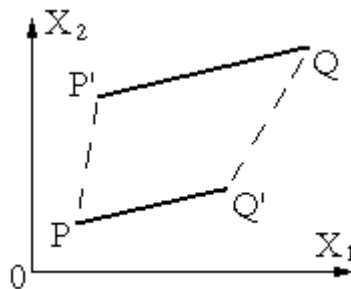


20-сүрөт. Созылыў (а) (1-созылғанға шекем, 2-созылғаннан кейин) хәм жылжыў (б) деформациялары.

шамасы менен анықланады. Буннан

$$du = e dx.$$

Кесиндиниң тегисликтеги деформациясын қарайық. (X_2X_1) тегислигинде жатқан P1 кесиндиси деформациядан кейин P'1' кесиндисине айланатуғын болсын. P нокатының координаталары (x_1, x_2) , ал P' нокатыники (x_1+u_1, x_2+u_2) . P нокатының жылжыў векторының қураўшылары $y = \mathbf{PP'} = (y_1, y_2)$. 1 нокатының координаталары $(x_1+\Delta x_1, x_2+\Delta x_2)$. 1 нокатының аўысыў векторының қураўшылары $11' = (y_1+\Delta y_1, y_2+\Delta y_2)$. Бундай жағдайда



21-сүрөт. Кесиндиниң деформациясын схемалық сәўлелендириў.

$$\Delta y_1 = \frac{\partial u_1}{\partial x_1} \Delta x_1 + \frac{\partial u_1}{\partial x_2} \Delta x_2. \quad (\text{II8-9})$$

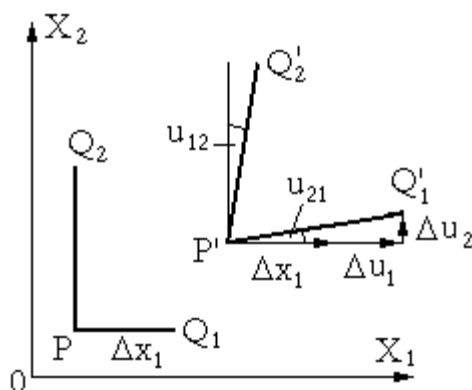
$$\Delta y_2 = \frac{\partial u_2}{\partial x_1} \Delta x_1 + \frac{\partial u_2}{\partial x_2} \Delta x_2. \quad (\text{II8-10})$$

$$\frac{\partial u_1}{\partial x_1} = u_{11}, \quad \frac{\partial u_1}{\partial x_2} = u_{12}, \quad \frac{\partial u_2}{\partial x_1} = u_{21}, \quad \frac{\partial u_2}{\partial x_2} = u_{22} \text{ деп белгилеп алып } (\text{II8-9}) \text{ бенен } (\text{II8-10})$$

ды былайынша улыўма түрде жазамыз:

$$\Delta y_i = u_{ij} \Delta x_j, \quad (j = 1, 2) \quad (\text{П8-11})$$

Δy_i менен Δx_j векторлар болып табылады. Сонлықтан оларды байланыстыратуғын u_{ij} коэффициентлери *серпимли дисторсия* тензоры деп аталатуғын 2-рангалы поляр тензорды пайда етеди. Бул коэффициентлердин физикалық мәнислерин анықлайык.

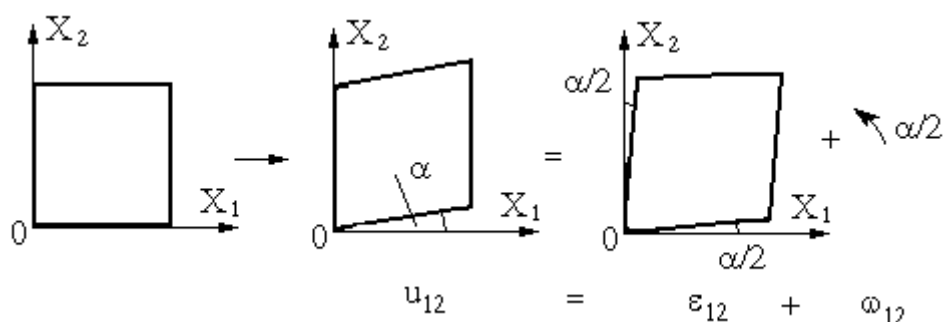


22-сүүрет. u_{11} хэм u_{21} коэффициентлеринин физикалық мәнисин түсіндиретуғын сүүрет.

Мейли координата көшерлерине параллел етип алынған $1_2P'1_1'$ сызығы деформацияның салдарынан $1_2'P'1_1'$ сызығына айланатуғын болсын (22-сүүрет). $P1$ кесиндиси ушын $dx_2 = 0$ деп қабыл етип (П8-9) бенен (П8-10) ды есапқа алып

$$\Delta y_1 = \frac{\partial u_1}{\partial x_1} \Delta x_1 = u_{11} \Delta x_1, \quad (3-12)$$

$$\Delta y_2 = \frac{\partial u_2}{\partial x_1} \Delta x_1 = u_{21} \Delta x_1 \quad (3-13)$$



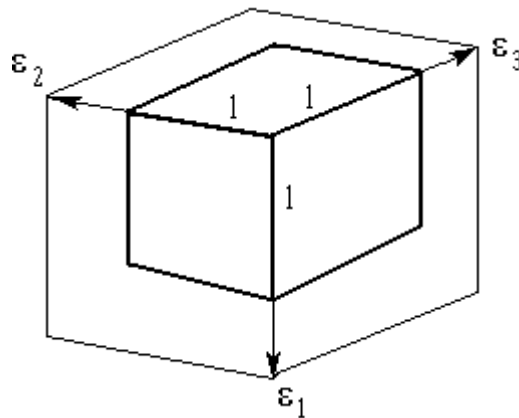
23-сүүрет. (П8-14)-теңлемени геометриялық жақтан интерпретациялаў.

аңлатпаларына ийе боламыз.

22-сүүретте u_{11} диң P_1 кесиндисиниң узарыўын өлшейтуғынлығы көринип тур, ал u_{21} бул кесиндиниң саат стрелкасы қозғалысы бағытына қарама-қарсы бағыттағы бурылыўына сәйкес келеди (егер u_{11} хәм u_{21} киши болса). Тап сол сыяқлы u_{22} P_2 кесиндисиниң узарыўына, ал u_{12} оның саат стрелкасы бағытындағы бурылыўына сәйкес келеди.

u_{ij} тензоры тек ғана денениң деформациясын тәриплеп ғана қоймай, оның бурылыўын да тәриплейди. Себеби дене u_{ij} тың нолге тең емес мәнислеринде де (яғный бурыўларда) майыспаған болыўы мүмкин.

Егер u_{ij} шамалары денениң көлеминиң барлық бөлимлеринде бирдей мәниске ийе болса сәйкес деформацияны *бир текли деформация* деп атаймыз. Бир текли деформацияда денеде алынған туўры сызық туўры сызық, параллел сызықлар параллел сызықлар болып қалады. Бир бирине параллел болған барлық сызықлар бирдей шамаға қысқарады ямаса узарады. Эллипс эллипске, ал шеңбер болса эллипске айланады.



24-сүүрет. Деформацияның үш бас көшерине параллел болған қабырғаларға ийе бирлик кубтың деформациясы.

Серпимли дисторсиялар тензоры u_{ij} ты деформация тензорына хәм пәнжерениң бурылыўына бөлемиз. Усы мақсетте тензорды симметриялы хәм антисимметриялы тензорлардың қосындысы түринде жазамыз:

$$u_{ij} = \frac{1}{2} (u_{ij} - u_{ji}) + \frac{1}{2} (u_{ij} + u_{ji}). \quad (\text{П8-14})$$

Бундай жағдайда $\omega_{ij} = \frac{1}{2} (u_{ij} - u_{ji})$ пәнжерениң бурылыўын, ал $\varepsilon_{ij} = \frac{1}{2} (u_{ij} + u_{ji})$ болса таза серпимли деформацияны тәриплейди.

23-сүүретте (П8-14)-теңлемениң геометриялық интерпретациясы берилген.

ω_{ij} тензоры бурыўлар тензоры деп аталады хәм төмендеги түрге ийе болады:

$$\omega_{ij} = \begin{vmatrix} 0 & -\omega_{21} & \omega_{31} \\ \omega_{12} & 0 & -\omega_{32} \\ -\omega_{13} & \omega_{23} & 0 \end{vmatrix}. \quad (\text{П8-15})$$

Бул тензор бурыўлардың аксиал векторынтабыўға мүмкиншилик береді:

$$\omega_8 = \omega_{ij}x_j.$$

Поляр тензор ε_{ij} *деформация тензоры* деп аталады. Бул тензор симметриялы болғанлықтан оны бас көшерлерге келтириў мүмкин:

$$\begin{vmatrix} \varepsilon_{11} & \varepsilon_{12} & \varepsilon_{13} \\ \varepsilon_{21} & \varepsilon_{22} & \varepsilon_{23} \\ \varepsilon_{31} & \varepsilon_{32} & \varepsilon_{33} \end{vmatrix} \rightarrow \begin{vmatrix} \varepsilon_1 & 0 & 0 \\ 0 & \varepsilon_2 & 0 \\ 0 & 0 & \varepsilon_3 \end{vmatrix}. \quad (\text{П8-16})$$

Бул аңлатпадағы ε_{11} , ε_{22} , ε_{33} лер қысыў ямаса созыў деформациялары қураўшылары, қаолған ε_{ij} лар жылжыў деформациясы қураўшылары, ε_1 , ε_2 , ε_3 лер *бас деформациялар* (мәніси кейинги сүүретте көрсетилген).

Деформацияның характеристикалық бети хәм эллипсоиды. Серпимли деформацияның характеристикалық бетиниң теңлемеси төмендегидей түрге ийе болады:

$$\varepsilon_{ij}x_i x_j = 1. \quad (\text{П8-17})$$

Бас көшерлерге өткенде бул теңleme

$$\varepsilon_1 x_1^2 + \varepsilon_2 x_2^2 + \varepsilon_3 x_3^2 = 1 \quad (\text{П8-18})$$

түрине ийе болады.

ε_1 , ε_2 , ε_3 бас деформациялары оң хәм терис мәніслерге ийе болыўы мүмкин. Кернеўлердин характеристикалық бети сыяқлы деформация бети де ҳақыйқый ямаса жор-мал эллипс, гиперболоид, цилиндр ямаса еки өз ара параллел тегислик болыўы мүмкин.

Үш өлшемли бир текли денениң серпимли деформациясын бирлик сфераның деформациясы жәрдеминде тәриплегенде **деформация эллипсоиды** түсиниги киритиледи. Бул сфераның теңлемеси

$$x_1^2 + x_2^2 + x_3^2 = 1$$

түринде болады.

Деформация нәтийжесинде белгиленип алынған кубтың бас көшерлерге параллел болған қабырғалары

$$x_1' = x_1(1+\varepsilon_1), x_2' = x_2(1+\varepsilon_2), x_3' = x_3(1+\varepsilon_3) \quad (\text{П8-19})$$

мәніслерине ийе. Сонлықтан бул мәніслерди сфераның теңлемесине қойып төмендегидей теңleme аламыз:

$$\frac{x_1'^2}{(1+\varepsilon_1)^2} + \frac{x_2'^2}{(1+\varepsilon_2)^2} + \frac{x_3'^2}{(1+\varepsilon_3)^2} = 1. \quad (\text{П8-20})$$

(П8-20) бети барлық ўақытта да эллипсоид болып табылады хәм деформация эллипсоиды деп аталады. Бул теңлемеден бир көшерли созыў да деформация эллипсоидының бир көшерлик болатуынлығы көринип тур. Тегис деформацияда (бас деформациялардың биргеўи нолге тең) хәм бир көшерли деформацияның дара түри болған жылжыў деформациясында эллипсоид еки көшерли. Бул эллипсоидтың кесе кесими жылжыў тегислигине параллел. Деформацияның үш көшерли эллипсоиды көлемлик-кернеўли халға сәйкес келеди.

Деформация эллипсоидын ҳеш ўақытта да деформацияның характеристикалық бети менен алжыстырыўға болмайды.

Кристаллар ушын Гук нызамы. Қатты денениң ең әпиўайы деформациясы болған бир көшерли серпимли деформациядағы деформация (ε) менен кернеў (σ) арасындағы туўры пропорционаллық байланыс Р.Гук (Нooke) тәрәпинен 1660-жылы ашылды (Гук нызамы):

$$\varepsilon = s\sigma. \quad (\text{П8-21})$$

Бул аңлатпада s серпимли беригишлик коэффициентини ямаса әмиўайы берилгишлик деп аталады. Гук нызамын басқа ша түрде де жазыўға болады:

$$\sigma = c\varepsilon. \quad (\text{П8-22})$$

Бул аңлатпадағы c серпимли қаттылық ямаса қаттылық деп аталады.

Кристаллар ушын бул аңлатпалар әдеўир қурамаласады. Деформация менен кернеўдің 2-рангалы тензорлар екенлигин есапқа алып бул жағдайда улыўма түрде былай жаза аламыз:

$$\varepsilon_{ij} = s_{ijkl} \sigma_{kl} \quad (\text{П8-23})$$

s_{ijkl} кристалдың серпимли берилгишлик коэффициентлери. (П8-23) тоғыз теңлемениң жыйнағы болып табылады. Бул теңлемелердің оң тәрәпи тоғыз ағзадан турады. Сонлықтан s_{ijkl} коэффициентлериниң улыўма саны 81 ге тең.

(П8-22) ден

$$\sigma_{kl} = c_{klmn} \varepsilon_{mn} \quad (\text{П8-24})$$

c_{klmn} кристалдың серпимли қаттылық коэффициентлери. Бул коэффициентлердің саны да улыўма жағдайда 81 ге тең.

2-рангалы еки поляр тензорды байланыстыратуғын коэффициентлер 4-рангалы тензорды пайда етилетуғынлығы жоқарыда (8 бапта) айтылған еди. Сонлықтан 81 s_{ijkl} коэффициентлери, 81 c_{klmn} коэффициентлери 4-рангалы поляр тензорды пайда етеди. $s_{ij} = s_{j8}$ хәм $c_{ij} = c_{j8}$ болғанлықтан

$$s_{ijk1} = s_{jik1} = s_{ij1k} = s_{k1ij} \text{ ХӘМ } c_{k1mn} = c_{1kmn} = c_{mnk1}.$$

Сонлықтан 81 серпимлилик коэффициентлериниң орнына тек 21 коэффициент қалады.

Серпимлилик коэффициентлерин матрицалық белгилеулер. (П8-23) хәм (П8-24) теги s_{ijk1} хәм c_{k1mn} коэффициентлерин төрт индекстин орнына екеуін жазып белгилеу әдеуір оңай. Нәтийжеде индекслерди жазыудағы төмендегидей сәйкесликли аламыз:

Тензорлық белгилеу	11	22	33	23	32	31	13	12	21
Матрицалық белгилеу	1	2	3	4		5		6	

Соның менен бирге төмендегидей тәртіпте 2 хәм 4 көбейтиушилерин киргиземіз: m хәм n 1, 2 ямаса 3 ке тең болғанда $s_{ijk1} = s_{mn}$; егер тек m ямаса тек n 4, 5 ямаса 6 ға тең болса $2s_{ijk1} = s_{mn}$; егер бир ўақытта m де, n де 4, 5 ямаса 6 ға тең болса $4s_{ijk1} = s_{mn}$. Бундай жағдайда, мысалы,

$$\varepsilon_{11} = s_{1111}\sigma_{11} + s_{1112}\sigma_{12} + s_{1113}\sigma_{13} + s_{1121}\sigma_{21} + s_{1122}\sigma_{22} + s_{1123}\sigma_{23} + s_{1131}\sigma_{31} + s_{1132}\sigma_{32} + s_{1133}\sigma_{33}$$

теңлигиниң орнына

$$\varepsilon_1 = s_{11}\sigma_1 + s_{12}\sigma_2 + s_{13}\sigma_3 + s_{14}\sigma_4 + s_{15}\sigma_5 + s_{16}\sigma_6$$

ямаса

$$\varepsilon_1 = s_{1j}\sigma_j \quad (\text{П8-25})$$

деп жаза аламыз. Демек (П8-23) теги барлық тоғыз теңлеме қысқаша былай жазылады:

$$\varepsilon_8 = s_{ij}\sigma_j. \quad (8, j = 1, 2, \dots, 6). \quad (3-26)$$

Сол сыяқлы (П8-24) ти былай жазамыз:

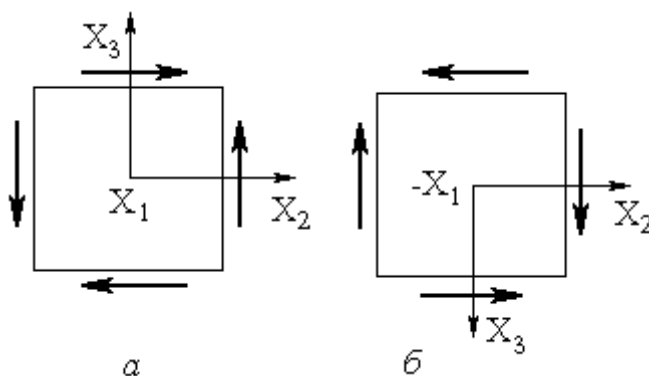
$$\sigma_j = c_{jk}\varepsilon_k \quad (j, k = 1, 2, \dots, 6). \quad (\text{П8-27})$$

Матрицалық жазыуда серпимли берилгишлик хәм серпимли қаттылық коэффициентлери саны 36 ға тең хәм $s_{ij} = s_{ji}$ хәм $c_{ij} = c_{ji}$ болғанлықтан улыўма жағдайда ғәрезсиз коэффициентлер саны 21 ге тең болып қалады.

8-санлы лекция. Кристалдың симметриясының серпимлилик коэффициентлери тензорыдың түрине тәсири. Жылжыу менен болатуғын эластик деформация. Жылжыу элементлери

Кристалдың симметриясына байланысты s_{ij} хәм c_{ij} коэффициентлери нолге ямаса бир бирине тең болыуы мүмкин, ал нолге тең емес ғарезсиз коэффициентлеридиң саны кемейеди.

Мысалда 222 класына кириуши ромбалық кристалды көрейик. ε_{33} деформациясын хәм σ_{23} кернеуин байланыстыруушы s_{34} берилгишлигине симметрияның тәсирин көрейик. ε_{33} деформациясы X_3 бағытындағы узырауға сәйкес келеди (сүўретте көрсетилген). Кристалды тутасы менен X_2 көшерине параллел болған екинши тәртипли симметрия көшери дөгеринде бурайық. X_3 бағыттында кристалдың өзи хәм оның узарыуы турақлы болып қалады, ал түсирилген күшлер бағытты карама-қарсы бағытқа өзгертеди. Бул тек $s_{34} = 0$ болғанда орынланады. Усындай жоллар менен хәрқандай кристаллардағы симметрияның барлық s_{ij} хәм c_{jk} лаға тәсирин үйренип сәйкес матрицалардың түрин аламыз.



25-сүўрет 222 классы ушын s_{34} берилгишлигиниң нолге тең екенлигин түсиндиретуғын сүўрет.

Кристаллардың серпимлилиги коэффициентлери тензорларының хәм бир текли орталықлардың симметрия топарлары саны онға тең. Усы симметрия топарлары арасында еки шеклик топары болған ∞/mmm хәм $\infty/\infty mm$ лер де бар.

Бириншисине алтыншы хәм үшінши симметрия көшерлеринен басқа бул көшерлерге перпендикуляр болған симметрия тегисликлери де бар гексагонал хәм тригонал кристаллардың серпимлилик коэффициентлери киреди. Серпимлилик қасийетлерине қатнасы бойынша бундай кристаллар бас көшерге перпендикуляр болған тегисликте жатқан бар-

лық бағытларды бірдей болады. (бундай орталық көлденең-изотроп орталық деп аталады).

$\infty/m\bar{m}$ классы изотроп денениң серпимлилик қасиетлеринің симметриясын тәріптейді. Бундай жағдайда изотроп денениң серпимлилик қасиетлери еки серпимлилик коэффициентлери s_{11} хәм s_{12} ямаса c_{11} хәм c_{12} тәріптейді. Бул коэффициентлерди теориялық механикадан белгили болған Лямэ коэффициентлери λ хәм μ арқалы

$$\lambda = c_{12}, \mu = c_{44} = 1/s_{44}, \lambda + 2\mu = c_{11}$$

ямаса Юнг модули $E = \sigma/\varepsilon$, жылжыу модули G хәм Пуассон коэффициентлери $\nu = -\varepsilon'/\varepsilon$ (ε хәм ε' деформацияланушы орталыққа салыстырғандағы бойлық хәм көлденең деформациялар) арқалы аңлатқан қолай болады:

$$s_{11} = 1/E, s_{12} = \nu/E, 2(s_{11} - s_{12}) = 1/G, G = E/2(1+\nu).$$

Буннан басқа $\lambda = 2G\nu/(1-2\nu)$, $\mu = G$.

Изотроп орталықта $c_{44} = \frac{1}{2}(c_{11} - c_{12})$ хәм $s_{44} = 2(s_{11} - s_{12})$.

Кристаллардың берилгишлик s_{ij} хәм қаттылық c_{ij} коэффициентлерин техникалық характеристикалар болған Юнг модули, жылжыу модули хәм Пуассон коэффициентлери менен байланыстыруу мүмкин:

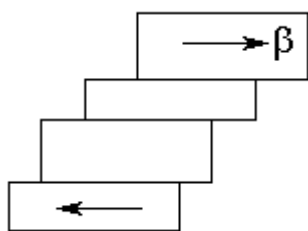
$$E = 1/s_{11}, G = \frac{1}{2}(c_{11} - c_{12}), \quad \nu = s_{12}/s_{11}.$$

Жылжыу менен болатуғын эластик деформация. Кристаллардағы серпимли деформация (яғный сыртқы күшлер алып кетилгеннен кейин толық жоғалатуғын деформация) әдетте процентиң оннан бир бөлегинен артпайды. Айырым кристалларда (сабақ тәрізли ямаса дислокациясыз кристалларда) серпимли деформацияның шамасы 3-4 процентке жетеди. Үлкен деформацияларда (демек бирқанша уақыт дауамында тәсир ететуғын үлкен мәнисли кернеулерде) кристал “аға” баслайды. Усының менен бирге сырттан тәсир ететуғын күшлер алып кетилгеннен соң қалдық деформация сақланып қалады. Сырттағы тәсир алып кетилгеннен кейин сақланатуғын деформация **эластик** (пластик) деформация деп аталады. Хәр қандай кристаллардағы эластик деформацияға қәбилетлилик хәр қыйлы. Айырым кристалларда эластик деформация түсирилген киши кернеулерде (бир миллиметр квадратына граммлар), ал айырым кристалларда әдеуир үлкен кернеулерде (бир миллиметр квадратына килограммлар) басланады. Эластик деформацияның шамасы процентиң жүзден бир бөлиминен бир неше процентлерге шекем жетиуи мүмкин. Қыйрауға шекем тек аз ғана деформацияланатуғын кристаллар **морт** кристаллар деп аталады. Кристаллардың эластиклигин (пластиклигин) хәр қандай тәсирлер жәрдемінде үлкейтиу мүмкин. Мысалы корунд әдеттеги кернеулерде жүдә морт болса да 1000°C да

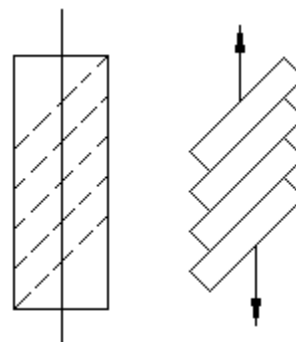
ямаса комната температурасында 25 000 атм басымда әдеуір “ағады” (деформацияланады).

Нормал жағдайлардағы (әдеттегі жағдайлардағы басым менен температура нәзерде татылған) кристаллардаң эластик деформациясы **жылжыу арқалы** әмелге асады. Жылжыу деп кристалдың бир бөлимининң екінши бөлиминен салыстырғандағы көлем өзгермей қалатуғын жағдайдағы жылжыуын айтамыз. Әдетте жылжыу белгили бир кристаллографиялық тегисликлер бойынша белгили бир кристаллографиялық бағытларда әмелге асады.

26-сүўретте урынба кернеу тәсиринде жылжыудың модели келтирилген. Бул деформацияда жылжыу бағыты β ҳәрипи менен белгиленген. Кристалдың бөлимлери бир бирине салыстырғанда кристаллық пәнжерениң трансляция векторының шамасына пүтинсан еселенген аралықларға жылжыйды. Сонлықтан жылжыуды әдетте трансляциялық жылжыу деп атайды. Қолайлы болған жағдайларда жылжыу кристалдың барлық кесе-кесими бойынша әмелге асады ҳәм кристалдың сыртқы бетинде сәйкес жолақлар пайда болады.



26-сүўрет. Куб тәризли кристаллардағы жылжыу кернеуиниң тәсириниң салдарынан болатуғын жылдыу модели



27-сүўрет. Созыуда жылжыу тегисликлериниң аўхалының өзгеретуғынлығын көрсетиўши сүўрет.

Сол сүўретте көрсетилген жағдайда жылдыудың нәтийжеминде кристалдың тек сыртқы формасы өзгереди, ал оның бағытлары менен көлеми турақлы болып қалады. Бирақ, мысалы қысыўшы ямаса созыўшы кернеулердиң тәсиринде жылжыушы қатламлар күш тәсир етиў бағытына салыстырғанда бурыла баслайды (усы бағытты деформация көшери деп атайды). Созыу жағдайында қатламлардың бетиниң бағыты деформация көшерине қарай жақынлайды (27-сүўрет). Ал кристалды қысқанымызда қарама-қарсы бағыттағы бурылыўларды бақлаймыз.

Жылжыу нәтийжесинде жылжыу деформациясы жүреди. Егер координата басынан 4 қашықлығында турған P ноқаты n бирлик векторына перпендикуляр болған β бирлик век-

торы менен тәриппленетуғын жылжыу тегислигинде қозғалатуғын болса ноқаттың жаңа орты O' координата басынан R' қашықтығында болады:

$$PP' = R' - R = \alpha(R * n)\beta \text{ ямаса } R' = R + \alpha(R * n)\beta. \quad (\text{П8-28})$$

Бул жерде α аўысыу шамасы (P ноқатының аўысыуы).

Егер α ниң мәніси киши болған жағдайда ықтыярлы (X_1, X_2, X_3) ортогонал координаталар системасындағы *эластик дисторсия тензоры* u_{ij}^0 хәм *эластик деформация тензоры* ε_{ij} коэффициентлерин табыу мүмкин (жоқарыдағы индекс эластик дисторсияны серпимли дисторсия тензорынан айырыу ушын қойылған):

$$u_{11}^0 = \frac{\partial u_1}{\partial x_1} = \frac{\partial}{\partial x_1} (R' - R) = \frac{\partial}{\partial x_1} \alpha(R * n)\beta. \quad (\text{П8-29})$$

Егер

$$R = x_{1i} + x_{2j} + x_{3k},$$

$$n = n_{1i} + n_{2j} + n_{3k},$$

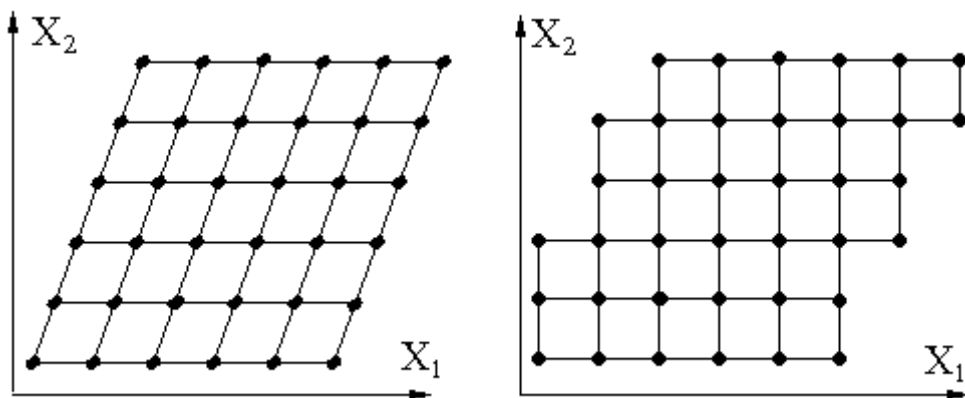
$$\beta = \beta_{1i} + \beta_{2j} + \beta_{3k}$$

деп белгилесек (i, j, k бирлик векторлар), онда

$$u_{11}^0 = \frac{\partial}{\partial x_1} \alpha(R * n)\beta_1 = \alpha n_1 \beta_1.$$

Усындай жоллар менен басқа да u_{ij}^0 лар анықланады. Мысалы

$$u_{23}^0 = \frac{\partial u_2}{\partial x_3} = \frac{\partial}{\partial x_3} \alpha(R * n)\beta_2 = \alpha n_3 \beta_2.$$



28-сүүрет. Атомлық тордың серпимли (дәслепки сүүрет) хәм эластик дисторсиялары.

Жуўмақлап былай жаза аламыз:

$$u_{ij}^0 = \alpha \begin{vmatrix} n_1\beta_1 & n_2\beta_1 & n_3\beta_1 \\ n_1\beta_2 & n_2\beta_2 & n_3\beta_2 \\ n_1\beta_3 & n_2\beta_3 & n_3\beta_3 \end{vmatrix} \quad (\text{П8-30})$$

n менен β векторларының ортогоналлығынан

$$\alpha(n_1\beta_1 + n_2\beta_2 + n_3\beta_3) = u_{11}^0 + u_{22}^0 + u_{33}^0 = 0.$$

Бул жылжыў деформациясындағы көлемнің сақланатуғынлығын билдиреди.

Эластик дисторсия серпимли дисторсиядан үлкен айырмаға ийе. Серпимли дисторсияда атомлар арасындағы аралықтар өзгереді, усының нәтижесінде серпимли деформациялар хәм пәнжерениң бурылыўлары пайда болады. Ал эластик дисторсияда атомлар өзиниң дәслепки жайласқан тең салмақлық орынларындағыдай тең салмақлық орынларға көшеди, атомлар арасындағы аралықтар өзгермей турақлы болып қалады, жылжыў трансляциялық түрге ийе болғанлықтан пәнжерениң бурылыўы бақланбайды хәм тек ғана кристалдың сыртқы формасы өзгериске ушырайды.

u_{ij}^0 тензорын эластик деформацияны тәриплейтуғын симметриялы ε_{ij} хәм бурылыўшы тәриплейтуғын ω_{ij} тензорларының қосындысы сыпатында көрсетиў мүмкин:

$$\varepsilon_{ij} = \begin{vmatrix} \alpha n_1\beta_1 & \frac{\alpha}{2}(n_1\beta_2 + n_2\beta_1) & \frac{\alpha}{2}(n_1\beta_3 + n_3\beta_1) \\ \frac{\alpha}{2}(n_1\beta_2 + n_2\beta_1) & \alpha n_2\beta_2 & \frac{\alpha}{2}(n_3\beta_2 + n_2\beta_3) \\ \frac{\alpha}{2}(n_1\beta_3 + n_3\beta_1) & \frac{\alpha}{2}(n_3\beta_2 + n_2\beta_3) & \alpha n_3\beta_3 \end{vmatrix} \quad (\text{П8-31})$$

$$\omega_{ij} = \begin{vmatrix} 0 & \frac{\alpha}{2}(n_2\beta_1 - n_1\beta_2) & \frac{\alpha}{2}(n_3\beta_1 - n_1\beta_3) \\ -\frac{\alpha}{2}(n_2\beta_1 - n_1\beta_2) & 0 & \frac{\alpha}{2}(n_3\beta_2 - n_2\beta_3) \\ -\frac{\alpha}{2}(n_3\beta_1 - n_1\beta_3) & -\frac{\alpha}{2}(n_3\beta_2 - n_2\beta_3) & 0 \end{vmatrix} \quad (\text{П8-32})$$

Егер төмендегидей операция ислесек, бул тензорлардың мәнисин аңсат түсиниўге болады:

X_1 хәм X_2 көшерлерин n менен β ға параллел етип аламыз. Сонда (П8-30)-(П8-32) тензорлары былай жазылады:

$$u_{ij}^0 = \begin{vmatrix} 0 & 0 & 0 \\ \alpha & 0 & 0 \\ 0 & 0 & 0 \end{vmatrix}, \quad \varepsilon_{ij} = \begin{vmatrix} 0 & \alpha/2 & 0 \\ \alpha/2 & 0 & 0 \\ 0 & 0 & 0 \end{vmatrix}, \quad \omega_{ij} = \begin{vmatrix} 0 & -\alpha/2 & 0 \\ \alpha/2 & 0 & 0 \\ 0 & 0 & 0 \end{vmatrix}.$$

Бул тензорлардың геометриялық интерпретациясы 23-сүретте көрсетілген.

Жылжыу элементлери. Кристалдың қатламларының жылжыуы жүреуімен тегисликтер жылжыу тегисликтері, ал жылжыушы қатламлардың қозғалуы бағыттары жылжыу бағыттары деп аталады. Жылжыу тегислиги хәм усы тегисликте жатыушы жылжыу бағыты жылжыу системасын пайда етеди. Жылжыудың эквивалент болған тегисликтері менен бағыттары жылжыу системаларының семействосын пайда етеди. Мәселен $m\bar{3}m$ классына кириуши $NaCl$ типіндеги кристалларда жылжыу $\{110\}$ тегисликлерінде $\langle 1\bar{1}0 \rangle$ бағытында әмелге асады. Усындай типтеги 6 тегисликте жылжыу $\langle 1\bar{1}0 \rangle$ бағытының тууры хәм кери бағыттарында жүреді. Сонлықтан жылжыудың 12 системасы хакқында гәп етиуимиз керек. Бирақ кристалдың орайға қарата симметриялылығының нәтижесінде тууры хәм кери тәрептерде болатуғын жылжыу бирдей нәтижелерге алып келеди. Сонлықтан $\{110\}$ тегисликтері хәм $\langle 1\bar{1}0 \rangle$ бағыттары семействолары 6 жылжыу системасынан турады деп жууақ шығарамыз.

Базы бир кристаллардың жылжыу элементлери келеси кестеде келтирилген:

Кристаллар	Класс	Пәнжере типи	Жылжыу системасы
Қапталдан орайласқан кублық кристаллар (Al, Cu хәм басқалар)	$m\bar{3}m$	F	$\langle 1\bar{1}0 \rangle, \{111\}$
Алмаз пәнжересіндеги кристаллар: C, Si, Ge	$m\bar{3}m$	F	$\langle 1\bar{1}0 \rangle, \{111\}$
Көлемде орайласқан кристаллар: Fe, Nb, Ra, W, Na, K	$m\bar{3}m$	I	$\langle 1\bar{1}1 \rangle, \{111\}$ (тийкарғы система)
Графит	$6/mmm$	P	$\langle 11\bar{2}0 \rangle, \{0001\}$
Сфалерит типіндеги кристаллар	$\bar{4}3m$	F	$\langle 11\bar{2} \rangle, \{111\}$

9-санлы лекция. Кристалдың сызықты жыллылық кеңейиуі.

Жыллылық өткізгішлік.

Кристаллардың сызықты жыллылық кеңейіуі. Усы ұақытқа шекем биз кристаллардағы атомлардың гармоникалық тербелістерін қарадық. Бул (8V-1)-теңлемнің оң тәрәпиндегі сызықты ағзалар менен шекленгенлігіміздің нәтижесі болып табылады. Бул потенциал энергия үшін аңлатпадағы квадраттық ағзаларға сәйкес келеді. Енді екі қоңысылыс атомлар арасындағы ангармонизм орын алғандағы өз-ара тәсірлесіуді қараймыз.

Бундай жағдайларда өз-ара тәсірлесіу күші F , тәсірлесіуге сәйкес келіуші потенциал энергия U атомлардың тең салмақтық аухалынған ауысыуы x тың функциясы сыпатында былай жазылады:

$$F = - dU/dx = - 3\beta x + 3\gamma x^2, \quad (8V-23)$$

$$U(x) = \beta x^2 - \gamma x^3. \quad (8V-24)$$

Бул жерде γ коэффициентін ангармонлық коэффициент деп аталады.

Орташа ауысыу \bar{x} ты Больцман тарқалыуы функциясы жәрдемінде есаплаймыз:

$$\bar{x} = \frac{\int_{-\infty}^{+\infty} x \exp[-U(x) / k_0 T] dx}{\int_{-\infty}^{+\infty} \exp[-U(x) / k_0 T] dx}. \quad (8V-25)$$

(8V-24) теги $U(x)$ үшін жазылған аңлатпаны (8V-25) ке қойыу арқалы интеграл астындағы ағзаларды ангармоникалық ағзаларды киші деп есаплап интеграллау төмендегі аңлатпаның алыныуына алып келеді:

$$\bar{x} = 3k_0 T \gamma / 4\beta^2. \quad (8V-26)$$

Бул аңлатпа

$$\alpha = \bar{x} / a T = 3k_0 \gamma / 4\beta^2 a \quad (8V-27)$$

сызықты жыллылық кеңейіуіне сәйкес келеді. Бул жерде a арқалы атомлар арасындағы қашықтық берілген.

(8V-27) ден сызықты жыллылық кеңейіу коэффициентінің ангармонизм коэффициенті γ ға тууы пропорционал екенлігі көрініп тұр. Егер ангармонизм орын алмаса $\alpha = 0$.

Квант механикасы тийкарында осциллятор үшін \bar{x} есапланған жағдайда теориялық $\alpha = \alpha(T)$ ғәрезлігін хәм $T \rightarrow 0$ де α нин де нолге умтылатуғынлығын алыуға болады.

Жыллылық өткізгішлік. Атомлар тербелістерінің ангармонизмі менен байланысты болған және бір қасиет жыллылық өткізгішлік болып табылады. Анықлама бойынша жыллылық өткізгішлік коэффициенті K жыллылық ағысы j менен белгілі бағыттағы температура градиентінің былайынша байланыстырады:

$$j = K \operatorname{grad} T. \quad (8V-28)$$

Жыллылық өткізгішлік коэффициенті үшін Дебай газлардың кинетикалық теориясы тийкарында төмендегідей аңдатпаны ұсынды:

$$K = \frac{1}{3} c v \lambda. \quad (8V-29)$$

Бұл жерде c жыллылық сыйымдылығы, v сестің тезлігі, λ фонон-фонон аралық өзара тәсір етисіуден алынатуғын фононлардың еркін жүріу жолының ұзындығы. Гармоникалық жақынласыуда фонон-фононлық өзара тәсір етисіудің болмайтұғынлығын көрсетіуге болады. Егер (8V-1)-сызықты теңдемелердің шешімдері гармоникалық толқындардың суперпозициясы (бұндай толқындар кристалда бір-бірінен ғарезсіз таралады) екенлігіне дыққат аударсақ бұл жағдай түсінікті болады. Бұндай жағдайда кристалдың жыллылыққа қарсылығы нөлге тең болады және соған сәйкес $K = \infty$. Сондықтан жыллылық өткізгішліктің шекті мәніне ие болатуғынлығы тек ғана ангармонизмге байланысты анықланады. Айтылған жағдайдың идеал кристалға тийісі екенлігі түсінікті болуы керек. Реал кристалларда болса фононлардың пәндеріне дефекттерінде шашырауына байланысты фононлардың шашырауының қосымша механизмі орын алады. Бұл өзгешелікте кристалдың жыллылық өткізгіштігіне қарсылығын тәжірибелік.

Дебай $T > T_D$ температураларда $\lambda \sim T^{-1}$ екенлігін көрсетті. Төменгі $T < T_D$ температураларда $\lambda \sim \exp(-T_D/2T)$ байланысы орындалады.

10-санлы лекция. Фазалық өткізгіштер. Полиморфизм. Бірінші және екінші әулақ фазалық өткізгіштері. Атомлар тербелістері және полиморфтық өткізгіштер. Дебай хал теңдемесі және Грюнайзен формуласы. Фазалық өткізгіштер және кристаллар симметриясы

Өзінің тең салмақтық орны этирапындағы атомлардың тербелістері кристаллық пәндерінің ең әлсіздігіне фундаменталды қасиеттерінің бірі болып табылады. Үсындай тербелістер менен байланысты болған кубылыстардың жыйнағын және оларды

тәриплеуді пәнжере динамикасы деп атайды. Пәнжере динамикасы кристаллардың жыллылық қасиетлери теориясының, кристаллардың электрлік хәм магнитлік қасиетлери менен кристаллардағы жақтылықтың шашырауы хақындағы хәзирги заман көз-қарасларының тийкарында турады. Мысалы кристаллық пәнжере атомларының тербелислериндеги ангармонизм жыллылық сыйымлылығы, қысылыушылық хәм сызықлы жыллылық кеңейиуі арасындағы қатнастарды береді (Грюнайзен қатнасы). Атомлардың жыллылық қозғалыслары хәм тербелислер ангармонизми фазалық айланыслары хақындағы хәзирги заман теориясы тийкарында турады.

Төменде кристаллық пәнжере динамикасының тийкаргы нәтижелерин қараймыз хәм сол тийкарда кристаллардың жыллылық сыйымлылығын, жыллылық өткізгішлігін хәм жыллылық кеңейиуін қараймыз.

Атомлардың сызықлы дизбегиниң тербелиси. Жүдә төмен емес температураларда пәнжере атомларының тербелис амплитудалары сол атомларға сәйкес келиуіш дебройл толқынының узынлығынан үлкен болады хәм бул жағдайлар да атомлардың тербелислери классикалық ызыамлықларға бағынады. Соның менен бирге пәнжере атомларының тербелислерин атомлардың сызықлы дизбегиниң тербелислерин қарап шығуы арқалы да түсиниу мүмкин. Кристаллық пәнжерениң бундай моделин пәнжерениң бир өлшеулі модели деп атаймыз. Бундай пәнжере турақлысы деп дизбектеги бирдей болған қоңсылас еки атом арасындағы қашықлық а ны қабыл етемиз. Бир өлкшемлі элементар қурыша еки атомды өз ишине алатуғын жағдайды қараймыз. Бундай моделге солтили-галоидлық, бир қанша ярым өткізгішли кристаллар сәйкес келеді.

29-сүўретте еки сорттағы атомлардан туратуғын атомлардың сызықлы дизбегі көрсетилген. Сүўреттеги атомлардың қатарлық санлары m' хәм m'' арқалы белгиленген. Атомлардың массаларын сәйкес m_1 хәм m_2 деп белгилейик. m' , m'' хәм m' , $m''-1$ қоңсылар жуплары ушын серпимлилік коэффициентлерин β_1 хәм β_2 арқалы белгилейик. Егер серпимли күшлер тек қоңсылас атомлар арасында тәсир етеди деп есапласак, атомлардың қозғалыс теңлемелери төмендегидей түрге ийе болады:

$$\begin{aligned} m_1 \ddot{m}_m &= -\beta_1(u_m' - u_m'') - \beta_2(u_m' - u_{m-1}''), \\ m_2 \ddot{m}_m &= -\beta_1(u_m'' - u_m') - \beta_2(u_m'' - u_{m+1}'). \end{aligned} \quad (8V-1)$$

Бул аңлатпада қатар санлары m' хәм m'' болған атомлардың координаталары сәйкес u_m' хәм u_m'' арқалы белгиленген. (8V-1) диң шешимин жуўырыушы толқынлар түрінде излеймиз:

$$u_m' = A' \exp[i(kam - \omega t)], \quad u_m'' = A'' \exp[i(kam - \omega t)]. \quad (8V-2)$$

k атомның толқын векторының модули ($k = 2\pi/\lambda$), A' хәм A'' амплитудалары m ге ғәрезли емес, радиус-вектордың модули орнына a м ағзасы жазылған (a пәнжерениң тийкарғы векторы). (8V-2) ни (8V-1) ге қойып, $\exp[i(kam - \omega t)]$ көбейтиўшилерине қысқартып A' хәм A'' амплитудалары ушын сызықлы теңлемелер системасын аламыз:

$$\begin{aligned} [\omega^2 - \frac{\beta_1 + \beta_2}{m_1}]A' + [\frac{\beta_1 + \beta_2 \exp(-iak)}{m_1}]A'' &= 0, \\ [\frac{\beta_1 + \beta_2 \exp(-iak)}{m_2}]A' + [\omega^2 - \frac{\beta_1 + \beta_2}{m_2}]A'' &= 0. \end{aligned} \quad (8V-3)$$

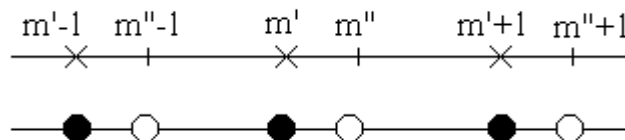
(8V-3)-система детерминанты нолге тең болған жағдайда A' пенен A'' ушын нолге тең емес шешимлер береді. Бул шәрт өз гезегинде ω^2 ушын теңлемениң алыныўына алып келеді. Бул теңлемени төмендегидей шәртлер қанаатландырады:

$$\begin{aligned} \omega_{ак}^2 &= \frac{1}{2} \omega_0^2 \{ 1 - \sqrt{1 - \gamma^2 \sin^2 \frac{ak}{2}} \}, \\ \omega_{оп}^2 &= \frac{1}{2} \omega_0^2 \{ 1 + \sqrt{1 - \gamma^2 \sin^2 \frac{ak}{2}} \}. \end{aligned} \quad (8V-4)$$

Бул формулаларда

$$\omega_0^2 = \frac{(\beta_1 + \beta_2)(m_1 + m_2)}{m_1 m_2}, \quad \gamma^2 = 16 \frac{\beta_1 \beta_2}{(\beta_1 + \beta_2)^2} \frac{m_1 m_2}{(m_1 + m_2)^2}. \quad (8V-5)$$

(8V-2) менен (8V-4) тиң шешимлери атомлардың тербелислериниң жуўырыўшы монокроматик толқынның жәрдеминде тәрипленетуғынлығын көрсетеді (егер бул тербелислердиң жийиликлери дисперсиясының $\omega = \omega(k)$ акустикалық $\omega = \omega_{ак}(k)$ хәм оптикалық $\omega = \omega_{оп}(k)$ деп аталатуғын тармақларына сәйкес келетуғын болса). Квант механикасынан белгили болған Блох функциясы сыяқлы (8V-2) ниң де шешимлери кери пәнжере кеңислигинде дәўирли болып табылады. Сонлықтан (8V-2) толқынын Бриллюэнниң биринши зонасы шеклериндеги толқын векторы k ның функциясы деп қарасақ атомлар тербелислериниң барлық өзгешеликлери түсиникли болады.



29-сүўрет. Атомлардың сызықлы дизбегиниң тербелислерин таллаў ушын ушын дүзилген сызылма

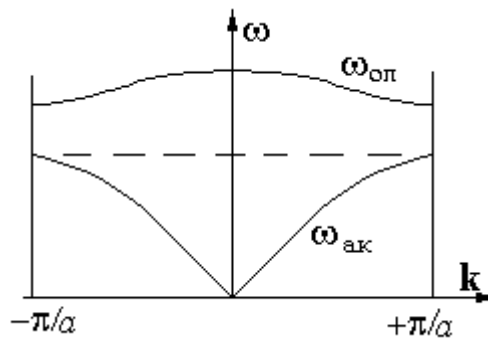
Бриллюэннің биринши зонасы ушын

$$-\pi/a \leq k \leq +\pi/a. \quad (8V-6)$$

(8V-2) ге квант механикасынан белгили болған Борн-Карман шегаралық шәртин қолланамыз:

$$ka_i = \frac{2\pi}{N} g_i$$

Бул шегаралық шөрт бойынша радиус-векторды туўры пәнжерениң N дана қутышасына жылыстырып қойғанда идеал кристалдағы электронның толқын функциясы өзгермей қалады. Соның менен бирге бул шөрт бойынша Бриллюэн зонасы шеклеринде толқын векторының проекциясы тек ғана N дана дискрет мәнислерге ийе бола алады. Сонлықтан биз қарап атырған жағдайда N қутышаға ийе болған кристалдың көлеми ушын Бриллюэн зонасы шеклеринде толқын векторы k ның проекциясы N дискрет мәнислерге ийе болады. Толқын векторының мәнислериниң бул дискретлилиги (ямаса квазиүзликсизлиги), соған сәйкес тербелислер жийиликлериниң дискретлилиги кристаллық пәнжерениң өзиниң дискретлилигиниң нәтийжеси болып табылады.



30-сүүрет. Тербелислердиң оптикалық хәм акустикалық тармақланының дисперсиясы

30-сүүретте $\gamma^2 > 0$ хәм $m_1 \neq m_2$ болған жағдайлардағы биринши Бриллюэн зонасы шеклеринде (8V-4) бойынша анықланған $\omega_{ак}$ пенен $\omega_{оп}$ лердиң k ға фәрездилиги көрсетилген (басқа сөз бенен айтқанда бул сүүретте тербелислердиң акустикалық хәм оптикалық тармақларының дисперсиясы келтирилген). Киши k лар жағдайында (узын толқынлар) (8V-4) ти киши параметрлер $ak \ll 1$ бойынша қатарға жайсақ

$$\omega_{ак} = vk, \quad v \approx \frac{1}{4} \omega_0 \gamma a, \quad \omega_{оп} \approx \omega_0 \left(1 - \frac{\gamma^2 a^2}{32} k^2\right). \quad (8V-7)$$

Бул аңлатпада v арқалы сестинң тезлиги белгиленген. Алынған аңлатпалар 30-сүүретте көрсетилгениңдей $k \approx 0$ болғанда акустикалық хәм оптикалық тармақлардың дисперси-

ясының хәр қыйлылығына сәйкес келеди [атап айтқанда $\omega_{\text{ак}}(0) = 0$, ал $\omega_{\text{оп}} \neq 0$]. Бул тербелісдердің басқа бир фундаменталлық қасиетін анықлау үшін

$$\frac{u_m'}{u_m''} = \frac{A'}{A''} = \frac{\beta_1 + \beta_2 \exp(-ika)}{(\beta_1 + \beta_2) - m_1 \omega^2}.$$

қатнасын таллаймыз. Узын толқынлар үшін ($k \rightarrow 0$) (8V-7) ни есапқа алып

$$\left(\frac{u_m'}{u_m''}\right)_{\text{ак}} = 1, \quad \left(\frac{u_m'}{u_m''}\right)_{\text{оп}} = -\frac{m_2}{m_1}. \quad (8V-8)$$

(8V-8) ден акустикалық тармақ үшін атомлардың бир фазада, ал оптикалық тармақ үшін атомлардың қарама-қарсы фазада тербелісі тән екенлігі көрінеді. Усындай нәтиже ең қысқа толқынлар үшін да алынады ($k \rightarrow \pi/a$ ямаса $\lambda \rightarrow 2a$ болған жағдайда). Егер m_1 хәм m_2 массаларына ийе атомлар зарядлары қарама-қарсы белгіге ийе ионлар болса оптикалық тербелісдер элементар қуыштардың диполь моменттерінің өзгеріуі менен байланыссы болады. Усы жағдай кристалдың инфрақызыл нурларды қосымша жұтыуының орын алуы менен көрінеді. 30-сүретте Бриллюэн зонасындағы барлық k лар үшін $\omega_{\text{ак}} < \omega_{\text{оп}}$ екенлігі көрініп тұр. Демек энергиялық жақтан талланғанда жеткілікті киші температураларда кристалларда акустикалық тербелісдер, ал жоқары температураларда оптикалық тербелісдер анықлаушы тербелісдерге айналады. Егер $\omega_{\text{ак}}^m = \omega_{\text{ак}}(\pi/a)$ арқалы акустикалық тербелісдердің шектік мәнісін белгілесек хәм $T_D = \hbar \omega_{\text{ак}}^m / k_0$ характеристикалық температурасын (Дебай температурасы) киргизсек, онда $T \leq T_D$ температураларында оптикалық тербелісдердің үлесін есапқа алмауға болатындығын көріуге болады.

Тап усндай жоллар менен үш өлшемлі кристаллардағы тербелісдерді де таллауға болады.

Қатты денелер физикасында атомлардың тербеліслері менен байланыссы болған кристаллық пәнжеренің элементар қозыулары **фононлар** деп атайды. Фононларды квазиимпульсы $\hbar k$ ға, энергиясы $\hbar \omega_k$ ға тең квазібөлекше сыпатында қарауға болады. Усындай жоллар менен, мысалы, электронлардың пәнжере тербелісдерде шашырауын, жыллылық өткізгішлікті таллау аңсатқа түседі.

Дебай температурасынан киші температураларда ($T < T_D$) фононлар квант статистикасындағы Бозе-Эйнштейн статистикасына бағынады хәм олардың жыллылық тең салмақтығындағы орташа саны Планк функциясы жәрдесінде есапланады:

$$n = \frac{1}{\exp(\hbar \omega / kT) - 1}. \quad (8V-10)$$

Бул жерде n аркалы көлеми $(2\pi\hbar)^3$ қа тең болған фазалық кеңіслік қуышасындағы энергиясы $\hbar\omega$ ға тең болған фононлардың теңсалмақлық саны. dk интервалындағы фазалық кеңіслік қуышаларының саны

$$dn_q = \frac{4\pi k^2 dk}{(2\pi\hbar)^3} V. \quad (8V-11)$$

V кристалдың көлеми.

$T < T_D$ температураларында тербелісдердің тек акустикалық тармағына кеуіп бөліп, (8V-7) бойынша акустикалық жийиліктер барлық k лар үшін сызықты байланысқан деп есептеп (яғни $k \approx \omega/v$) (8V-11) ди былайынша түрлендіреміз:

$$dn_q = \frac{3V}{2\pi^2 v^3} \omega^2 d\omega. \quad (8V-12)$$

Бул жерде 3 үш акустикалық модаға сәйкес келеді (екеуі көлденең, біреуі бойлық), ал v сестің орташа тезлігі.

Солай етип кристалдың V көлеміндегі фононлардың улыұмалық саны былайынша есепланады:

$$n dn_q = \frac{3V}{2\pi^2 v^3} \frac{\omega^2 d\omega}{\exp(\hbar\omega/kT) - 1}. \quad (8V-13)$$

Демек V көлеміндегі фононлардың толық энергиясы:

$$E = \frac{3V\hbar}{2\pi^2 v^3} \int_0^{\omega_{ak}^m} \frac{\omega^2 d\omega}{\exp(\hbar\omega/kT) - 1}. \quad (8V-14)$$

Бул аңлатпада ω_{ak}^m аркалы Бриллюэн зонасының шегарасына сәйкес келиуі акустикалық тербелісдердің максималлық жийилигі белгіленген. ω_{ak}^m ның мәнісі үш акустикалық тармақтағы тербелісдердің толық санының $3N^3$ қа теңлігінен анықланады:

$$\frac{3V\hbar}{2\pi^2 v^3} \int_0^{\omega_{ak}^m} \omega^2 d\omega = V * (\omega_{ak}^m)^3 / (2\pi^2 v^3) = 3N^3. \quad (8V-15)$$

Буннан

$$\omega_{ak}^m = v * \sqrt[3]{\frac{6\pi^2 N^3}{V}} = v * \sqrt[3]{\frac{6\pi^2}{\Omega_0}}. \quad (8V-16)$$

Бул формулада Ω_0 аркалы элементар қуышаның көлеми белгіленген. Енди (8V-16) менен (8V-9) ды пайдаланыу аркалы Дебай температурасы үшін төмендегидей аңлатпа аламыз:

$$T_D = v * \sqrt[3]{\frac{6\pi^2}{\Omega_0}} * \hbar * k_0. \quad (8V-17)$$

Жоқары температураларда фононлар энергиясы E ге оптикалық тербелісдердің қоса-туғын үлесі үлкен болады.

Кристаллардың жыллылық сыйымлылығы. Жоқары температураларда кристаллардың жыллылық сыйымлылығының тұрақты екенлігі белгілі. Бұл жағдай төмендегі-ден келіп шығады:

Газдердің кинетикалық теориясынан атомның бір координата көшери бағдарындағы кинетикалық энергиясы $\frac{1}{2}kT$ ға тең. Бұл бір еркінлік дәрежесіне сәйкес келіуі кинетикалық энергия болып табылады. Осциллятордың потенциал энергиясы кинетикалық энергияға тең болғанлықтан бір еркінлік дәрежесіне сәйкес келіуі толық энергия $2 * \frac{1}{2}kT = kT$ ға тең. Хәр бір атом үш еркінлік дәрежесіне ийе. Сонлықтан қатты денедегі атомның толық энергиясы $3kT$ ға тең. Ал қатты дене N дана атомнан тұратуғын болса, он-да оның толық ишкі энергиясы $3NkT$ ға тең. Бир моль қатты дененің ишкі энергиясы $3N_0kT$ ға тең болып $3N_0kT = 3RT$. Бұл жерде N_0 Авагадро саны болып табылады.

Тұрақты көлемде жыллылық берілгенде, бұл жыллылық толғын менен ишкі энерги-яны көбейтіу үшін жумсалады. Сонлықтан тұрақты көлемдегі атомлық жыллылық сыйымлылығы былай анықланады:

$$C_V = \left(\frac{dU}{dT} \right)_V = 34 \approx 6 \text{ кал/К*моль} \approx 25.12 \text{ Дж/К*моль}.$$

Бұл формуладан атомлық жыллылық сыйымлылығы барлық кристаллар үшін бірдей, температурадан ғәрезсіз тұрақты шама болып табылады. Усындай етип та-стыйықлау *Дюлонг-Пти нызамы* деп аталады.

Дебай температурасынан төменгі температураларда жыллылық сыйымлылығы тем-ператураға ғәрезлі хәм $T \rightarrow 0$ де $c_v \rightarrow 0$.

Жыллылық сыйымлылығының температураға ғәрезлілігі кристаллық пәнжере ато-мларының тербелісі хәққындағы көз-қараслар бойынша аңсат түрде алынады. Анықлама бойынша тұрақты көлемдегі кристаллық дененің жыллылық сыйымлылығы

$$c_v = \hbar E / \hbar T. \quad (8V-18)$$

Бұл аңлатпада кристалдың ишкі энергиясы E хәрипи менен белгіленген. Көрсетпе-лілік үшін екі температуралық областты қарап өтемиз: биріншісі Дебай температура-ларынан киши, ал екіншісі Дебай температураларынан жоқары температуралар областы.

$T < T_D$ болғанда E үшін аңлатпа (8V-14)-формула жәрдеминде бериледи. Интеграл астында тұрған аңлатпаларды киши параметр $\hbar\omega/k_0T$ бойынша қатарға жайып интегралласақ:

$$E \approx \pi^2 V (k_0 T)^4 / 10 \hbar^3 v^3 \quad (19)$$

аңлатпасын аламыз. Буннан (18) тийкарында Дебай формуласына келемиз:

$$c_v = \frac{12\pi^4 k_0}{5} \left(\frac{T}{T_D} \right)^3. \quad (20)$$

Дебай формуласы (8V-20) 10-50 К температуралар интервалындағы айырым әпиұайы қурылысқа ийе болған кристаллардың (силтили-галоид кристаллар менен көпшилик химиялық элементлер кристалларының) жыллылық сыйымлылығының температуралық ғәрезлилигин қанаатландырарлық дәрежеде тәриплейди. Ал қурамалы дүзиліске ийе кристалларда жыллылық сыйымлылығының температурадан ғәрезлилиги әдеуір қурамалы болып келеди. Бирақ бул жағдайларда да температуралардың абсолют ноли әтирапында жыллылық сыйымлылығының T^3 қа пропорционаллық нызамы сақланады.

Жеткилики жоқары температураларда ($T > T_D$) оптикалық тербеліслердің энергиясы гармоникалық осцилляторлардың жыйнағы модели бойынша классикалық тийкарда есепланады. Бундай жағдайларда жоқарыда гәп етилген Дюлонг-Пти нызамы келип шығады.

Фазалық өтиулер. Полиморфизм. Жоқарыда тең салмақлық кристаллық қурылыстың еркин энергияның минимумына сәйкес келетуғынлығы айтылған еди. Бирақ кең температуралар менен басымлар интервалында усындай минимумлардың саны бир неше болыуы мүмкин. Бундай жағдайда хәр бир минимумға өзинің кристаллық қурылысы сәйкес келеди. Бундай қурылысларды полиморфлық модификациялар хәмаса формалар, ал бир модификациядан екинши модификацияғы өтиу полиморфлық айланыс ямаса фазалық өтиу деп аталады.

Полиморфизм қубылысы 1822-жылы Митчерлих тәрәпинен күкирт хәм калий карбонаты кристаллары мысалында ашылды. Бул қубылыс кең терқалған. Мысалы, 13.3°C дан төменги температураларда қалайының алмаз типіндеги қурылысқа ийекублық модификациясы турақлы (бул модификация сур қалайы деп аталады). Ал 13.3°C дан жоқары температураларда көлемди орайласқан тетрагоналлық қурылысқа ийе ақ қалайы турақлы. Қалайының бул еки модификациясының физикалық қәсийетлери пүткиллей хәр қыйлы: ақ қалайы эластик қәсийетке ийе, ал сур қалайы морт. Кварц бир неше полиморфлық формаға ийе. Ферромагнетиктің парамагнетің халға, металдың аса өткізгішлік халға, параэлектриктің ферроэлектрик ямаса ферроэластик халларға өтиуі де фазалық өтиулер болып табылады. Бундай мысалларды көппеп келтириу мүмкин.

Заттардың фазалық құрамы хәм фазалардың тең салмақтылығы фазалық диаграмма ямаса хал диаграммасы жәрдеминде характерленеди. Фазалық диаграмманың әпиұайы мысалы ретінде p, T диаграмманы көрсетіу мүмкін (p - басым, T - температура). Бул жерде p хәм T координаталарына ийе фигуралық нокат деп аталатуғын хәр бир нокат берилген басым менен температурадағы заттың халын тәриплейди. Диаграммадағы $T = T(p)$ сызығы заттың мүмкін болған (мысалы газ тәризли, суйық, хәр қыйлы кристаллық) фазаларын айырып турады. 31-сүүретте күкирттиң фазалық диаграммасы келтирилген. Диаграммадағы ОД сызығы күкирттиң ромбалық хәм моноклинлик модификациялары тураклы болған T хәм p лардың мәнислерин айырып турады. Басым атмосфералық басымға тең болғанда ромбалық фазадан моноклинлик фазаға өтиу 368.5 K де әмелге асады. Диаграммада басым өскенде фазалық өтиу температурасының да өсетуғынлығы көринип тур.



31-рет. Күкирттиң халының әпиұайыластырылған диаграммасы.

Биринши хәм екінши әўлад фазалық өтиўлері. Биринши әўлад фазалық өтиўлері энтропия, көлем х.т.б. термодинамикалық функциялардың секирип өзгериуі менен әмелге асады хәм соған сәйкес өтиўдің жасырын жыллылығына ийе болады. Биринши әўлад фазалық айланыслары ушын $T = T(p)$ сыяқлы иймекликлер Клаузиус-Клапейрон теңлемесин қанаатландырады:

$$dT/dp = T(\Delta V/l). \quad (8V-30)$$

Бул жерде ΔV көлемнің өзгерісі, l өтиўдің жасырын жылыуы.

Екінши әўлад фазалық айланысларында термодинамикалық функциялардың туўындылары секирмели өзгереді (мысалы жыллылық сыйымлылығы, қысылғышлық хәм басқалар секириу менен өзгереді). Екінши әўлад фазалық айланысларында кристаллық структура үзлексіз өзгереді.

Биринши әўлад фазалық айланыслары структуралық механизмнен ғәрезсиз зародыш пайда болыу менен байланысly хәм белгили шамадағы температуралық гистерезиске (қыздырғандағы хәм салқынлатқандағы фазалық өтиу температураларының бирдей болмауы) ийе болады. Демек биринши әўлад фазалық өтиўлері артық қыздыру хәм артық салқын-

латыў менен байланысly. Усы жағдайға мысал ретинде биринши әўлад фазалық өтиўи болған кристалланыў процессин көрсетиўге болады.

Екинши әўлад фазалық өтиўлеринде температуралық гистерезис бақланбайды.

Биринши хәм екинши әўлад фазалық өтиўлеринде кристалдың симметриясы фазалық өтиў ноқатында (фазалық өтиў температурасында) секириў менен өзгереди. Бирақ биринши хәм екинши әўлад фазалық өтиўлеринде симметрияның өзгериўлеринде үлкен парық бар. Екинши әўлад фазалық өтиўлеринде бир фазаның симметриясы екинши фазаның симметриясының подгруппасы (киши группасы), ал усының менен бирге симметриясы жоқары болған фаза жоқары температуралы, ал симметриясы төмен болған фаза төменги температуралы болып табылады.

Биринши әўлад фазалық өтиўлеринде улыўма жағдайларда кристалдың симметриясы ықтыярлы түрде өзгереди хәм еки фаза улыўма симметрия элементлерине ийе болмаўы мүмкин.

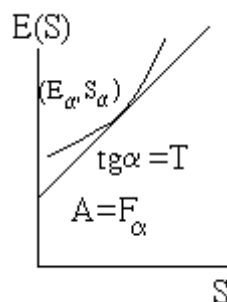
Атомлардың тербелислери хәм полиморф өтиўлер. Полиморфлық айланысларды санлық жақтан тәриплеў ушын мәселени термодинамикалық жақтан қараў тәбийий болып табылады. T температурасында кристал энергиясы E_α болған α фазасында болыў итималлылығы Больцман теоремасы бойынша былай есапланады:

$$2_\alpha = \exp \left(-\frac{E_\alpha}{k_0 T} \right) = \exp \left[-\frac{E_\alpha - TS(E_\alpha)}{k_0 T} \right]. \quad (8V-31)$$

Бул жерде $F_\alpha = E_\alpha - TS_\alpha$ еркин энергия, S - энтропия.

$$dE_\alpha/dS_\alpha = T \quad (8V-32)$$

шәртин қанаатландыратуғын E_α менен S_α ниң мәнислеринде итималлылық 2_α максимал мәнисине тең болады.



32-сүүрет. Кристалдың ишки энергиясы E ниң энтропия S тен ғәрезлилиги.

32-сүүретте кристалдың энергиясы E ниң энтропия S тен ғәрезлилиги көрсетилген. (8V-32) ге сәйкес T температурасында кристалдың тең салмақлық халы координаталары E_α , S_α болған ноқатқа сәйкес келеди. Бул ноқатта $E = E(S)$ иймеклигине түсирилген урын-

баның абсцисса көшери менен жасайтуғын мүйешиниң тангенци санлық шамасы бойынша температура T ға тең. Урынба ордината көшери менен координата басынан сан шамасы жағынан еркин энергия $F_\alpha = E_\alpha - TS_\alpha$ ға тең аралықта кесилеседи. Егер кристалда полиморфизм кубылысы орын алатуғын хәм соған сәйкес α хәм β фазалары бар болса (8V-31) ге сәйкес $T = T_0$ өтиў температурасы $2_\alpha = 2_\beta$ ямаса $F_\alpha = F_\beta$ шәртинен анықланады.

Егер кристалда атомлар бирдей жийиликте тербеледи деп есапласақ оның ишки энергиясы E былай есапланады:

$$E = E' + \hbar\omega n. \quad (8V-33)$$

Бул жерде E' температура нолге тең ($T = 0$) болғандағы кристалдың ишки энергиясы, ал n фононлардың концентрациясы. S энтропия энергияның конфигурациялық бөлими сыпатыда аңғартылады:

$$S = k_0 \ln P. \quad (8V-34)$$

P арқалы n дана фононлардың $3N$ еркинлик дәредеси бойынша бөлистириўлер саны аңлатылған (биринши Бриллюэн зонасы шеклериндеги толқынлық вектордың проекциялар санын N арқалы белгилеймиз). Сонда

$$P = (3N + n - 1) \frac{E!}{(3N - 1)! n!}. \quad (8V-35)$$

(8V-33), (8V-34) хәм (8V-35) лерди еркин энергияның $F = E - TS$ аңлатпасына қойып, еркин энергияның минимум шәрти $dF/dN = 0$ екенлигин есапқа алып, Стирлинг формуласы $\ln n! \approx n \ln n - n$ формуласын пайдалансақ төмендегидей формулаларды аламыз:

$$n = 3N \frac{1}{\exp(\hbar\omega / k_0 T) - 1}, \quad (8V-36)$$

$$F = E - TS = E' + 3Nk_0 T \ln[1 - \exp(-\hbar\omega/k_0 T)]. \quad (8V-37)$$

(8V-37) ге муўапық α хәм β фазалардың еркин энергиялары T температурасында төмендегидей шәртлерди қанаатландырады:

$$F_\alpha(T) = E'_\alpha + 3Nk_0 T \ln[1 - \exp(-\hbar\omega_\alpha/k_0 T)].$$

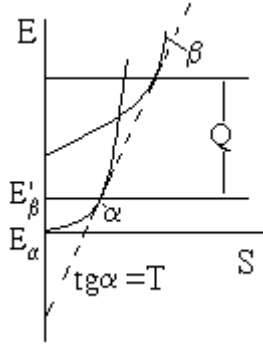
$$F_\beta(T) = E'_\beta + 3Nk_0 T \ln[1 - \exp(-\hbar\omega_\beta/k_0 T)]. \quad (8V-38)$$

Бул еки аңлатпаны бир бирине теңлестирсек

$$\exp \left[-\frac{E'_\alpha - E'_\beta}{3Nk_0 T_0} \right] = \frac{1 - \exp(-\hbar\omega_\alpha / k_0 T_0)}{1 - \exp(-\hbar\omega_\beta / k_0 T_0)}, \quad (8V-39)$$

алынған аңлатпадан $T = T_0$ фазалық өтиў температурасын алыў мүмкин.

(8V-39) дан полиморфлық айланыстың атомлардың тербелісіннің секиріуі менен өзгерісіне байланысты екенлігі көрініп тұр. Егер $E_{\beta}' > E_{\alpha}'$ болса (8V-39) $\omega_{\alpha} > \omega_{\beta}$ болғанда шешімге ийе болады. Демек β -фаза α -фазаға қарағанда ‘жұмсағынақ’ болғанда (пәндерге атомларына салыстырып айтылған) фазалық өтіуі әмелге асады. 33-сұрөттө еки фаза үшін $E = E(S)$ ғәрәзлілігі келтирилген:



33-сұрөт. α - хәм β -фазалар үшін $E = E(S)$ ғәрәзлілігі.

α -фазадан β -фазаға өтіуі $T = T_0$ температурасында жүреді, ал T ның мәнісі ийемкеліктерге түсірілген улыұмалық урынбаның қыялығы бойынша анықланады. Урыныұ ноқатлары арасындағы айырма фазалық өтіудің жасырын жыллылығына тең. $T < T_0$ болғанда β -фаза, ал $T > T_0$ болғанда α -фаза орнықты.

Фазалық өтіулерді жоқарыдағыдай етип тәріплеуі еки фазадағы $\omega_{\alpha} = \omega_{\alpha}(\mathbf{k})$ хәм $\omega_{\beta} = \omega_{\beta}(\mathbf{k})$ жийиликлеринің дисперсиясын есапқа алыу арқалы да әмелге асыруы мүмкін. Бундай жағдайда α - хәм β -фазалардың еркин энергиялары үшін аңлатпалар былай жазылады:

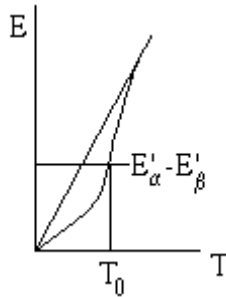
$$F_{\alpha}(T) = E_{\alpha}' + k_0 T \sum_{\mathbf{k}, s} \ln[1 - \exp(-\hbar \omega_{\alpha}^s(\mathbf{k}) / k_0 T)],$$

$$F_{\beta}(T) = E_{\beta}' + k_0 T \sum_{\mathbf{k}, s} \ln[1 - \exp(-\hbar \omega_{\beta}^s(\mathbf{k}) / k_0 T)]. \quad (8V-40)$$

Бул аңлатпада $\omega^s(\mathbf{k})$ толқын векторы \mathbf{k} , поляризациясы $s = 1, 2, 3$ болған фононның жийилигі. (8V-40) тағы суммалау Бриллюэннің биринши зонасындағы толқын векторы \mathbf{k} ның барлық дискрет мәніслери хәм тербеліслердің барлық тармақлары s бойынша жүргизиледи. Фазалық өтіу еоқатында F_{α} менен F_{β} ны теңлестіріп төмендегі аңлатпаға ийе боламыз:

$$E_{\alpha}' - E_{\beta}' = k_0 T \sum_{\mathbf{k}, s} \ln \frac{1 - \exp(-\hbar \omega_{\alpha}^s(\mathbf{k}) / k_0 T)}{1 - \exp(-\hbar \omega_{\beta}^s(\mathbf{k}) / k_0 T)}. \quad (8V-41)$$

(8V-41) диң оң тәрәпи температураның функциясын береді $\varepsilon = \varepsilon(T)$. 34-сүўретте усы функция келтирилген хәм бул иймектиктиң фазалық айланыс температурасы $T = T_0$ ди анықлайтуғын $\varepsilon = E_\alpha' - E_\beta'$ сызығы менен кесилисиўи сәўлеленген.



34-сүўрет. Усы сүўрет жәрдеминде фазалық өтиў температурасын анықлаў мүмкин.

Дебай температурасынан жоқары температураларда ($T > T_D$) (8V-41) диң оң тәрәпи температураның сызықлы функциясы болады:

$$\omega = k_0 T \sum_{k,s} \ln \frac{\omega_\alpha^s(\mathbf{k})}{\omega_\beta^s(\mathbf{k})} = k_0 T \ln \frac{\prod_{k,s} \omega_\alpha^s(\mathbf{k})}{\prod_{k,s} \omega_\beta^s(\mathbf{k})}. \quad (8V-42)$$

Бул теңлемениң оң тәрәпи турпайы түрде былай есапланыўы мүмкин. $\frac{\omega_\alpha^s}{\omega_\beta^s}$ қатнасы орнына поляризациясы s болған толқынлардың тезликлериниң қантасын алыўға болады, яғный

$$\frac{\omega_\alpha^s}{\omega_\beta^s} \approx \frac{v_\alpha^s}{v_\beta^s}. \quad (8V-43)$$

(8V-43) ти (8V-42) ге қойсақ

$$\varepsilon(T) \approx k_0 T \ln \prod_s \prod_k \frac{v_\alpha^s}{v_\beta^s} = k_0 T \ln \prod_s \left(\frac{v_\alpha^s}{v_\beta^s} \right)^N = \frac{v_\alpha^l v_\alpha^{t_1} v_\alpha^{t_2}}{v_\beta^l v_\beta^{t_1} v_\beta^{t_2}} \quad (8V-44)$$

Бул аңлатпадағы v^1 бойлық сес толқынының тезлиги, v^{t_1} хәм v^{t_2} α - хәм β - фазаларға тийисли сестиң көлденең тезликлери. Фазалық өтиў температурасы $T = T_0$ (8V-41)-теңлемени графикалық жоллар менен шешиў арқалы алыныўы мүмкин (сүўретте көрсетилген).

Жоқарыда жазылған аңлатпаларда тербелислер ангармонизми есапқа алынған жоқ. Екиншиден Дебай жақынласыўының қурамалы структурағы ийе кристалларда қанаатлан-

дырарлықтай нәтиже бермейтуғынлығы жоқарыда айтылған еди. Сонлықтан келтирип шығарылған формулаларды тек ғана әпиұайы қурылысқа ийе кристаллар ушын қолланыўға болады.

Дебай хал теңлемеси хәм Грюнайзен формуласы. Хал теңлемеси деп қатты денениң көлеми V , басымы p хәм температурасы T арасындағы қатнасты айтады. Теңлемени келтирип шығарғанда термодинамиканың

$$p = -(\partial p / \partial V)_T \quad (8V-45)$$

теңлемеси тийкарында жүргизиледи. Еркин энергия сыпатында (8V-40)-аңлатпадан пайдаланамыз:

$$F(T) = E_0 + k_0 T \sum_{k,s} \ln[1 - \exp(-\frac{\hbar \omega^s(\mathbf{k})}{k_0 T})].$$

Жийилик бойынша Дебай бөлистирилиўин есапқа алып (8V-40)-сумманы төмендеги интеграл менен алмастырамыз:

$$\begin{aligned} F &= E_0 + k_0 T \frac{3V}{2\pi^2 v^3} \int_0^{\omega_m} [1 - \exp(-\hbar \omega / k_0 T)] \omega^2 d\omega = \\ &= E_0 + 9Nk_0 T (T/T_D)^3 \int_0^{T_D/T} \ln(1 - \exp(-x)) x^2 dx. \end{aligned} \quad (8V-46)$$

Бул аңлатпада тербелислердің шеклик жийилиги ω_m хәм Дебай температурасы арасындағы байланыс $T_D = \hbar \omega / k_0$ арқалы берилген. (8V-45) тен туўынды аламыз хәм Дебай температурасы менен шеклек жийилик көлем V ның функциясы деп болжаймыз:

$$p = -\hbar E_0 / \hbar V - 3Nk_0 T_D \frac{T_D}{T} \frac{1}{T_D} (\hbar T_D / \hbar V). \quad (8V-47)$$

Бул жерде $D = D(z)$ Дебай функциясы. Өз гезегинде

$$D(z) = (3/z^3) \int_0^z \frac{x^3}{\exp x - 1} dx. \quad (8V-48)$$

Гармоникалық жақынласыўда $dT_D/dV = 0$ екенлигин хәм тербелислер ангармонизминің $dT_D/dV < 0$ алып келетуғынлығын көрсетиўге болады. Грюнайзен турақлысы деп температурадан ғәрезсиз болған төмендеги қатнасты айтамыз:

$$g_G = - (V/T_D)(dT_D/dV) = - (d\omega_m/\omega_m)/(dV/V) = - (d \ln \omega_m / d \ln V) > 0. \quad (8V-49)$$

Гармоникалық жақынласыуда $g_G = 0$. Температуранан ғәрезли болған ишки энергияның бөлими $E_T = 3Nk_0TD \frac{T_D}{T}$ болғанлықтан Дебай ҳал теңлемеси төмендегидей түрге ийе болады:

$$p = - \frac{\partial E_0}{\partial V} + g_G \frac{1}{V} E_T. \quad (8V-50)$$

Бул жерде $\frac{\partial E_0}{\partial V}$ температурадан ғәрезсиз.

(8V-50) ден сызықлы кеңейиў коэффициенти α ҳәм изотермалық қысылыўшылық k арасындағы байланысты тәриплейтуғын **Грюнайзен формуласын** алыўға болады. (8V-50) ди температура бойынша дифференциаллап ҳәм (8V-18) ди есапқа алып

$$\left(\frac{\partial p}{\partial T} \right)_V = g_G (c_v/V) \quad (8V-51)$$

аңлатпасын аламыз.

Кеңейиў коэффициенти менен изотермалық қысылыўшылық коэффициентлерин киргиземиз:

$$\alpha = \frac{1}{3V} \left(\frac{\partial V}{\partial T} \right)_p = \frac{1}{3V} \frac{\left(\frac{\partial p}{\partial T} \right)_V}{\left(\frac{\partial p}{\partial V} \right)_T} = - \frac{1}{3} \left(\frac{\partial V}{\partial p} \right)_T \frac{1}{V} \left(\frac{\partial p}{\partial T} \right)_V, \quad (8V-52)$$

$$k = - \frac{1}{V} \left(\frac{\partial V}{\partial p} \right)_T.$$

Усы еки аңлатпа тийкарында Грюнайзен формуласын аламыз:

$$\alpha = \frac{1}{3} \frac{kg_G c_v}{V}. \quad (8V-53)$$

Жоқары басымларда кристаллардың қысылыўшылығын изертлеў арқалы g_G Грюнайзен турақлысының мәнисин анықлап, оны (8V-53) жәрдемінде есаплаў жолы менен анықланған шамасы менен салыстырыў мүмкин. Кублық кристаллар ушын жақсы сәйкеслик алынады. Төменде айырым затлар ушын Грюнайзен турақлыларының мәнислери берилген:

Зат	Есапланған мәниси	Эксперимент	Зат	Есапланған мәниси	Эксперимент
Na	1.25	1.50	Ni	1.88	1.90
K	1.34	2.32	NaCl	1.63	1.52
Fe	1.60	1.40	KCl	1.60	1.26

Со	1.87	1.80			
----	------	------	--	--	--

Фазалық өтиўлер хэм кристаллардың симметриясы. Жоқарыда кристаллардың тербеліс спектри хэм термодинамикалық характеристикаларына байланысly фазалық өтиўлердің тийкарғы айырмашылықлары көрип өтилди. Термодинамикалық параметрлер өзгергенде кристалдың қурылысы үлкен өзгеріслерге ушырайтуғын хэм фазалардың қәсийетлери түпкиликли өзгеретуғын биринши әўлад фазалық өтиўлери талқыланды. Бундай жағдайларда бир бирине өтетуғын фазалардың атомлық-кристаллық қурылысы арасында белгили бир корреляцияның болыўы да, болмаўы да мүмкин. Биринши әўлад фазалық өтиўлерінде кристалдың симметриясының (фазалық теңсалмақлық сызығының еки тәрәпиндеги кристалдың атомлық-кристаллық қурылысы ямаса оның симметриясы ҳаққында гәп етилмекте) қалай өзгеретуғынлығы ҳаққында анық айтыў мүмкин емес.

Биз енди кристалдың атомлық қурылысы киши өзгеріске ушырайтуғын фазалық өтиўлери ҳаққында гәп етемиз. Бундай жағдайларда еки фазаның да қурылысын хэм термодинамикалық потенциалларын тәриплеў мүмкин. Екинши әўлад фазалық өтиўлерінде атомлық қурылыс үзликсиз, ал кристалдың симметриясы секириў менен өзгереді. Усының менен бирге кристалдың симметриясының үзликсиз өзгериўи мүмкин емес екенлиги атап өтемиз. Мысалы кублық қурылыстағы атомлардың киши аўысыўлары тетрагоналлық ямаса ромбоэдрлик майысыўға алып келеди, яғный кублық симметрия бирден жоғалады. Солай етип екинши әўлад фазалық өтиў нокатында еки фазаның қурылысы да, ҳалы да бирдей болады. Ал биринши әўлад фазалық өтиўинде болса ҳәр қыйлы қурылысқа хэм қәсийетлерге ийе болған еки фаза тең салмақлықта турады.

Бир фазаның симметриясының екинши фазаның симметриясының подгруппасы болатуғынлығы екинши әўлад фазалық өтиўлериниң ең әҳмийетли өзгешелигиниң бири болып табылады. Себеби атомлар аўысқанда тек ғана айырым симметрия элементлери жоғалып, басқалары сақланып қалады. Симметриясы жоқары болған фаза әдетте жоқары температуралы фаза болып табылады. Усының менен бирге ең жоқары симметриялы фазада нолге тең болған, ал симметрия төменлеген сайын нолден баслап белгили бир шекке ийе мәніске шекем өсетуғын базы бир шама бар болады (бул шаманы өтиў параметри ямаса тәртип параметри деп те атайды). Соның менен бирге өтиў параметриниң өзгеріси фазалық өтиўдеги симметрияның өзгерісин тәриплеў ушын толық жеткиликли болады. Термодинамикалық потенциалдың усы параметрден ғәрезилигин табыў еки фазаны да толық тәриплеўге мүмкиншилик береді. Теңсалмақлық фазаның қурылысы менен термодинамикалық потенциалды термодинамикалық потенциалдың минимумын табыў арқалы әмелге асырылады.

Мысал ретінде триглицинсульфат кристалындағы мүмкін болған ферроэлектриклик фазалық өтиўди қараймыз [Триглицинсульфат $(\text{NH}_2\text{CH}_2\text{COOH}) \cdot 6\text{H}_2\text{O}$ Кюри температурасы 49°C болған ферроэлектрик болып табылады. Кюри нокатынан жоқары температураларда триглицинсульфат моноклин пәнжереге ийе болып $P2_1/m$ симметрияның кеңісliğітегі топарына киреди. Ферроэлектриклик фазалық өтиў тәртіп-бийтәртіп типіндегі өтиў болып табылады хәм өжире температураларында да элементар қутыша моноклинлик болып қалады]. Бундай кристалларда электр поляризациясы векторы \mathbf{P} өтиў параметри болып табылады. Кристалдың симметриясы термодинамикалық потенциал Φ тиң \mathbf{P} векторының қураўшыларына ғәрезлилігіне белгилі бир шек қояды. Кристалдың симметриясы топарының барлық түрлендіріўлерінде Φ тиң өзгермеслігіне байланысly ол P_i қураўшыларының инвариантлық комбинацияларының функциясы болып табылады.

Триглицинсульфаттың жоқары температуралы фазасының симметриясының нокатлық топары $C_{2h} = 2/m$. z көшері екинші тәртіпті симметрия көшері бағытында бағытланған. Бундай жағдайда поляризация векторының қураўшыларының төрт инвариант комбинацияларына ийе боламыз: P_x^2 , P_y^2 , $P_x P_y$ хәм P_z^2 . Солай етип кристалдың симметриясынан термодинамикалық потенциалдың поляризациядан ғәрезлилігінің мынадай болатуғынлығын көреміз:

$$\Phi = \Phi(P_x^2, P_y^2, P_x P_y, P_z^2, T, p). \quad (8V-54)$$

Бул жерде T температура, p басым. Φ тиң басқа шамалардан ғәрезлилігін киши деп есаплап итибарға алмаймыз (мысалы деформация хәм т.б.). (8V-54)-аңлатпада симметрияның бериўи керек болған барлық информациялар бар. Енди (8V-54)-аңлатпаның минимум болыў мәселесін шешемиз. Жоқары температуралы фазада минимумның $P = 0$ ге сәйкес келетуғынлығын пайдаланамыз хәм биринші әўлад фазалық өтиўи орын алады деп есаплаймыз. Сонлықтан фазалық нокат этирапында \mathbf{P} ның барлық қураўшылары киши болып, Φ ти инвариант комбинациялардың дәрежелері бойынша жаямыз. Дәслеп инвариантлар бойынша сызықлы (P_i бойынша квадратлық) болған ағзалар менен шекленеміз:

$$\begin{aligned} \Phi = \Phi_0(T, p) + A_{11}(T, p) P_x^2 + 2A_{12}(T, p) P_x P_y + \\ + A_{22}(T, p) P_y^2 + A_{33}(T, p) P_z^2. \end{aligned} \quad (8V-55)$$

Жоқары температуралы фазада хәм фазалық өтиў нокатында (8V-55) тиң минимумы $P_i = 0$ нокатына сәйкес келеди, яғный P_x , P_y , P_z лер бойынша квадратлық форма оң мәниске ийе болыўи керек. Сонлықтан жоқары температуралы фазада хәм өтиў нокатында

$$A_{11} \geq 0; \quad A_{11}A_{22} \geq 0; \quad A_{33} \geq 0 \quad (8V-56)$$

теңсізліклериниң орынланыўи керек.

Фазалық өтиў ноқатында бул теңсизликлердин биреўи теңликке айланыўы керек. Бундай болмағанда өтиў ноқаты қасында барлық үш теңсизлик орынланған хәм фазалық өтиў болмаған болар еди. Төменги температуралы фазада бул теңсизлик бузылады хәм термодинамикалық потенциалдың минимумы нолден өзгеше болған P_x , P_y лерде (егер екинши теңсизлик бузылса) ямаса P_z те (егер үшінши теңсизлик бузылса) орын алған болар еди.

Дәслең A_{33} коэффициентиниң белгисиниң өзгеретуғын жағдайды қарайық. (8V-56) дағы екинши теңсизлик төменги температуралы фазада да орынланатуғын болғанлықтан термодинамикалық потенциалдың минимумы $P_x = P_y = 0$ болған жағдайға сәйкес келеди. Бул мәнислерди (8V-54) ке қойып Φ ти P_z^2 бойынша екинши тәртипте ағзаға шекемге дәлликте жайсақ

$$\Phi = \Phi_0 + \alpha(T - T_c) P_z^2 + \frac{1}{2} \beta P_z^4 \quad (8V-57)$$

аңлатпасын аламыз. Бул жерде $A_{33} = \alpha(T - T_c)$. α , β , T шамалары температураға әззи байланысқан. Сонлықтан бул байланысты есапқа алмаймыз. Анықлық ушын $\alpha > 0$ деп есаплаймыз, ал $\beta > 0$ деп болжаймыз ($\beta < 0$ биринши әўлад фазалық өтиўлерине сәйкес келеди). Бундай жағдайда $T > T_c$ да (8V-57)-аңлатпаның минимумы $P_z = 0$ ге (жоқары температуралы фаза), ал $T < T_c$ температураларында

$$P_z = \sqrt{\frac{\alpha(T_c - T)}{\beta}} \quad (8V-58)$$

ға сәйкес келеди, яғный поляризация $T = T_c$ температурасынан баслап пайда болады хәм температура төменлеген сайын үзликсиз өседі. Демек $T = T_c$ температурасында ҳақыйқатында да екинши әўлад фазалық өтиўи орын алады. Төменги температуралы фазаның ноқатлық топары $C_2 - 2$ топары менен тәриплениди, ал теңсалмақлық фазаның термодинамикалық потенциалы

$$\Phi = \Phi_0 - \frac{\alpha^2 (T_c - T)^2}{2\beta}$$

аңлатпасы менен бериледи.

Энтропия $S = \hbar\Phi/\hbar T$ өтиў ноқатында үзликсиз өзгереді (яғный екинши әўлад өтиў жыллылығы нолге тең), ал жыллылық сыйымлылығы $\Delta c_p = \alpha^2 T_c / \beta$ секирип өзгереді. Соның менен бирге төмен симметрияға ийе фазада жоқары симметриялы фазаға қарағанда жыллылық сыйымлылығы үлкен мәниске ийе. Диэлектрлик қабыллағышлық (поляризацияланғышлық) $\chi = (\hbar^2 \Phi / \hbar P^2)^{-1} = 2[\alpha(T - T_c) + 3\beta P_z^2]^{-1}$. Жоқары температуралы фазада $\chi = 2/\alpha(T - T_c)$ (Кюри-Вейссы нызамы), ал төменги температуралы фазада $\chi = 4/\alpha(T_c - T)$, яғный

х өтиу температурасында шексізлікке айналады. Тап усындай фазалық өтиу триглицин-сульфатта 49°C да орын алады.

11-санлы лекция. Кристаллардың оптикалық қасиеттері. Кристаллардың поляризациясы. Поляризацияның тийкары түрлері

Кристаллардың электрлік қасиеттері деп электр поляризациясы кубылысы менен қандай да байланысы бар кубылыстардың жыйнағына айтады. Айырым жағдайларда бундай поляризация сыртқы тәсир астында емес, ал өзінен өзі (спонтан түрде) болыуы мүмкін. Басқа жағдайларда поляризация қыздырудың, электр майданын түсірудің, механикалық жүк түсірудің нәтижесінде жүзеге келеді.

Физикалық кристаллографияда кристаллардың электрлік қасиеттері машқаласы салыстырмалы толық изертленілген машқалалардың бири болып табылады. Ең дәслеп диэлектриклердің анизотропиясы менен байланысқан қасиеттер терең изертленді. Мысалы кристаллардың диэлектрлік синиргишлиги ϵ тензорлық шама болып табылады. Бундай жағдай диэлектриклік қабыллағышлыққа, салыстырмалы электр өткізгішлікке хәм басқа да қасиеттерге тийісли.

Айырым диэлектрлік кристаллардағы спонтан поляризацияның болыуы изотроп кристалларда бақланбайтуғын пироэлектрлік эффекттің жүзеге келіуін болдырады. Бул кубылыс кристалды қыздырғандағы (ямаса сақынлатқандағы) спонтан поляризациясының өзгеріуіне байланысly. Кристаллардың салыстырмалы жаңа классы болған ферроэлектриклер пироэлектриклердің киши классларына киреди. Ферроэлектриклер ушын кристалдың доменлерге (спонтан поляризацияланған областларға) бөлиніуі тән. Усы доменлік қурылыс ферроэлектриклердің физикалық қасиеттерінің өзгешелигін тәмийінлейді.

Пьезоэффект (механикалық тәсирлер астында кристалларда электр поляризациясының пайда болыуы ямаса сырттан түсірилген электр майданындағы кристаллардың деформациясы) кубылысы да кристаллардың анизотропиясына байланысly.

Кристаллардың поляризациясы. Сыртқы электр майданына қойылған диэлектрик поляризацияға ушырайды. Диэлектриктің ишіндеги электр майданының кернеуілиги E ниң оның поляризациясы P ны есапқа алған жағдайда ғана анықланыуы мүмкін. E хәм P

векторлары менен қатар диэлектриктің қалы электр индукциясы векторы \mathbf{D} менен тәріпленеді. Усы \mathbf{D} , \mathbf{E} хәм \mathbf{P} векторлары арасында төмендегідей теңліктер менен анықланатуғын байланыстар бар:

$$\mathbf{P} = \alpha \mathbf{E}, \mathbf{D} = \mathbf{E} + 4\pi \mathbf{P}, \mathbf{D} = \epsilon \mathbf{E} \quad (\epsilon = 1 + 4\pi\alpha). \quad (\text{V-1})$$

Бул аңдатпалардағы α диэлектриктің полярланғышлығы, ϵ диэлектриктің диэлектриклик сиңиргішлігі. Диэлектриктерді өз ишине алатуғын денелердің ықтыярлы жыйнағы үшін электростатикалық майдан теңлемелерінің толық системасы төмендегідей түрге ийе болады:

$$\mathbf{E} = -\text{grad}\phi, \quad \mathbf{D} = \epsilon \mathbf{E}, \quad \text{Div} \mathbf{D} = 4\pi\rho, \quad D_{2n} - D_{1n} = 4\pi\sigma. \quad (\text{V-2})$$

Бул жерде ϕ электр майданы потенциалы, ρ еркин электр зарядларының көлемлік тығызлығы, D_{2n} менен D_{1n} индукция векторының екі диэлектрик арасындағы шегарадағы нормал қураушылары, ал σ болса еркин электр зарядларының усы беттегі тығызлығы.

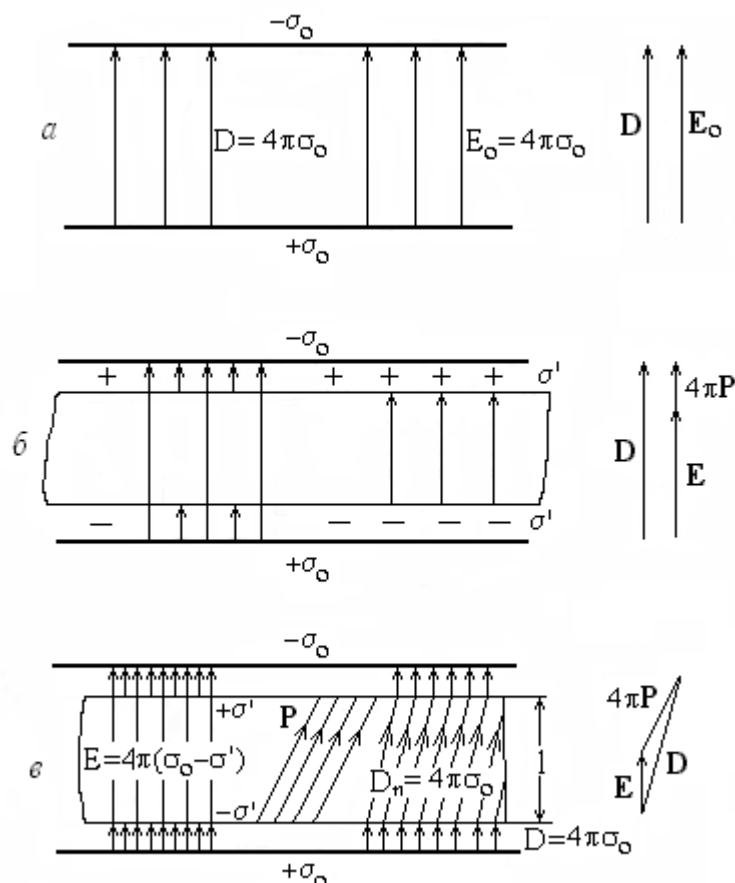
Изотроп орталықлар үшін ϵ менен α скалярлар болып табылады. Бул шамалар екі поляр векторды байланыстыратуғын болғанлықтан кристалларда, соның менен бирге барлық анизотроп орталықларда екінші рангалы тензорлар болып табылады хәм ϵ_{ij} , α_{ij} арқалы белгиленеді. \mathbf{D} , \mathbf{E} хәм \mathbf{P} векторлары арасындағы байланыстар 35-сүўретте келтирилген. Бул сүўретте диэлектриктің бетине белгиси еркин зарядлардың белгисине қарама-қарсы зарядлардың жыйналатуғынлығы көринип тур. Усы жағдайды хәм (V-1) ди қанаатландырыў зәрүрлігін есапқа алып диэлектриктің ишінде \mathbf{P} векторының бағытын терис белгиге ийе зарядлардан оң белгиге ийе зарядларға қарай аламыз.

Онсагердің симметрия принципіне сәйкес статикалық электр майданында магнит майданы болмаған жағдайларда ϵ_{ij} хәм α_{ij} тензорлары симметриялық тензорлар болып табылады.

Кристалларда улыўма жағдайларда \mathbf{D} хәм \mathbf{E} векторларының бағытлары өз ара параллел емес болғанлықтан оптикадағы сыяқлы усы векторлар бағытындағы ϵ_E хәм ϵ_D диэлектриклик сиңиргішлері түсиниклерін киргизиўимиз мүмкин. ϵ_E шамасы \mathbf{E} векторының усы векторға түсірілген \mathbf{D} ның проекциясынан неше есе қысқа екенлігі аңғартады. Тап сол сыяқлы ϵ_D шамасы \mathbf{D} векторының усы вектор бағытындағы \mathbf{E} ның проекциясынан неше есе ұзын екенлігін аңлатады.

Экспериментте 3_E шамасы өлшенеді. Бул шама ϵ_1 , ϵ_2 хәм ϵ_3 бас диэлектриклик сиңиргішліктердің мәніслері хәм \mathbf{E} векторының бағытлаушы косинустары менен былайынша байланысқан:

$$\epsilon_E = c_1^2 \epsilon_1 + c_2^2 \epsilon_2 + c_3^2 \epsilon_3. \quad (\text{V-3})$$



35-сүрөт. Вакуумдагы (а), изотроп диэлектриктеги (б) жәм конденсатор астарлары арасында орналастырылған анизотропиялык диэлектрик пластинадагы (в)

D , E жәм $4\pi P$ векторлары. σ жәм σ' лар еркин жәм поляризацияланған (байланысқан) зарядлардың тыгызлыгы.

Атомлар менен молекулалардың поляризациясы процессин караганда (микропроцесслерди караганда) *ишки ямаса тәсир етиўши электр майданы* түсиниги үлкен әҳмийетке ийе. Себеби макроскопиялык қаралғанда атомлық қурылысты есапқа алмайтуғын электр майданының кернеўлилиги E нәзерде тutyлады. Атомлар менен молекулалардың поляризациясы бул майдан арқалы анықланбай, ишки тәсир етиўши майдан F арқалы анықланады.

Әззи поляризацияға ушырайтуғын изотроп диэлектриклик орталық ушын Лоренц жақынласыўы дурыс нәтийже береді:

$$F = E + \frac{4\pi}{3} P. \quad (V-4)$$

Бундай жақынласыўда Клаузиус-Мосотти формуласы дурыс нәтийже береді. Бул формула диэлектриктің диэлектриклик сиңиргишлигин айырым микробөлекшениң поляриланғышлығы η менен былай байланыстырады:

$$\frac{M}{\rho} \frac{\varepsilon - 1}{\varepsilon + 2} = \frac{4\pi}{3} N_0 \eta. \quad (V-5)$$

Бул формуладағы M молекулалық салмақ, ρ диэлектриктің тығызлығы, N_0 Авагадро саны. Кейинги аңлатпаның оң тәрәпи моллик поляризация деп аталады.

Поляризацияның тийкарғы түрлері. Ферроэлектриклик қәсийетке ийе емес диэлектриклердеги поляризацияны төрт түрге бөлиў мүмкин:

- 1) электронлардың ядроларға салыстырғандағы аўысыўына байланысly болған поляризация (электронлық аўысыў поляризациясы);
- 2) кристаллық пәнжерениң ионларының бир бирине салыстырғандағы аўысыўына байланысly поляризация (ионлық аўысыў поляризациясы);
- 3) кристалдың қурамындағы тураклы дипол моментлериниң бағытларының өзгеріўине байланысly поляризация (жыллылық ориентациялық поляризациясы);
- 4) эззи байланысқан ионлардың қазғалысына байланысly болған поляризация (жыллылық ионлық поляризациясы).

Поляризацияның кейинги еки түри әдетте релаксациялық поляризациялар деп аталады.

Электронлық аўысыў поляризациясы барлық диэлектриклер ушын улыўмалық кубылыс болып табылады. Бул поляризация атом ямаса иондағы эззи байланысқан электронлардың серпимли аўысыўы нәтийжесинде жүзеге келди. Электронлық аўысыў поляризациясының орнаўы ушын зәрүр болған ўақыт жақтылық тербелислери дәўири менен барабар хәм 10^{-14} - 10^{-15} секундты қурайды.

Диэлектриктің диэлектриклик сиңиргишлиги ε улыўма жағдайларда поляризацияның хәр қыйлы поляризациясы менен байланысқан болыўы мүмкин. Бирақ оптикалық жийиликлер областында ε дерлик толығы менен электронлық поляриланғышлық пенен анықланады. Бул жағдайда $n^2 = \varepsilon$ (n сыныў көрсеткиши) хәм (V-5) формуласы бир бирлик көлем ушын төмендегидей түрге ийе болады:

$$\frac{n^2 - 1}{n^2 + 2} = \frac{4\pi}{3} N_8 \eta_8. \quad (V-6)$$

Бул аңлатпада N_8 көлем бирлигиндеги 8-сорттағы атомлар саны, η_8 8-атомның электронлық поляриланғышлығы.

(V-6) формула жәрдеминде анықланған сыныў көрсеткиши n ди пайдаланып электронлық поляриланғышлық η ның мәнисиниң дәл мәнисин есаплаў мүмкин. Бул шаманың мәниси атомлардың радиусының кубына, яғный 10^{-24} см^3 қа тең.

Поляр емес молекулалардан туратуғын кристалларда (алмаз, нафталин, парафин) таза түрдеги электронлық поляризация бақланады. Бундай материалларда барлық жийиліклерде де $n^2 = \epsilon$ теңлиги орынланады.

Ионлық аўысыў поляризациясы тийкарынан ионлық кристалларда (ионлық байланыс орын алатуғын кристалларда) бақланады. Бундай кристалларда ионлық поляризация менен бир қатарда электронлық аўысыў поляризациясы да бақланады. Бирақ бул жағдай тийкарында бир қатар ионлық кристаллардың диэлектриклик сиңиргишлигин түсиндириў мүмкин емес. Мысалы, хлорлы натрий кристаллы ушын $n = 1.5$, ($n^2 = \epsilon_\infty = 2.25$). Ал статикалық диэлектриклик сиңиргишлик $\epsilon_s = 5.62$. Статикалық хәм оптикалық диэлектриклик сиңиргишликлер арасындағы бундай айырманы ионлық аўысыў поляризациясы менен байланыстырыў керек.

12-санлы лекция. Электр өткізгішлік. Диэлектриклик жоғалтыўлар. Пирозлектрлик қубылыслар. Пьезоэлектрлик эффект хәм электрострикция

Сызықлы диэлектрик кристаллар тийкарынан ионлық өткізгішлікке ийе болады (меншикли хәм қосымталық).

Көп санлы кристаллардағы өткізгішлікті изертлеў тийкарғы тоқ тасушылардың зарядлары бирдей болғанда киши өлшемлі ионлар, ал хәр қыйлы зарядқа ийе шама менен бирдей өлшемлі ионлар бар жағдайларда ең киши зарядқа ийе ионлар екенлиги көрсетеді. Мысалы NaCl кристалында тийкарғы тоқ тасушылар Na^+ ионы, ал PbCl_2 кристалында Cl^- екенлиги көрсетеді. Айырым кристалларда электр өткізгішлік еки белгиге ийе ионларға да байланысly (мысалы PbS кристаллы). Ал жоқары температураларда тоқты тасуға хәр қандай зарядқа ийе ионлардың барлығы да қатнасады (мысалы 600°C дан жоқары температураларда NaCl , NaF кристалларында Cl^- хәм F^- ионлары да тоқ тасуға қатнаса баслайды).

Күшли электр майданларында ионлық өткізгішлікке электронлық өткізгішлік қосылады. Бундай эффект кварцта, тас дузында, басқа да кристалларда табылды.

1 см³ көлемдегі электр майданы тәсирінде қозғалатуғын бөлекшелер саны n дана, хәр бир бөлекшениң заряды e ге тең, ал қозғалғышлығы χ болса, онда өткізгішлік σ ның шамасы былай есапланады:

$$\sigma = ne\chi. \quad (V-7)$$

Ионлық кристалларда электр өткізгішлік кристаллық пәнжере ионларының қозғалысы менен байланысly болыуы да мүмкин. Бундай электр өткізгішлік меншикли өткізгішлік деп аталады хәм жоқары температураларда жақсы бақланады. Соның менен бирге ионлық кристаллардың электр өткізгішлиги қосымта ионлардың қозғалысы менен байланысly болыуы мүмкин. Усындай ионлар кристалдың қосымталы өткізгішлигин тәмийинлейди. Бундай өткізгішлік салыстырмалы төмен температураларда айқын бақланады. Көпшилик жағдайларда бир кристалда электр өткізгішлік пәнжере ионлары менен де, қосымта ионлар менен де жүзеге келеди. Ионлық емес кристаллар (мысалы молекулалық кристаллар) тийкарынан қосымта электр өткізгішлікке ийе болады.

Кристаллардағы ионлардың қозғалысы еки жол менен әмелге асады:

а) олар пәнжерениң түйинлери арасында Френкель бойынша дефектлерди пайда етиу менен қозғалады.

б) олар ийеленбеген түэинлер арқалы секирип қозғалады (Шоттки бойынша дефектлер), ионлардың бундай қозғалысы тесикшелердің қозғалысы сыпатында қаралады.

Еки түрли электр өткізгішлік те

$$\sigma = Ae^{-B/T} \quad (V-8)$$

аңлатпасы менен аңлатылады. Бул аңлатпадағы B активация энергиясы деп аталады хәм температураға ғәрезли емес. B шамасы кристалдағы ионның энергиясы хәм бир турақлы халдан екінши турақлы халға көшириу ушын зәрүр болған энергияға тең.

Жоқарыда кристаллардың жоқары температураларда меншикли өткізгішлікке, ал төменги температураларда қосымталы өткізгішлікке ийе болатуғынлығы айтылған еди. Бул жағдай

$$\sigma = A_1 e^{-B_1/T} + A_2 e^{-B_2/T} \quad (V-9)$$

формуласы менен анықлау зәрүрлигин келтирип шығарады. Бул аңлатпадағы 1 индекси пәнжере ионларына, ал 2 индекси қосымта ионларға тийисли. Бул аңлатпадан B_1 активация энергиясының B_2 активация энергиясынан үткен екенлиги көринип тур.

Ионлық емес кристаллардың электр өткізгішлиги

$$\ln \sigma = A - B/T \quad (V-10)$$

формуласы менен тәрипленеди. Бул формула (V-8) бенен сәйкес келеди. Бул өткізгішлік көпшилик жағдайларда қосымта ионларға байланысly. Кварц ушын электр өткізгішлік с

көшери бағытында (оптикалық көшер) оған перпендикуляр бағыттағыдан артық (активация энергиясы сәйкес 0. II хәм 1.32 эв қа тең). Кварцтың салыстырмалы қарсылығы оптикалық көшер бағытнда 10^{14} ке, ал перпендикуляр бағытта (шама менен) 10^{16} ом*см ге тең. 500°C температурада кварцтың қарсылығы шама менен бес тәртіпке төменлейди. Бул кристалдағы бир зарядлы қосымта Na, K, Li ионлары тийкарғы тоқ тасыўшылар болып табылады.

Диэлектриклик жоғалтыўлар. Өзгертмели электр майданында диэлектриклер әдетте қызады. Қыздырыў ушын жумсалатуғын өзгертмели тоқты *диэлектриклик жоғалыўлар* деп аталады. Толық диэлектриклик жоғалыў турақлы кернеўге сәйкес келиўши өткізгішлік жоғалыўынан хәм диэлектриктеги аўысыў тоғының актив қураўшысы менен байланыслы болған жоғалыўдың қосындысынан турады.

Солай етип диэлектриклик жоғалыўлар поляризацияның орнаўы менен байланыслы болып шығады. Бирақ электронлық хәм ионлық аўысыўлардың тез әмелге асатуғынлығына байланыслы электр майданының энергиясының сезилерликтей жоғалыўына алып келмейди. Усындай поляризацияға ийе кристаллардағы диэлектриклик жоғалыўлар жүдә аз.

Жыллылық қозғалыслары нәтижесинде әмелге асатуғын поляризацияға ийе кристалларда (жыллылық ориентациялық хәм жыллылық ионлық) поляризацияның орнаўы абсорбциялық тоқлар менен байланыслы. Өзгертмели кернеўлерде абсорбциялық тоқлар еки қураўшыдан турады: биреўи (j_a) түсірилген кернеў менен бир фазаға ийе болып тоқтың актив қураўшысын пайда етеди, екіншиси (j_w) кернеўден фазасы бойынша $\pi/2$ шамасына алдыда жүретуғын тоқты тәриплейди хәм тоқтың реактив (сыйымлылық) қураўшысы болып табылады. Солай етип диэлектрикте поляризация әстелик пенен орнайтуғын болса өзгертмели майданда өткізгішлік жоқ болған жағдайларда да диэлектриклик жоғалыўлар бақланады.

Пироэлектриклик қубылыслар. Айырым кристаллық денелерде қыздырғанда электр зарядының пайда болатуғынлығы (бир тәрпиниң оң, ал екінши тәрпиниң терис заряд пенен зарядланатуғынлығы) көп ўақытлардан бери белгили. Бул қубылыс *пироэлектриклик* деп аталады. Көп ўақытлар даўамында турмалин кристаллы пироэлектриклик кристал сыпатында изертленип келди. Кейинирек пироэлектриклик қасийетке барлық он поляр классқа (1, 2, 3, 4, 6, m, mm2, 3m, 4mm, 6mm) криўши диэлектриклердиң ийе болыўының кереклиги анықланды.

Пироэлектриклик қасийетке спонтан поляризацияланатуғын барлық кристаллар ийе, ал спонтан поляризацияның температураға байланыслы өзгериўи *пироэлектриклик эффект* деп аталады.

Пироэффектти тәриплейтуғын термодинамикалық қатнастарды талқылау кери эффекттиң орын алатуғынлығын көрсетеди: кристалдың спонтан поляризациясын өзгертуіши электр майданы түскенде оның температурасының өзгеріуі керек. Бул эффект электркалориялық эффект деп аталады.

Көп уақытлар дауаында пироэлектрик хәм электрокалориялық эффектлер қызықлы физикалық кубылыстар сыпатында қаралып келди хәм әмелде пайдаланылған жоқ. Себеби бул кубылыстар тийкарынан сызықлы пироэлектриклерде изертленилди.

Пироэлектрик хәм электркалориялық эффектлерге қызығыушылық ферроэлектрик кристалларда бақланатуғын қасийетлердің әхмийетлигине (спонтан поляризацияның температураға ғәрезлиги, фазалық айланыстар, ферроэлектрик фазалық айланыстың нәтийжесинде кристаллардың доменлерге бөлинуі хәм усығын байланыслы болған сызықлы емес физикалық қасийетлер) байланыслы бирден артты. Хәзирги уақытлары пироэлектрик кристаллар инфрақызыл нурланыуларды сезгир қабыллағышларда, температураның өзгеріуін өлшеуіши әсбапларда, жылылық энергиясын электр энергиясына айландырушы қурылыстарда кеңнен қолланылады.

Пироэлектрик эффект теңлемеси температура ΔT шамасына өзгергендеги спонтан поляризацияның өсими ΔP_s ти тәриплейди. Биринши жақынлауда ΔP_s хәм ΔT шамалары арасында сызықлы байланыс орын алады:

$$\Delta P_s = p \Delta T. \quad (V-11)$$

Бул аңлатпада p пироэлектрик коэффициент. T менен P_s тиң шексиз киши өсимин алсак:

$$\partial P_s / \partial T = p. \quad (V-12)$$

Температураға байланыслы P_s тиң өзгеріуі еки себепке байланыслы болады. Биринши гезекте температура өзгергенде кристал өзиниң өлшемлери өзгертеди: қысылады ямаса кеңейеди. Демек температурның өзгеріуі менен кристалдың қурылысында өзгерислер болмаған жағдайда да кристалдың спонтан поляризациясы өзгериске ушырайды. Себеби спонтан поляризацияға алып келиуіши кристалдың көлем бирлигиндеги зарядлар муғдары менен диполлар моментлери өзгериске ушырайды. Сонлықтан пироэлектрик эффектте кристалдың жыллылық кеңейуіне (яғный деформациясына) байланыслы да бөлим болатуғынлығы түсиникли. Пироэлектрик эффекттиң деформацияға байланыслы болған бөлеги (бул бөлекті пьезоэлектрик бөлеги деп та атаймыз) *екинши* ямаса *жалған* пироэлектрик эффект деп атаймыз. Бул бөлекті тәриплейтуғын коэффициентти p'' арқалы белгилеймиз.

Дәслепки уақытлары пироэлектрик эффектти толығы менен екнши пироэлектрик эффект пенен байланыслы деп есаплады. Бирақ кейинирек жылылық кеңейуі болмаған

жағдайда да (кристал қысып қойылған жағдайларда да) пироэлектрик эффекттің бааланатынын анықталады. Кристалдың деформациясына байланысты болмаған пироэффекттің бөлімін бірінші ямаса хақықый пироэлектрик эффект деп атаймыз хәм p' хәрипи менен белгилейміз. Сызыклы пироэлектриклерде хақықый пироэффект толық эффекттің 2-5 процентін ғана құрайды.

Бірінші хәм екінші пироэффектлерге бөлінген пироэффект теңлемесін енді былай жазамыз:

$$\Delta P_s = (p' + p'') \Delta T = p \Delta T. \quad (V-13)$$

ΔP_s векторлық шама болғанлықтан p , p' , p'' лер де векторлық шама болып табылады.

Сызыклы диэлектриклерде өжире температураларында әдетте p температурадан дерлік ғәрезли емес. p ның абсолют мәнісі бір электростатикалық бірлікке жақын. Мысалы турмалин үшін $p = -1.3$ СГСЭ бірлігіне тең. Турмалиннің поляризациялануы үшін көргізбелі мысал келтіріу мүмкін. Пироэлектрик көшеріне перпендикуляр етіп кесілген қалыңдығы 0.1 см болған турмалин 10 градусқа қыздырылғанда шама менен $5 \cdot 10^{-9}$ к/см² электр зарядын тоқпайды, ал пластинка бетлери арасындағы потенциаллар айырмасы 1200 вольттей болады.

Электрокалориялық эффект төмендегідей теңleme менен тәріпленеді:

$$\Delta T = q \Delta E \quad (V-14)$$

ямаса дифференциал түрде

$$q = \hbar T / \hbar E. \quad (V-15)$$

q электркалориялық эффект коэффициенті.

q хәм p коэффициентлери арасындағы байланысты аңсат анықлауға болады.

P_s спонтан поляризацияға ийе пироэффектти термодинамикалық жақтан қарағанымызда усы P_s тиң өзгерісі тек ғана кристалдың белгилі бір мұғдардағы жылылық ұсалап тұруына тәсір етеді деп есептейміз. Бул жағдайда кристалдың ішкі энергиясы өзгеріссіз қалады. Сонлықтан

$$dU = 0 = EdP + TdS, \quad T = -EdP/dS, \quad (V-16)$$

$$\frac{\partial T}{\partial E} = -\frac{\partial P}{\partial S} = -\frac{\partial P}{\partial T} \frac{\partial T}{\partial S}. \quad (V-17)$$

Бул аңлатпалардағы S энтропия. $\frac{\partial T}{\partial E} = q$, $\frac{\partial P}{\partial T} = p$ болғанлықтан ($dS = dU/T$, $dU = dT \rho c J$

(ρ тығызлық, c кристалдың жылылық сыйымдылығы, J жылылықтың механикалық эквиваленті). Сонлықтан

$$q = -pT/\rho c J. \quad (V-18)$$

Есаплаулар бойынша қалыңлығы 1 мм болған турмалин кристаллы 300 в кернеу түсірілгенде температурасын $5 \cdot 10^{-5}$ градусқа өзгертеді.

Пьезоэлектрик эффект хәм электрострикция. Пьезоэлектрик эффект деп механикалық кернеу (деформация) менен электр майданын (индукция, поляризация) сызыклы (пропорционаллык) байланыс кубылыстардың жыйнағын айтамыз.

Механикалық кернеулер тензоры t_{ik} , деформацияларды ϵ_{ik} , электр майданының кернеулигин E , поляризацияны P ($P = D/4\pi$) арқалы белгилеймиз. Сонда пьезоэффект теңдемелери төмендегидей түске ийе болады:

$$\begin{aligned} P_n &= d_{nji} t_{ji}, & f_{ij} &= d_{mij}, \\ P_n &= e_{nij} f_{ij}, & t_{ji} &= -e_{mji} E_m, \\ E_m &= -h_{mij} f_{ij}, & t_{ji} &= -h_{nji} P_n, \\ E_m &= -g_{mij} t_{ji}, & f_{ij} &= g_{nij} P_n. \end{aligned} \quad (V-19)$$

d , e , g хәм h шамалары 3-рангалы поляр тензор болып табылады хәм пьезоэлектрик коэффициентлер деп аталады. (V-19) дың шеп тәрәпи менен оң тәрәпиндеги бағана бойынша жазылған теңдемелер сәйкес тууры хәм кери пьезоэффектлерди тәриптейди.

СГСЕ системасында e хәм h коэффициентлери электр поляризациясы өлшем бирліклерине ийе ($\text{см}^{-1/2} \cdot \Gamma^{1/2} \cdot \text{с}^{-1}$), ал g менен d коэффициентлери кери өлшем бирліклерине ийе ($\text{см}^{1/2} \cdot \Gamma^{-1/2} \cdot \text{с}$).

Тәжірийбелер уақытында кристалдың еки бети туйықлынған ямаса туйықланбаған болуы мүмкин. Егер кристалдың (пластинканың) σ' пьезополяризацияланған зарядлар шығатуғын еки бети өткізгіш пенен тутастырылған ямаса кристалдың өзи өткізіуші орталықта жайласқан болса туйықланған деп есаплаймыз. Бетке ‘ағып’ келген еркин заряд σ_0 хәм ол тәрәпинен компенсацияланған σ' шамасы жағынан тең, ал бағытлары менен қарама-қарсы: $-\sigma_0 = \sigma'$. Кристалдың еки бети туйықланбаған болса ямаса кристал ток өткізбейтуғын орталықта жайласқан болса кристалды “туйықланбаған” деп есаплаймыз хәм бул жағдайда $P = \sigma'$. Бул жағдайда электр индукциясы $D = 0$ (кристалда еркин зарядлар жоқ). σ' байланысқан зарядлары пластнка ишінде $E = -4\pi\sigma'/\epsilon$ майданын пайда етеди (ϵ кристалдың диэлектриклик сиңиргішлігі).

Кери пьезоэффектте P деп еркин зарядлардың бетлик тығызлығы σ_0 ди түсінемиз. Бундай жағдайда кристал туйықланбаған. Сыртқы электр майданы E берилсе кристал туйықланған болып табылады (батарея тәрәпинен туйықланған).

3-рангалы пьезоэлектрик тензорлары d , e , g хәм h лар еки индекс бойынша (екінші хәм үшінші) симметрияға ийе болғанлықтан улыўма жағдайларда 27 емес, ал 18 ғәрезсиз

қураушыларға ийе болады. Нолге тең емес барлық қураушылар симметрия орайына ийе емес кристалларда ғана болады (432 классы бұл жағдайға кирмейди, бундай кристалларда симметриясына байланысly пьезоэлектрлик коэффициентлер тензорларының барлық қураушылары нолге тең). Бундай класлар саны 20: 1, 2, m, 222, mm2, 4, $\bar{4}$, 422, 4mm, $\bar{4}2m$, 3, 32, 3m, 6, $\bar{6}$, 622, 2mm, $\bar{6}m2$, 23, $\bar{4}3m$. Усындай классларға кириўши кристаллар пьезоэлектриклер де болып табылыўы мүмкин деп кесип айтыўға болады.

Пьезоэффект орайға қарата симметриялы кристалларда болмайды. Себеби симметрия орайы бар кристалдың симметриясын бир текли механикалық курнеўдин симметриясын (бир текли механикалық кернеў де симметрия орайына ийе) қосыў симметрияның Кюри принципине сәйкес орайға қарата симметрия орайына ийе топарға алып келеди. Басқа сөз бенен айтқанда орайға қарата симметрияға ийе кристалл деформациялағаннан кейин де орайға қарата симметриялы болып қалады. Бундай кристалларда поляр бағытлар болмай-туғын болғанлықтан электр поляризациясы орын алмайды.

Кварц (SiO_2) ең жақсы изертленген пьезоэлектрлик кристал болып табылады. Кварцтың төменги термпературалық модификациясы (α кварц) ромбоэдрлик системаға жатады (32 классы, симметриясының кеңисликтеги топары $D_3^4 = C_{3i}21$). Өжире температурларында $a = 4.90 \text{ \AA}$ хәм $c = 5.39 \text{ \AA}$ параметрлерине ийе элементар қутышасында SiO_2 “молекуласы” жайласқан болады. Кристалдың қурылысының мотивин $[\text{SiO}_4]$ тетраэдрлері пайда етеди. Тетраэдрлер бираз майысқан: еки Si-O аралығы 1.61, ал қалған екеўинде 1.62 \AA .

573 $^{\circ}\text{C}$ температурасы қаытнда кварц фазалық айланысқа ушырайды хәм бұл температурадан жоқары температураларда гексагонал қурылысқа ийе болады (класс 622, симметриясының кеңисликтеги топары $D_6^5 = P6_122$). Бұл модификация β кварц деп аталады хәм ол 573-870 $^{\circ}\text{C}$ температуралар интервалында тұрақлы. Жоқарырақ температураларда кварцтың және тримидит хәм кристобалит деп аталыўшы еки модификациясы белгили.

Кварцтың α хәм β модификациялары пьезоэлектрлик қәсийетлерге ийе.

Кварцтағы пьезоэффекттиң баслы өзгешелиги оның симметриясына байланысly Z көшериниң бағытында (с көшери) пьезоэффекттиң бақланбайтуғынлығында болып табылады. Кварцтың эпийайы пьезоэлектриклик кесимлері болып X хәм Y кристаллофизикалық координата көшерлерине перпендикуляр болған X хәм Y кесимлері болып табылады. X кесиндиси пластинкалары әдетте бойлық, ал Y кесиндиси пластинкалары көлденең пьезоэффектти қоздырыў ушын қалланылады.

Х өшерине перпендикуляр болған пластинкадағы бойлық пьезоэффекттиң теңлемеси

$$P_1 = d_{11}t_1, \quad (V-20)$$

ал Y көшерине перпендикуляр болған пластинкадағы пьезоэффекттиң теңлемеси

$$P_2 = -d_{11}t_2 \quad (V-21)$$

түріне ийе болады.

Жылжыу кернеуі менен болдырылған пьезоэлектрик поляризация d_{14} пьезомодули жәрдеминде анықланады.

СГСЭ системасында

$$d_{11} = -6.76 \cdot 10^{-8}, \quad d_{14} = 2.56 \cdot 10^{-8}.$$

Х көшерине перпендикуляр болған қалыңлығы 1 см болған кварц пластинкасына 1000 в кернеуі түсірілгенде пластинканың қалыңлығы 21 \AA ге жуқарады. Тап усындай пластинкаға Х көшери бағытында $1 \text{ кг} \cdot \text{см}^{-2}$ кернеуі түсірлесе усы көшер бағытындағы пайда болған потенциаллар айырмасы 60 в ке тең болады.

Электрострикция. Сырттан түсірілген электр майданының кернеуілиги E ниң квадратына пропорционал болған диэлектриктің деформациясы *электрострикция* деп аталады.

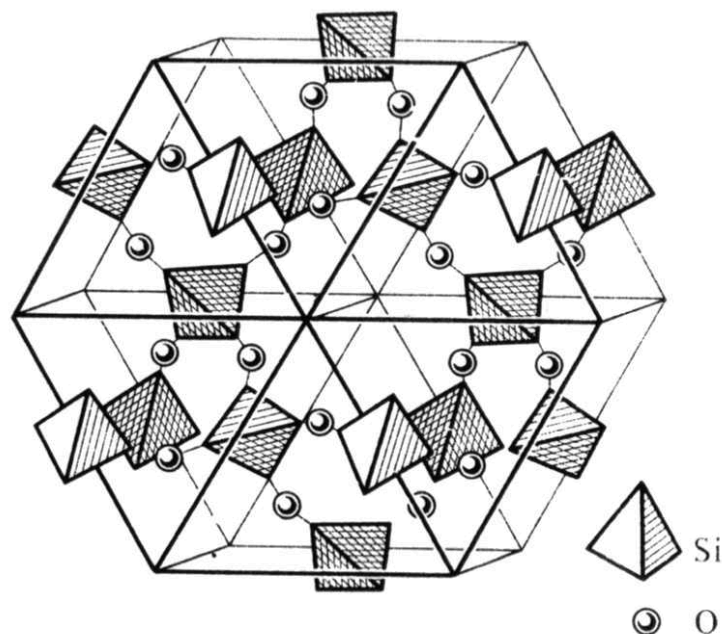
Мәселениң механикалық тәрепин кернеуі t хәм деформацияны ε хәрипи, ал электрлик тәрепин майдан кернеуілиги E хәм поляризация P арқалы белгилеп электрострикцияның төрт теңлемесин жазамыз:

$$\begin{aligned} \varepsilon_{ij} &= 1_{ijmn} P_m P_n, & \varepsilon_{ij} &= 4_{ijmn} E_m E_n, \\ t_{ij} &= G_{ijmn} P_m P_n, & t_{ij} &= H_{ijmn} E_m E_n. \end{aligned} \quad (V-22)$$

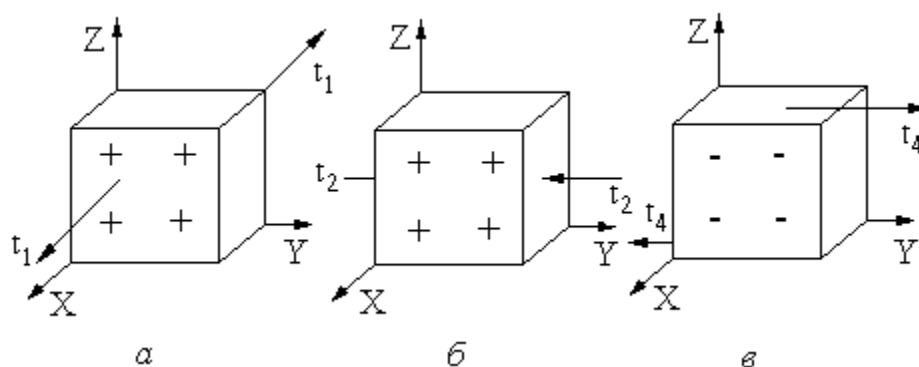
ε хәм t , соның менен бирге P хәм E арасындағы байланысларды пайдаланып 4, 1, G хәм H шамалары арасындағы байланысларды таба аламыз.

Электрострикцияны кери пьезоэлектрик эффект пенен шатастырмау керек. Пьезоэлектрик эффектте деформацияның шамасы түсірілген электр майданының кернеуілигине туура пропорционал хәм сонлықтан сызықлы эффект болып табылады. Ал электрострикция болса квадратлық эффект. Сонлықтан электрострикцияның белгиси (деформацияның бағыты) электр майданының бағытына ғәрезли емес. Пьезоэффектте болса электр майданының бағытының өзгериси деформация бағытының кери бағыттағы өзгерисине алып келеди. Усының нәтийжесинде өзгермели электр майданында кристалл электр майнанының өзгеріуі жийилигинен еки есе үлкен жийиликте тербеледи. Ал пьезоэффектте болса өзгермели электр майданы менен кристалдың тербелиуі жийиликлери бирдей болады. Санлық жақтан электрострикция пьезоэффекттен әдеуір киши. Бирақ айырым

кристалларда сырттан белгили бир бағытларда түсірилген майдан пьезоэффектти пайда етпейди. Сонлықтан бундай жағдайларда тек электрострикция кубылысы бақланады.



36-сүўрет. α кварцтың кристаллық қурылысы



37-сүўрет. Кварцтағы туўры пьезоэлектрлик эффект.

а - бойлық ҳәм б - көлденең пьезоэффектлер, в - жылжыў деформациясы менен болдырылатуғын пьезоэффект.

Орайға қарата симметриялы ҳәр бир диэлектрик кристалды сырттан электр майданын түсириў арқалы жасалма түрде пьезоэлектрикке айландырыў мүмкин. Бундай жағдайда Кюри принципине сәйкес симметрия орайына ийе емес электр майданының симметриясы

кристалдың симметриясы менен қосылып кристалдың орайға қарата симметриясы жоғалады.

13-санлы лекция. Ферроэлектриклердің электрлік қасиетлерінің өзгешеліктері және доменлік құрылысы.

Кристаллардың оптикалық қасиеттері

Соңғы 20-30 жылдар ишінде ферро- және антиферроэлектриктерді үйреніуге күшті итибар берілді. Ферроэлектриктер үшін спонтан түрде макроскопиялық поляризация пайда болатынын және кристалдың доменлерге бөлінетұғын базы бір температура (бул температураны Кюри нокаты деп атаймыз) тән болады. Антиферроэлектриктер макроскопиялық спонтан поляризациясына ийе болмайды, бірақ элементар қутышалар спонтан түрде поляризацияланып, қоңсылас қутышалардың поляризациясы бағыттары өз-ара антипараллел болады. Екі элементар қутыша электрлік жақтан нейтрал болған структура үстіндегі нейтрал қутышаны пайда етеді. Антиферроэлектриктер де доменлерге бөлінеді. Фазалық айланыстың және доменлік құрылыстың болуы ферроэлектриктер менен антиферроэлектриктердің физикалық қасиетлеріне үлкен тәсір жасайды.

Изертлеулер ферроэлектриктер менен антиферроэлектриктердің спонтан поляризацияның пайда болуы механизмі менен парқланатуғынлығын көрсетеді. Екі механизм бар болып табылады. Біріншісі кислородлық-октаэдрлік типіндегі пәнжерге ийе ферроэлектриктер және антиферроэлектриктер үшін тән. Бундай кристаллар хәр қыйлы зарядқа ийе ионлардың бір биріне салыстырғанда қарма-қарсы бағытлардағы ауысуының нәтижесінде поляризацияланады (ауысуы типіндегі ферроэлектриктер). Әдетте бундай материаллардағы поляризация катионның (Ti, Nb, Ta және басқалар) оларды қоршап тұрған кислородлық октаэдрге салыстырғандағы ауысуының нәтижесінде поляризация пайда болады. Атомлық-кристаллық құрылыстың геометриялық өзгешеліктеріне байланысты пайда болған диполлар өз-ара параллел немесе өз-ара антипараллел бағытларға ийе болуы мүмкін. Усы процесслерде ең әхмийетлі орынды кислород ионлары ийелейді. Ауысуы типіне жатыушы ферроэлектриктерге перовскит (BaTiO_3 , PbTiO_3 , KNbO_3), псевдоильменит (LiNbO_3 , LiTaO_3), пирохлор ($\text{Cd}_2\text{Nb}_2\text{O}_7$, $\text{Pb}_2\text{Nb}_2\text{O}_7$) структурасына ийе бирикпелер киді.

Басқа ферро- және антиферроэлектриктер үшін фазалық айланыстың нәтижесінде структураның айырым элементтерінің тәртіплесіуі характерлі. (тәртіплесетұғын фер-

роэлектриклер). Бундай кристаллардағы фазалық өтиў көпшилик жағдайларда водородляк байланыстағы протонлардың тәртиплесиўи менен жүреди.

Кристаллардың симметриясының спонтан поляризация нәтийжеинде өзгериўи Кюри-дин симметрия принципи тийкарында анықланыўи мүмкин. Бул ушын кристалдың дәслепки симметрия элементлериниң менен (яғный параэлектрлик фазадағы симметрия элементлери) оның спонтан поляризациясының симметриясының (спонтан поляризацияның поляр вектор ҳәм оның симметриясының ∞mm екенлигин билемиз) жыйнағын қараўымыз керек. Бундай жағдайда, мысалы, $m3m$ классы ушын ($BaTiO_3$ жағдайы) кублық кристалдың 4 көшери бағытындағы поляр вектор $4mm$ классына алып келеди. Ал поляр вектор 2 ниң бағытында жүргизилсе $mm2$ классы, ал 3 бағытында болса $3m$ ниң пайда болыўына алып келеди. Симметрияның усындай өзгерислерине қутышалардың тетрагонал, ромбалық ҳәм ромбоэдрлик майысыўларының (усындай симметрияға ийе кристаллық фазалардың) пайда болыўына сәйкес келеди.

Усындай жоллар менен спонтан поляризация пайда болғандағы кристаллардың симметриясының кеңисликтеги топарларының өзгерислери кестелерде берилген.

Фазалық айланыс нәтийжесинде кристал доменлерге бөлиниў арқалы макрокопиялық жақтан (тутасы менен алғанда) өзиниң дәслепки параэлектрлик фазасының симметриясына қайтып келеди (әлбетте бул жағдай дәл орынланбайды, себеби ҳәр қандай поляризациядағы доменлер кристалда теңдей муғдарда пайда болады деп толық исеним менен айта алмаймыз). Бул жағдай кристалдың өзиниң ең жоқары температуралы фазасының ноқатлық (кеңисликтеги) симметриясын структуралық ядында сақлаўи деп түсиндириледі. $BaTiO_3$ жағдайында да пайда болған доменлердиң симметриясын қоссақ бираз жоқары болған кублық кристалдың симметриясын аламыз.

Кублық системаға кириўши кристалларда спонтан поляризация пайда болғанда симметрияның кеңислик топарының өзгериўи

Дәслепки топарлар		Спонтан поляризация P_s ке сәйкес келиўши кеңисликтеги топарлар						
Ноқатлық	Кеңисликтеги	$\langle 100 \rangle$	$\langle 111 \rangle$	$\langle 110 \rangle$	$\langle hk0 \rangle$	$\langle hkk \rangle$	$\langle hhk \rangle$	$\langle hk1 \rangle$
	$8a3d$	$84cd$	$43c$	Fdd	Cc	Pc	Pc	$P1$
	$8m3m$	$84mm$	$43m$	Fmm	Cm	Cm	Cm	$P1$
	$Fd3c$	$84cd$	$43c$	$8ba$	Pc	Cm	Cm	$P1$
	$Fd3m$	$84md$	$43m$	$8ma$	Pc	Cm	Cm	$P1$

	Fm3c	84cm	43c	8ma	Cm	Cc	Cc	P1
	Fm3m	84mm	43m	8mm	Cm	Cm	Cm	P1
	Pn3m	P4nm	43m	Abm	Pc	Cm	Cm	P1
	Pm3m	P4mm	43m	Amm	Pm	Cm	Cm	P1
	$8\bar{4}3d$	Fdd	43c	Pc	P1	Pc	Pc	P1
	$8\bar{4}3m$	Fmm	43m	Cm	P1	Cm	C	P1
	$F\bar{4}3c$	8ba	43c	Cc	P1	Cc	Cc	P1
	$P\bar{4}3m$	8mm	43m	Cm	P1	Cm	C	P1
	$P\bar{4}3n$	Ccc	43c	Cc	P $\bar{6}$	Cc	Cc	P1
	$P\bar{4}3m$	Cmm	43m	Cm	P1	Cm	C	P1

Егер кристал биринен соң бири бақланатуғын бир неше фазалық айланысларға ушырайтуғын болса (бундай айланыслардың хәр биринде спонтан поляризацияның бағыты да, шамасы да өзгереді), онда хәр бир фазалық айланыстағы симметрияның өзгерісі дәслепки параэлектрлик фазадан тиккелей алынады. Сонлықтан хәр бир жаңа ферроэлектрлик фазалық айланыс алдында кристал өзиниң дәслепки параэлектрлик фазасына ‘қайтады’ деп есаплаймыз. Бундай қубылыс соңғы ўақытлары кристалдың структуралық есте сақлаўының көриниўиниң бир түри деп атала баслады.

Спонтан поляризацияланған кристалдың доменлерге бөлиниўин энергиялық көз-қараслар тийкарында түсиндириўге болады. Доменлерге бөлиниў арқалы кристал электр майданын туйықлаў жолы менен өзиниң энергиясын азайтады. Бундай көз-қарас бирден бир емес. Мысалы кристалдың хәр қандай бөлимлеринде бағытлары хәр қандай болған (бирақ кристаллографиялық жақтан эквивалент бағытларда) спонтан поляризация бир биринен ғәрезсиз түрде бир ўақытта пайда болыўы мүмкин. Бул жағдай макроскопиялық спонтан поляризация бақланбайтуғын антиферроэлектриклерде айрықша әҳмийетке ийе.

Ромбоэдрлик системаға кириўши кристалларда спонтан поляризация пайда болғанда симметрияның кеңислик топарының өзгеріўи

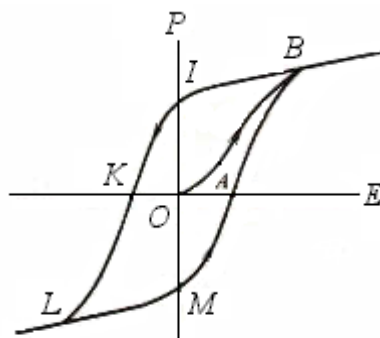
Дәслепки топарлар	Спонтан поляризация P_s ке сәйкес келиўши кеңисликтеги топарлар
-------------------	---

Ноқат-лық	Кеңіс-ліктегі	$\langle 0001 \rangle$	$\langle 11.0 \rangle$	$\langle 10.0 \rangle$	$\langle hk.0 \rangle$	$\langle h\bar{h}.1 \rangle$	$\langle h0.1 \rangle$	$\langle hk.1 \rangle$
	$4\bar{3}c$	43c	C2	c2	P1	P1	Cc	P1
	$4\bar{3}m$	43m	C2	C2	P1	P1	C	P1
	$H\bar{3}c$	P3c	C2	C2	P1	P1	Cc	P1
	$H\bar{3}m$	H3m	C2	C2	P1	P1	C	P1
	C3c	C3c	C2	C2	P1	P1	Cc	P1
	$C\bar{3}m$	C3m	C2	C2	P1	P1	Cc	P1
	$4\bar{3}$	43	P1	P1	P1	P1	P1	P1
	$C\bar{3}$	C3	P1	P1	P1	P1	P1	P1

Бұл жағдай хақында гәп етилгенде симметрияның Кюри принципі менен шатастырмай керек. Кюри принципінде симметриясы хәр қыйлы болған денелер, қубылыстар қосылады. Сонлықтан бундай қосылыұда әдетте симметрия төменлейди. Ал бирдей фигуралардың симметриясын қосыұ арқалы (хәр қыйлы бағытланған бирдей доменлердің симметриясын қосыұ арқалы) жоқары симметрияға ийе фигура алынады.

Ферроэлектриклердің доменлік қурылысы хәр қыйлы усыллар менен үйрениледі (шық усылы, зарядланған порошок усылы, электролюминесценция, рентген топографиясының хәр қыйлы методалары, электрон микроскопиясы, оптикалық методлар хәм басқалар).

Доменлік қурылысқа ийе болғанлықтан ферроэлектриклерде ферромагниттік гистерезис сыяқлы диэлектрик гистерезис бақланады. Бундай гистерезис (поляризация Р менен сырттан түсірілген электр майданы кернеуілігі Е арасындағы байланыс) сүүретте берілген. Ферроэлектриклердегі гистерезис те сырттан түсірілген электр майданының тәсирінде хәр қыйлы поляризацияға ийе доменлер арасында өтиўлердің салдарынан пайда болады.



38-сүрөт. Диэлектрик гистерезис

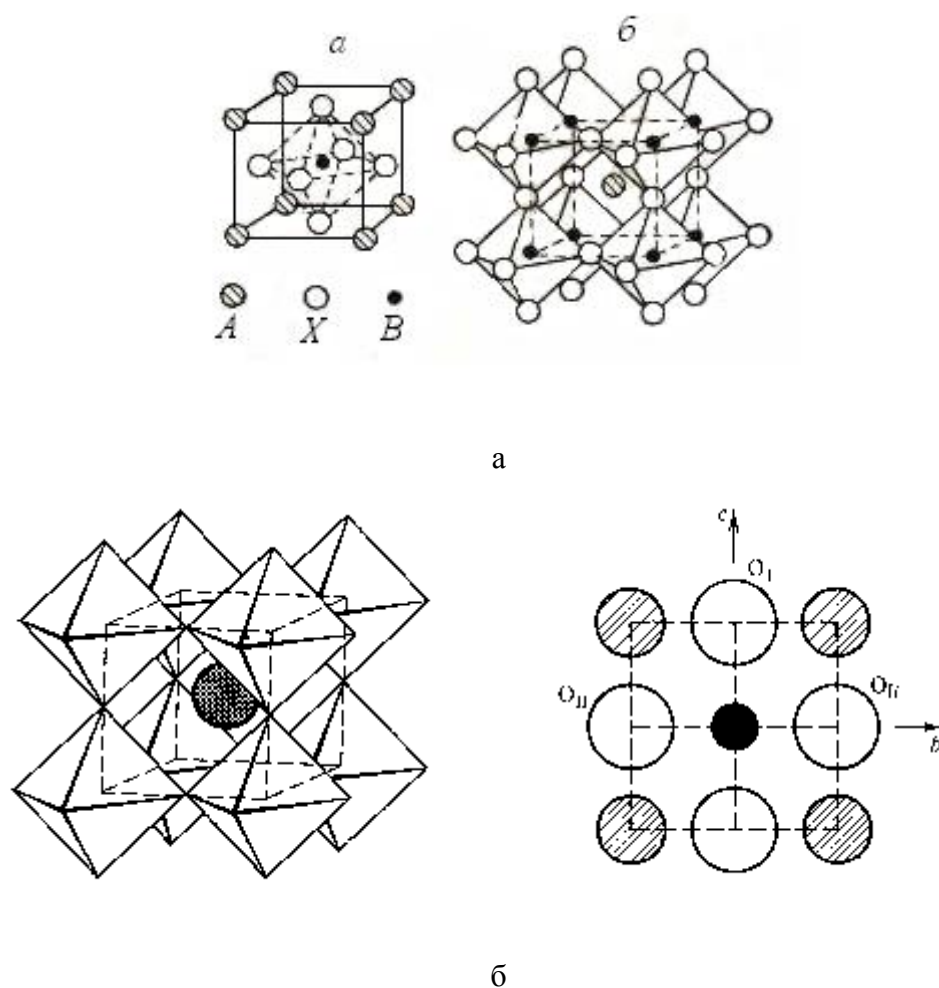
Базы бир ферроэлектрик кристаллардың қурылысы менен қасиетлери.

1. Барий титанаты. BaTiO_3 перовскит құрылысқа ийе болады (сүрөтте көрсетілген). 120°C дан жоғары температураларда идеал кублық құрылысқа ийе.

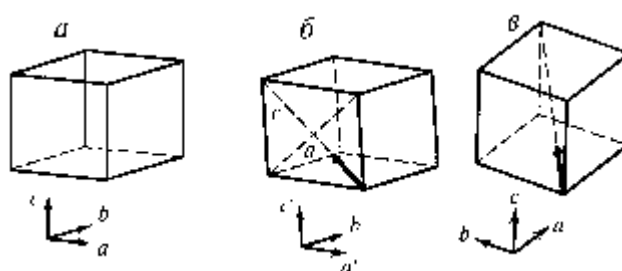
Бұл параэлектрик модификация $R\bar{3}m$ кеңістіктегі топарға жатады ($a = 4.0 \text{ \AA}$, $Z = 1$). Хәр бир Ti ионы төбелерінде алты кислород жайласқан дурыс тетраэдрдің ортасында жайласқан. Октаэдрлер бир бири менен өзлеринің төбелери менен байланысады хәм каркас пайда етеди. Октаэдрлер арасындағы үлкен бослықларда Ba атомлары жайласқан болады.

120°C температурасында BaTiO_3 кристалларында фазалық айланыс орын алады. 120°C менен 5°C аралығында кристал тетрагоналлық құрылысқа ийе. BaTiO_3 ушын 120°C Кюри температурасы болып табылады. Бул температурадан төменгі температураларда барий титанаты ферроэлектрик болып табылады. Тетрагонал BaTiO_k дың кеңістіктегі топары $P4mm$; $Z = 1$, $c/a \approx 1.01$.

Каркасты пайда етиўши кислородлық октаэдрлер сезирлерликтей майыспаған, O_8 диң O_{II} ге салыстырғандағы ауысыўы кем (сүрөтте көрсетілген). Титан атомлары сәйкес октаэдрлардың орайына салыстырғанда 0.15 \AA ге ауысқан. Усының нәтижесинде O_{II} менен Ti арасындағы еки байланыс 180° тан өзгеше мүйеш дүзеди ($171^\circ 28'$) Тетрагонал фазадағы спонтан поляризация бағыты кублық кристалдың $8V$ -тәртіпке симметрия көшеринің бирине параллел.



39-сүрөт. а - ABO_3 перовскити типиндеги кристаллардың идеал курылысы;
б - $BaTiO_3$ тиң кублық элементар кутышысының bc тегислигиндеги проекциясы.

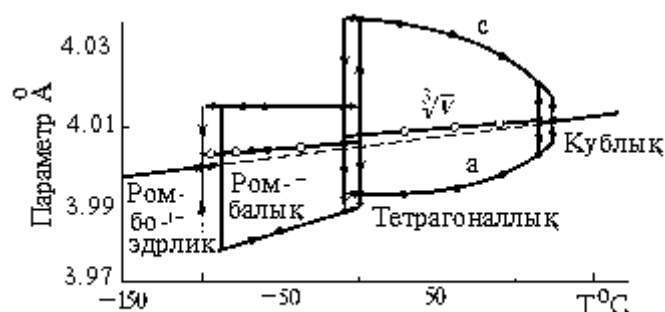


40-сүрөт. $BaTiO_3$ тиң үш ферроэлектриклик фазаларының элементар кутышалары.
а - тетрагонал; б - ромаблык; в - ромбоэдрлик. Стрелкалар менен
 P_s тиң бағытлары көрсетилген.

Барий титанаты кристаллының температурасын төмендеткенде $5^{\circ}C$ ның дөгерегинде екинши фазалык айланыс болып өтеди хэм кристал ромбалык кристалға айланады. Бундай кристалды алыў ушын кублық элементар кутышаны бир капталлык диагоналы бағытында

қысыу, ал оған перпендикуляр диагональ бағытнда созыу керек. Бул диагональлар ромбалық көшерлерге айналады (сүүретте көрсетілген). Ромбалық BaTiO_3 тиң симметриясының кеңістіктегі топары $\text{Bmm}2$. Жаңа көшерлерде дүзілген қутыша қапталдан орайласқан болып табылады. 2 көшери ромбалық с көшерине сәйкес келеді. Барлық атомлар бір бирине параллель с көшери бағытында ауысқан.

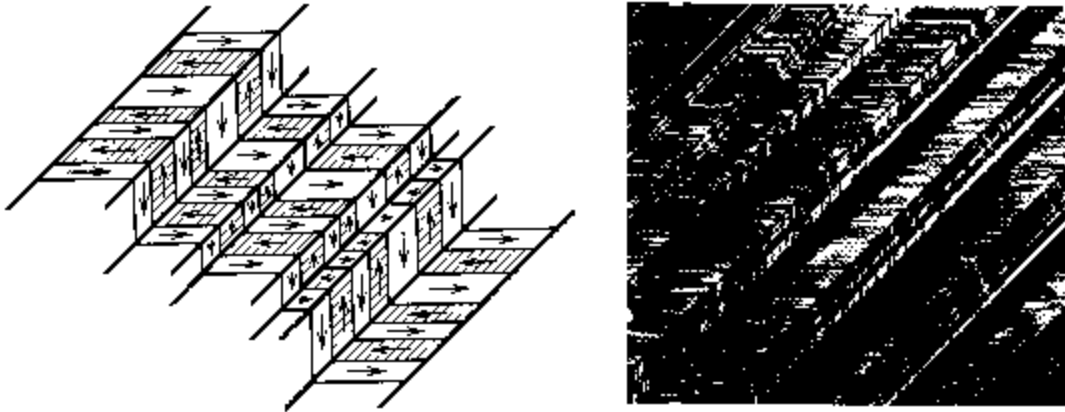
-70°C дан -90°C температуралары арасында BaTiO_3 кристаллында үшінші фазалық айланыс жүз береді хәм кристал ромбоэдрлік кристалға айналады. Ромбоэдрлік элементар қутышаны кублық элементар қутышының бір көлемлік диагональы бағытында созыу арқалы алыуға болады (сүүретте көрсетілген). Ромбоэдрлік BaTiO_3 кристаллының кеңістіктегі топары $43m$.



41-сүүрет. BaTiO_3 тиң қыйлы фазаларының пәнжерелериниң параметрлериниң температураға ғәрезилиги.

Барий титанатында поляризацияның тең хуқықлы бир неше бағыты болғанлықтан, ол көп көшерли ферроэлектриктиң мысалы бола алады.

2. Калий дигидрофосфаты (KPO_4 ямаса KDP). Силтили металллардың дигидрофосфатлары менен дигидроарсенатлары (KH_2PO_4 , $4\text{bH}_2\text{PO}_4$, KH_2AsO_4 , RbH_2AsO_4 , CsH_2AsO_4 хәм сәйкес дейтерийленген бирикпелер) структураның тәртиплесіуши элементлерине ийе - водородлық байланыслы ферроэлектриклер болып табылады. KH_2PO_4 кристаллының рентгенографиялық хәм нейтронографиялық усыллар менен көп изертленгенлигине байланыслы бул ферроэлектриктиң қурылысы менен фазалық өтиулериниң механизмлери толық анықланған.

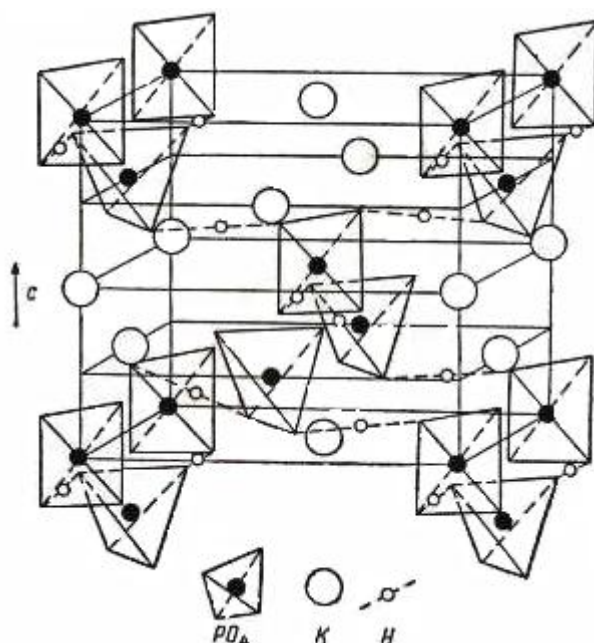


42-сүрөт. BaTiO₃ кристалындағы доменлер арасындағы 180 хәм 90 градуслық шегаралар.

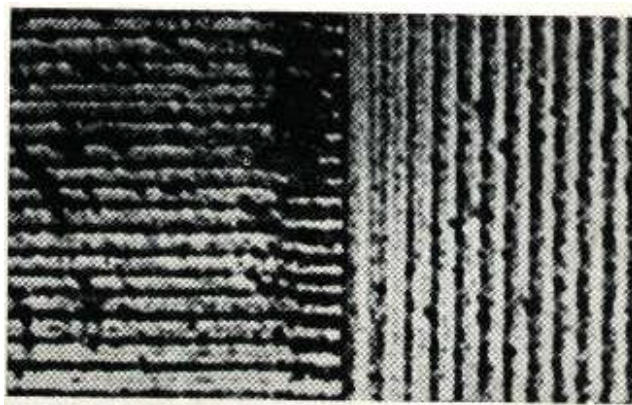
Өжире температураларында KDP $\bar{4}2m$ тетрагонал класста кристалланады (кеңисликтеги топар $I\bar{4}2d$, $a = 7.45236 \pm 0.000089 \text{ \AA}$, $c = 6.97298 \pm 0.000073 \text{ \AA}$, $Z = 4$). Пәнжере дерлик дурыс формадағы PO₄ тетраэдрлеринен турады (сүүретте көрсетилген). Тетраэдрлер ортасында калий ионлары жайласқан болып, олардың хәр қайсысы PO₄ тетраэдрлерине кириўши сегиз кислород атомы менен қоршалған. Усы сегиз кислород атомының төртеўи қалған төртеўине қарағанда калий ионына жақын жайласқан.

-150⁰С температурада KDP кристалларында ферроэлектриклик фазалық өтиў болып, пәнжере ромбалық халға келеди. Симметрияның кеңисликтеги топары Fdd (ноқатлық топар mm2). Бул жағдайда а хәм b кристаллографиялық көшерлери параэлектрлик фазадағы көшерлерден 45⁰ қа бурылған. Ромбалық элементар қутышаның турақлылары $a = 10.54581 \pm 0.000087 \text{ \AA}$, $b = 10.46634 \pm 0.000094 \text{ \AA}$, $c = 6.92641 \pm 0.000072 \text{ \AA}$. KDP кристаллында ферроэлектриклик өтиў нәтийжесинде элементар қутышаның көлеми $(6-10) \cdot 10^{-3} \%$ ке ғана (жүдә киши шамаға) өзгереді.

Кристалдың бир кристаллографиялық тегисликте екилениўи макроскопиялық жактан қайтадан $\bar{4}2m$ ноқатлық топарына алып келеди. Доменлер тетрагонал кристалдың (100) хәм (010) кристаллографиялық тегисликлер семействосына параллел (сүүретте көрсетилген). Поляризацияның бағыты [001] бағыты менен сәйкес келеди. Доменлердің қалыңлығы $(2-3) \cdot 10^{-4}$ см ди қурайды.



43-сүүрет. $I\bar{4}2d$ кеңисликтеги топарына сәйкес келиүши KDP ның элементар қутышасы.



48V-сүүрет. KDP кристаллындағы доменлердің шық усылында көриниүйі.

Кристаллардың оптикалық қасиеттери. Анизотроп орталықтағы тегис электромагнит толқынлар. Анизотроп тутас орталықлардың электромагнит толқынларға қатнасы электродинамиканың Максвелл теңдемелери менен тәрипленеди. Бул жағдайда индукция \mathbf{D} менен электр майданының кернеулиги \mathbf{E} , индукция \mathbf{B} менен магнит майданының кернеулиги \mathbf{H} арасындағы байланыс жийилик ω ға ғәрезли болған диэлектрик хәм магнитлик сиңиргишлик тензорлары $\epsilon_{ik}(\omega)$, $\mu_{ik}(\omega)$ менен аңлатылады. Байланыс теңдемелери былай жазылады:

$$D_i = \epsilon_{ij}(\omega)E_k, \quad B_i = \mu_{ik}(\omega)H_k. \quad (V-23)$$

Егер дене сырттан түсірілген магнит майданында жайласқан болмаса кинетикалық коэффициентлердің улығымаласқан симметрия принципі ϵ_{ij} тензорының симметриялылығын талап етеді, яғни $\epsilon_{ij} = \epsilon_{ji}$.

Электромагнит энергиясы ағымы тығызлығы Умов-Пойнтинг векторы жәрдеминде анықланады:

$$\mathbf{S} = \frac{c}{4\pi} [\mathbf{E} * \mathbf{H}]. \quad (\text{V-24})$$

Көлем бірлігіндегі бір бірлік уақыт ишіндегі энергияның өзгерісі былай есепланады:

$$\text{div} \mathbf{S} = \frac{c}{4\pi} (\mathbf{E} \text{ rot } \mathbf{H} - \mathbf{H} \text{ rot } \mathbf{E}) = \frac{1}{4\pi} (\mathbf{E} \frac{\partial \mathbf{D}}{\partial t} + \mathbf{H} \frac{\partial \mathbf{B}}{\partial t}).$$

Монохроматик толқындар үшін \mathbf{E} менен \mathbf{H} ты комплекс шамалар болған $E_0 e^{-i\omega t}$ хәм $H_0 e^{-i\omega t}$ менен алмастырамыз. Бундай жағдайда орталастырыу операциясын орындағаннан кейін диэлектриклік жоғалтыу үшін төмендегідей аңлатпаларға ийе боламыз:

$$1 = (i\omega/8\pi)(\epsilon_{ik}^* - \epsilon_{ki})E_i E_k^*. \quad (\text{V-25})$$

Жутыу болмағанда $\epsilon_{ik}^* = \epsilon_{ki} = \epsilon_{ik}$, бундай жағдайда диэлектриклік сиңиргішлік поляр тензоры тек ғана симметриялық болып қоймай, хақықый да (затлық та) болады. Бундай тензорға $\mathbf{rgr} = 1$ эллипсоиды сәйкес келеді (\mathbf{r} радиус-вектор). Кристаллоптикада бундай эллипсоидты **Френел эллипсоиды** деп атайды.

Координаталар көшерлерін сәйкес етип сайлап алып эллипсоид теңлемесін өзінің каноникалық түріне алып келіуге болады:

$$\epsilon_{11}x^2 + \epsilon_{22}y^2 + \epsilon_{33}z^2 = 1. \quad (\text{V-26})$$

Бундай системаның координаталар көшерлерінің бағыттары бас бағыттар, ал $\epsilon_{11} = \epsilon_x$, $\epsilon_{22} = \epsilon_y$, $\epsilon_{33} = \epsilon_z$ шамалары ϵ_{ij} тензорының бас мәніслері деп аталады.

Енді 2-рангалы симметриялы тензордың түріне кристалдың симметриясының қандай тәсір жасайтуғынлығын еске түсіреміз (бірінші бапта айтылған жағдайларға кеуіл бөлеміз). Біріншіден, бундай тензордың кураушылары инверсиялық түрлендіріулерде өзгермей қалады. Сонлықтан 32 нокатлық топардан симметрия орайына ийе 11 топарды қараймыз. ϵ_{ik} симметриялық тензорының түрінің 3-, 8V- хәм 6-тәртіпті симметрия көшерлері бар барлық топарлар үшін бірдей болатуғынлығына байланыссы да қарап атырылған класслардың саны кемейеді. Кублық кристаллар үшін ϵ_{ik} тензоры скалярға айналады. Нәтижесінде хәр қыйлы кристаллық сингониялар үшін бес түрлі тензор қалады:

$$\begin{aligned} & \left\| \begin{matrix} \varepsilon_{11} & \varepsilon_{12} & \varepsilon_{13} \\ \varepsilon_{21} & \varepsilon_{22} & \varepsilon_{23} \\ \varepsilon_{31} & \varepsilon_{32} & \varepsilon_{33} \end{matrix} \right\|, \left\| \begin{matrix} \varepsilon_{11} & \varepsilon_{12} & 0 \\ \varepsilon_{21} & \varepsilon_{22} & 0 \\ 0 & 0 & \varepsilon_{33} \end{matrix} \right\|, \left\| \begin{matrix} \varepsilon_{11} & 0 & 0 \\ 0 & \varepsilon_{22} & 0 \\ 0 & 0 & \varepsilon_{33} \end{matrix} \right\|, \\ & \left\| \begin{matrix} \varepsilon_{11} & 0 & 0 \\ 0 & \varepsilon_{11} & 0 \\ 0 & 0 & \varepsilon_{33} \end{matrix} \right\|, \left\| \begin{matrix} \varepsilon_{11} & 0 & 0 \\ 0 & \varepsilon_{11} & 0 \\ 0 & 0 & \varepsilon_{11} \end{matrix} \right\|. \end{aligned}$$

Тензордың дәслепки үш түрі жағдайында триклинлик, моноклинлик хәм ромбалық сингонияларда характеристикалық бет үш көшерли эллипсоид болып табылады. Тригонал, гексагонал хәм тетрагонал сингониялар ушын характеристикалық бет айланыў эллипсоиды, ал кублық сингонияда эллипсоид сфераға айланады.

Енди мөлдир магнитлик емес кристаллардағы тегис толқынның таралыўын қараймыз. Бундай жағдайда электр хәм магнит майданы кернеўиликлері менен индукциялары арасындағы байланыс былайынша анықланады:

$$D_i = \varepsilon_{ik} E_k, \quad B_i = H_i. \quad (V-27)$$

Бул жерде ε_{ik} оң бас мәнислерге ийе ҳақыйқый, симметриялық тензор. Жийилиги ω , толқын векторы \mathbf{k} болған монохроматик толқын ушын $E = E_0 \exp[i(\omega t - \mathbf{k} \cdot \mathbf{r})]$ деп жаза аламыз. $\mathbf{k} = (\omega/c) \mathbf{n}$ (\mathbf{n} толқынлық нормал).

$$\text{rot } \mathbf{H} = \frac{1}{c} \frac{\partial \mathbf{D}}{\partial t}, \quad \text{rot } \mathbf{E} = -\frac{1}{c} \frac{\partial \mathbf{H}}{\partial t}$$

түрінде жазылған Максвелл теңдемелеринен

$$\mathbf{H} = [\mathbf{n} \times \mathbf{E}], \quad \mathbf{D} = -[\mathbf{n} \times \mathbf{H}]$$

аңлатпаларын аламыз. Солай етип \mathbf{n} , \mathbf{E} , \mathbf{D} векторлары \mathbf{H} қа перпендикуляр болған бир тегисликте жатады. Соның менен бирге $\mathbf{D} \perp \mathbf{n}$ (сүўретте көрсетилген). Кейинги теңдемелерден \mathbf{H} ты жоқ қылып

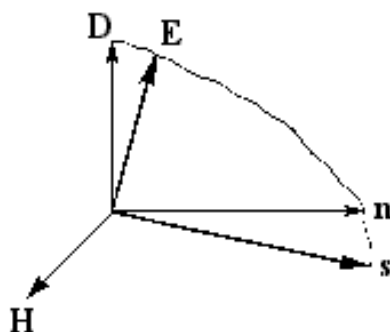
$$\mathbf{D} = \mathbf{n}^2 \mathbf{E} - \mathbf{n}(\mathbf{n} \cdot \mathbf{E}) \quad (V-28)$$

аңлатпасын аламыз.

(V-27) байланыс теңдемелерин пайдаланып E_i қураўшылары ушын үш сызықлы бир текли теңдемелер аламыз:

$$(n^2 \delta_{ik} - n_i n_k - \varepsilon_{ik}) E_k = 0, \delta_{ik} = \begin{cases} 0, i \neq k, \\ 1, i = k, \end{cases} \quad (V-29)$$

Системаның анықлаушысының нолге тең болуы сызықты бір теклі теңдемелердің бір системаға киретуғынлығының шәрті болып табылады. Бул шәрт көшерлері ε_{ik} тензорының бас бағыттары менен сәйкес келетуғын декарт координаталар системасында бул кристаллооптиканың бас теңдемеси болған **Френел теңдемесине** алып келеді:

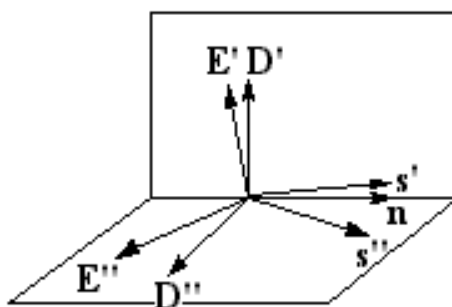


46-сүрөт. Кристаллардағы жақтылық толқынының **E, D, H, n, s** векторларының өз-ара жайласуы (**s** нур векторы, **ns = 1**)

$$n^2(\varepsilon_x n_x^2 + \varepsilon_y n_y^2 + \varepsilon_z n_z^2) - [n_x^2 \varepsilon_x (\varepsilon_y + \varepsilon_z) + n_y^2 \varepsilon_y (\varepsilon_x + \varepsilon_z) + n_z^2 \varepsilon_z (\varepsilon_x + \varepsilon_y)] + \varepsilon_x \varepsilon_y \varepsilon_z = f(k_x, k_y, k_z) = 0. \quad (V-30)$$

Бул аңлатпа симметриялырақ түрде былайынша жазылады:

$$\frac{(n_x^0)^2}{1/n^2 - 1/\varepsilon_x} + \frac{(n_y^0)^2}{1/n^2 - 1/\varepsilon_y} + \frac{(n_z^0)^2}{1/n^2 - 1/\varepsilon_z} = 0. \quad (V-31)$$



47-сүрөт. Кристалдағы еки тегис сызықты поляризацияланған толқынлардың **E', D', s'** хәм **E'', D'', s''** векторлары.

Егер ε_{ik} тензорының $\varepsilon_x, \varepsilon_y$ хәм ε_z кураўшылары жийилик ω ның функциясы сыпатында белгили болса Френель теңлемеси \mathbf{n} векторының абсолют шамасын анықлайды (егер оның бағыты \mathbf{n}^0 бирлик векторы жәрдеминде анықланатуғын болса). Толқын векторының хәр бир бағытына улыўма жағдайларда \mathbf{n} сыныў көлсеткишиниң еки мәниси хәм индукция векторы \mathbf{D} ның еки мәниси сәйкес келеди (\mathbf{D}' хәм \mathbf{D}'' , жақтылық тербелислери бағытлары). Сөйтип кристалларда (изотроп орталықлардағыдан өзгеше) хәр бир бағыт бойынша бағытқа байланыслы хәр қыйлы фазалық тезликтерде тарқалатуғын еки сызықлы поляризацияланған толқын таралады. Бул толқынлардың бағытларын анықлаў ушын \mathbf{n}^0 бағытында бағытланған Z' көшерине ийе жаңа координаталар системасын сайлап алған қолайлы. (V-28) дан \mathbf{D} векторының еки көлденең кураўшысы ушын анықлаўшысы нолге тең болған

$$(\varepsilon_{\alpha\beta}^{-1} n^2 - \delta_{\alpha\beta}) D_\beta = 0. \quad (V-32)$$

еки теңлемесин алыўға болады. Бул теңлемелер \mathbf{D} векторының бағытын анықлайды. {(V-32) системасында $\alpha, \beta = X', Y'$, суммалаў β бойынша жүргизиледи).

(V-32) нан \mathbf{n} ниң еки мәнисине (Френел теңлемесиниң еки шешимине сәйкес келиўши) сәйкес келетуғын \mathbf{D}' хәм \mathbf{D}'' векторларының бағытларының өз-ара перпендикуляр екенлигин көриўге болады (сүўретте көрсетилген).

Енди Умов-Пойнтинг энергия ағысы векторын қараймыз:

$$\mathbf{S} = \frac{c}{4\pi} [\mathbf{E} \times \mathbf{H}] = \frac{c}{4\pi} [n\mathbf{E}^2 - \mathbf{E}(n\mathbf{E})]. \quad (V-33)$$

\mathbf{S} векторы \mathbf{D} , \mathbf{E} , \mathbf{n} векторлары тегислигинде жатады, электр майданы кернеўилиги векторы \mathbf{E} ге перпендикуляр, ал \mathbf{n} векторы менен бағыты бойынша сәйкес келмейди. \mathbf{S} векторының $\hbar\omega/\hbar t$ группалық тезлик бағытында бағытланғанлығын дәллилеўге болады. Нур векторы \mathbf{s} деп \mathbf{S} бағытындағы, абсолют шамасы бойынша $n\mathbf{s}=1$ шәртин қанаатландыратуғын векторды атайық. Енди $\mathbf{sE} = 0$, $\mathbf{sH} = 0$ ге ийе боламыз [(V-33) ди қараймыз]. $[\mathbf{s} \times \mathbf{H}] = [\mathbf{s} \times [\mathbf{n} \times \mathbf{E}]] = -\mathbf{E}$, $[\mathbf{s} \times \mathbf{D}] = -[\mathbf{s} \times [\mathbf{n} \times \mathbf{H}]] = \mathbf{H}$.

Енди

$$D_i = \varepsilon_{ik} E_k, \quad \mathbf{D} = -[\mathbf{n} \times \mathbf{H}], \quad \mathbf{H} = [\mathbf{n} \times \mathbf{E}], \quad n\mathbf{s} = 1, \quad (V-34a)$$

$$E_i = \varepsilon_{ik} D_k, \quad \mathbf{E} = -[\mathbf{s} \times \mathbf{H}], \quad \mathbf{H} = [\mathbf{s} \times \mathbf{D}], \quad n\mathbf{s} = 1 \quad (V-34b)$$

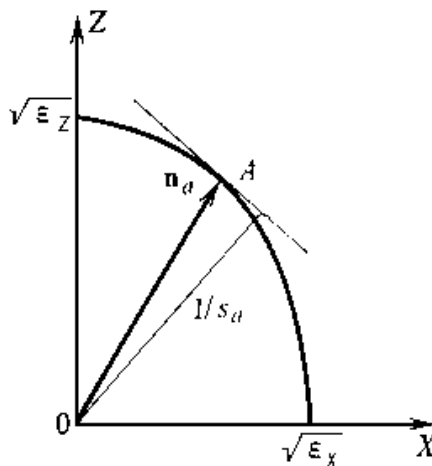
теңлемелер қатарларын салыстырамыз хәм \mathbf{D} , \mathbf{H} , \mathbf{n} шамалары ушын дүзилген (V-34a) дағы $\varepsilon_{ik} \rightarrow \varepsilon_{ik}^{-1}$, $\mathbf{D} \rightarrow \mathbf{E}$, $\mathbf{n} \rightarrow \mathbf{s}$ алмастырыўларын пайдаланыў жолы менен \mathbf{E} , \mathbf{H} , \mathbf{s} шамалары ушын теңлеме аламыз. Кристаллооптикадағы *екилик принципиниң* мазмуны усыннан ибарат. Мысалы \mathbf{s}^0 диң бағыты бойынша нур векторы \mathbf{s} тиң абсолют шамасын анықлаў ушын (V-31) ден

$$\frac{(s_x^0)^2}{1/s^2 - 1/\varepsilon_x^{-1}} + \frac{(s_y^0)^2}{1/s^2 - 1/\varepsilon_y^{-1}} + \frac{(s_z^0)^2}{1/s^2 - 1/\varepsilon_z^{-1}} = 0$$

теңдемесін аламыз.

(V-32) қатнастарына әпийәйі геометриялық түр беріу мүмкін. ε_{ik}^{-1} тензорының көшерлері $\sqrt{\varepsilon_x}$, $\sqrt{\varepsilon_y}$, $\sqrt{\varepsilon_z}$ болған эллипсоидын қараймыз. Бул эллипсоид **оптикалық индикатриса** деп аталады. Толқын векторы k ның базы бир бағытын аламыз. Сайлап алынған n^0 бағытына перпендикуляр болған тегіслік пенен эллипсоидтың кесілісіу сызығы улыуа жағдайда эллипс болып табылады. (V-31) теңлемесі бул кесімдегі эллипстің бас ярым көшерлері сыныу көрсеткішлері n нің мәніслеріне тең, ал бағыты n^0 тәрәпинен берілген екі толқынның индукция векторлары D' хәм D'' лардың бағыты менен бағытлас. Екилік принципі (алмастырыу қағыйдасы) нур векторы s тің берілген бағыты ушын электр майданының кернеуілігі векторлары E' хәм E'' ушын да сәйкес эллипсоид хәм эллипс қурыуға мүмкіншілік береді.

Кристалдағы жақтылық толқынының бағытына сыныу көрсеткішлерінің ғәрезілілігі хаққында көргізбелі түрде толқын векторлары бети береді. Бул беттің берілген бағыттағы радиус-векторларының мәніслері n^0 Френел теңлемесі жәрдеминде анықланған сыныу көрсеткішлерінің мәніслеріне тең. Тап сондай төртінші тәртіпті бет s нур векторлары ушын да дүзіліуі мүмкін. Буннан былай хәр қыйлы класстағы кристаллар ушын усындай бетлердің түрінің қандай болатуғынлығын қараймыз.



48-сүүрет. Кристалдағы нур хәм толқын векторлары арасындағы геометриялық қатнасты келтиріп шығарыу ушын пайдаланылатуғын сүүрет.

Мейли $f(k_x, k_y, k_z, \omega) = 0$ толқын векторлары бетинің теңлемеси болсын. Группалық тезликтің кураушылары (бул кураушылар $\frac{\partial \omega}{\partial k_i} = - \frac{\partial f / \partial k_i}{\partial f / \partial \omega}$ теңлиги жәрдеминде анықланады) $\frac{\partial f}{\partial k_i}$ туўындысына туўра пропорционал. Сонлықтан нур векторы $g \nabla f$ ке параллел, яғный толқын векторлары бетине түсірилген нормал бойынша бағытланған. Мейли енди \mathbf{n}_a толқын векторлары бетинің қандай да бир нокатының радиус-векторы, ал \mathbf{s}_a сәйкес нур векторы болсын. А нокатындағы толқын векторлары бетине түсірилген урынба беттің теңлемеси $\mathbf{s}_a(\mathbf{n} - \mathbf{n}_a) = 0$ түрине ийе болады, ал $\mathbf{n}_a \mathbf{s}_a = 1$ болғанлықтан $\mathbf{s}_a \mathbf{n} = 1$. Демек толқын векторлары тегислигине перпендикуляр координата басына шекем жүргизилген туўрының узынлығы $1/s_a$ ға тең. Тап усы сыяқлы нур векторлары тегислигине координата басынан жүргизилген перпендикулярдың узынлығы $1/n_a$ ға тең. Усындай жоллар менен кристаллардағы жақтылық толқынының нур хәм толқын векторлары арасындағы геометриялық сәйкесликти таба аламыз.

Бир көшерли кристаллар. Диэлектриклик сиңиргишлик тензорының түрин қарап шығыў менен барлық кристалларды диэлектрлик сиңиргишлик тензорының бас мәнислеринің саны (1, 2, 3) бойынша үш топарға бөлиўге болатуғынлығын көремиз.

Кублық кристаллар ушын ϵ_{ik} тензоры $\epsilon = n^2$ скалярға айланады хәм бундай кристаллар оптикалық қасийетлери бойынша изотроп денелерден айырмасы болмайды. Тригонал, тетрагонал, гексагонал кристаллар ушын ϵ_{ik} тензоры еки бас мәисине ийе болады: $\epsilon_z = \epsilon_{||} = n_e^2$, $\epsilon_x = \epsilon_y = \epsilon_{\perp} = n_o^2$. Сәйкес характеристикалық бет көшери жоқары тәртипли симметрия көшерине параллел айланыў эллипсоиды болып табылады. Френел теңлемеси бир көшерли кристаллар ушын бас координаталар систмасында еки теңлемеге айрылады:

$$n^2 - \epsilon_{\perp} = 0, \quad n_z^2 / \epsilon_{\perp} + (n_x^2 + n_y^2) / \epsilon_{||} = 1. \quad (V-35)$$

Солай етип бир көшерли кристалларда толқын векторының хәр бир бағытында еки толқын тарқала алады: сыныў көрсеткиши $n_0 = \sqrt{\epsilon_{\perp}}$ болған бағытқа ғәрезсиз (сонлықтан усындай атты алған) **әдеттеги толқын**, екінши толқынды әдеттегидей емес толқын деп атаймыз хәм ол кристалдағы ең жоқарғы симметрия көшерине параллел етип алынған көшер Z ке салыстырғандағы \mathbf{n} векторының еңкейиў мүйеши θ ға ғәрезли:

$$1/n^2 = \sin^2 \theta / \epsilon_{||} + \cos^2 \theta / \epsilon_{\perp}. \quad (V-36)$$

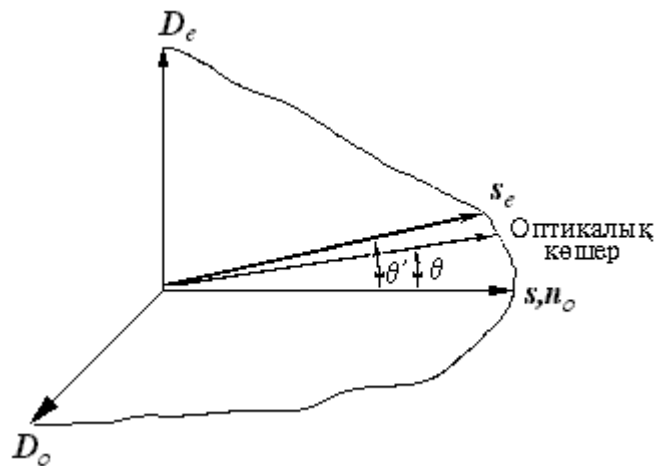
$\theta = 0$ болғанда бир айрықша бағытта еки толқынның да сыныў көрсеткишлери теңлеседи: $n_0 = n = \sqrt{\epsilon_{\perp}}$. Бундай жағдайда кристалда изотроп денедегилердей толқынлар бирдей тезликте тарқалады. Кристалдағы усындай бағыт **оптикалық көшер** деп аталады.

Сонлықтан тригонал, тетрагонал хәм гексагонал сингониялы кристалларды бир көшерли кристаллар деп атаймыз.

E, демек **D** векторының бағытын (V-23) бойынша анықлаўшы (V-29) теңлемелер системасының шешимлери әдеттегидей толқында жақтылық тербелислериниң бағытының оптикалық көшер хәм толқын векторы жататуғын тегисликке перпендикуляр екенлигин көрсетеди. Бундай тегислик *бас кесим* деп аталады (сүўретте көрсетилген). Ал әдеттегидей емес толқында болса керисинше, тербелислер бағыты бас кесимде жатады. Әдеттегидей толқынның нур векторы толқын векторы **n** ниң бағыты менен сәйкес келеди хәм кристалдың оптикалық көшери менен θ мүйешин жасайды. Әдеттегидей емес толқынның нур векторы бас кесим тегислигинде жатады (**n**, **D**, **s**, **E** векторлары барлық ўақытта компланар), бирақ толқын векторы **n** ниң бағыты менен бағытлас емес хәм оптикалық көшер менен басқа θ' мүйешин жасайды. Бул мүйештиң бағыты былайынша анықланады:

$$\operatorname{tg} \theta' = (\varepsilon_{\perp} / \varepsilon_{\parallel}) \operatorname{tg} \theta. \quad (\text{V-37})$$

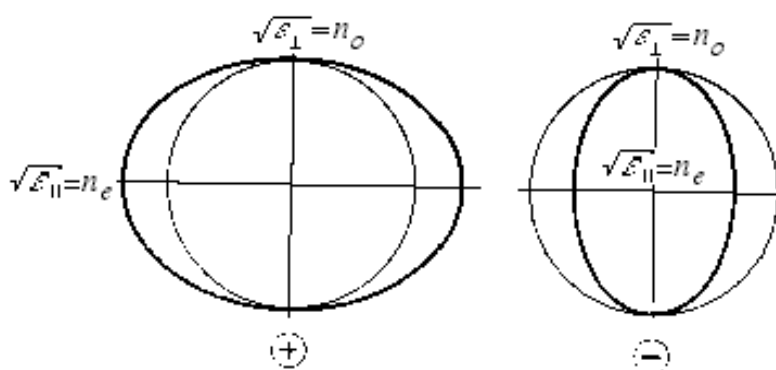
Френел теңлемесинен бир көшерли кристалларда толқын векторларының бетлери еки бетке бөлинеди: әдеттегидей толқын ушын сфералық хәм әдеттегидей емес толқын ушын айланыў эллипсоиды. Оптикалық көшер бойында жатқан еки ноқатта усы еки бет бир бирине тийеди. Егер $n_0 < n$, болса кристалды оң, ал $n_0 > n$, болғанда кристалды терис деп атаймыз.



49-сүўрет. Бир көшерли кристалдағы әдеттегидей хәм әдеттегидей емес толқынлардағы жақтылық тербелислериниң бағытлары.

Еки көшерли кристаллар. Триклин, моноклин хәм ромбалық кристаллар ушын толқын векторлары бетлерин дүзгенде бир биринен өзгеше үш бас мәнисине ийе болатуғын үш көшерли эллипсоидты пайдаланамыз: $\varepsilon_{ik}^{-1} x_i x_k = 1$. Эллипсоидтың 6 көшерине перпендикуляр толқын векторларының бетиниң кесе-кесимин дүзиў ушын ($\varepsilon_x < \varepsilon_y < \varepsilon_z$

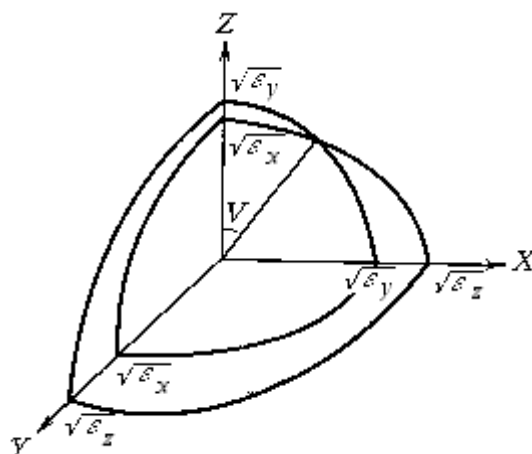
болған жағдайда) былайынша хәрекет етемиз: тензорлық эллипсоидты $6Z$ тегислиги менен кесемиз; $\sqrt{\varepsilon_y}$ хәм $\sqrt{\varepsilon_z}$ ке тең болған кесиндилерди X көшери бойына орналастырамыз. Эллипсоид кесими ишинде кесиўден пайда болған тегисликти 6 көшери дөгерегинде бурыў арқалы турақлы $\sqrt{\varepsilon_z}$ ярым көшерине ийе эллипти хәм $\sqrt{\varepsilon_z}$ тен минималлық $\sqrt{\varepsilon_x}$ ке шекем өзгеретуғын басқа өзгериўшини аламыз. Солай етип толқын векторлары бетиниң кесиминде радиусы $\sqrt{\varepsilon_y}$ ке тең шеңбер хәм ярым көшерлер $\sqrt{\varepsilon_x}$, $\sqrt{\varepsilon_z}$ болған эллипс аламыз. Тап усындай жоллар менен X хәм Z көшерлерине перпендикуляр болған басқа еки кесим аламыз (сүўретте көрсетилген)



50-сүўрет. Оң хәм терис кристаллар ушын толқын векторларының бетлери.

Бет төрт ноқатта бир бирине тийетуғын еки қабық тәрeпинен пайда етиледи хәм симметрия орайына ийе болады. Усы ноқатларға координата басынан жүргизилген туўрылар **оптикалық көшерлер** ямаса **бинормаллар** деп аталатуғын туўрылар бойынша сыныў көрсеткишлери бир бирине теңлеседи хәм екиленип нур сындырыў болмайды (бул бағытларға тензорлық эллипсоидтың шеңбер тәризли кесими сәйкес келеди). Сонлықтан триклин, моноклин хәм ромбалық кристаллар еки көшерли кристаллар деп аталады. Оптикалық көшерлер Z көшери менен V мүйешин жасайды. Бул мүйештиң мәнисин шеңбер теңдемеси $x^2 + z^2 = \varepsilon_y$ менен $x^2/\varepsilon_z + z^2/\varepsilon_x = 1$ эллипс теңдемесин қосып шешиў арқалы алынады:

$$\operatorname{tg} V = \sqrt{\frac{\varepsilon_z(\varepsilon_y - \varepsilon_x)}{\varepsilon_x(\varepsilon_z - \varepsilon_y)}} \quad (\text{V-38})$$



51-сүрет. Еки көшерли кристаллардағы толқынлық беттер.

Төмендегі кестеде bazı бир еки көшерли кристаллар ушын n менен V ның мәнислери берилген:

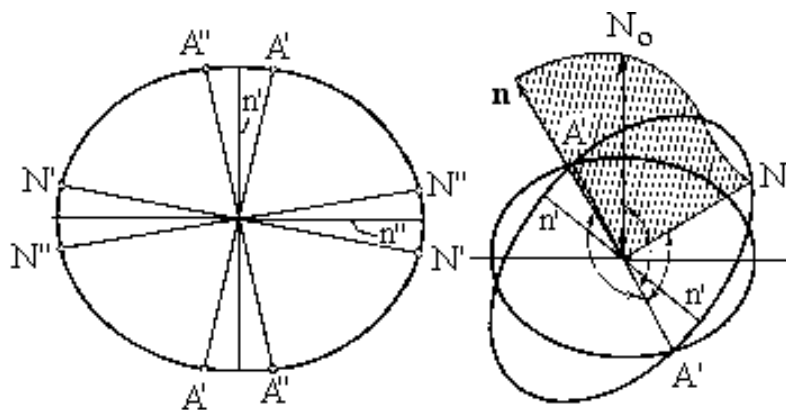
Кристал	n_1	n_2	n_3	$2V^0$
Силитра KNO_3	1.3328	1.49 II	1.4994	6
Аммиак силитрасы NH_4NO_3	1.411	1.605	1.6296	35
Гипс $CaSO_4 \cdot 2H_2O$	1.521	1.523	1.530	58
Арагонит $CaCO_3$	1.530	1.681	1.685	18

Толқын векторының бағытына байланысly толқынларды сыныў көрсеткишиниң аналитикалық мәнислери (V-30) ямаса (V-31) Френел теңлемелери жәрдеминде әмелге асырылады. Әпиұайылық ушын биз жоқарыда қолланғанымыздай толқын векторының бағытын диэлектрик сиңиргишлик тензорының бас көшерлери менен дүзетуғын бағыттаушы косинустары n_x^0 , n_y^0 , n_z^0 лердиң жәрдеминде емес, ал кристалдың оптикалық мүйеши менен жасайтуғын φ_1 хәм φ_2 еки мүйешиниң жәрдеминде беремиз. Усындай жоллар менен толқын векторының бағытын анықлаў арқалы усы бағытта тарқалатуғын толқынлардың сыныў көрсеткишлери n' пенен n'' арасындағы айырманы аңсат есаплаўға болады:

$$\frac{1}{(n')^2} - \frac{1}{(n'')^2} = \left(\frac{1}{\epsilon_x} - \frac{1}{\epsilon_y} \right) \sin \varphi_1 \sin \varphi_2. \quad (V-39)$$

Еки көшерли кристаллардағы толқынлар тербелисиниң бағыты хаққындағы мәселе **Френел теоремасы** жәрдеминде шешиледи. Бул теорема бойынша \mathbf{n} векторына сәйкес

келиуші жақталық толқыны тербеліслері бағыты (яғни \mathbf{D} векторлары бағыты) \mathbf{n} векторына перпендикуляр болған тегісліктегі хәр бири \mathbf{n} векторы менен оптикалық көшерлердің бирін алатуғын еки тегісликтің излери арасындағы мүйешлердің биссектрисасы болып табылады.



52-сүрет. Еки көшерлі кристаллардағы жақтылық толқындарының поляризациясы хақындағы Френель теоремасын келтирип шығару үшін керек болған сүрет.

Мейли \mathbf{n}' пенен \mathbf{n}'' ϵ_{ik}^{-1} тензоры эллипсоидының \mathbf{n} векторына перпендикуляр тегіслік пенен кесилісуінен келип шыққан эллипсінң ярым көшерлери, пл $A'A'$ диаметри бул кесімнің эллипсінң дөңгелек кесими менен кесилісуі сызығы болсын. Эллиптикалық кесімде $A'A'$ ке перпендикуляр $N'N'$ диаметрин жүргіземиз. \mathbf{n} , \mathbf{N}_0 , $N'N'$ лардың $A'A'$ ке перпендикуляр болған бир тегіслікте жататуғынлығы түсиникли. Усындай болған дүзилис басқа дөңгелек кесім хәм басқа оптикалық көшер ушын да қурылыуы мүмкин.

14-санлы лекция. Кристаллдардың структуралық анализі тийкарлары. Электрон тығызлығы функциясы. Фурье интегралы. Температуралық фактор. Кристаллдардағы дифракция

Затлардың атомлық қурылысын үйренуі рентген нурларының, электронлардың ямаса нейтронлардың дифракциясына тийкарланған. Түскен толқындардың шашырауы менен атомлардың жайласуы арасындағы байланысты үйренетуғын дифракция теориясы барлық нурлар ушын бирдей. Бул теорияны биз улыума түрде рентген нурлары дифракциясы мысалында қарап шығамыз.

Егер рентген нурларын атомлар жыйналған орынға бағытласақ усы атомлардың электронлық қабықтары түскен нур менен тәсирлесип, нурды шашыратады. Толқынлардың тарқалыуы бағыты модули

$$|\mathbf{k}| = 2\pi/\lambda \quad (\text{V-40})$$

ге тең болған толқын векторы \mathbf{k} менен бериледи.

Тегис монохромат толқын ушын улыұмалық аңлатпа былай жазылады:

$$A \exp i(\mathbf{k}\mathbf{r} + \alpha). \quad (\text{V-41})$$

Бул жерде A амплитуда, \mathbf{r} кеңіслік ноқатының радиус-векторы, α дәслепки фаза.

Бул жазыуда ұақыт жоқ. Себеби бизди қызықтыратуғын қубылысты талқылағанда толқынның ұақыт бойынша тарқалыуы емес, базы бир ұақыт моментіндеги бирзаматлық дифракциялық сүүрет әхмийетке ийе болады. Бул шашыраған толқынлар арасындағы өз-ара фазалық айырмаларды табыу ушын толық жеткиликли болады. Бул айырмалар тек ғана кеңісліктеги атомлардың жайласыуларына байланысly болып, ұақытқа ғәрезли емес.

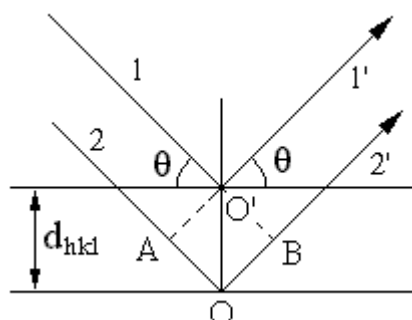
Солай етип бир бағытта таралыушы еки толқын бирдей фазада болса, онда олар бир бирин күшейтеди хәм екиленген амплитудағы толқынды береді. Ал фазалары қарама-қарсы болса, онда бундай толқынлар бир бирин сөндиреди.

Толқынлардың шашырауы серпимли хәм серпимсиз болыуы мүмкин. Ал рентген хәм басқа да толқынлардың кристаллардағы шашырауында тийкаргы орынды серпимли шашырау қурайды. Сонлықтан шашыраған толқынлардың толқын узынлықлары кристалға келип түскен толқынлардың толқын узынлығына тең болады.

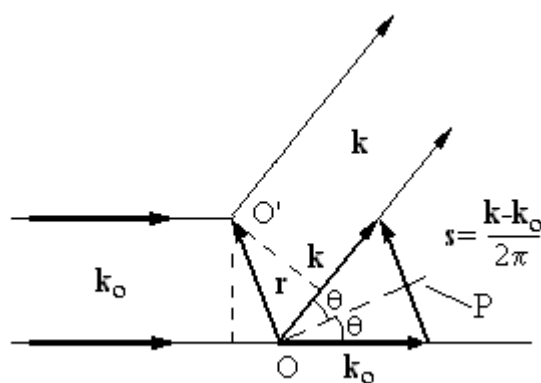
Кристаллардағы толқынлардың дифракциясын кристаллық пәнжерениң тегисликлеріндеги ‘шағылысыу’ сыпатында қарауға болады. ‘Шағылысыу’ өз-ара параллел тегисликлер тәрепинен шағылысқан толқынлар бирдей фазада қосылатуғын жағдайларда орын алады. Бул жағдай сүүретте көрсетилген. 1’ хәм 2’ нурлары (толқынлары) арасындағы жүрислер айырмасы $\Delta = AO + OB$ ға тең. Өз гезегінде $AO = OB = OO' \sin\theta = d \sin\theta$. Демек $\Delta = 2d \sin\theta$. Еки толқынның бир бирин күшейтиуи ушын Δ пүтин сан еселенген толқын узынлығына ($n\lambda$) тең болыуы керек. Яғный

$$2d \sin\theta = n\lambda. \quad (\text{V-42})$$

Шашыраған толқынлардың бағытын (θ), тегисликлер арасындағы қашықлық d_{hkl} ди хәм толқын узынлығы λ ни байланыстыратуғын бул теңлемени Вульф-Брэгг теңлемеси деп атаймыз. n шағылысыу тәртиби деп аталады ($n = 1, 2, \dots$).



53-сүрөт. Вульф-Брэгг теңлемесин келтирип шығарыўға



58V-сүрөт. Еки ноқатлық орайдағы шашыраў.

Енди объекттиң барлық ноқатларында шашырайтуғын екинши толқынларды қараймыз (демек усы ноқатларға келип түсиўши толқынларды биринши, ал шашыраған толқынларды екинши толқынлар деп атаймыз). Мейли O хәм O' болған еки шашыратыўшы орай бар болсын. Усы орайлардың биреўин ($r = 0$ болған) координата басы ретинде қабыл етемиз. Ал екиншисиниң орны r радиус-векторы жәрдемине бериледи. Толқын келип түскенде бул орайлар козады хәм екинши толқынлар дереклерине айланады. Дәслепки толқын улыўма жағдайларда еки орайға хәр қыйлы фазаларда келип жетеди. Сонлықтан шашыраған толқынлар да хәр қыйлы болған дәслепки фазаларға ийе болады. Шашыраған толқынлардың фазалары бир бирине сәйкес келетуғын бағытларда бул толқынлар бир бирин күшейтеди. Ал фазалар қарама-қарсы болып қосылатуғын бағытларда толқынлар бир бирин ҳәлсиретеди.

Егер орайлар арасындағы қашықлық r ден келип түсиўши толқынлардың толқын узынлығы λ әдеўир үлкен болса қәлеген бағытта қосымша фазалар айырмасы пайда болмайды. Сонлықтан шашыраў интенсивлиги мүйешке ғәрезли болмайды. Кристаллар-

дағы атомлар арасындағы қашықтық шама менен $1-4 \text{ \AA}$ болғанлықтан жақтылық (толқын ұзындығы бір неше мың \AA) келип түскенде дифракцияның бақланыуы мүмкін емес.

Ал рентген нурлары, электронлар, нейтронлар толқын ұзындықтары 1 \AA ниң этирапында. Сонлықтан олар атомлардың жыйнағында шашырағанда дифракциялық эффектлерди береді. Принципинде бундай нурлар атомлық қурылысты изертлеу үшін жарамлы болып табылады.

$\mathbf{r} = 0$ хәм \mathbf{r} ноқатларында \mathbf{k} бағытында шашыраған толқынлардың жүрислер айырмасын анықлаймыз. Бул айырма $\mathbf{k}\mathbf{r} - \mathbf{k}_0\mathbf{r} = (\mathbf{k} - \mathbf{k}_0)\mathbf{r}$ ге тең. Солай етип егер түсіуші толқын бирлик амплитудаға ийе болса ($A = 1$), \mathbf{r} де турған шашыратушы орай

$$f \exp i(\mathbf{k}-\mathbf{k}_0)\mathbf{r} = f \exp 2\pi i (\mathbf{S}\mathbf{r}) \quad (\text{V-43})$$

толқынын береді.

f коэффициенті орайдың шашыратушылық күшін береді. (V-43) \mathbf{P} атомлық тегислигиге перпендикуляр \mathbf{S} векторы қолланылған хәм бул вектор былай анықланады:

$$\mathbf{S} = (\mathbf{k}-\mathbf{k}_0)/(2\pi); \quad |\mathbf{S}| = (2 \sin\theta)/\lambda. \quad (\text{V-44})$$

Бул тегислик \mathbf{P} ға салыстырып θ мүйеши өлшенеді.

Егер толқын n шашыратушы орайына ийе объектке келип түссе хәм хәр бир орайдың шашыратушылық қабилетлиги f_j , жайласқан орны \mathbf{r}_j векторы менен анықланатуғын болса (V-43) тийкарында шашыраған толқынлар үшін төмендегидей амплитуда аламыз:

$$\sum_{j=1}^n f_j \exp 2\pi i (\mathbf{S} \mathbf{r}_j) = F(\mathbf{S}). \quad (6)$$

$F(\mathbf{S})$ берілген объекттің **шашырау амплитудасы** деп аталады. Ноқатлық шашыратушы орай үшін \mathbf{r}_j турақты хәм \mathbf{S} ке ғәрезли емес. Шашырау амплитудасы үшін жазылған (V-45)-аңлатпа универсаллық характерге ийе. Өйткени берілген орай үшін шашырату қабилетлиги f ти қурамаластыру арқалы усы орай ретінде электронды, атомды, молекуланы ямаса молекулалардың жыйнағын қарауымыз мүмкін.

Рентген толқынлары (электромагнит толқынлар) объектке келип түскенде электронлар усы толқынларды шашырататуғын ‘физикалық’ ноқатлар болып табылады (Толқынлар келип түскенде атомлардың зарядланған ядролары да тербеліске келеді хәм екінші толқынларды нурландырады. Бирақ (V-46)-аңлатпаның бөліміндегі m ядролардың электронларға қарағанда $m_Z/m_e \approx 10^4$ кем шашыратуғынлығын аңғартады. Сонлықтан әдетте ядролар тәрәпинен шашыраған толқынлар есапқа алынбайды). Хәр бир электрон келип түскен толқынның жийилигиндей (толқын ұзындығы келип түскен толқынның толқын

узынлығындай) жийиликтегі екінші толқынның дерегіне айналады. Электрон тәрепінен шашыратылған толқынның амплитудасы келип түсіуіші толқынның амплитудасына пропорционал хәм төмендегідей аңлатпа жәрдеминде анықланады:

$$f_e = \frac{1}{R} \frac{e^2}{mc^2} \sin \varphi. \quad (V-46)$$

Бул жерде 4 - бақлау ноқатын шекемгі қашықтық, e , m электронның заряды менен массасы, c жақтылықтың тезлигі, $\sin \varphi$ толқынның поляризациясын есапқа алады.

Бир электронның шашырау амплитудасын бирге тең деп қабыл етсек (V-45) ке муўапық қалеген объект тәрепінен шашыраған толқын ‘электронлық’ бирліклерде былай анықланады:

$$F(S) = \sum_{j=1}^n \exp 2\pi i (S f_j). \quad (V-47)$$

Шашырау амплитудасын абсолют бирліклерде аңлатыу ушын F ти f_e ге көбейтиўимиз керек, яғный

$$F_{\text{абс}}(S) = F(S) f_e. \quad (V-48)$$

Биз буннан былай шашыраған рентген нурларының амплитудасын есаплағанымызда (V-47) тийкарында электронлық бирліклерде есаплауды қолланамыз. Интенсивиликтің абсолют мәнісін есаплағанымызда f_e шамасын да есапқа алыўымыз керек.

Электрон тығызлығы функциясы. Фурье интегралы. \mathbf{r}_i ноқатларында жайласқан n ноқаттың дискрет жыйнағын қарауға қарағанда объекттиң үзликсиз тарқалған шашырату қабилетлигин қарап шығыу қолайлы болады. Себеби рентген нурлары электронларда шашырайды, ал олар ушын объекттиң ўақыт бойынша орташаланған электронның тығызлығы’ $\rho(\mathbf{r})$ ‘шашыратыушы материя’ болып табылады. Бул функцияның мәніси \mathbf{r} ноқаты этирапындағы Δv_f көлеми элементиндегі электронлардың орташа саны $n_e(\mathbf{r})$ ге тең:

$$\rho(\mathbf{r}) = n_e(\mathbf{r}) / \Delta v_f. \quad (V-49)$$

Бундай етип тәриплеу квант механикасында кеңнен қолланылады. Бул жерде ўақыт бойынша орташа электронлық тығызлық берілген объекттиң толқын функциясының квадраты менен бериледи:

$$\rho(f) = |\Psi(f)|^2. \quad (V-50)$$

Усындай көз-қараста мәселе шешилетуғын болса дискрет шашыратыўшы орайлар бойынша алынған сумма $\rho(f)$ функциясының үзликсиз өзгеретуғын мәнислери бойынша интеграллаў менен алмастырылады:

$$\begin{aligned} F(S) &= \int \rho(f) \exp [2\pi i(Sf)] dv_f = \\ &= \iiint_{x,y,z=-\infty}^{\infty} f(x,y,z) \exp[2\pi i(xX + yY + zZ)] dx dy dz = F[\rho]. \end{aligned} \quad (51)$$

dv_f шашыратыўшы көлем элементи, S векторының үш кураўшысы X, Y, Z арқалы белгиленген, F Фурье операторы. Бул аңлатпа S векторының функциясына амплитуданы береді, яғный $k = k_0 + 2\pi S$ тиң қәлеген бағытындағы шашыраўды анықлайды.

Дифракцияны тәриплейтуғын бул интеграл математикалық формасы бойынша Фурье интегралы болып табылады. Шашыратыўды тәриплейтуғын $F(S)$ функциясы кери кеңислик деп аталатуғын S векторының кеңислигинде берілген. $\rho(f)$ объекттиң реал кеңисликтегі қурылысын тәриплейди, хәм усы қурылыс пенен бир мәнисли байланысқан.

(V-51)-аңлатпаның жәрдемінде хәр қыйлы болған мәселелерди шешиў мүмкин: атомлардағы, молекулалардағы, хәр қандай формаға ийе хәм ишиндегі шашыратыўшы орайлар хәр қыйлы болып тарқалған тутас объектлердегі шашыраўды анақлаў мүмкиншилигин береді.

Объекттегі электронлардың тарқалыўы $\rho(f)$ атомлардағы электронлардың тарқалыўы $\rho_j(f)$ хәм атомлардың өз-ара жайласыўлары бойынша анықланады. $\rho(f)$ функциясының максимумы атомлардың орайына, ал киши мәнислери атомлар арасындағы химиялық байланысларды әмелге асыратуғын сыртқы электронларға сәйкес келеді. Егер атомлардың орайлары f ноқатында жайласқан болса n атомнан туратуғын жыйындысының электронлық тығызлығы төмендегидей үзликсиз функция менен бериледи:

$$\rho(f) = \sum_{j=1}^n \rho_j(f - f_j). \quad (V-52)$$

Кристал ямаса молекуланың электронлық тығызлығын $[\rho(f)]$ ди] усундай жоллар менен айырым атомлардың электронлық тығызлықтарының суперпозициясы сыпатында анықлаў арқалы электронлардың сыртқы электронлар қабықларындағы айқын түрдегі тарқалыўын есапқа алмаў мүмкиншилигине ийе боламыз. Электронлық тығызлық функциясы $\rho(f)$ барлық ўақытта да оң мәниске ийе.

(V-51)-Фурье интегралы бир тексизликлериниң өлшемлери түсиўши толқын узынлығы менен барабар болған жағдайлардағы дифракция қубылысын тәриплеў ушын жарамлы. Сонлықтан бул интеграл барлық дифракциялық методлар тийкарында жатады.

Атомлық амплитуда изоляцияланған атом тәрепинен шашыраўды анықлайды хәм оны **атомлық фактор** деп те атайды. (V-51) ге атомның электронлық тығызлығы $\rho_a(f)$ ди қойыў арқалы атомлық амплитуданың мәнисин аламыз:

$$f(S) = \int \rho_a(f) \exp [2\pi i(Sf)] dv_{wf}. \quad (V-53)$$

Атомлардың электронлық қабықлары сфералық симметрияға ийе деп есаплаў жеткиликли дәрежеде дурыс болып табылады. Усындай жақынласыў тийкарында (V-51) ни сфералық координаталарда былай жаза аламыз:

$$f(S) = \int_0^\infty 4\pi f^2 \rho_a(f) \frac{\sin sr}{sr} df. \quad (V-54)$$

Бул жерде $s = 2\pi|S| = 4\pi \frac{\sin \theta}{\lambda}$. Солай етип f функциясы s тиң модулинен ғана ғәрезли хәм кери кеңисликте сфералық-симметриялы болады. $f(s)$ ти есаплаў ушын атомлардың электронлық тығызлығы $\rho_a(f)$ диң мәнислерин билиў керек. Хәзирги ўақытлары $\rho_a(f)$ тың мәнислери барлық атомлар ушын квант механикасы усыллары жәрдемінде үлкен дәлликте есапланған.

$$s \rightarrow 0 \text{ де } \frac{\sin sr}{sr} \rightarrow 1 \text{ хәм } f(0) = \int \rho_a(f) dv_f = Z. \quad (V-55)$$

Демек шашыраў мүйешиниң ноллик мәнисинде атомлық амплитуда атомның көлеми бойынша алынған усы атомдағы электронлардың санына тең электронлық тығызлықтың интегралы болып табылады. Шашыраў мүйешиниң үлкейиўи менен f тиң мәнислери киширейеди. f - иймекликлери деп аталатуғын бундай функциялар сүүретте берилген.

Температуралық фактор. Кристалларда атомлар жыллылық қозғалыслары халында болады. Шашыраўды анықлайтуғын электронлық тығызлық функциясы $\rho(f)$ ўақыт бойынша орташаланған электронлық тығызлық болып табылады. Дифракциялық эксперименттиң узақлығы атомлардың жыллылық тербелислери дәўиринен әдеўир үлкен болады. жыллылық қозғалысларын есапқа алыў ушын атомлардың орайларының тең салмақлық халы этирапында тарқалыўының ўақыт бойынша орташасын беретугын $W(f)$ функциясын билиўимиз керек. Бул функция тыныш турған атомның электронлық тығызлығы $\rho(f)$ ди ‘жаяды’ (электронлық тығызлық пенен бирге потенциалды хәм ядролық тығызлықты).

Усындай қозғалыўшы атомдағы электронлық тығызлықты анықлаймыз. Бул ушын атомның f' ноқатына жылжығандағы электронлық тығызлығы $\rho(f - f')$ ты усы ноқатта атомды табыўдың итималлылығы $W(f')$ ке көбейтемиз хәм барлық көлем бойынша тығызлықтың орташа мәнисин есаплаймыз:

$$\rho_{aT}(f) = \int \rho(f - f')W(f')dv_{f'}. \quad (V-56)$$

Бул курамалы системалар тәрәпинен шашыраған толкынның базы бир шашыратыушы бирликтің амплитудасы менен бул бирликлердің өз-ара жайласыулары нызамы белгили болған жағдайлардағы амплитудасын табыудың дара усылы болып табылады.

Улыўма жағдайларда бир $f_1(f)$ функциясы басқа бир $f_2(f)$ функциясы тәрәпинен берилген нызам бойынша тарқалған болса, биргеликтеги тарқалыу

$$\int f_1(f - f')*f_2(f')dv_{f'} = f_1(f)*f_2(f) \quad (V-57)$$

интегралы менен бериледи.

Бундай интеграл свертка интегралы ямаса f_1 хәм f_2 функцияларының сверткасы деп аталады. Хәр бир функцияның Фурье интегралы (V-51) белгили болса, онда сверткадан алынған Фурье интегралы функциялардың хәр бириниң Фурье интегралларының көбеймеси болып табылады:

$$\mathfrak{I}[f_1(f)] = F_1(S), \mathfrak{I}[f_2(f)] = F_2(S), \mathfrak{I}[f_1(f)*f_2(f)] = F_1(S)*F_2(S). \quad (V-58)$$

Бул қатнастар свертка теоремасы сыпатында белгили.

Солай етип (V-56) свертка болып табылады.

$$\rho_{aT}(f) = \rho_a(f)*W(f). \quad (V-59)$$

Жыллылық қозғалысларын тәрәплейтуғын $W(f)$ ден алынған (V-51) Фурье интегралы температуралық фактор болып табылады:

$$f_T(S) = \int W(f)\exp 2\pi i(fS)dv_f. \quad (V-60)$$

Ал жыллылық тербеліслеріндеги атомлық-температуралық фактор деп аталатуғын атомнан шашырау функциясы (V-59) ге хәм свертка теоремасы (V-58) ға мууапық

$$f_{aT}(S) = f_a(S)*f_T(S). \quad (V-61)$$

$W(f)$ функциясының ‘жайылғанлығы’ көп факторларға байланысly. Бирақ биз таллауларымызда атомлардың жыллылық тербеліслери сфералық симметрияға ийе деп есаплаймыз.

Сфералық жақтан симметриялық тербеліслерди Гаусс бөлистирилиуи жәрдемінде тәрәплейди. Бул жағдайда Гаусс бөлистирилиуи атомлардың тең салмақлық ҳалынан орташа квадратлық ауысыуы $\sqrt{u^2}$ ты өз ишине алыуы керек:

$$W(f) = W(f) = \frac{1}{(2\pi \overline{u^2})^{3/2}} \exp(-f^2/2 \overline{u^2}). \quad (V-62)$$

Ал сәйкес температуралық фактор:

$$f_T(S) = \exp(-2\pi \overline{u^2} S^2) = \exp[-B(\frac{\sin \theta}{\lambda})^2]. \quad B = 8\pi^2 \overline{u^2}. \quad (V-63)$$

(V-63)-аңлатпа (V-62) тен (V-54) ти есапқа алыў арқалы алынады. $\sqrt{\overline{u^2}}$ аўысыўы хәр қыйлы органикалық емес кристалларда шама менен $0.08\text{V}-0.1 \overset{\circ}{\text{A}}$, ал органикалық кристалларда $0.5 \overset{\circ}{\text{A}}$ шекем жетеди.

Атомлардың анизотроп тербелислеринде орташа квадратлық аўысыўлар бағытларға байланысly болады. Гармоникалық тербелислер ушын сәйкес аңлатпа былай жазылады:

$$W(f) = \frac{1}{(2\pi)^{3/2} \sqrt{\overline{u_1^2} \overline{u_2^2} \overline{u_3^2}}} \exp[-\frac{1}{2} (\frac{x_1^2}{\overline{u_1^2}} + \frac{x_2^2}{\overline{u_2^2}} + \frac{x_3^2}{\overline{u_3^2}})]. \quad (V-64)$$

Бул аңлатпада x_1, x_2, x_3 арқалы жыллылық тербелислерин тәриплейтуғын эллипсоидтың көшерлери бойынша f векторының аўысыўының координаталары белгиленген, $\sqrt{\overline{u_i^2}}$ усы көшерлер бағытындағы орташа квадратлық аўысыўлар. Улыўма жағдайларда бул эллипсоидлардың көшерлери кристалдың көшерлерине сәйкес келмейди. $f_T(S)$ функциясы мынадай түрге ийе болады:

$$f_T(S) = \exp[-2\pi^2 (\overline{u_1^2} S_{x_1}^2 + \overline{u_2^2} S_{x_2}^2 + \overline{u_3^2} S_{x_3}^2)]. \quad (V-65)$$

15-санлы лекция. Лауэ шәртлери. Шашыраў сферасы.

Структуралық амплитуда. Шашыраўлар интенсивлиги.

Дифракциялық сүўреттиң симметриясы хәм оның кристалл симметриясының ноқатлық топары менен байланысы

Дифракцияға ушыраған нурлардың бағытын математикалық формада анықлаў қыйын емес. Сүўреттеги A_1, A_2, A_3, \dots базы бир атомлар қатары, ал стрелкалар менен көрсетилген бағытлар дифракциялық толқынлар бағытлары болсын. Сонлықтан $M_1 A_1 N_1$ нуры жүрип өткен жолдың шамасы $M_2 A_2 N_2$ жолдың шамасынан пүтин сан еселенген толқын

узынлығына үлкен болыуы керек. $M_1A_1 = M_2B_2$ хәм $C_1N_1 = A_2N_2$ болғанлықтан төмендегидей шәрт жаза аламыз:

$$A_1C_1 - B_2A_2 = m\lambda. \quad (V-66)$$

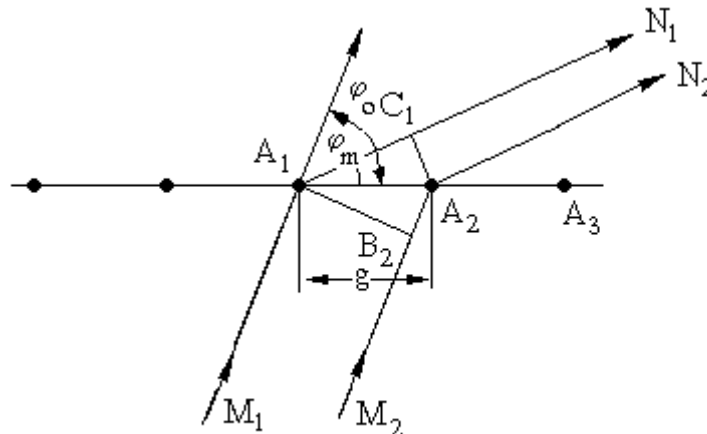
λ толқын узынлығы, m пүтин сан. Қоңысылас атомлар арасындағы қашықлықты g хәрипи менен белгилейик. Усы атомлар қатары менен қатарға келип түсиўши нурлар хәм қатарда дифракцияға ушыраған нурлар бағытларын сәйкес φ_0 хәм φ_m хәриплери менен белгилейик. Сонда $A_1C_1 = g \cos \varphi_m$ хәм $B_2A_2 = g \cos \varphi_0$ екенлиги түсиникли. Демек

$$g (\cos \varphi_m - \cos \varphi_0) = m\lambda \quad (m = 0, 1, 2, \dots) \quad (V-67)$$

Усындай шәртлер басқа бағытлардағы атомлық қатарлар ушын да жазылыуы мүмкин. Бундай жағдайларда

$$\begin{aligned} a(\cos \alpha_p - \cos \alpha_0) &= p\lambda, \\ b(\cos \beta_q - \cos \beta_0) &= q\lambda, \\ c(\cos \gamma_f - \cos \gamma_0) &= f\lambda \end{aligned} \quad (V-68)$$

шәртлерин аламыз хәм бул шәртлерди Лауэ шәртлери деп атаймыз.



58V-сүўрет. Еки ноқатлық орайдағы шашыраў.

Кери пәнжере түйинлериниң өлшемлери. Фурье интегралы кери пәнжерениң ноқатлық түйини түсинигиниң пайда болыуына алып келди. Хәқыйқатында да бул функцияның мәниси h , k хәм l индекслерине ғәрезли болып, интегралға шексиз кеңликке ийе дәўирлик функцияны қойып, оның қайталыныу дәўири шеклери бойынша интеграллағанда ноқатлық түйин алынады. Бирақ шарыратыўшы кристалл шекли өлшемлерге, соған сәйкес бел-

гили V көлеміне хәм шекли сандағы элементар қутышаларға ийе болады. Усының нәтижесінде кери пәнжеренең түйіні $\delta(S-g_{hk1})$ нокатлары болып табылмай, белгили өлшемлерге хәм формаларға ийе болып келеді. Қала берсе кери пәнжере түйінінің формасы кристалдың өзінің формасына байланысly болады.

Кристалдың өлшемлерінің шеклилигін хәм оның формасын тәриплеу үшін форма функциясы деп аталатуғын функция киргиземіз:

$$\Phi(f) = 1 \text{ (кристалдың ишинде) хәм } \Phi(f) = 0 \text{ (кристалдың сыртында)}$$

Бундай жағдайда шексиз үлкен болған кристалл үшін жазылған $\rho_\infty(f)$ функциясы $\Phi(f)$ ге көбейтиу менен формасы $\Phi(f)$ болған кристалдың $\rho_k(f)$ функциясына айланады:

$$\rho_k = \rho_\infty(f)\Phi(f) = \{\rho_{яч}(\rho) * [\sum_{p_1, p_2, p_3=-\infty}^{\infty} \delta(f - t_{p_1 p_2 p_3})]\} \Phi(f). \quad (V-69)$$

Шексиз үлкен кристал үшін шашырау амплитудасы бизге мәлим. Кристалдың формасының Фурье трансформантасы (амплитуда)

$$F(\Phi) = D(S) = \int_V \Phi(f) \exp 2\pi i(Sf) dV_f \quad (V-70)$$

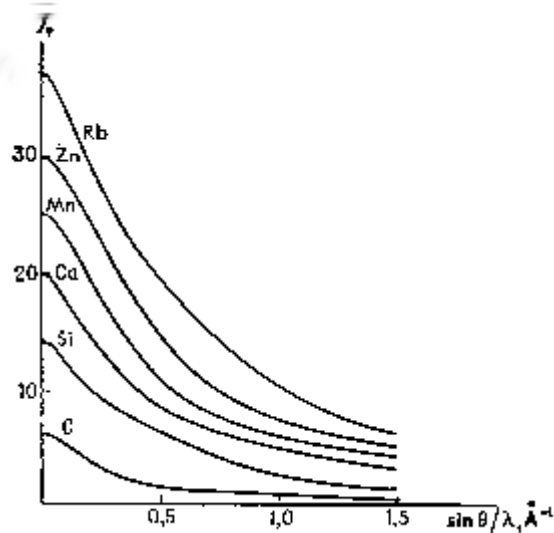
аңлатпасы менен бериледи.

Свертка теоремасы бойынша $\rho_\infty(f)\Phi(f)$ көбеймеси Фурье түрлендириуі нәтижесінде хәр бир трансформанта сверткасына айланады (кейинги еки аңлатпа). Солай етип шекли кристал үшін

$$F_k(S) = [\sum_{hkl} \frac{F_{hkl}}{\Omega} \delta(S-g_{hk1})] * D(S). \quad (V-71)$$

$D(S)$ ке ийе кери пәнжеренің нокатлық түйінінің δ -функциялары $\delta(S-g_{hk1})$ лердің хәр биринің сверткасы енді хәр бир түйіннің D формасына ийе болатуғынлығын аңлатады, яғный

$$\delta(S-g_{hk1}) * D(S) = D(S - g_{hk1}). \quad (V-72)$$



56-сүрөт. Айырым элементтер ушун рентген нурларын шашыратыўдың атомлық амплитудалары иймекликлери.

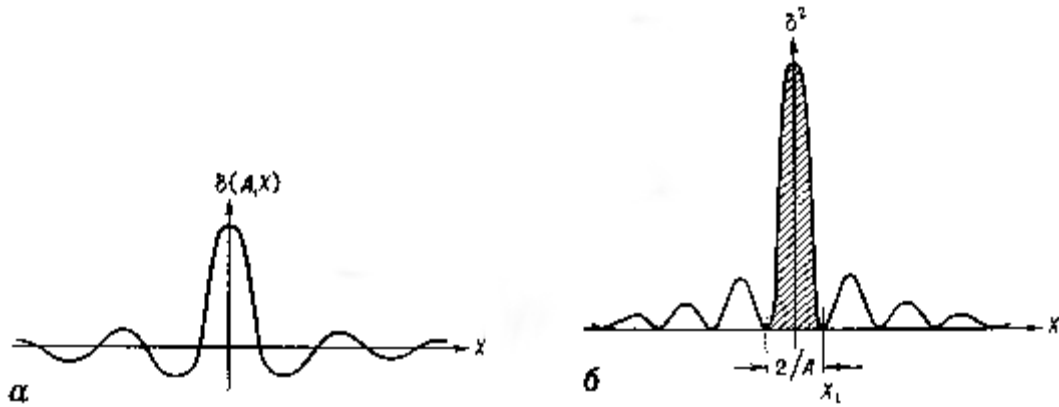
Демек реал шекли кристалдың кери пәнжересиниң түйини кристалдың формасына байланысly болған $D(S)$ тығызлық тарқалыўына ийе болады. Бул тарқалыў барлық түйинлер ушун бирдей (соның ишинде басланғыш 000 түйини ушун да). Нәтийжеде $\Phi(w)$ формасына ийе шекли кристалл тәрәпинен шашыраған амплитудасы төмендегидей аңлатпа менен бериледи:

$$F_k(S) = \frac{1}{\Omega} \sum_{hkl} F_{hkl} D(S - g_{hkl}). \quad (V-73)$$

Егер кристалдың формасы тәрәплери $A_1 A_2 A_3$ болған параллелопипед болған жағдайда

$$D(S) = \int_{-A_1/2}^{+A_1/2} \int_{-A_2/2}^{+A_2/2} \int_{-A_3/2}^{+A_3/2} \exp [2\pi i(xX+yY+zZ)] = \frac{\sin \pi A_1 X}{\pi X} \frac{\sin \pi A_2 Y}{\pi Y} \frac{\sin \pi A_3 Z}{\pi Z} \quad (V-74)$$

аңлатпасы аламыз. Бул аңлатпаның көбейтиўшилерииниң бириниң хәм оның квадраты сүўретте көрсетилген. $D(S)$ функциясының базы бир бағыттағы ярым кеңлиги усы бағыттағы кристалдың өлшеми A_i ге кери пропорционал. Демек реал дифракциялық экспериментте кери пәнжерениң түйини кери кеңисликтеги сызықлы өлшемлери A_i^{-1} ге пропорционал болған шекли аймақ болып табылады. Бул өз гезегинде дифракцияға ушыраған дәстениң шекли мүйешлик ярым кеңликке ийе болатуғынлығын хәм бул ярым кеңлик $\Delta\theta$ ның A_i^{-1} ке пропорционал екенлигин көремиз. Яғный $\Delta\theta \sim A_i^{-1}$ хәм кристал үлкен болған сайын дәсте жиңишке болады. Жоқарыдағы кейинги аңлатпадағы хәр бир көбейтиўши максимумында A_i ге тең. Сонлықтан $D(S)$ максимумда $A_1 A_2 A_3 = V$ кристалдың көлемине тең болады.



57-сүрөт. $\delta(A, x)$ функциясы (а) хэм оның квадраты (б)

Хәр бир көбөйтүшүниң квадраты бойынша сызылған иймеклик қоршаған майдан былай есапланады:

$$\int_{-\infty}^{+\infty} \frac{\sin^2 \pi A_i X}{(\pi X)^2} dX = A_i. \quad (V-75)$$

Демек $|D|^2$ тың мәнислери бойынша алынған интеграл

$$\int |D(S)|^2 dV_s = A_1 A_2 A_3 = V \quad (V-76)$$

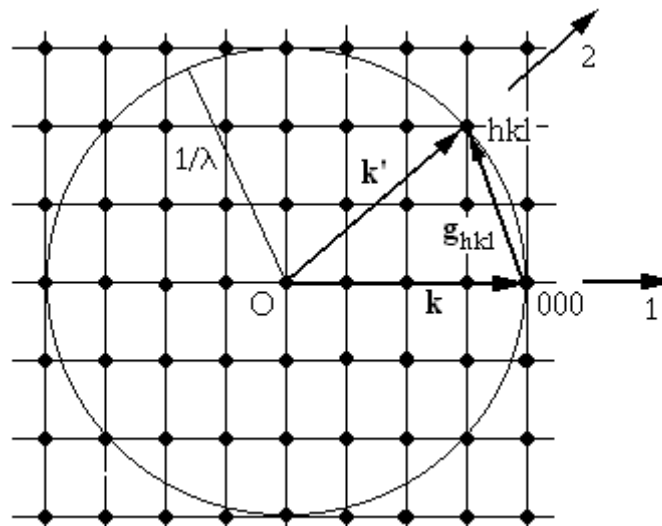
кристалдың көлемине тең.

Шашырау сферасы. Енди дифракция шәртин талқылауға қайтадан ораламыз. Монохроматик нурланыу жағдайында (турақлы λ де) бул шәртти ықшамлы геометриялық дүзиліс - Эвальд сферасы жәрдеминде көргизбелі түрде сәулелендире аламыз.

Эвальд сферасын қолланыуды көрсететуғын сүрөтте $\mathbf{k} = \mathbf{k}' = 1/\lambda$. $\mathbf{g}_{hkl} = 1/d_{hkl}$. \mathbf{k} кристалға келип түсіуші толқынның толқын векторы, ал \mathbf{k}' дифракцияға ушыраған толқынның толқын векторы. Усы еки вектордың айырмасының кери пәнжере векторы \mathbf{g}_{hkl} тең болыуының кереклиги сүрөтте көрсетілген. 1 саны менен кристалға келип түсіуші толқынның бағыты белгиленген, ал 2 саны менен көрсетілген стрелка дифракцияға ушыраған толқынның бағытын сәулелендиреди.

Сүрөтте көрсетилгениндей, Эвальд сферасының радиусы $R_E = 1/\lambda$ ге тең. Усы тийкарда ZnS кристалларын изертлегенде бундай қурылысты дүзиудің тәртіби менен танысамыз. Мейли рентген нуры кристалға [100] бағытында келип түсетуғын болсын. Сон-

лықтан $\mathbf{g}_{(100)}$ хәм $\mathbf{g}_{(010)}$ векторлары жататуғын кери пәнжере торын дүзиўимиз керек. Мыс анодында қозған K_α рентген толқынын аламыз Бундай толқын ушын толқын узынлығы $\lambda = 1.5418 \text{ \AA}$. Демек $R_\Theta = 1/\lambda = 1/1.5418 \text{ \AA}^{-1}$. Қағаз бетинде бул шама әдетте 100 мм (10 см) ге тең етип алынады. Усындай масштабларда $\mathbf{g}_{(100)}$ хәм $\mathbf{g}_{(010)}$ векторларының модуллери былай есапланады: ZnS кристаллары ушын $a = 5.409 \text{ \AA}$. Ал $|\mathbf{g}_{(100)}| = |\mathbf{g}_{(010)}| = 1/d_{(100)} = 1/a = 1/5.409 \text{ \AA}^{-1}$. $1/1.5418 \text{ \AA}^{-1} = 100 \text{ мм}$ болғанлықтан $1/5.409 \text{ \AA}^{-1} = 28.5 \text{ мм}$ болыўы керек. Солай етип биз қарап атырған жағдайда тәреплериниң узынлығы 28.5 мм болған тор соғыўымыз керек екен. \mathbf{k} векторының ушын 000 түйинине барып тиреледи, ал усы вектордың басында Эвальд сферасының орайы жайласады. Эвальд сферасы менен кесилискен кери пәнжерениң барлық түйинлери ушын дифракция шәрти орынланады. Бирақ барлық түйинлердиң ‘салмағы’ бирдей емес. Ал бул ‘салмақ’ болса структуралық амплитуда F_{hkl} жәрдемінде бериледи.



58-сүүрет. Дифракция шәртин Эвальд сферасы жәрдемінде көрсетиў.

Бул сүүретте кристалдың кери пәнжереси тегислиги менен

Эвальд сферасының кесилисиўи сәўлелендирилген.

Структуралық амплитуда. Структуралық амплитуда (структуралық фактор деп те атаймыз) элементар кутышадағы $\rho(f)$ электронлық тығызлықтың тарқалыўы бойынша анықланып, кутышадағы электронлық тығызлықтың Фурье интегралы (коэффициентлери) болып табылады. Демек структуралық амплитуда F_{hkl} элементар кутышадағы электронлардың координаталарына ғәрезли болады деген сөз.

Әдетте структуралық амплитуданың модули шексіз үлкен, жутпайтуғын идеал мозаикалық кристал тәрәпинен шашыраған нурдың амплитудасын (бир элементар қутышаға сәйкес келіуіші электронлық бірліклерде берілген) айтамыз.

Элементар қутышадағы j -атомның координатасын f_j арқалы белгілейік. Бундай жағдайда хәр бир атомның электронлық тығызлықтарының қосындысы былай анықланады $\rho_{(ат)j} = \rho_j$, $\rho = \sum \rho_j(f - f_j)$. Бул аңлатпаны Фурье интегралы аңлатпасына қоямыз. хәр бир ρ_j қа қутышадағы атомлардың координаталарын есапқа алатуғын $\exp 2\pi i(f_j g)$ фазалық көбейтіушіге ийе f_{jT} атомлық-температуралық факторды есапқа аламыз. Сонлықтан

$$F_{hkl} = \sum_{j=1}^n f_{jT} \frac{\sin \theta}{\lambda} \exp 2\pi i(f_j g) = \sum_{j=1}^n f_{jT} \exp 2\pi i(hx_j + ky_j + lz_j). \quad (V-77)$$

Бул аңлатпа бир элементар қутыша тәрәпинен шашыраған толқынның амплитудасын береді хәм структуралық амплитуда ямаса структуралық фактор деп аталады. Аңлатпада координаталар периодтың үлесінде берілген: $x_i = x_{ia6c}/a_i$.

F_{hkl} комплекс шама болып табылады.

$$F = A + iB.$$

$$A = \sum f_i \cos 2\pi(hx_j + ky_j + lz_j), \quad (V-78)$$

$$B = \sum f_i \sin 2\pi(hx_j + ky_j + lz_j).$$

F ти модули $|F|$ хәм фазасы α арқалы жазыу мүмкін:

$$\begin{aligned} \operatorname{tg} \alpha &= B/A, \quad |F| = (A^2 + B^2)^{1/2}, \\ A &= |F| \cos \alpha, \quad B = |F| \sin \alpha, \quad F = |F| \exp i\alpha. \end{aligned} \quad (V-79)$$

Жоқарыда келтирилген формулалар бирқанша жағдайларда басқаша да жазылыуы мүмкін. Мысалы

$$F_{hkl} = \sum_{j=1}^n f_j A_j + i \sum_{j=1}^i f_j B_j$$

Бул жерде

$$A_j = \cos 2\pi(hx_j + ky_j + lz_j),$$

$$B_j = \sin 2\pi(hx_j + ky_j + lz_j).$$

Шашыраулар интенсивлиги. Биз жоқарыда \mathbf{S} векторы ямаса кери пәнжере векторы \mathbf{g} бағытлары бойынша анықланатуғын шашырау амплитудасы хаққында гәп еттик. Экспериментте шашыраған толқынлар анау ямаса мынау детектордың жәрдемінде есапка алынатуғын жағдайда уақыт бойынша орташа, амплитуданың модулинің квадратына пропорционал болған шашырау интенсивлиги анықланады:

$$I_{hkl} |F_{hkl}| = F_g F_g^* = A^2 + B^2. \quad (V-80)$$

(V-80) нен дифракциялық экспериментте тек ғана шашырау амплитудасы модулинің өлшенетуғынлығы көринип тур. Ал шашыраған толқынлардың фазалары хаққындағы информациялар толығы менен жоғалады. Бул жағдай структуралық анализди, яғный дифракциялық нәтийжелер бойынша структураны анықлауды курамаластырады. Бул жағдайды айрықша атап өтиу керек.

Структуралық амплитуда ушын жазылған (V-78) пенен (V-79)-аңлатпаларға кристалдағы барлық атомлар ушын атомлық-температуралық факторлар, хәм олардың хәр бири ушын тригонометриялық көбейме киреди. Бул көбейме -1 ден +1 ге шекемги мәнисти қабыл етеди. Соның менен бирге f_j ниң мәниси $\sin\theta/\lambda$ ниң өсиуи менен монотонлы кемейеди. $[\exp 2\pi i(fg)]^2$ тың орташа мәниси $[\overline{\exp 2\pi i(\mathbf{rg})}]^2 = 1$. Сонлықтан (V-74) пенен (V-80) ден $\sin\theta/\lambda$ ниң өсиуи менен интенсивликтиң кемейиуи төмендеги формула жәрдемінде анықланады:

$$I_{hkl}(\sin\theta/\lambda) = \overline{|F_{hkl}|^2} = \sum_{j=1}^N f_{jT}^2(\sin\theta/\lambda). \quad (V-81)$$

Солай етип I_{hkl} интенсивликлери хәр қыйлы болса да, олар $\sin\theta/\lambda$ ге байланыслы орташа бирдей болып киширейеди. Олардың бақланыуы ‘шегарасы’ әдетте $|g_{hkl}| = 1/d_{\min} = 1 - 2 \overset{\circ}{\text{Å}}$ шамасында жатады.

Интенсивлилик пенен f_{aT}^2 арасында интенсивликтиң сақланыуы нызамы деп аталатуғын және бир қатнас бар. Фурье қатарлары теориясынан төмендегидей теңликке ийе боламыз:

$$\sum_{\mathbf{g}} |F_{\mathbf{g}}|^2 = \frac{1}{\Omega} \int \rho^2(\mathbf{r}) dv_r. \quad (V-82)$$

Басқа тәрәптен (V-52) бойынша ρ ны айырым атомлардың электронлық тығызлығы ρ_j пенен де аңлатыуға болады. Ал ρ_j ларды (V-54)-түрдеги Фурье интегралы тийкарында атомлық-температуралық факторлар арқалы аңлатыуға болады:

$$\sum_{\mathbf{g}} \delta_{\mathbf{g}} = \frac{1}{\Omega} \int f_{jT}^2(\mathbf{S}) 4\pi S^2 dS. \quad (\text{V-83})$$

Солай етип кери пәнжерениң барлық \mathbf{g}_{hk1} түйинлери бойынша алынған интенсивликлердиң суммасы турақлы шама. Бул шама кристалл ушын (V-83) тиң оң тәрәпине сәйкес атомлық-температуралық фактордың тийкарында есапланыўы мүмкин.

Дифракциялық сүўреттиң симметриясы хәм оның кристаллдың симметриясының ноқатлық топары менен байланысы. Егер хәр бир түйининиң ‘салмағын’ есапқа алмасақ кери пәнжерениң дәўирли екенлигин аңсат аңғарыўға болады. Ал ‘салмақ’ есапқа алынған жағдайда кери пәнжере дәўирли болмай шығады хәм оның симметриясы кристаллографиялық ноқатлық топарлардың бири менен тәриплениўи мүмкин. (V-78) пенен (V-79) дан 000 түйинине салыстырғанда симметриялы жайласқан $hk1$ хәм $\bar{h}\bar{k}\bar{l}$ шашыраўларының структуралық амплитудалары (яғный \mathbf{g} хәм $\bar{\mathbf{g}}$ ларға сәйкес келиўши шашыраўлардың структуралық амплитудалары) комплексли-түйинлес шамалар болып табылады:

$$F_{\mathbf{g}} = F_{hk1} = F_{\bar{h}\bar{k}\bar{l}}^* = F_{\mathbf{g}}^*. \quad (\text{V-84})$$

Демек F тиң модуллери $|F|$ хәм бақланатуғын интенсивликлери бирдей болады деген сөз:

$$I_{\mathbf{g}} = I_{\mathbf{g}}^*. \quad (\text{V-85})$$

Бул қатнас Фридель нызамы түринде белгили. Бул нызам бойынша кери пәнжере орайға қарата симметриялы, оның \mathbf{g} хәм $\bar{\mathbf{g}}$ түйинлери бирдей салмаққа ийе болады.

16-санлы лекция. Дифракциялық сүўретте кристаллдың кеңисликтеги симметриясының көриниўи. Өшиўлер

Структуралық фактор ушын жазылған (V-77)-аңлатпағы атомлардың элементар қутышадағы координаталары x_i лер де киреди. Егер кристалдың кеңисликтеги топары симметриялы болмаса ($P1$ болса), онда (V-77)-аңлатпа өзгериске ушырамайды. Басқа барлық топарларда ноқатлар координаталары арасында симметриялық байланыслар бар [яғный ноқатлардың дурыс системасы (НДС) бар]. Қутышадағы атомлар усындай бир ямаса бир неше НДС ны ийелеўи мүмкин. Сонлықтан структуралық фактор ушын дүзилген аңлатпаларды адеўир әпиўайыластырыў мүмкин. Берилген НДС на кириўши

координаталары xyz болған барлық n дана атомның координаталары қутышаның ғәрезсиз областындағы бир атомның xyz координаталары бойынша анықланатуғын болғанлықтан n атомның хәр бир НДС (n бул жерде позицияның ретлилигин аңлатады) ушын структуралық фактор бир аңлатпа менен аңлатылады. Сонлықтан структуралық фактор k дана қосындыға бөлинеди. Солардың хәр бири бир НДС ын ийелеуши атомлардың жыйнағына сәйкес келеди. Солай етип $k_1n_1 + k_2n_2 + \dots + k_in_i = N$ - элементар қутышадағы барлық атомлардың санына тең.

Симметрияның ең әпиұайы мысал ретинде симметрия орайының бар болыуын көремиз. Координата орайы симметрия орайында жайласқан болсын. Бундай жағдайда егер координаталары xyz болған атом болса, онда ол атомға симметриялы координаталары \overline{xyz} болған да атом болады. Сонлықтан (V-77) теги \exp косинусқа алмастырылады, F белгиси оң ямаса терис болған ҳақыйқый шамаға айланады, $B = 0, \alpha = 0$.

Онда

$$F_{hk1} = 2 \sum_{j=1}^{N/2} f_j \cos 2\pi(hx_k + ky + lz). \quad (V-86)$$

Суммалау тек ғана симметриялық жақтан ғәрезсиз атомлар бойынша жүргизиледи.

Бирқанша мысаллар келтиремиз.

1-мысал. Алмаздың қурылысы кублық қутыша менен тәрипленеди. Элементар қутышадағы атомлардың координаталары (базиси): $000; 1/2 \ 1/2 \ 0; 1/2 \ 0 \ 1/2; 0 \ 1/2 \ 1/2; 1/4 \ 1/4 \ 1/4; 3/4 \ 3/4 \ 1/4; 3/4 \ 1/4 \ 3/4; 1/4 \ 3/4 \ 3/4$ (элементар қутышаға сегиз атом сәйкес келетуғынлығы көринип тур). F^2 тың мәнислери менен өшиу нызамын анықлайық.

Бул жағдайда структуралық амплитуда ушын аңлатпа $F = \sum_j f_j \exp 2\pi i(hx_j + ky_j + lz_j)$

сегиз ағзадан турады хәм төмендегидей түрге аңсат алып келинеди:

$$F(hk1) = f_C F_1 F_2.$$

Бул жерде $F_1 = 1 + \exp i \frac{\pi}{2} (h+k+1)$ хәм

$$F_2 = 1 + \exp i\pi(h+k) + \exp i\pi(h+1) + \exp i\pi(k+1).$$

Енди $hk1$ лердің қандай мәнислеринде F^2 тың мәнислериниң нолден өзгеше болатуғынлығын қараймыз.

Егер $h, k, 1$ лер бирдей жуплылыққа ийе болса (үшеуи де жуп ямаса үшеуи де тақ) $F_2 = 4$. $h+k+1=4n$ болған жағдайда $F^2 = 64f_C^2$; $h+k+1=2n+1$ де (үшеуиниң қосындысы тақ шама) $F^2 = 32f_C^2$; $h+k+1=4n+2$ де $F_1 = 0$ хәм, сәйкес, $F^2=0$.

Егер $h, k, 1$ лер хәр қыйлы жуплылыққа ийе болса (жуп санлар менен тақ санлардың араласы) $F_2=0$ хәм $F^2=0$.

Солай етип өшиү төмендегидей жағдайларда бақланады (бундай жағдайда төмендегидей шәртлер орынланғанда шашырау орын алмайды):

- 1) h, k, l лер хәр қандай жуплылыққа ийе болғанда;
- 2) $h+k+l=4n+2$ болғанда.

Екинши мысал ретинде ZnS кристаллының еки модификациясын аламыз.

Кублық қурылысқа ийе сфалерит төмендегидей базиске ийе:

$Zn - 000; 1/2 \ 1/2 \ 0; 1/2 \ 0 \ 1/2; 0 \ 1/2 \ 1/2.$

$S - 1/4 \ 1/4 \ 1/4; 3/4 \ 3/4 \ 1/4; 3/4 \ 1/4 \ 3/4; 1/4 \ 3/4 \ 3/4.$

Гексагоналық қурылысқа ийе вюрцит төмендегидей базиске ийе:

$Zn - 1/3 \ 2/3 \ 0; 2/3 \ 1/3 \ 1/2.$

$S - 1/3 \ 2/3 \ z; 2/3 \ 1/3 \ 1/2 + z \ (z = 0.375 \approx 3/8).$

8. Сфалерит ушын мәселени былай шешемиз:

$$F(hk1) = F_2[f_{Zn} + f_S \exp i \frac{\pi}{2} (h+k+1)].$$

Бул жерде $F_2 = 1 + \exp i\pi(h+k) + \exp i\pi(h+1) + \exp i\pi(k+1).$

1. Егер h, k хәм l лер бирдей жуплылыққа ийе болса $F_2 = 4$. Усының менен бирге

- а) $h+k+l = 4n$ де $F^2 = 16(f_{Zn} + f_S)^2$;
- б) $h+k+l = 4n \pm 2$ де $F^2 = 16(f_{Zn} - f_S)^2$;
- в) $h+k+l = 2n \pm 1$ де $F^2 = 16(f_{Zn} + f_S)^2$;

2. Егер h, k хәм l лер хәр қыйлы жуплылыққа ийе болса $F_2 = 0$ хәм соған сәйкес $F^2 = 0$.

II. Вюрцит ушын мәселе былай есапланады:

$$\begin{aligned} F(hk1) &= f_{Zn} \exp i2\pi \frac{h+2k}{3} + f_S \exp i2\pi \left(\frac{2h+k}{3} + \frac{l}{2} \right) + \\ &+ f_S \exp i2\pi \left(\frac{h+2k}{3} + 1z \right) + f_S \exp i2\pi \left(\frac{2h+k}{3} + \frac{l}{2} + 1z \right) = \\ &= [f_{Zn} + f_S] \left[\exp i2\pi \frac{h+2k}{3} + \exp i2\pi \left(\frac{h+2k}{3} + 1z \right) \right]. \end{aligned}$$

$A_1 = (f_{Zn} + f_S)^2$ хәм $A_2 = \left(\exp i2\pi \frac{h+2k}{3} + \exp i2\pi \left(\frac{h+2k}{3} + 1z \right) \right)^2$ деп белгилеп аламыз.

Сонда

$$F^2(hk1) = A_1 * A_2.$$

$h+2k$ ның хәр қандай мәнислериндеги $F^2(hk1)$ диң мәнислериниң еки топарын қараймыз.

1. $h+2k = 3n$. Онда $A_2 = (1+i\pi)^2$.

Бундай жағдайда $1 = 2m+1$ болғанда $A_2=0$; $F^2=0$.

$1=8m$ де $A_2=4$; $A_1=(f_{zn} + f_s)^2$; $F^2=4(f_{zn} + f_s)^2$.

$1=4(2m+1)$ де $A_2=4$; $A_1=(f_{zn} - f_s)^2$; $F^2=4(f_{zn} - f_s)^2$

$1=2(2m+1)$ де $A_2=4$; $A_1 = f_{zn}^2 + f_s^2$; $F^2 = 4(f_{zn}^2 + f_s^2)$.

2. $h+2k=3n\pm 1$. $A_2 = [\exp \frac{i2\pi}{3} + \exp(i\pi) * \exp(-\frac{i2\pi}{3})]$.

$1=8m$ де $A_1 = (f_{zn} + f_s)^2$; $A_2 = 1$; $F^2 = (f_{zn} + f_s)^2$.

$1=4(2n+1)$ де $A_1 = (f_{zn} - f_s)^2$; $A_2 = 1$; $F^2 = (f_{zn} - f_s)^2$.

$1=2(2m+1)$ де $A_1 = f_{zn}^2 + f_s^2$; $A_2=1$; $F^2 = f_{zn}^2 + f_s^2$.

$1=8m\pm 1$ де $A_1 = f_{zn}^2 + f_s^2 - \sqrt{2} f_{zn} * f_s$; $A_2=3$;

$F^2 = 3(f_{zn}^2 + f_s^2 - \sqrt{2} f_{zn} * f_s)$.

$1=4(2m+1) \pm 1$ де $A_1 = f_{zn}^2 + f_s^2 + \sqrt{2} f_{zn} * f_s$; $A_2=3$;

$F^2 = 3(f_{zn}^2 + f_s^2 + \sqrt{2} f_{zn} * f_s)$.

Енді структурада бір сортағы атомлар хәм симметрия орайы бар болған жағдайларды қараймыз.

Эпиұайы кублық пәнжере жағдайында төмендегилерге ийе боламыз:

Элементар қутышаға тек бір түйін сәйкес келеди. Оның базиси 000.

Демек $F^2 = f^2$ хәм бундай кристаллар ушын өшиў қағыйдасы орын алмайды.

Көлемде орайласқан қутышада базис 000; $1/2 \ 1/2 \ 1/2$.

Демек

$$F = f * [1 + \cos 2\pi \frac{1}{2} (h+k+1)] = f * \cos \pi (h+k+1).$$

Бундай жағдайда $\cos \pi (h+k+1)$ тек ғана еки мәниске (± 1) ийе болады.

Егер h, k хәм 1 лер хәр қыйлы жуплылыққа ийе болса $\cos \pi (h+k+1) = -1$ хәм $F = 0$.

Егер h, k хәм 1 лер бирдей жуплылыққа ийе болса $\cos \pi (h+k+1) = 1$ хәм $F = f$.

Демек көлемде орайласқан кристалларда $h+k+1$ қосындысы жуп сан болғанда ғана дифракциялық сүүрет бақланады.

Енді қапталда орайласқан кублық кристалларды қараймыз. Базис - 000, $0 \ 1/2 \ 1/2$; $1/2 \ 0 \ 1/2$; $1/2 \ 1/2 \ 0$.

Демек

$$F = f * [1 + \cos \pi (h+k) + \cos \pi (h+1) + \cos \pi (k+1)].$$

Бунда еки жағдайдың болыўы мүмкин:

h, k хәм 1 лердің жуплылығы бирдей. Онда $F = 4f$.

H , k хәм l лер хәр қыйлы жуплылыққа ийе. Онда $F = 0$.

Демек биз кери пәнжерелердин элементар қутышалары ҳаққында төмендегидей жуўмақларға келемиз.

Егер туўра пәнжере эпийайы P қурылысқа ийе болса (элементар қутыша орайласпаған) кери пәнжере де эпийайы қурылысқа ийе болады (элементар қутышасы орайласпаған). Ал көлемде орайласқан туўры элементар қутышаға кери кеңисликте қапталда орайласқан элементар қутышасы бар пәнжере, қапталда орайласқан туўры пәнжереге кери кеңисликте көлемде орайласқан пәнжере сәйкес келеди. Бул жағдайлар сүүретлерде келтирилиген.

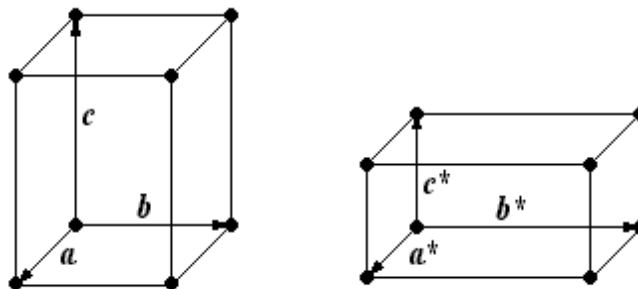
Екинши тәрептен кристаллық пәнжерениң орайласыўы бойынша алынған дифракциялық сүүретлердеги дифракциялық дақлардың орналасыўы да белгили бир ызымлылықларға ийе болады. Бундай ызымлылықлар кублық қурылысқа ийе унталған кристаллардан ямаса поликристаллардан алынған сүүретлерде анық көринеди хәм төмендегилерден ибарат:

Орайласпаған кристаллар ушын (эпийайы P -пәнжере) өшиў шәртлери жоқ, сонлықтан барлық $\{hkl\}$ кристаллографиялық тегисликлер семействолары өзиниң дифракциялық сызықларын береди хәм олар d_{hkl} лердин кемейиў бағытында жайласады.

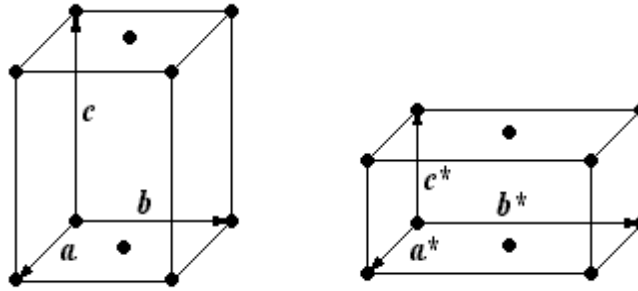
Көлемде орайласқан кристаллар (J -пәнжере) ушын дифракциялық сүүреттиң аланыўы ушын $h+k+l$ қосындысы жуп мәнислерге ийе болғанлығы себепли бир қанша рефлекслер рентгенограммада алынбайды (111, 001, 331 х.т.б.).

Қапталда орайласқан кристаллар (F -пәнжере) ушын h , k хәм l лердин барлығы да бир ўақытта я жуп, я тақ болыўы керек хәм усыған байланыслы бир қанша рефлекслер сөнеди (мысалы 100, 110, 221, 211 х.т.б.).

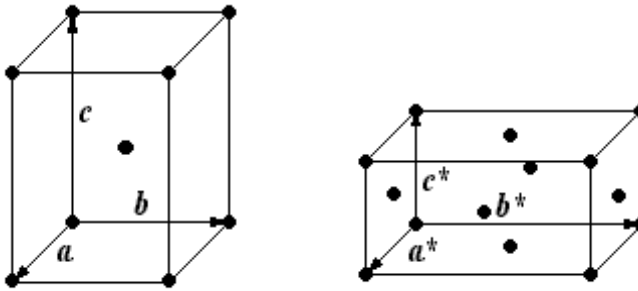
А



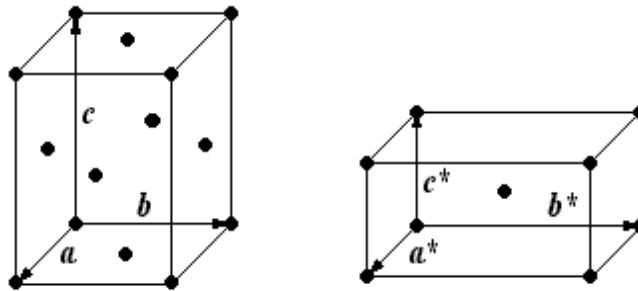
Б



В



Г



59-сүўрет. Атомлық ҳәм оларға сәйкес келиўши кери пәнжерелер.

а - әпиўайы, б - базада орайласқан, в - көлемде орайласқан,

г - қапталда орайласқан.

Жоқарыда келтирилген жағдайларды есапка алсақ дебаеграммадағы кублық кристаллар беретугын дифракциялық рефлеслердиң жайласыў избе-излиги ушын төмендегидей кестени дүзе аламыз:

Эквивалент тегислик- лер саны	Р-пәнжере	І-пәнжере	Ғ-пәнжере	Алмаз
6	100			
12	110	110		
8	111		111	111
6	200	200	200	
24	210			

24	211	211		
12	220	220	220	220
24+6	221, 300			
24	310			
24	311		311	311
8	222		222	
24	320			
48	321	321		
Y	400	400	400	
24+24	322, 410			
12+24	330, 411	330, 411		
24	331		331	
24	420	420	420	
48	421			
24	332	332		
24	422	422	422	422
24+6	430, 500			
48+24	431, 510	431, 510		
8+24	333, 511		333, 511	333,511
48+24	432, 520			
48	521	521		
12	440	440	440 (12)	440
24+24	441, 522			
24+24	433, 530	433, 530		
48	531		531 (48)	531

Атомлық шашырау факторлары

$s/2=\sin\theta/\lambda$	0	0.1	0.2	0.3	0.4	0.5	0.6	0.7	0.8	0.9	1.0	1.1
$d=1/s=\lambda/2\sin\theta$ $n\theta$ (°)		5	2.5	1.66 7	1.25	1	0.83 3	0.71 4	0.62 5	0.55 6	0.5	0.45 5
1. H	1.0	0.81	0.48	0.25	0.13	0.07	0.04	0.03	0.02	0.01	0.00	0.00
2. He	2.0	1.88	1.46	1.05	0.75	0.52	0.35	0.24	0.18	0.14	0.11	0.09
3. Li^{8+}	2.0	1.96	1.8	1.5	1.3	1.0	0.8	0.6	0.5	0.4	0.3	0.3
3. Li^8	3.0	2.2	1.8	1.5	1.3	1.0	0.8	0.6	0.5	0.4	0.3	0.3
4. Be^{+2}	4.0	2.9	1.9	1.7	1.6	1.4	1.2	1.0	0.9	0.7	0.6	0.5
5. Be^{+3}	5.0	3.5	2.4	1.9	1.7	1.5	1.4	1.2	1.2	1.0	0.9	0.7
6. C	6.0	4.6	3.0	2.2	1.9	1.7	1.6	1.4	1.3	1.2	1.0	0.9
7. N^{+5}	2.0	2.0	2.0	1.9	1.9	1.8	1.7	1.6	1.5	1.4	1.3	1.16
7. N^{+3}	4.0	3.7	3.0	2.4	2.0	1.8	1.66	1.56	1.49	1.39	1.28	1.17
7. N	7.0	5.8	4.2	3.0	2.3	1.9	1.65	1.54	1.49	1.39	1.29	1.17
8. O^{-2}	10.0	8.0	5.5	3.8	2.7	2.1	1.8	1.5	1.5	1.4	1.35	1.26
8. O	8.0	7.1	5.3	3.9	2.9	2.2	1.8	1.6	1.5	1.4	1.35	1.26
9. F^{-}	9.0	7.8	6.2	4.45	3.35	2.65	2.15	1.9	1.7	1.6	1.5	1.35
11. Na^{+}	10.0	9.5	8.2	6.7	5.25	4.05	3.2	2.65	2.25	1.95	1.75	1.6
12. Mg^{+2}	10.0	9.75	8.6	7.25	6.05	4.8	3.85	3.15	2.55	2.2	2.0	1.8
12. Mg	12.0	10.5	8.6	7.22	6.05	4.8	3.85	3.15	2.55	2.2	2.0	1.8
13. Al^{+3}	10.0	9.7	8.9	7.8	6.65	5.5	4.45	3.65	3.1	2.65	2.3	2.0
13. Al	13.0	11.0	8.95	7.75	6.6	5.5	4.5	3.7	3.1	2.65	2.3	2.0
14. Si^{+4}	10.0	9.75	9.15	8.25	7.15	6.05	5.05	4.2	3.4	2.95	2.6	2.3
14. Si	14.0	11.3	9.4	8.2	7.15	6.1	5.1	4.2	3.4	2.95	2.6	2.3
15. P^{+5}	10.0	9.8	9.25	8.45	7.5	6.55	5.65	4.8	4.05	3.4	3.0	2.6

15. P	15.0	12.4	10.0	8.45	7.45	6.5	5.65	4.8	4.05	3.4	3.0	2.6
15. P ⁻³	18.0	12.7	9.8	8.4	7.45	6.5	5.65	4.85	4.05	3.4	3.0	2.6
16. S ⁺⁶	16.0	13.6	10.7	8.95	7.85	6.85	6.0	5.25	4.5	3.9	3.35	2.9
17. Cl	17.0	14.6	11.3	9.25	8.05	7.25	6.5	5.75	5.05	4.4	3.85	3.35
17. Cl ⁻	18.0	15.2	11.5	9.3	8.05	7.25	6.5	5.75	5.05	4.4	3.85	3.35
19. K ⁺	18.0	16.5	13.3	10.8	8.85	7.75	7.05	6.44	5.9	5.3	4.8	4.2
19. K	19.0	16.5	13.3	10.8	9.2	7.9	6.7	5.9	5.2	4.6	4.2	3.7
20. Ca ⁺²	18.0	16.8	14.0	11.5	9.3	8.1	7.35	6.7	6.2	5.7	5.1	4.6
20. Ca	20.0	17.5	14.1	11.4	9.7	8.4	7.3	6.3	5.6	4.9	4.5	4.0
21. Sc ⁺³	18.0	16.7	14.0	11.4	9.4	8.3	7.6	6.9	6.4	5.8	5.35	4.85
21. Sc	21.0	18.4	14.9	12.1	10.3	8.9	7.7	6.7	5.9	5.3	4.7	4.3
22. Ti ⁺⁴	18.0	17.0	14.4	11.9	9.9	8.5	7.85	7.3	6.7	6.15	5.65	5.05
22. Ti	22.0	19.3	15.7	12.8	10.9	9.5	8.2	7.2	6.3	5.6	5.0	4.6
23. V	23.0	20.2	16.6	13.5	11.5	10.1	8.7	7.6	6.7	5.9	5.3	4.9
24. Cr	24.0	21.1	17.4	14.2	12.1	10.6	9.2	8.0	7.1	6.3	5.7	5.1
25. Mn	25.0	22.1	18.2	14.9	12.7	11.1	9.7	8.4	7.5	6.6	6.0	5.4
26. Fe	26.0	23.1	18.9	15.6	13.3	11.6	10.2	8.9	7.9	7.0	6.3	5.7
27. Co	27.0	24.1	19.8	16.4	14.0	12.1	10.7	9.3	8.3	7.3	6.7	6.0
28. Ni	28.0	25.0	20.7	17.2	14.6	12.7	11.2	9.8	8.7	7.7	7.0	6.3
29. Cu	29.0	25.9	21.6	17.9	15.2	13.3	11.7	10.2	9.1	8.1	7.3	6.6
30. Zn	30.0	26.8	22.4	18.6	15.8	13.9	12.2	10.7	9.6	8.5	7.6	6.9
37. Rb ⁺	36.0	33.6	28.7	24.6	21.4	18.9	16.7	14.6	12.8	11.2	9.9	8.9
37. Rb	37.0	33.5	28.2	23.8	20.2	17.9	15.9	14.1	12.5	11.2	10.2	9.2
55. Cs	55.0	50.7	43.8	37.6	32.4	28.7	25.8	23.2	20.8	18.8	17.0	15.6
74. W	74	69	60	53	46	41	37	33	30	28	25	23